

۱۲۴۰۹

TN

E44

۱۲۱۹

۱۳۷۶

وزارت معادن و فلزات
اداره کل معادن و فلزات آذربایجان غربی



گزارش
طرح اکتشاف تفصیلی جیوه
خانگلی ماکو

(مرحله اول)

کتابخانه سازمان زمین شناسی و
اکتشافات معدنی کشور
تاریخ: ۸.۹۲.
شماره ثبت:

کتابخانه سازمان زمین شناسی و
اکتشافات معدنی کشور

مهندسین مشاور کاوشگران
۱۳۷۶

چگینی

بر اساس قرارداد شماره ۷۴۲۴ مورخ ۱۰/۸/۷۵ منعقده بین اداره کل معدن و فلزات استان آذربایجان غربی و شرکت مهندسین مشاور کاوشگران ، عملیات اکتشاف تفصیلی عناصر جیوه و طلا در منطقه خانگلی شهرستان چالدران در محدوده ای بوسعت ۷/۵ هکتار انجام پذیرفت پس از برنامه ریزی و زمان بندی اجرای طرح ، تیم های کارشناسی این مهندسین مشاور به منطقه عزیمت نموده و علیرغم شرایط اقلیمی ، سیاسی و امنیتی حاکم بر منطقه ، مجموعه عملیاتی مشتمل بر مرمت و راه سازی و بهسازی ۱۸ کیلومتر راه ارتباطی تهیه نقشه های توپوگرافی و زمین شناسی در مقیاس ۱/۵۰۰ ، حفر ترانشه های عمیق توسط بولدوزر و روپرداری از زونهای مینرالیزه در امتداد ۶ ترانشه بزرگ ، با حجم خاکبرداری ۱۳۲۰۰ متر مکعب ، حفر چاهکهای اکتشافی به عمق ۵-۱۵ متر ، نمونه گیری از زونهای معدنی در دیواره ترانشه ها و چاهکهای اکتشافی ، آماده سازی و ارسال نمونه به آزمایشگاه جهت آنالیز برای عناصر Hg , Cu , Ag , Au , As به تعداد ۵۷ نمونه و در نهایت تجزیه و تحلیل های مربوطه و تلفیق نتایج حاصل از مراحل مختلف را به انجام رسانده اند . مشکلات ناشی از وضعيت نامناسب جاده خاکی دسترسی به محدوده اکتشافی بطول ۱۸ کیلومتر ، ممانعت و ایجاد مزاحمت از سوی عشایر به هنگام اجرای عملیات اکتشافی (حفر ترانشه ، روپرداری و چاهکهای اکتشافی) ، عدم تطابق برخی از داده های ژئوفیزیکی با واقعیت های زمین شناسی موجود ، عدم تقبل حفاری گمانه اکتشافی در منطقه از طرف

شرکتهای پیمانکاری طرف مذاکره و شرایط سیاسی - امنیتی موجود در این منطقه مرزی ، اجرای طرح را با مشکلات و محدودیتهای جدی مواجه ساخت .

محدوده اکتشافی در شمال استان آذربایجان غربی و به لحاظ تقسیمات کشوری در حوزه شهرستان چالدران واقع شده است . دسترسی به منطقه مورد نظر از طریق جاده آسفالته چالدران - ماکو امکان پذیر است ، فاصله شهرستان چالدران تا این محدوده ۳۹ کیلومتر میباشد که ۲۹ کیلومتر آن را جاده آسفالته و بقیه آنرا جاده خاکی جیپ رو تشکیل میدهد . به لحاظ زمین شناسی ، منطقه مورد مطالعه در زون افیولیتی خود - ماکو واقع شده است . سنگهای اولترابازیک (سرپانیت های برشی) ، ولکانیک کنگلومرای آندزیتی ، شیلهای رادیولاریتی ، کنگلومرات ، شیل ، مارن و ماسه سنگ وزونهای آلترا مشتمل بر برشهای هیدروترمالی و رگه های سیلیسی واحدهای لیتولوژیکی موجود در محدوده اکتشافی را تشکیل میدهند .

از دیدگاه زمین شناسی ساختمانی و تکتونیک ، واحدهای لیتولوژیکی کاملاً بهم ریخته بوده و بندرت همیری عادی در آنها مشاهده میگردد . سه سیستم شکستگی و گسله بترتیب با راستاهای شمالغربی - جنوبشرقی ، شمالی - جنوبی ، شرقی - غربی شناخته شده که سیستم اصلی شمالغربی - جنوبیشرقی با گسل های عموماً "معکوس و رانده خود ، کانی زائی و التراسیون را کنترل میکنند . در این میان گسلهایی که دارای شیب به سمت جنوبشرب میباشند ، حائز اهمیت زیادی هستند نظر به اهیت گسلها با کانی زائی ، برداشت گسلها و مطالعات تکتونیکی بر روی دیواره ترانشه های احداث شده انجام پذیرفت و مقاطع زمین شناسی ترانشه های یاد شده تهیه گردید .

بر اساس اطلاعات بدست آمده از ترانشه های عمیق اکتشافی میتوان گفت که تمرکز و کانی زائی سیناپر به دو فرم کلی در محدوده اکتشافی صورت گرفته است :

الف - بصورت پراکنده در متن رگه های نازک سیلیسی ، برشهای هیدروترمالی (واحد Si) ، که کانسنگ عیار پائین جیوه بشمار میرود و ب - بصورت توده ای و پرکنده در فضاهای خالی در امتداد گسله های از نوع معکوس ورانده که از نوع کانسنگ پر عیار محسوب میشود تعداد ۵ رگه از نوع اخیر شناخته شده است . از ۵ رگه مزبور ، چهار رگه در ارتباط نزدیک با هم بوده و در جنوب غربی محدوده اکتشافی واقع هستند . این رگه ها در همبری سرپانتینیت برشی با شیل و مارن های پالوسن و سنگهای کاملاً بهم ریخته (ملاتر افیولیتی) تشکیل شده اند . رگه چهارم در شمال محدوده اکتشافی و در همبری گسل اصلی منطقه با زون برش هیدروترمالی^۱ قرار دارد . ضخامت کم تا بسیار کم این رگه از ویژگیهای عمومی آنهاست .

آلتراسیون شدید سیلیسی با مجتمعه کانیهای کوارتز - کریستو بالیت و فازهای آمورف سیلیس بهمراه اکتسیدهای آهن ، کانیهای رسی (مونت موریلونیت و کائولن) ، کلریت ، هورنبلند و تالک ، کانی زائی را همراهی میکند (کانیهای کانگ) « کانه های معدنی تشکیل دهنده ذخیره شامل سیناپر ، پیریت ، مارکازیت و بمقدار جزئی استیبنیت واولیژیست میباشد . در رابطه با عیار کانسنگ ها باید گفت که در بخش کم عیار ذخیره (فرم پراکنده کانی زائی) متاسفانه مقادیر گزارش شده با شواهد قابل مشاهده در ترانشه ها مطابقت نمیکند . برای مثال عیار جیوه در نمونه های Mp-LG-04 ، Mp-LG-03 ، Mp-LG-02 ، Mp-LG-01 که از زون مینرالیزه واقع در شمال محدوده اکتشافی (ترانشه T1) برداشت شده اند به

ترتیب : ۲۸/۰ ، ۳۷۴ ، ۱۳۰۰ و ۳۲ گرم در تن گزارش شده است . در حالیکه کانه های سیناپر در تمام نمونه های فوق الذکر بخوبی قابل مشاهده است . علی الخصوص در نمونه های شماره Mp-LG-02 که از یک رگه نسبتاً پرعیار برداشت شده است . برطبق نتایج آزمایشگاهی موجود عیار میانگین این بخش ۰/۰۴ درصد بدست آمده است .

در رابطه با رگه های پرعیار ، آنالیز چهار نمونه T2A-LG-02,T2A-LG-03,Mp-LG-08 به ترتیب عیارهای ۵/۶۲ درصد ، ۴/۲ درصد ، ۶/۴۲ درصد و ۳/۸۷ درصد BH10-LG-01 را بدست داده است که عیارهای قابل توجهی محسوب میشوند . میانگین عیار این بخش از کانسنگ را میتوان ۰/۵ در نظر گرفت .

مطالعات فرآوری سیناپر در مقیاس آزمایشگاهی بر روی یک نمونه اخذ شده از رگه های پرعیار حاکی از بازیابی سیناپر به میزان ۸۳٪ به روش ثقلی میباشد . از نظر میزان ذخیره موجود در بخش های پرعیار و کم عیار ، متاسفانه به دلیل نبود اطلاعات عمقی کافی از وضعیت کانسار و ماهیت بسیار متغیر کانی زائی نمی توان اظهار نظر قطعی نمود .

با توجه به مجموعه عملیات اکتشافی انجام گرفته و داده های زمین شناسی موجود و نیز با توجه به اینکه حفاری گمانه های اکتشافی با مشکلات فراوانی همراه است ، در حال حاضر بنظر میرسد که مناسبترین و بهترین روش اکتشافی ، اکتشاف حین استخراج باشد که در طی آن میتوان در مورد وضعیت امتداد ، تغییر ضخامت و تغییرات عیار رگه ها اطلاعات کافی را بدست آورده و ضمن تبیین ذخیره برای افقهای مختلف ، عملیات اکتشافی واستخراج را پا به پای ھم پیش برد .

فهرست مطالب

فصل یک

عنوان		صفحه
۱-۱	- کلیات	۱-۱
۱-۱	-۱-۱- مقدمه	۱-۱
۴-۱	-۲- موقعیت جغرافیائی	۴-۱
۶-۱	-۳- وضعیت اجتماعی منطقه	۶-۱
۱۰-۱	-۴- آب و هوای منطقه	۱۰-۱
۱۱-۱	-۵- ژئومورفولوژی	۱۱-۱
۱۳-۱	-۶- امکانات زیربنایی	۱۳-۱
۱۴-۱	-۷-۱- اکتشافات انجام شده	۱۴-۱
۱۴-۱	-۷-۱-۱- مرحله پتانسیل یابی	۱۴-۱
۱۵-۱	-۷-۱-۲- مرحله اکتشاف مقدماتی	۱۵-۱
۱۷-۱	-۷-۱-۳- اکتشافات نیمه تفصیلی	۱۷-۱
۲۰-۱	-۷-۱-۴- مرحله اکتشافی حاضر	۲۰-۱
	فصل دو	
۱-۲	-۲- کلیاتی در مورد جیوه	۱-۲
۱-۲	-۱- کاربردهای جیوه	۱-۲

کاوشنگران

صفحه II

صفحه	عنوان
۱-۲	۱-۱-۲- کاربردهای الکتریکی والکترونیکی
۳-۲	۲-۱-۲- کاربردهای جیوه در صنایع شیمیائی
۴-۲	۳-۱-۲- کاربردهای جیوه در دندانپزشکی
۵-۲	۴-۱-۲- کاربرد جیوه در استحصال طلا
۶-۲	۲-۲- بررسی کاربردهای جیوه از دیدگاه زیست محیطی
۷-۲	۳-۲- تولید و بازار جهانی جیوه
۷-۲	۱-۳-۲- تولید جهانی جیوه
۸-۲	۱-۱-۳-۲- تولید کنندگان عمده جیوه در جهان و روند تولید
۱۱-۲	۲-۳-۲- تجارت و بازار جهانی جیوه
۱۱-۲	۱-۲-۳-۲- صادرات و کشورهای عمده صادر کننده
۱۲-۲	۲-۲-۳-۲- واردات و کشورهای عمده وارد کننده
۱۶-۲	۴-۲- حمل و نقل جیوه
۱۶-۲	۵-۲- روشهای کانه آرائی واستحصال جیوه
۱۶-۲	۱-۵-۲- روشهای کانه آرائی جیوه
۱۸-۲	۱-۱-۵-۲- روش ثقلی
۱۹-۲	۲-۱-۵-۲- روش فلورتاسیون
۲۴-۲	۲-۵-۲- فرآوری واستحصال فلز جیوه از کانسنگ های تغليظ شده
۲۷-۲	۱-۲-۵-۲- واحد فرآوری جیوه در ایالت گویرور (مکزیک)

صفحه	عنوان
۳۰-۲	۲-۵-۲- واحد فرآوری جیوه سولفور بانک
۳۴-۲	۲-۵-۳- واحد فرآوری جیوه شرکت کالوردیل
۳۷-۲	۲-۵-۳- تولید جیوه بعنوان مخصوص فرعی
۳۷-۲	۲-۶- قیمت جیوه و روند تغییرات آن در سالهای اخیر

فصل سیم

۱-۳	۳- زمین شناسی
۱-۳	۳-۱- زمین شناسی و متالوژنی ناحیه ای
۸-۳	۳-۲- زمین شناسی محدوده اکتشافی
۸-۳	۳-۱- سنگهای اولترابازیک
۹-۳	۳-۲- کنگلومرای ولکانیکی آندزیتی
۱۰-۳	۳-۳- شیلهای رادیولاریتی
۱۱-۳	۳-۴- کنگلومرای پالثوسن
۱۱-۳	۳-۵- شیل ، مارن و ماسه سنگ
۱۲-۳	۳-۶- رگه های سیلیسی و برشهای هیدروترمالی
۱۳-۳	۳-۷- سنگهای آلتره
۱۳-۳	۳-۸- ملانژ افیولیتی
۱۴-۳	۳-۹- رسوبات عهد حاضر
۱۴-۳	۳-۱۰- تکتونیک و زمین شناسی ساخته امنی

صفحه

عنوان

فصل چهار

۱-۴	۴- زمین شناسی اقتصادی
۱-۴	۱-۴ - مقدمه
۲-۴	۲-۴ - بررسی دقت و خطای آزمایشگاهی
۶-۴	۳-۴ - آلتراسیون و کانی شناسی ذخیره
۱۶-۴	۴-۴-۴ - شرح مقاطع زمین شناسی ترانشه های اکتشافی
۲۳-۴	۱-۴-۴ - ترانشه T1
۲۶-۴	۲-۴-۴ - ترانشه T2
۲۸-۴	۳-۴-۴ - ترانشه T3
۳۰-۴	۴-۴-۴ - ترانشه T4
۳۱-۴	۵-۴-۴ - ترانشه T5
۳۲-۴	۶-۴-۴ - ترانشه T6
۳۶-۴	۷-۴-۴ - ترانشه T7
۳۷-۴	۵-۴ - تغییرات عیار و ذخیره
۴۲-۴	۶-۴ - ژئر و مدل کانی زائی

فصل پنجم

۱-۰	۰ - شناسائی سنگ معدنی
۱-۰	۱-۰ - مقدمه

عنوان	
صفحه	
۱-۵	- آماده سازی و تهیه نمونه معرف
۷-۵	- مطالعات میکروسکوپی
۷-۵	-۱- مطالعه مقاطع صیقلی و نازک کانسنگ اولیه معدنی (سرپانتینیت های مینرالیزه)
۱۹-۵	-۲- مطالعه مقاطع صیقلی و نازک نمونه های حاصل از تجزیه سرنادی
۱۹-۵	-۳- ویژگی عمومی مقاطع یاد شده
۲۱-۵	-۴- مطالعه مقاطع تیغه نازک اخذ شده از برشهای هیدروترمالی
۲۸-۵	-۵- مطالعه مقاطع صیقلی نمونه اخذ شده از برشهای هیدروترمالی
۳۹-۵	-۶- مطالعه مقاطع تیغه نازک نمونه اخذ شده از سرپانتینیت های مینرالیزه
۴۷-۵	-۷- مطالعه مقاطع صیقلی نمونه اخذ شده از سرپانتینیت های مینرالیزه
۵۵-۵	-۸- تعیین درجه آزادی سیناپر
۵۹-۵	-۹- آزمایش های انجام شده
۶۶-۵	-۱۰- نتایج حاصل از مطالعه فرآوری کانسار و پیشنهاد برای ادامه مطالعات
۱-۶	نتایج و پیشنهادات
	فصل شش

فهرست اشکال

عنوان	صفحه	صفحه
فصل یک		

شکل ۱-۱- موقعیت جغرافیائی و کروکی راههای دسترسی به محدوده اکتشافی . ۵-۱

فصل دو

شکل ۲-۱- فلوشیت واحد فرآوری جیوه در ایالت گویررو ، مکزیک .	۲۸-۲
شکل ۲-۲- فلوشیت واحد فرآوری جیوه سولفوربانک .	۳۱-۲
شکل ۲-۳- فلوشیت واحد فرآوری جیوه Colverdale .	۳۵-۲
شکل ۴-۲- جریان قراضه جیوه در یک کشور صنعتی (۳ و ۴) .	۳۸-۲

فصل سه

شکل ۳-۱- رزدیاگرام شکستگیها در محدوده اکتشافی . ۱۶-۳

فصل چهار

شکل ۴-۱- مقطع زمین شناسی ترانشه T1 .	۱۷-۴
شکل ۴-۲- مقطع زمین شناسی ترانشه T2 .	۱۸-۴
شکل ۴-۳- مقطع زمین شناسی ترانشه T3 .	۱۹-۴

عنوان	صفحه
شکل ۴-۴- مقطع زمین شناسی تراشه T4.	۲۰-۴
شکل ۵-۵- مقطع زمین شناسی تراشه T5.	۲۱-۴
شکل ۶-۶- مقطع زمین شناسی تراشه T6.	۲۲-۴
شکل ۷-۷- مقطع زمین شناسی تراشه T7.	۱۹-۴
شکل ۸-۸- مدل شماتیک کانی زائی جیوه در منطقه خانگلی ماکو.	۴۷-۴

فصل پنجم

شکل ۱-۵- ارتباط بین درجه آزادی و اندازه ذرات

فهرست جداول

فصل یک

جدول ۱-۱- مختصات جغرافیائی رئوس محدوده اکتشافی.

جدول ۱-۲- جمعیت شهری و روستائی به تفکیک زن و مرد بر اساس آمارگیری

سال ۱۳۷۰ در شهرستان ماکو.

جدول ۱-۳- تراکم جمعیت در شهرستان ماکو در خلال سالهای ۷۵-۶۵-۵۵

بر اساس آمارگیری سال ۱۳۷۰.

جدول ۱-۴- مشاغل مردم منطقه بر حسب گروههای اصلی فعالیت در خلال

سالهای ۱۳۵۵ و ۱۳۶۵ بر اساس آمارگیری سال ۱۳۷۰ در شهرستان ماکو

۹-۱

صفحه

عنوان

جدول ۱-۵-۱- میزان بارندگی و تعداد روزهای یخندهان در سالهای ۱۳۷۲ تا ۱۳۷۴

۱۱-۱ در شهرستان ماکو .

جدول ۱-۶- اوضاع جوی شهرستان ماکو در سال ۱۳۷۴ (۹) .

فصل دو

جدول ۱-۲- تولید جهانی جیوه طی سالهای ۱۹۸۴ تا ۱۹۸۸ (بر حسب تن) (۱۷)

جدول ۲-۲- تولید جهانی جیوه طی سالهای ۱۹۹۰ تا ۱۹۹۵ (بر حسب تن) (۱۷)

جدول ۳-۲- صادرات جهانی جیوه طی سالهای ۱۹۹۰ تا ۱۹۹۵ (بر حسب تن)

۱۳-۲ (۱۷) .

جدول ۴-۲- واردات جهانی جیوه طی سالهای ۱۹۹۰ تا ۱۹۹۵ (بر حسب تن) (۱۷)

جدول ۵-۲- نتایج بدست آمده از فلوتاسیون یک نمونه کانه سینابر از معدن

گلاس بوش امریکا .

جدول ۶-۲- مواد شیمیائی مورد استفاده در فلوتاسیون کانه سینابر در معدن
گلاس بوش .جدول ۷-۲- قیمت جیوه با عیار حداقل ۹۹/۹ درصد در بازار آزاد وطی ماههای
 مختلف سالهای ۱۹۹۳-۱۹۹۷ (۸) .

صفحه

عنوان

فصل چهار

- جدول ۴-۱ - مقایسه مقادیر عناصر در نمونه های اصلی و کنترلی .
 جدول ۴-۲ - محاسبه خطای نسبی تصادفی در آنالیز نمونه های سنگی .
 جدول ۴-۳ - تغییرات عیار عناصر در چاهکهای اکتشافی BH3, BH1
 جدول ۴-۴ - مشخصات آماری نمونه های برداشت شده از دو زون مینرالیزه در
 شمال محدوده اکتشافی برای عنصر جیوه .
 جدول ۴-۵ - ذخایر جدید سیتاپر با خاستگاه ملاتزهای افیولیتی غنی از سرپانتنیت
 در نقاط مختلف جهان .

فصل پنج

- جدول ۵-۱ - نتایج حاصل از تجزیه سرندي نمونه اخذ شده از برش های
 هیدروترمالی
 جدول ۵-۲ - نتایج حاصل از تجزیه سرندي نمونه اخذ شده از سرپانتنیت مینرالیزه
 جدول ۵-۳ - ارتباط درجه آزادی با دانه بندی های مختلف در سرپانتنیت مینرالیزه
 جدول ۵-۴ - ارتباط بین درجه آزادی و مدت زمان خردایش
 جدول ۵-۵ - نتایج حاصل از تجزیه سرندي نمونه معرف
 جدول ۵-۶ - نتایج حاصل از فرآوری دانه بندی $+100$ و -100 میکرون
 سرپانتنیت مینرالیزه

صفحه

عنوان

جدول ۷-۵- نتایج حاصل از فرآوری دانه بندی $+75$ و -100 - میکرون

۶۳-۵

سرپانتینیت مینرالیزه

جدول ۸-۵- نتایج حاصل از فرآوری دانه بندی $+45$ و -75 - میکرون

۶۴-۵

سرپانتینیت مینرالیزه

جدول ۹-۵- نتایج حاصل از فرآوری دانه بندی $+38$ و -45 - میکرون

۶۴-۵

سرپانتینیت مینرالیزه

جدول ۱۰-۵- جمع بندی نتایج حاصل از مطالعه فرآوری بروش ثقلی

فهرست تصاویر

فصل چهار

تصویر ۱-۴- فازهای آمورف سیلیس و کریستوبالیت (برش های هیدروترمالی)

۹-۴

به همراه رگه های اکسید آهن.

تصویر ۲-۴- رگه ورگچه های نازک سیلیسی در فضاهای خالی و
شکستگیهای سرپانتینیتها.

۲۷-۴

تصویر ۳-۴- نمائی از واحدهای شماره ۳ و ۴ در ترانشه T1.

۲۷-۴

تصویر ۴-۴- نمائی از ترانشه T1.

۳۴-۴

تصویر ۵-۴- نمائی از ترانشه های T2, T3.

۳۴-۴

تصویر ۶-۴- رگه مینرالیزه سینایر واقع در دیواره ترانشه T6.

صفحه	عنوان
	فصل پنجم
	تصویر ۱-۵ - اکسید و تیدر و کسیدهای آهن با اشکال پسودومورف FeO در زمینه کانیهای شفاف Cin سیناپر T.M و فضاهای خالی VO
۱۰-۵	تصویر ۲-۵ - سیناپر Cin ، کانیهای شفاف (گانگ) Gn ($\times 100$)
۱۰-۵	تصویر ۳-۵ - سیناپر حاوی ادخالهای ریز مارکاسیت Ma در مجاورت کانیهای شفاف (گانگ) T.M
۱۰-۵	تصویر ۴-۵ - ادخالهای پیریت - مارکاسیت Py در زمینه سیناپر Cin ($\times 200$)
۱۰-۵	تصویر ۵-۵ - قطعات سیناپر Cin ، کانیهای شفاف T.M ، قطعات دور رادیولاریت
۱۱-۵	تصویر ۶-۵ - سیناپر Cin بصورت قطعات ریز پراکنده در زمینه کانیهای شفاف (گانگ) Gn مربوط به بخش‌های میلونیتی شده ($\times 100$)
۱۲-۵	تصویر ۷-۵ - قطعات پراکنده و هم اندازه سیناپر Cin در زمینه کانیهای شفاف ($\times 200$) Gn
۱۲-۵	تصویر ۸-۵ - سیناپر Cin مستقل از کرومیت Ch در زمینه گانگ T.M
۱۲-۵	تصویر ۹-۵ - کرومیت Ch ، سیناپر Cin بهالت مستقل از یکدیگر در زمینه کانیهای شفاف ($\times 100$)
۱۶-۵	تصویر ۱۰-۵ - کرومیت با بافت کاتاکلاستیک در مجاورت سیناپر Cin و مستقل از آن در زمینه کانیهای شفاف T.M

صفحه	عنوان
۱۶-۵	تصویر ۱۱-۵ - کرومیت Ch ، سینابر Cin و کانی شفاف Gn ($\times 100$)
۱۶-۵	تصویر ۱۲-۵ - قطعات مشکوک به استینبیت St در زمینه گانگ T.M
۲۳-۵	تصویر ۱۳-۵ - سینابر در فضاهای خالی (قطعات کدر) ($\times ۲۳$)
۲۳-۵	تصویر ۱۴-۵ - کرومیت (کدر) ، سینابر (نیمه شفاف قرمز) در زمینه کانیهای سرپانتین ($\times ۳۳$)
۲۳-۵	تصویر ۱۵-۵ - قطعات سینابر (کدر) در هجاورت نواحی برشی شده ($\times ۳۳$)
۲۳-۵	تصویر ۱۶-۵ - قطعات کانه Op ، کانیهای شفاف T.M ($\times ۳۳$)
۲۵-۵	تصویر ۱۷-۵ - قطعات کانه Op ، کانیهای شفاف T.M ($\times ۸۵$)
۲۵-۵	تصویر ۱۸-۵ - قطعات کانیهای کدر هم بصورت آزاد و هم بحالت درگیر با کانیهای شفاف T.M ($\times ۸۵$)
۲۵-۵	تصویر ۱۹-۵ - قطعات کانیهای شفاف شامل سرپانتین T.M و قطعات کدر شامل کرومیت Op ($\times ۸۵$)
۲۵-۵	تصویر ۲۰-۵ - قطعات کانه Op ، کانیهای شفاف T.M ($\times ۸۵$)
۳۰-۵	تصویر ۲۱-۵ - قطعات کدر Op ، قطعات کانیهای شفاف T.M ، قطعه کدر وسط تصویر کرومیت است
۳۰-۵	تصویر ۲۲-۵ - قطعات کانه Op و کانیهای شفاف T.M تقریباً بصورت کامل از یکدیگر مستقل میباشند
۳۰-۵	تصویر ۲۳-۵ - قطعات کانه Op بحالت آزاد که کانیهای نیمه شفاف (سینابر)

عنوان	صفحه
را نیز شامل میگردد . کانیهای شفاف T.M (× ۸۵)	۳۰-۵
تصویر ۲۴-۵ - قطعات کانیهای سولفوری SU در گیر با گانگ Gn (× ۱۰۰)	۳۰-۵
تصویر ۲۵-۵ - کرومیت Ch در گیر با گانگ (× ۱۰۰)	۳۲-۵
تصویر ۲۶-۵ - کانی سولفوری SU در گیر با گانگ Gn (× ۱۰۰)	۳۳-۵
تصویر ۲۷-۵ - کرومیت Ch در گیر با گانگ Gn (× ۱۰۰)	۳۳-۵
تصویر ۲۸-۵ - کانیهای کدر Op بصورت آزاد در زمینه گانگ Gn (× ۱۰۰)	۳۳-۵
تصویر ۲۹-۵ - کرومیت Ch ، گانگ Gn به حالت آزاد ، مارکاسیت Ma در زمینه گانگ (× ۱۰۰)	۳۶-۵
تصویر ۳۰-۵ - سیناپر Cin ، گانگ Gn به حالت آزاد (× ۱۰۰)	۳۶-۵
تصویر ۳۱-۵ - سیناپر Cin ، کرومیت Ch ، گانگ Gn (× ۲۰۰)	۳۶-۵
تصویر ۳۲-۵ - استیبنیت St ، کرومیت Ch ، گانگ Gn (× ۲۰۰)	۳۶-۵
تصویر ۳۳-۵ - قطعات سیناپر Cin ، گانگ Gn به حالت آزاد (× ۲۰۰)	۳۸-۵
تصویر ۳۴-۵ - قطعات استیبنیت St ، کرومیت Ch ، گانگ Gn به حالت آزاد (× ۲۰۰)	۳۸-۵
تصویر ۳۵-۵ - قطعات سیناپر Cin ، کرومیت Ch ، گانگ Gn بصورت آزاد (× ۱۰۰)	۳۸-۵
تصویر ۳۶-۵ - قطعات سیناپر Cin ، استیبنیت St ، گانگ Gn به حالت آزاد (× ۲۰۰)	۳۸-۵

صفحه	عنوان
	تصویر ۳۷-۵ - قطعات سیلیس از نوع کالسدونی Cha ، قطعات سرپانتین Ser
۴۲-۵	بصورت آزاد و مستقل از یکدیگر ($\times 100$)
	تصویر ۳۸-۵ - کانیهای شفاف T.M بصورت مخفی بلور و کربستالین ، سیناپر
۴۳-۵	بحالت درگیر Cin ($\times 23$)
	تصویر ۳۹-۵ - قطعات کانیهای شفاف T.M ، کالسدونی Chal ، سرپانتین Ser
۴۳-۵	($\times 85$)
۴۳-۵	تصویر ۴۰-۵ - قطعات کانه Op درگیر با کانیهای شفاف ($\times 85$)
	تصویر ۴۱-۵ - قطعات کانه Op بحالت کدر و نیم شفاف ، قطعات کدر درگیر
۴۶-۵	بوده و قطعات نیمه شفاف آزاد هستند (کرومیت درگیر ، سیناپر آزاد) ($\times 85$)
	تصویر ۴۲-۵ - قطعات کانه Op ، کانیهای شفاف T.M ، قطعات کانه عمدتاً
۴۹-۰	بصورت آزاد مشاهده میشوند .
	تصویر ۴۳-۵ - قطعات کانه Op ، قطعات گانگ (شفاف) T.M بحالت آزاد
۴۶-۵	($\times 85$)
	تصویر ۴۴-۵ - تقریباً تمامی قطعات کانه Op بحالت آزاد مشاهده شده و
۴۶-۵	هیچگونه درگیری با کانیهای شفاف T.M وجود ندارد ($\times 85$)
	تصویر ۴۵-۵ - قطعات کانه Op (سیناپر رنگ قرمز در مرکز تصویر ، اندازه
۵۰-۵	قطعات متفاوت و نرمه زیادی ایجاد شده است . ($\times 200$)
۵۰-۵	تصویر ۴۶-۵ - قطعات شامل سیناپر درگیر با گانگ Gt بعلاوه Cin ($\times 100$)

صفحه	عنوان
	تصویر ۴۷-۵- ادخالهای پیریت - مارکاسیت Su (Py) در زمینه سیناپر Cin در گیر با گانگ Gn ($\times 200$)
۵۰-۵	تصویر ۴۸-۵- در گیر سیناپر با گانگ (گانی گانگ دو نوع است) ($\times 100$)
۵۱-۵	تصویر ۴۹-۵- سیناپر آزاد ، کرومیت Ch در گیر با گانگ Gn ($\times 100$)
۵۲-۵	تصویر ۵۰-۵- کرومیت Ch ، سیناپر Cin ، استیبنیت St به حالت آزاد و مستقل از گانگ Gn ($\times 100$)
۵۳-۵	تصویر ۵۱-۵- استیبنیت به حالت آزاد Stn ، سیناپر در گیر با گانگ Gn+ Cin ($\times 100$)
۵۴-۵	تصویر ۵۲-۵- سیناپر Cin ، استیبنیت Stn و کرومیت Ch به حالت آزاد و مستقل از گانگ Gn ($\times 100$)
۵۵-۵	تصویر ۵۳-۵- قطعات کدر شامل سیناپر Cin ، استیبنیت Stn ، کرومیت Ch مستقل از گانگ Gn ($\times 100$)
۵۶-۵	تصویر ۵۴-۵- کانیهای کدر شامل سیناپر و کمتر پیریت به حالت آزاد و مستقل از کانیهای گانگ ($\times 200$)
۵۷-۵	تصویر ۵۵-۵- قطعات سیناپر Cin و استیبنیت Stn بصورت مجزا و مستقل از کانیهای گانگ ($\times 200$)
۵۸-۵	تصویر ۵۶-۵- قطعات سیناپر و استیبنیت جدا و مستقل از کانیهای گانگ ($\times 100$)

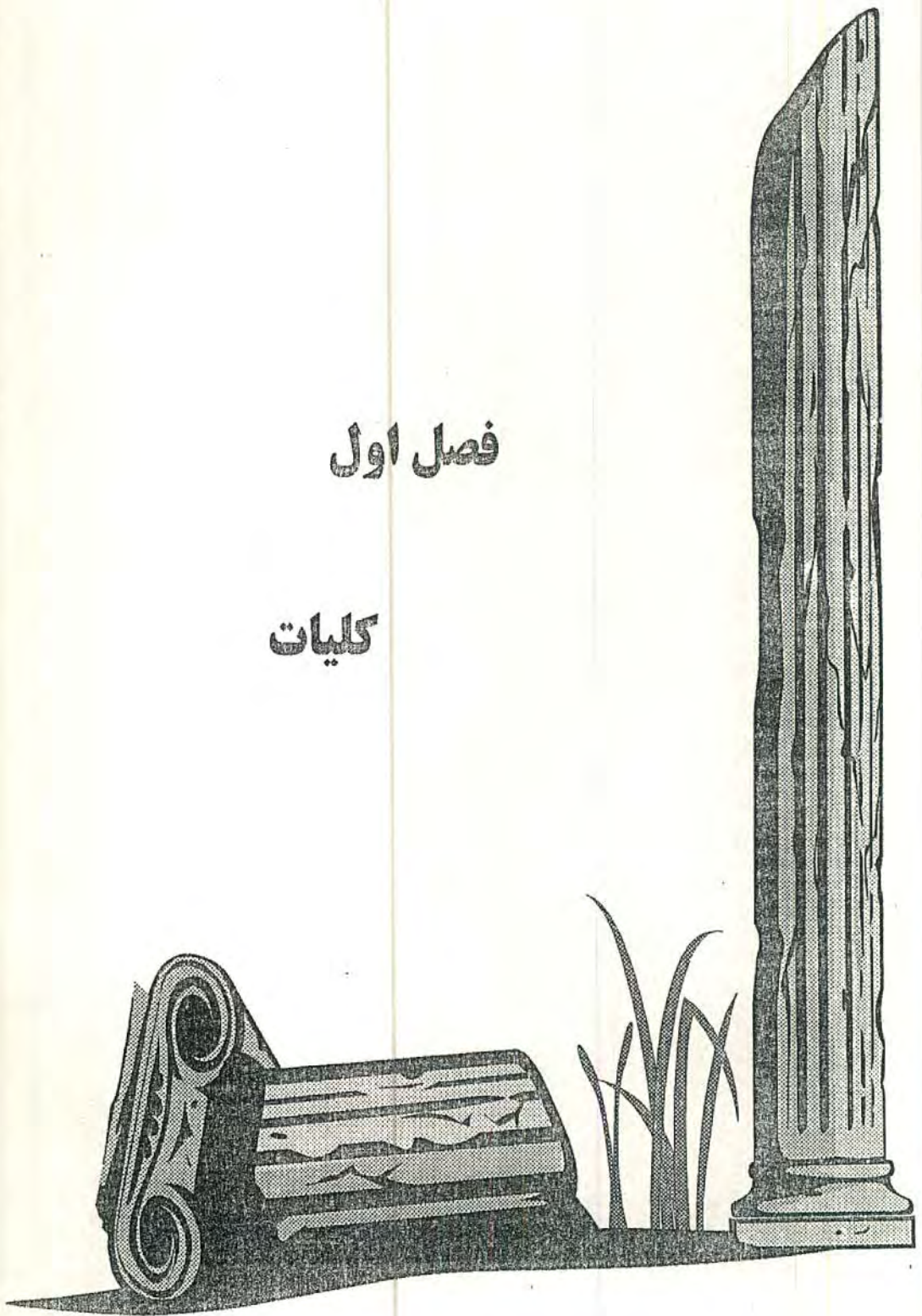
فهرست نقشه ها

نقشه شماره ۱ : Topographic Map Of Khangoli Mercury Deposit .

نقشه شماره ۲ : Geological Map Of Khangoli Mercury Deposit .

فصل اول

کلیات



۱- گلیات:

۱-۱- مقدمه :

در اجرای شرح خدمات مهندسی قرارداد شماره ۷۴۲۴، تیم های کارشناسی این مهندسین مشاور به منطقه عزیمت و با توجه به شرایط اقلیمی، سیاسی و امنیتی حاکم بر منطقه عملیات اجرائی طرح را با توجه به تنگناها و محدودیت های موجود بشرح زیر به اجرا در آورد:

از همان آغاز پروژه مسائل و مشکلات متعددی پیش روی تیم کارشناسی قرار گرفت و تیم های اعزامی به ناچار خدمات اضافی را که در قرارداد، پیش یینی نشده بود به مرحله اجرا در آوردن. از جمله این اقدامات مرمت و بهسازی جاده ارتباطی و نیز ترمیم پلهای مسیر جاده خانگلی بود. این جاده بعلت بارشهای جوی زمستان سال قبل و نگهداری نامناسب آن از سوی ارگانهای ذیربسط، غیر قابل استفاده بود و چون در طول فصل سرما ترددی در آن وجود نداشت و بعلت بارش برف سنگین بسته شده بود اکثر قسمتهای آن بر اثر جریانات سطحی آب، تخریب وغیر قابل استفاده شده بود. این امر موجب شد که در بدو امر تیم اعزامی با اجاره ماشین آلات سنگین نسبت به ترمیم و بهسازی و مرمت جاده و پلهای آن اقدام نماید که این امر هزینه بسیار سنگینی را متوجه طرح ساخت. پس از ترمیم

جاده و امکان دسترسی به منطقه، خدمات مهندسی، در قالب چند تیم کارشناسی آغاز و بعلت محدودیت فصل کاری عملیات اجرائی تهیه نقشه توپوگرافی، برداشت‌های زمین شناسی و پیمایش ترانشه ها همزمان و توسط اکیپ‌های جداگانه ای انجام گرفت. دو میں مشکل اجرائی مهم که در شرح خدمات نیز پیش بینی نشده بود وجود عدم تطابق در برخی از داده‌های ژئوفیزیکی با واقعیت‌های طبیعی و زمین شناسی منطقه بود که این امر تیم اعزامی را بر آن داشت تا با تاخیر زیاد و با حفر چاهکهای دستی متعدد، ضعف اطلاعاتی موجود، بعلت ناقص بودن مطالعات ژئوفیزیکی را جبران و مدل سه بعدی کانسار را تهیه نماید تا بر اساس آن طراحی محل گمانه‌های عمقی امکان پذیر شود. این عملیات نیز با صرف وقت و هزینه بسیار زیاد و با مشکلات اجرائی متعددی انجام شد در خلال حفر چاهکهای اکتشافی و در مناسب ترین فصل کاری عشاير منطقه به بهانه آسیب رسیدن به مراعع مانع از ادامه عملیات شدند. و کارشناسان تیم اعزامی را تهدید به برخورد خصم‌انه نمودند. شبانه چاهکهای حفر شده را پر کرده و به این نیز بسته نکرده و بر علیه اقدامات اجرائی این مهندسین مشاور شکایتی را به منابع طبیعی تسليم نمودند که علیرغم پیگیریهای مکرر متاسفانه اقدام لازم برای توجیه عشاير و حمایت از تیم کارشناسی مستقر در منطقه از سوی ارگانهای ذیربطری بعمل نیامد و طبق نظر کارشناسان منابع طبیعی مقرر گردید حتی الامکان عملیات اجرائی پس از کوچ عشاير انجام گیرد. بنابراین این مهندسین مشاور مجبور به تعطیل وقت کارگاه شد و به این ترتیب مناسب ترین فصل کاری با مخالفت عشاير سپری شد. در همین اثنا مذاکرات متعددی جهت تجهیز و اعزام اکیپ‌های حفاری به منطقه با همکاری اداره کل محترم معادن و فلزات استان انجام شد ولی متاسفانه بعلت متراث کم حفاری و

هزینه بسیار زیاد تجهیز کارگاه و مسائل سیاسی و امنیتی موجود، کلیه شرکتهای طرف مذاکره عدم آمادگی خود را جهت اجرای عملیات حفاری عمیق اعلام نمودند.

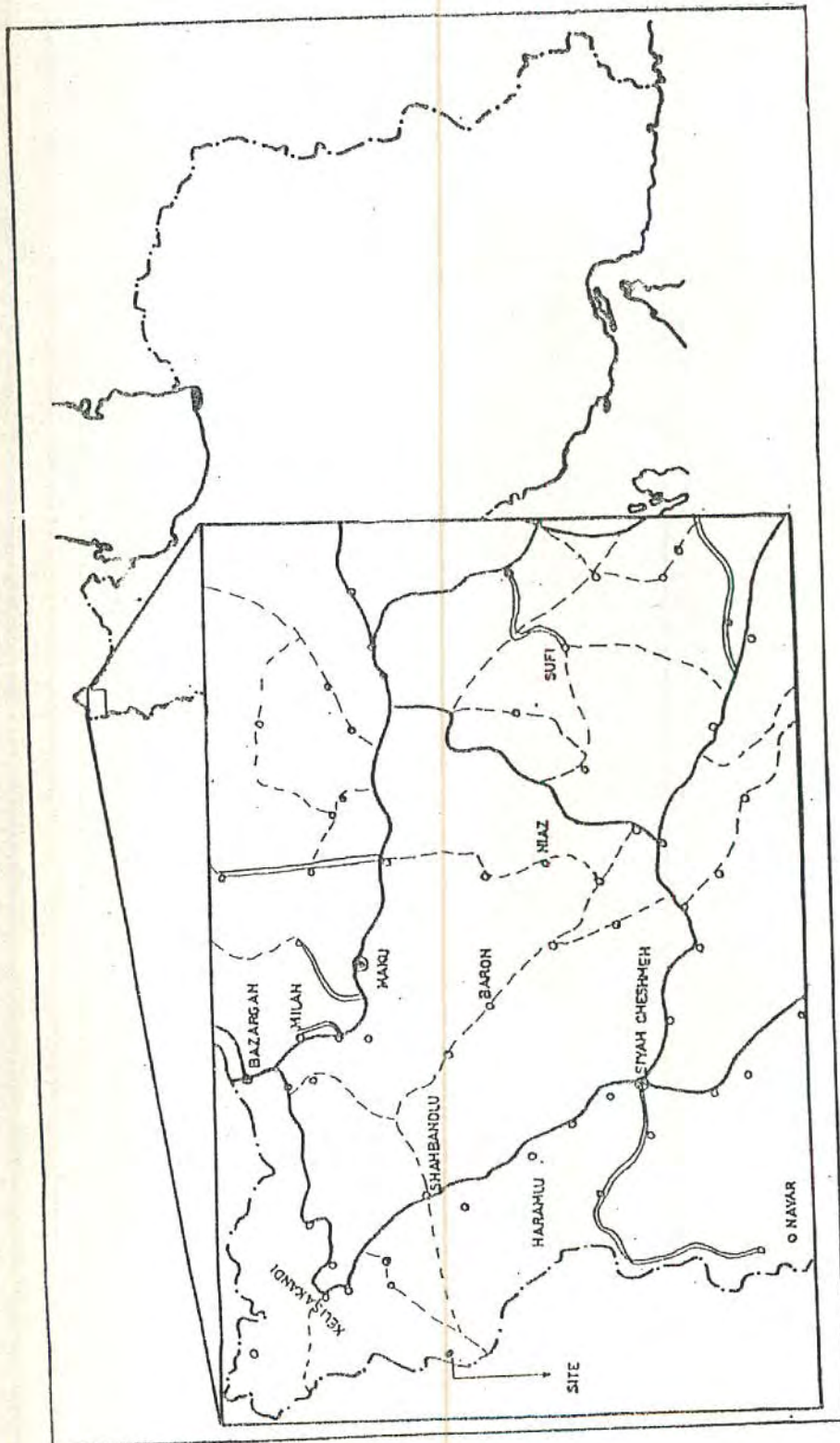
شایان ذکر است که اجرای خدمات مهندسی در این پروژه همواره با مسائل متعدد امنیتی، سیاسی و اجتماعی همراه بود که این امر ادامه عملیات صحرائی را با مشکلات متعددی مواجه می ساخت. پس از کوچ عشاير از منطقه و فراهم شدن زمینه مساعد برای حضور در محدوده اکتشافی تیم کارشناسی این مهندسین مشاور مجدداً "به منطقه عزیمت و ادامه عملیات صحرائی طرح را با انتقال ماشین آلات سنگین به منطقه و حفر ترانشه های عمیق پیگیری نمود ولی متساقنه شرایط سیاسی منطقه بگونه ای تغییر یافت که امکان حضور این در منطقه را از تیم کارشناسی سلب نمود. ناامنی باورود ارتش ترکیه به شمال عراق در اوخر شهریور ماه سال جاری آغاز شد که این امر موجب حرکت گروههای مخالف در نوار مرزی ایران و درگیریهای شد و حتی در یک مورد خودروی لندرور این شرکت نیز مورد هجوم قرار گرفت که به لطف خداوند آسیبی به آن وارد نشد و تیم کارشناسی مستقر در منطقه به نحو معجزه آسانی از مرگ نجات یافت. این واقعه و برخی جریانات سیاسی که بطور محترمانه با مسئولین مربوطه مطرح شده است عملیات اجرایی را با مشکلات متنوعی مواجه ساخت ولی با یاری خداوند متعال این مهندسین مشاور موفق شد با انجام خدمات مهندسی اضافی، تقریباً "بخش اعظم خدمات مهندسی پیش بینی شده در طرح را به اجرا در آورد و نهایتاً" با حفر ۱۳۲۰۰ متر مکعب ترانشه عمیق و برداشت نمونه های لیتوژئوشیمیائی و نمونه فرآوری از گستره طرح عملیات صحرائی طرح به اتمام رسید که نتایج حاصل از پردازش اطلاعات و نیز برداشتهای صحرائی در ادامه گزارش ارائه خواهد شد.

۱-۲- موقعیت جغرافیائی :

محدوده اکتشافی در شمالغرب کشور و در شمال استان آذربایجان غربی قرار دارد . این محدوده در ۲۸ کیلومتری شمالغرب شهرستان چالدران (به خط مستقیم) و در مرز ایران و ترکیه واقع شده است . دسترسی به محدوده از طریق جاده آسفالته چالدران - ماکو بطول ۲۲ کیلومتر و راه خاکی فرعی منشعب از مقابل آبادی شاه بنده لو بسمت غرب بطول ۱۷ کیلومتر امکان پذیر است . راه فرعی مذکور از جمله راههای دسترسی به جاده مرزی و پاسگاه خانگلی میباشد و در ادامه بسمت شمال و جنوب منشعب شده و در طول نوار مرزی ، پاسگاههای مرزی را به یکدیگر مرتبط میسازد .

شکل ۱-۱ موقعیت جغرافیائی و کروکی راههای دسترسی به محدوده اکتشافی را نشان میدهد .

محدوده یادشده به شکل مستطیل و بمساحت تقریبی ۸ هکتار میباشد . مختصات جغرافیائی رئوس محدوده طرح در جدول ۱-۱ درج شده است .



شکل ۱-۱- موقعیت جغرافیائی و کرودگی راههای دسترسی به مجده اکتشافی

جدول ۱-۱ : مختصات جغرافیائی محدوده اکتشافی

Head	Longitude			Latitude		
	d	m	s	d	m	s
A	44	5	43	39	13	52
B	44	6	2	39	13	43
C	44	5	52	39	13	36
D	44	5	32	39	13	45

۱-۳- وضعیت اجتماعی منطقه :

نزدیکترین آبادیها به محدوده اکتشافی، روستاهای آرخاشان، شاه بنده لو و شکفتی میباشند و روستای آرخاشان با جمعیت ۵۰ خانوار در فاصله ۱۷ کیلومتری از محدوده واقع شده است. و در مسیر راه خاکی شاه بنده لو - خانگلی تعدادی از عشایر در مکانهای موسوم به صوفی کنندی و شکفتی ساکن هستند. آبادی شاه بنده لو با جمعیت ۶۰ خانوار در مسیر جاده چالدران به کلیساکنندی قرار گرفته است. دشت خانگلی محل ییلاق عشایر کرد و آذری زبان بوده و خود یک آبادی فصلی را در بهار و تابستان تشکیل میدهد. با

توجه به اینکه شهرستان چالدران تا اوآخر سال ۷۵ بخشی از شهرستان ماکو بوده است لذا اطلاعات آماری خاصی از این شهرستان وجود ندارد و در این گزارش به ذکر آمار و اقسام شهرستان ماکو بسته میگردد . نسبت جمعیت روستائی به شهری و تراکم جمعیت در این ناحیه بترتیب در جداول ۲-۱ و ۳-۱ ارائه شده است .

جدول ۲-۱ : جمعیت شهری و روستائی به تفکیک ، زن و مرد ، بر اساس آمارگیری سال ۱۳۷۰ در شهرستان ماکو (۹)

شهر	جمعیت شهری	جمعیت روستائی	زن	مرد	نسبت جنس
ماکو	۶۰۸۸۳	۱۳۸۳۰۲	۹۲۹۳۸	۹۶۲۴۷	۱۰۴

جدول ۱-۳-: تراکم جمعیت در شهرستان ماکو در خلال سالهای ۱۳۶۵-۱۳۷۰

بر اساس آمارگیری سال ۱۳۷۰ (۹)

تراکم جمعیت (نفر)			مساحت	جمعیت شهرستان ماکو در سال (نفر)		
۷۰	۶۵	۵۵	۶۳۰.۹	۷۰	۶۵	۵۵
۴۰	۲۷	۲۰		۱۸۹۱۸۵	۱۷۱۱۷۱	۱۲۳۹۰۰

شغل دامداری محور اصلی فعالیت اقتصادی مردم این ناحیه میباشد و بعلت کمبود زمین زراعی کشاورزی بطور محدود صورت میگیرد. موقعیت خاص این ناحیه و قرار گرفتن آن در نوار مرزی سبب شده است که پاره ای از مردم به شغل های کاذب پردازند. شهرستان چالدران قادر واحد های تولیدی و صنعتی مهم میباشد.

مشاغل ساکنان این منطقه بر حسب گروههای اصلی فعالیت در سال های ۱۳۵۵ و ۱۳۶۵ بر اساس آمارگیری سال ۱۳۷۰ در جدول ۴-۱ درج شده است.

جدول ۴-۱ : مشاغل مردم منطقه بر حسب گروههای اصلی فعالیت در خلال سالهای ۱۳۶۰ و ۱۳۷۰ بر اساس آمارگیری سال ۱۳۷۰ در شهرستان ماکو (۹)

سال	۱۳۶۰	۱۳۷۰
مشاغل طبقه بنده شده	۲۱	۵۰
خانگی و شخصی	۴۶۰	۳۹۱
اجتماعی، اداری، دفاعی	۲۵۰۲	۷۲۹۸
مالی و تجاری	۹۳	۱۴۲
حمل و نقل و ارتباطات	۴۹۸	۱۱۰۸
فروش	۱۷۳۰	۲۰۹۲
خدمات	۰۷۷۷	۱۱۰۳
ساختمان	۲۸۶۲	۰۰۰۰
آب، برق، گاز	۱۸۰	۲۲۶
صنعت	۱۰۱۷	۱۰۷۴
معدن	۸	-
کشاورزی	۲۰۰۰۱	۱۸۳۰۲

۱-۴- آب و هوای منطقه :

آب و هوای این ناحیه به تبع از موقعیت جغرافیائی و وضعیت توپوگرافی کوهستانی آن در زمستان سرد و بخندان و در تابستان معتدل است. دوره بارش برف در این منطقه از اوایل مهر ماه آغاز می‌شود بطوريکه در محدوده اکتشافی بارش برف در فصل زمستان بسیار سنگین بوده و اغلب به دو متر میرسد. به همین جهت جاده خاکی ارتباطی در زمستانها عدمتای مسدود و غیرقابل استفاده است. با توجه به موارد فوق میزان برودت هوا و بارندگی در محدوده اکتشافی بسیار بیشتر از شهرها و حتی روستاهای هم جوار است. بنابراین فصل کاری در این منطقه بسیار محدود بوده و به ۷ ماه در سال میرسد. بعلت اینکه هیچگونه آماری از اوضاع جوی شهرستان چالدران و محدوده اکتشافی وجود ندارد. اطلاعات مربوط به بارشهای جوی و وضعیت آب و هوایی شهرستان ماکو بعلت نزدیکی به گستره طرح در ادامه گزارش و در جدول شماره ۱-۶-۵ ارائه شده است.

جدول ۵-۱: میزان بارندگی و تعداد روزهای بخندان در سالهای ۱۳۷۲ تا ۱۳۷۴ در شهر ماکو (۹)

1374	1373	1372	YEAR
			Annual Precipitation(mm)
273.6	326.1	413.1	Freezing Days

۱-۵- ژئومورفولوژی:

محدوده اکتشافی از دیدگاه مورفولوژیکی دارای شرایط تپه ماهوری بوده و بیشترین اختلاف ارتفاع بین بلندترین و پست ترین نقاط آن در حدود ۴۵ متر است . از دلایل عمده بوجود آوردن وضعیت فوق ، میتوان به عملکرد شدید پدیده آلتراسیون بر روی واحدهای لیتولوژیکی محدوده اکتشافی و متعاقب این پدیده ، پاسخ تقریباً یکسان این سنگها به فرآیند هوازدگی و فرسایش اشاره نمود . واحدهای تشکیل دهنده لیتولوژی محدوده عمدها " فرسایش پذیر هستند و مناسب بودن خاک حاصل از فرسایش که روی این واحدها را می پوشاند متجر به تشکیل پوشش

جدول ۱-۶- اوضاع جوی شهرستان ماکو در سال ۱۳۷۴ (۹)

Moon	Annual Precipitation(mm)	Relative Humidity	Humidity	Freezing Days	Absolute Min	Absolute Max	Temperature	Wind Direction(deg)	Velocity(m/s)	Condition	Days
April	37.7	32	77	6	-4.2	17.2		240		25	1
May	46.8	38	80	0	2.5	25		270		15	1
June	39.5	33	77	0	9	31.8		320		26	1
July	38.3	32	70	0	10.2	31.6		320		13	2
August	0	30	65	0	15	34		300		12	2
Sep	30.7	26	65	0	6.2	32.6		320		11	2
Oct	23.8	40	80	0	1.2	22.2		260		20	2
Nov	3.8	34	74	9	-6.6	19.8		140		9	3
Dec	5.9	43	77	27	-13.8	17		15		27	1
Jan	7	50	83	21	-14	11.5		12		27	2
Feb	3.7	47	86	26	-15.8	9		200		26	1
March	36.4	44	83	21	-6.6	12		90		27	1

نسبتاً وسیع گیاهی در این محدوده شده است. تنها واحد سنگی صخره ساز، واحد سرپانتیت های برشی است.

ویژگی فوق در مناطقی از این سنگها که شدیداً سیلیسی شده و یا در مجاورت گساها و شکستنگیها مشاهده میگردد. مطالعه عوارض سطحی و سیستم زهکشی نشان میدهد که مسیر اکثر آبراهه های محدوده اکتشافی جنوبغربی است. بنابراین بخش عمده آبهای سطحی به این سمت هدایت میشوند.

۱-۶- امکانات زیر بنائی:

محدوده مورد مطالعه امکانات زیر بنائی مناسبی ندارد. روستاهای شاه بنده لو، آرخاشان و شکفتی نزدیکترین آبادیهای محدوده اکتشافی هستند. دسترسی به روستای شاه بنده لو از طریق جاده آسفالته چالدران - ماکو بطول ۲۲ کیلومتر و دسترسی به روستای آرخاشان و شکفتی از طریق راه فرعی منشعب از جاده خاکی شاه بنده لو - خانگلی امکان پذیر است.

فاصله محدوده اکتشافی تا جاده آسفالته ۱۷ کیلومتر میباشد. این راه خاکی محل عبور عشایر ساکن در منطقه در فصل بیلاق است و نیاز به مرمت و بازسازی دارد. در مسافت بین دشت خانگلی تا زون مینرالیزه عملیات راهسازی جهت ایجاد راه ارتباطی مناسب

بطول ۱ کیلومتر ضروری است . با توجه به طولانی بودن دوره ی خبندان راه ارتباطی گستره طرح بمدت ۵ ماه در سال مسدود است .

از جمله موارد قابل اهمیت ، موقعیت جغرافیائی حساس محدوده اکتشافی بدلیل مجاورت آن با نوار مرزی است که این امر مشکلات متعددی برای اجرای عملیات اکتشافی فراهم کرده است . روستاهای هم جوار محدوده اکتشافی عمدتاً " دارای آب و برق و مدرسه هستند لیکن فاقد درمانگاه و تلفن میباشند . آبادی کلیسا کندی (مرکز بخش زردشت) بفاصله ۳۰ کیلومتر از محدوده مسورد نظر ، نزدیکترین آبادی دارای درمانگاه ، بانک ، دبیرستان ، تلفن و سایر امکانات زیر بنائي است .

۱-۷-۱- اکتشافات انجام شده :

۱-۷-۱- مرحله پتانسیل یابی :

مرحله پتانسیل یابی مواد معدنی در سال ۱۳۶۸ در محدوده ای بوسعت ۸۰ کیلومتر مربع توسط مهندسین مشاور کاوشگران انجام شده است . در این مرحله پتانسیلهای معدنی فلزی وغیر فلزی تحت مطالعه قرار گرفت . در مطالعات مذبور دوهدف زیر دنبال شده است :

- الف - شناسائی وارزیابی پتانسیل معدنی از کانی سازی آسبست در منطقه مورد نظر .
- ب - شناسائی وارزیابی پتانسیل کانی سازیهای فلزی در منطقه .

مراحل کار بشرح زیر بوده است:

- برداشت زمین شناسی و تهیه نقشه زمین شناسی در مقیاس ۱:۲۰۰۰۰.
 - تهیه نقشه شبکه آبراهه ای به مقیاس ۱:۲۰۰۰۰.
 - اکتشاف بروش کترل زمینی (اکتشاف چکشی) روی پروفیل ها و سیستم آبراهه ها در طول برداشت زمین شناسی و کترل زونهای میزالیزه و آثار عملیات معدنی پیشین با برداشت ۷۱ نمونه (۵۱ نمونه پتروگرافی و فسیل شناسی، ۲۰ نمونه جهت آنالیز شیمیائی برای عناصر (Co,Au,As,Ag,Zn,V,Sb,Pb,Ni,Mo,Hg,Cu).
 - تعیین ایستگاههای نمونه برداری در شبکه آبراهه ای و برداشت تعداد ۴۲ نمونه جهت مطالعه کانیهای سنگین و رسوبات آبراهه ای.
- در این مطالعات، یکی از مهمترین آثار شناسائی شده، کانی سازی جیوه بوده که هم در اکتشافات سطحی و هم در بررسی ژئوشیمیائی کانیهای سنگین شناخته شده است. بر این اساس اجرای عملیات اکتشافی مفصل تر پیشنهاد شده است (۱۰).

۱-۷-۳- مرحله اکتشاف مقدماتی:

اکتشافات مقدماتی در محدوده ای به وسعت حدود ۸/۵ کیلومتر مربع در سال ۱۳۷۱ توسط این مهندسین مشاور انجام شده است. در این مرحله نمونه برداری از رخنمون های سنگی (لیتوژئوشیمی) و رسوبات آبراهه ای (کانی سنگین) صورت گرفته که مراحل انجام کار بشرح ذیل است:

- برداشت و تهیه نقشه زمین شناسی در مقیاس ۱:۱۰۰۰

- تهیه نقشه آبراهه ای در مقیاس ۱:۱۰۰۰

- نمونه برداری لیتوژئوژیمیائی در امتداد پروفیلهای تقریباً "شرقی - غربی بفاصله حدود ۱۰۰ متر در کل منطقه وفاصله ۵۰ متر در زونهای آلتره به تعداد ۱۱۰ نمونه . وزن نمونه های لیتوژئوژیمیائی یک کیلوگرم وحداکثر اندازه ذرات ۴۰ میلیمتر (برداشت بطريق Chipp sampling) بوده است .

- ارسال نمونه ها به آزمایشگاه و آنالیز کلیه نمونه برای عناصر Cu,Co,Sb,As,Hg و آنالیز ۳۰ نمونه برای عناصر Au,Ag.

- پس از برآورده میزان خطأ و دقت آزمایشگاهی ، با استفاده از نرم افزار Geoeas نتایج حاصله مورد برداش تجهیز و تحلیل آماری قرار گرفت . سپس شاخصهای ناهنجاری شامل حدزینه (Back ground) ، حد آستانه ای (Threshold) و آنوسالی (Anomaly) بر اساس نوع توزیع روی سطوح اطمینان ۱۰ درصد ، ۵ درصد و ۱ درصد با استفاده از روابط موجود محاسبه گردید .

- هر نمونه کانی سنگین بوزن حدود ۵ کیلوگرم و با دانه بندی ۲ میلیمتر در ایستگاه نمونه برداری برداشت شده و سپس بطريق شستشو و تنظیظ (لاوک شوئی) ، وزن آنها به ۴۰۰ گرم تقلیل داده شد ، تعداد ۱۷ نمونه کانی سنگین در این مرحله برداشت شده است .

- برداشت نمونه های چکشی در امتداد پروفیلهای پیمایش شده ، جهت معالجه پستروگرافی بتعداد ۱۳ نمونه و مقاطع صیقلای بتعداد ۷ نمونه .

- در نهایت چنین نتیجه گیری شده است که کانی سازی جیوه به رخدادهای تکتونیکی جوان مربوط میشود. روند عمومی آلتراسیون و کانی سازی همراه آن شمالغرب - جنوبشرق بوده و شدیداً توسعه داشته ای موجود در منطقه کنترل شده است. در این بررسی ها، ۳ نوع آلتراسیون سیلیسی، آرژیلیک و لیستونیتی شناسائی شده و آلتراسیون همراه با کانی سازی نوع سیلیسی معرفی شده است. بررسی های ژئوشیمیائی انجام گرفته در این مرحله دلالت بر وجود آنمالمی های ژئوشیمیائی معتبری از عنصر Hg, Co, Cu, Sb, As و

در این منطقه مینماید. قویترین ناهنجاری ژئوشیمیائی جیوه نیز بر زون آلتنه و مینرالیزه "چلی" یوردی " منطبق میشود. نتایج ژئوشیمی کانیهای سنگین و اکتشافات چکشی نیز کانی سازی جیوه در این منطقه را به اثبات رسانده است. با توجه به مجموعه عملیات اکتشافی انجام شده در مرحله اکتشافات مقدماتی، زونهای مینرالیزه و امیدبخش مورد شناسائی قرار گرفته و بترتیب اهمیت واولویت اکتشافی پیشنهاد شده است. واولویت اول مربوط به زون آلتنه "چلی" یوردی " بوسعت ۲/۳ کیلومتر مربع، واولویت دوم در شرق محدوده بوسعت ۱/۶ کیلومتر مربع واولویت سوم مربوط به زون مینرالیزه بیوک دره به مساحت ۳/۳ کیلومتر مربع میباشد (۱۱).

۱-۷-۳- اکتشافات فیله تفصیلی :

در خلال این بررسی ها مجموعه عملیاتی مشتمل بر تهیه نقشه توپوگرافی و زمین شناسی در مقیاس ۱:۱۰۰۰ از محدوده اکتشافی بوسعت ۳۰ هکتار، طراحی، توجیه و حفر ترانشه

جمعاً بطول ۱۸۸۴ متر و حجم خاکبرداری ۴۲۷۷ مترمکعب، برداشت ترانشه ها و نمونه گیری ژئوشیمیائی، اکتشاف ژئوفیزیکی بروشهای ژئوالکتریک (RS,IP) و الکترومگنتیک (V,L,F) و در نهایت تجهیزه و تحلیل های مربوطه و تلفیق نتایج حاصل از مراحل مختلف انجام گرفت.

بمنظور آشکارسازی ماده معدنی، تعیین گسترش زونهای مینرالیزه، سنگ در بر گیرنده (عمود بر روندهای اصلی) و برداشت نمونه های لیتوژئوشیمیائی، تعداد ۸ ترانشه اصلی با امتداد تقریبی N50E و ۶ ترانشه فرعی (در امتداد زونهای مینرالیزه) حفر گردید. از این ترانشه ها بعنوان پروفیلهای ژئوشیمیائی استفاده شده و نمونه گیریها بطریقه لبپری - شیاری (Chipp - Channel) از این ترانشه ها انجام پذیرفت. اگرچه دقت آزمایشگاهی محاسبه شده بر اساس آنالیز نمونه های کترلی بویژه برای عناصر Au,Hg رضایت بخش نبود، لیکن بررسیهای آماری نشان داد که اکثر آنومالی های ژئوشیمیائی بدست آمده قابل انطباق با اکتشافات چکشی و شواهد صحرائی میباشد. تعیین موقعیت سطح فرسایش آنومالیهای ژئوشیمیائی (Hg) بر اساس ضرایب عناصر معرف نشان داد که این آنومالیهای بر کانی سازی عناصر فوق کانساری منطبق میباشند. بطور کلی ضرایب بدست آمده برای ترانشه های T8,T7,T6,T5 (نیمه جنوبشرقی محدوده) نسبت به ضرایب بدست آمده برای ترانشه های T4,T3,T2,T1 پائین میباشند. به دیگر سخن مقدار عناصر فوق کانساری نظیر جیوه کاهش پیداکرده و بر عکس، میزان عناصر تحت کانساری نظیر Zn,Cu افزایش می یابد. سطح تپوگرافی پائین نیمه جنوبشرقی محدوده اکتشافی و در نیجه سطح فرسایش عمیق تر آن نسبت به نیمه شمالغربی میتواند پاسخگوی احتمالی این موضوع

باشد. مشکل عمدۀ ای که در بررسی های ژئوشیمیائی وجود دارد. خطای موجود در آنالیز نمونه ها است. لذا عیار سنجی های حاصل نمیتواند مبنای تعیین میانگین عیار جیوه برای محاسبه ذخیره معدنی در زونهای میترالیزه باشد. علاوه بر آن مغایرت زیادی در نتایج آنالیزهای مرحله اکتشاف مقدماتی با نتایج مرحله حاضر نیز وجود دارد.

از نظر اکتشافات ژئوفیزیکی، با پیمایش منطقه اکتشافی توسط روش قطبش القائی (IP) بهمراه مقاومت ظاهری (RS)، یک آنومالی قوی IP با حداقل شدت ۴۰ میلی ولت بدست آمده که آرایش های دایپل - دایپل بر روی پروفیلهای ۱۵۰E، 200E وجود آنومالی را مشخص نمودند. نتایج حاصل از داده های L.F.V نیز بطور مناسب با شبۀ مقاطع دایپل - دایپل هماهنگی دارد. با توجه به مشاهدات سطح الارضی چنین استنباط میشود که تنۀ اصلی کانی سازی در عمق قرار گرفته ورگه هائی از آن بشکل شاخه درختی (Branching Veins) در امتداد شکستگی ها تشکیل شده است. با در نظر گرفتن پارامترهایی چون شکل زیرزمینی آنومالی های ژئوفیزیکی و گسترش سطحی زونهای میترالیزه ذخیره زمین شناسی این کانسار ۱۳۷۹۸۶۱ تن کانسنگ با عیار ۱/۱. تا ۶/۴ درصد جیوه محاسبه گردید (۱۲).

۱-۷-۴- مراحله اکتشافی حاضر :

علی رغم وجود شرایط سخت و طاقت فرسای آب و هوائی ، مشکلات شدید امنیتی و کارشکنی و ممانعت عشایر ساکن در محدوده در فصل ییلاق ، تیم کارشناسی این مهندسین مشاور موفق به ارائه خدمات مهندسی بشرح ذیل گردید :

- الف - مرمت جاده ارتباطی محدوده اکتشافی بطول ۱۷ کیلومتر با استفاده از بولدوزر .
- ب - مرمت چند دهن پل موجود در مسیر جاده ارتباطی و تقویت آنها بمنظور فراغ آوردن شرایط مساعد جهت عبور ماشین آلات سنگین نظیر بولدوزر و کمر شکن از روی آن .
- ج - اصلاح مسیر آبروهای مجاور جاده .
- د - تجهیز کارگاه واحدات کمپ مسکونی موقت در بدترین شرایط آب و هوائی .
- ه - انتقال تجهیزات سوخت رسانی و تانکرهای ثابت و سیار جهت سرویس دهی به بولدوزر در گستره طرح .
- و - تهیه نقشه زمین شناسی و تپوگرافی در وسعت حدود ۸ هکتار از محدوده اکتشافی بروش برداشت زمینی در مقیاس ۱/۵۰۰ .
- ز - در ادامه عملیات اکتشافی برای تعیین محل دقیق نقاط حفاری ، جهت بدست آوردن بیشترین اطلاعات و با توجه به عملکرد شدید آتراسیون بر روی واحدهای لیتوژئیکسی

و پیچیدگی تاثیر فرآیند های تکتونیکی در محدوده اکتشافی و عدم وجود اطلاعات عمقی کافی از روند کانی سازی و گسترش سنگ میزبان و عوامل کنترل کننده کانی سازی، حفر تعدادی چاهک دستی و احداث ترانشه های عمیق در محدوده گسترش زونهای مینرالسیزه پیشنهاد و به مورد اجرا در آمد. در این راستا چاهکهای متعددی به عمق ۵ تا ۱۵ متر و ۱۳۲۰۰ متر مکعب ترانشه عمیق اکتشافی علیرغم شرایط بسیار نامساعد جوی و امنیتی توسط یک دستگاه بلدوzer D8 حفر گردید و به موازات آن راه ارتباطی داخل محدوده بمنظور حمل دستگاه حفاری احداث گردید.

خ - مطالعات تکتونیکی و بررسی های زمین شناسی بر روی دیواره ترانشه های احداث شده انجام پذیرفت و مقاطع زمین شناسی ترانشه های یاد شده تهیه گردید.

در خاتمه تعداد ۵۷ نمونه لیتوژئوشیمی از چاهک های اکتشافی و ترانشه ها برداشت و جهت آنالیز برای عناصر Hg, As, Au, Ag, Cu به آزمایشگاه ارسال گردید.

ط - در راستای اجرای مطالعات فرآوری عنصر جیوه، دو نمونه از رگه های پر عیار و کم عیار ماده معدنی برداشت و مطالعات لازم بر روی آن انجام پذیرفت. نتایج حاصل از این مطالعات در فصول آتی ارائه خواهد شد.

فصل دوم

کلیاتی در مورد جیوه



۲- گلیاقی در مورد جیوه :

۱-۲- کاربردهای جیوه :

شناخت کاربردهای جیوه به ۲۰۰۰ سال قبل از میلاد بر میگردد. در این عصر جیوه مصارف زیادی داشته که از آن جمله میتوان به تهیه آئینه از جیوه، استفاده از ترکیبات آن در مصارف داروئی، کاربرد آن در رنگها، لوازم آرایشی در نزد یونانیان و رومیان قدیم اشاره نمود. تا قبل از جنگ جهانی اول استفاده اصلی از جیوه در فرآیندهای ملقمه سازی برای بازیافت طلا و نقره بود و در جنگ جهانی دوم تولید باطریهای خشک جیوه ای شروع شد. در حال حاضر بموازات پیشرفت و توسعه تکنولوژی، استفاده از جیوه در صنایع الکتریکی والکترونیکی توسعه یافته، بطوریکه این فلز در حال حاضر بعنوان یک فلز گرانقیمت و کمیاب در جهان مطرح گردیده است. کاربردهای اصلی جیوه در حال حاضر بشرح زیر است:

۱-۱- کاربردهای الکتریکی والکترونیکی :

جیوه در تهیه باطری، لامپ های جیوه ای و در سیم کشی و سوئیچ ها مصرف میشود.



الف - باطربیسازی :

از اکسید جیوه در تهیه یک نوع باطری خشک استفاده می‌شود که در این باطری قطب مثبتی پودر روی ملقمه شده و قطب مثبت اکسید جیوه و گرافیت است وایندوقطب بوسیله یک جسم جاذب از هم جدا می‌شوند. از باطربیهای جیوه ای در موارد گوناگون از قبیل بلندگو، سمعک، دوربین عکاسی، رادیوهای کوچک، ماشین حساب، ساعتهای خودکار، میکروفون، رادیوها و در صنایع فضائی استفاده می‌شود. از خصوصیات مهم این باطری‌ها طول عمر را کد زیاد، ولتاژ عملی ثابت، کارآثی بیشتر، ظرفیت زیاد تخلیه شدن در واحد حجم و عمل حرارتی بسیار گستردۀ است که این ویژگیها موجب کاربرد این نوع باطربیها در صنایع فضائی و دیگر صنایع گردیده است.

ب - لامپ‌های جیوه‌ای :

لامپ‌های جیوه ای از یک لوله تخلیه الکتریکی، حاوی حجم‌های مختلفی از بخار جیوه استفاده می‌شود. این لامپها در کارخانه‌های تولیدی، و در ساختمان‌های بزرگ مورد استفاده قرار می‌گیرند، لامپهای جیوه ای در مقایسه با انواع دیگر لامپها کارآثی بسیار بالائی داشته و به ازاء هر وات مصروفی، روشنایی بیشتری را در فضای باز تولید می‌کنند.

ج - ادوات الکتریکی و سوئیچ ها :

خواص ویژه جیوه از قبیل پخش گرمای یکنواخت، مقاومت تماس قابل پیش بینی و کارآئی آن موجبات استفاده آن را در وسائل و ادوات الکتریکی و سوئیچ ها ولوه های کاندی برای رادیو و ارتباطات راه دور فراهم آورده است.

۲-۱-۲ - کاربردهای جیوه در صنایع شیمیائی :

کاربردهای جیوه در صنایع شیمیائی شامل موارد زیر است:

الف - کاربردهای جیوه در روکها:

ترکیبات مختلف جیوه مثل فنیل استات جیوه در تهیه رنگهای مایع بازی جهت جلوگیری از کپک زدن بمیزان ۵٪ درصد وزنی استفاده میگردد. همچنین مقادیر کمی از جیوه بصورت رنگدانه مصرف میشود از جمله (Hgs) که رنگ قرمز دارد و یعنوان فارج کش مصرف دارد.

ب- کاربرد جیوه در قولید کلر :

جیوه بعنوان یک الکتروود (الکترولیز محلول کلرور سدیم) در تهیه کلرو و سود سوز آور مورد استفاده قرار میگیرد. جیوه بعنوان یک کاتد جاری کننده در یک سلول الکترولیتی حاوی محلول کلرور سدیم بکار میرود. در این سلولها با وصل شدن به برقیان الکتریسیته، گاز کلر در اطراف آند جمع میشود و ملقمه فلزی نیز با کاتد جیوه ای بوجه د می آید. ملقمه حاصل شده بکمک آب تفکیک میشود که در اثر آن سود سوز آور، هیدروژن و فلز جیوه نسبتاً خالص بدست میآید که جیوه بدست آمده دوباره به سلول فرستاده میشود.

از کاربردهای دیگر جیوه استفاده از ترکیبات جیوه نظیر کارید جیوه بعنوان ضد عفونی کننده در جراحی و امراض جلدی و تهیه صابونهای طبی است.

۳-۱-۲- کاربرد جیوه در دندانپزشکی :

جیوه با اکثر فلزات تشکیل آلیاژ میدهد که آنها را ملقمه گویند. ملقمه ها ظاهراً بخار پایداری فوق العاده زیاد ترکیبات بین فلزی مذکور سهی هستند. و یک نوع از آنها در دندانپزشکی مورد استفاده میباشد.

وقتی که ترکیب بین فلزی Ag_3SII با جیوه آسیا میگردد، این ترکیب در جیوه حل

شده، تشکیل ملقمه نیمه جامدی میدهد که با گذشت زمان کوتاهی به شکل مخروط جامد و سختی از ترکیبات بین فلزی Sn7Hg8 ، Ag5Hg8 درمی آید. بهنگام تشکیل این ترکیبات ملقمه فوق مختصراً منبسط شده و محکم روی دیواره حفره دندان می نشیند. بطوریکه باکتریها نمیتوانند به آسانی وارد دندان شوند.

۱-۴-۳- گاربرود جیوه در استعمال طلا:

چون طلای فلزی، خاصیت حل شدن و جذب شدن در جیوه فلزی را دارد، از این خاصیت استفاده کرده و طلای آزاد را از کانیهای دیگر استخراج مینمایند. بدین صورت که مقداری از کانی کنسانتره حاوی طلای آزاد در آسیا مخصوص ملقمه ریخته و روی آن مقداری جیوه فلزی (مایع) اضافه مینمایند. و پس از اضافه کردن برخی از مواد شیمیائی خوب مخلوط مینمایند که در نتیجه تمامی طلای آزاد موجود در تماس با جیوه قرار گرفته و طلا در آن حل میگردد و کلیه طلا از کانیهای دیگر جدا میگردد و در خاتمه جیوه را به آسانی جدا کرده و طلای جمع شده از آن را بوسیله تقطیر یا خلاء جدا میسازند. (۱۱)

۲-۲- بروسی کاربودهای جیوه از دیدگاه زیست‌محیطی :

چون جیوه عنصری سمی است بنابراین در بکاربردن جیوه باید با احتیاط کامل عمل نمود. جیوه از طریق پوست جذب شده و موجب مسمومیت می‌گردد. مسمومیت ناشی از جیوه برای کسانی که با جیوه و نمکهای آن سروکار دارند بسیار خطرناک است. جیوه با اینکه در مقایسه با فلزات فعالیت کمتری دارد ولی فلزی فرار بوده و در بدن اتم‌های آن بصورت Hg_2 ، Hg دیگر اکسیده می‌شوند که ترکیبات هردو یون سمی هستند. جیوه محلول در آب اغلب بصورت متیل جیوه ($Hg(CH_3)_2$) است و در صورتیکه مقدار آن از ۵/۰ گرم در تن تجاوز کند برای انسان خطرناک است.

برای حذف جیوه از پس آبهای صنعتی و قبل از وارد شدن به آبهای طبیعی ابتدا پس آب را وارد حوضچه سیمانی می‌کنند و سپس سولفید سدیم اضافه می‌کنند و سولفید جیوه غیر محلول رسب کرده و با صاف کردن جدا می‌شود. سپس به آن محلول هیپوکلریت سدیم اضافه مینمایند که یونهای جیوه وارد محلول می‌شوند. (۱۱)

۳-۳- تولید و بازار جهانی جیوه :

۳-۲- تولید جهانی جیوه :

چهار منبع عمده تولید جیوه در جهان وجود دارد:

الف - تولید جیوه از معادن جیوه.

ب- تولید جیوه بعنوان محصول جانبی از کانه های طلا، روی و مس.

پ- جیوه بازیابی شده و تولید جیوه بعنوان یک محصول فرعی از محصولات صنعتی مربوطه.

ج- بازیافت ثانوی جیوه از ترکیباتش.

بزرگترین منبع تولید جیوه در جهان از معادن و کانسارهای جیوه میباشد. در سال ۱۹۹۵ اسپانیا با تولید ۱۴۹۷ تن مقام اول و چین و قرقیزستان بترتیب مقامهای دوم و سوم جهانی را داشتند. کل تولید جیوه در جهان در سال ۱۹۹۵، ۳۱۵۹ تن بوده است که بترتیب $\frac{۴۷}{۲}$ درصد، ۱۸ درصد و $\frac{۹}{۲}$ درصد آن متعلق به کشورهای اسپانیا، چین و قرقیزستان بوده است. در این سال جیوه تولیدی بعنوان محصول جانبی استخراج معدن مس در شیلی مصادل ۸۰ تن گزارش شده است.

بررسی تولید جیوه طی سالهای ۱۹۸۴-۱۹۹۵ نشان میدهد که روند تولید این فلز روبه کاهش بوده است بطوریکه از ۶۲۱۷ تن در سال ۱۹۸۴ به ۲۱۲۰ تن در سال ۱۹۹۴ کاهش

یافته است. کاهش عمدۀ تولید از سال ۱۹۹۰ به بعد بوده است که طی پنج سال تقریباً به نصف رسیده است. از دلایل عمدۀ این کاهش قوانین محدودکننده زیست محیطی در بسیاری از کشورهای صنعتی میباشد. در سال ۱۹۹۵ تولید جیوه پس از رکود ۴ ساله، مجدداً "افزایش" یافته است.

آمار تولید جهانی جیوه طی سالهای ۱۹۸۴-۱۹۸۸ و سالهای ۱۹۹۰-۱۹۹۵ در جداول ۱-۲ و ۲-۲ درج شده است.

۱-۳-۱-۱- تولید کنندگان عمده جیوه در جهان و روند تولید :

تولیدکنندگان عمده جیوه در جهان کشورهای اسپانیا، چین، الجزایر، سوروی سابق، امریکا، مکزیک، فنلاند، قرقیزستان، ترکیه، چکسلواکی سابق میباشند. قبل از فروپاشی سوروی سابق، این کشور جزو تولیدکنندگان عمده بود ولی از آن به بعد تولید آن کاهش یافته و در سالهای اخیر تولید جمهوری فدرال روسیه به زیر ۱۰۰ تن در سال رسیده است و کشورهای قرقیزستان، تاجیکستان و اوکراین جزء تولید کنندگان جیوه قرار گرفته اند. مصرف کنندگان عمده جیوه کشورهای امریکا، انگلستان، آلمان، ژاپن و سوروی سابق میباشند.

هم اکنون اسپانیا با تولید حدود ۴۷ درصد از تولید جهانی، بزرگترین تولید کننده جیوه محسوب میشود. تولید جیوه در این کشور از کانسار المعدن واقع در ۲۰۰ کیلومتری جنوبغرب مادرید (اسپانیا) صورت گرفته و با بیش از یک میلیون تن ذخیره، یکی از منابع

جدول ۱-۲- تولید جهانی جیوه طی سالهای ۱۹۸۴ تا ۱۹۸۸ (بر حسب تن) (۱۷)

Country	1984	1985	1986	1987	1988
USSR/CIS	1800	1700	1700	1850	1650
Spain	1520	1542	1471	1510	1482
China	750	760	800	850	950
USA	657	598	465	100	480
Algeria	630	730	700	710	690
Mexico	383	330	345	350	130
Czech & oslovakia	155	158	165	164	160
Turkey	182	227	266	202	150
Finland	80	127	146	145	130
Yugoslavia	155	83	67	70	65

جدول ۲-۲- تولید جهانی جیوه طبی سالهای ۱۹۹۰ تا ۱۹۹۵ (بر حسب تن) (۱۷)

Country	1990	1991	1992	1993	1994	1995
USSR/CIS	800	750				
Spain	713.3	52.1	36	393	393	1497
China	930	800	600	554	467	570
USA	562	58	64	29	15	15
Algeria	637	431	476	459.1	414	292
Mexico	562	340	21	12	12	15
Czech & oslovakia	126	75	60			
Turkey	66	25	5			
Finland	109.2	110.4	74.6	100.8	90	90
Yugoslavia	37	35				
Russia			70	60	50	50
Oslovakia				50	50	50
Ukraine			100	40	50	50
Chile			59	127	70	80
Krygyszstan			300	250	448.5	400
Tajikistan			100	80	55	50
Others			12		6	
Total	4542.5	2676.5	1977.6	2154.9	2120.5	3159

درآمد دولت اسپانیا محسوب میگردد . روند تولید این کشور همانند سایر کشورهای تولیدکننده طی سالهای ۱۹۹۰ تا ۱۹۹۴ دارای سیر نزولی بوده است لیکن از سال ۱۹۹۵ افزایش یافته و به حدود سالهای دهه ۱۹۸۰ رسیده است .

روند تولید جیوه در چین والجزایر تقریباً ثابت بوده و طی سالهای رکود کاهش چشمگیری در تولید این فلز در چین گزارش نشده است . متوسط تولید جیوه در چین حدود ۱۸٪ و در الجزایر حدود ۱۲٪ تولید جهانی بوده است .

در امریکا و مکزیک روند تولید نزولی بوده و از ۶۰۷ تن در سال ۱۹۸۴ به ۱۵ تن در سال ۱۹۹۰ رسیده است .

برای کشورهایی نظیر چکسلواکی سابق ، ترکیه ، یوگسلاوی سابق در سالهای اخیر تولید گزارش نشده است و آمار تولید در کشور شیلی از سال ۱۹۹۲ به بعد گزارش میگردد که بعنوان مخصوص جانبی از معدن مس بوده است . (۱۷)

۳-۲-۳-۲- تجارت و بازار جهانی جیوه :

۳-۲-۲-۱- صادرات و کشورهای عده صادرکننده :

حجم صادرات جهانی جیوه طی سالهای ۱۹۹۰ تا ۱۹۹۵ بطور متوسط بین ۲۰۰۰ تا ۳۰۰۰ تن در سال در نوسان بوده است . در سال ۱۹۹۰ ، اسپانیا با ۴۷۵ تن بیشترین صادرات جیوه را داشته است ، سپس کشورهای الجزایر ، چین و امریکا بترتیب بالاترین صادرات جیوه را بخود اختصاص دادهند . در سال ۱۹۹۱ اسپانیا والجزایر و امریکا همچنان

در رده کشورهای عمدۀ صادر کننده باقی ماندند ولی صادرات چین کاهش داشته است و از ۳۲۹/۷ تن در سال ۱۹۹۰ به ۶۲/۹ تن در سال ۱۹۹۱ رسیده است.

در سالهای ۱۹۹۲ و ۱۹۹۳ اسپانیا و امریکا بترتیب مقام های اول و دوم را بین صادر کنندگان جیوه داشتند و در این سالها هنگ کنگ بعنوان سومین صادر کننده وارد بازار صادرات جیوه شد.

در سال ۱۹۹۴ صادرات جیوه کاهش یافته و به میزان ۱۲۷۷ تن رسیده است که ۱۵۱۲ تن آن مربوط به هنگ کنگ بوده است و بقیه را کشورهای انگلستان و قرقیزستان و بمقادیر کمتر کشورهای فرانسه، تایوان و ژاپن صادر کرده اند.

در سال ۱۹۹۵ تناظر صادرات جیوه مجدداً افزایش یافته که باز هم هنگ کنگ با ۷۰٪ از کل صادرات، بیشترین مقدار صادرات را داشته و کشورهای انگلستان، آلمان غربی سابق، کانادا مقادیر کمتری صادر کرده اند.

آمار صادرات و صادر کنندگان عمدۀ جیوه در جهان در سالهای ۱۹۹۰ تا ۱۹۹۵ در جدول ۳-۲ آرائه شده است. (۱۷)

۲-۳-۲- واردات و کشورهای ۵۵۵۵ واردکنندگان:

واردات جهانی جیوه طی سالهای ۱۹۹۰ تا ۱۹۹۵ بین ۲۵۰۰ تا ۳۵۰۰ تن در نوسان بوده است. در سال ۱۹۹۰، کشور هندوستان با ۴۲۶/۵ تن اولین واردکننده جهانی این فلز در جهان بوده است و بعد از آن برزیل و آلمان غربی سابق، عربستان سعودی، هنگ کنگ

جدول ۲-۳= صادرات جهانی جیوه طی سالهای ۱۹۹۰ تا ۱۹۹۵ (بر حسب تن) (۱۷)

Country	1990	1991	1992	1993	1994	1995
UK	176.3	108.3	79.7	199.1	245	224.3
Austria	0.7	1.5	2.4	0.5		
BLEU	36.5	50.1	199.6	3.4		
Denmark	6.2		3	2.5	0.2	4.7
Finland	103	110	89	228		
France	38	112	87	39	19.8	
Germany	75.6	374.2	97.2	66.7		116.2
Ireland	0.349	14.1	149.1	8.4		
Italy	21	67.9	82.6	150		
Netherlands	154	68	44	96		
Spain	475	832	898	1170		
Sweden	45	79	59	2		
Norway	259	8	29	5	2	
Switzerland	32.6	11.2	3.1	4.8		18.7
Algeria	400.6	679				
Canada	33.16	50.8	64.5	35.6	5.1	107.4
Mexico	23.1	0.328	1.9			
USA	311.6	588.2	994.4	888		179
Chile		0.69	58.9	126.9	70	9
China	329.7	62.9	52.5	53.4		
Hong kong	116.1	123.8	476.7	309	1012	1577
Japan	103.9	8.7	2.6	6.5	18.6	
Krygyszstan				2.2	106.9	
Singapour	7.4	5.9	19	39	3.5	2.4
Taiwan	3.5	49.8	51	21.5	36.6	18.2
Others	2		3	1		

وآفریقای جنوبی قرار دارند که وارداتی بیش از ۱۰۰ تن در این سال داشته اند. در سال ۱۹۹۱ هندوستان همچنان مقام اول واردکنندگان را ۴۸۲/۹۱ تن به خود اختصاص داده است و رومانی و اسپانیا با ۳۱۲ و ۲۱۰ تن در مقام دوم و سوم قرار داشتند و سایر کشورهای عمدۀ واردکننده شامل آلمان غربی سابق، برزیل، آرژانتین، هنگ کنگ و فیلیپین بوده اند.

در سال ۱۹۹۲ بالاترین مقدار واردات جهانی طی سالهای مورد بررسی بمقدار ۳۷۸۲ تن انجام شده است که بزرگترین واردکننده کشور هنگ کنگ با ۶۵۱ تن بوده است و بعد از آن کشورهای چین و هندوستان با ۵۵۵ و ۳۳۹ تن قرار دارند. در سالهای ۱۹۹۳ و ۱۹۹۴ حجم واردات جهانی حدود ۳۴۰۰ تن در سال بوده است و هنگ کنگ و چین در رده اول و دوم واردات جهانی قرار دارند و بعد از آن ها کشورهای اسپانیا و هندوستان قرار دارند. واردات اکثر کشورها در سال ۱۹۹۵ در دسترس نمیباشد. بنابراین جمع کل واردات جهانی قابل مقایسه با سایر سالها نمیباشد ولی وجود آمار واردات هنگ کنگ با ۱۹۷۶ تن در این سال نشان دهنده آن است که این کشور هنوز در صدر واردکنندگان جهانی این فاز قرار دارد. آمار واردات جهانی جیوه بر حسب کشورهای واردکننده طی سالهای ۱۹۹۰ تا ۱۹۹۵ در جدول ۴-۲ ارائه شده است (۱۷).

جدول ۴-۲ - واردات جهانی جیوه طی سالهای ۱۹۹۰ تا ۱۹۹۵ (بر حسب تن) (۱۷)

Country	1990	1991	1992	1993	1994	1995
UK	51	39.4	67.2	14.9	5	3.8
BLEU	74	87.2	94	50.3		
Denmark	3.7	14.8	24	3.8	5.1	1.9
Franco	107	109	133	183	53.4	
Germany	198.7	191.9	174.2	98.5		133.5
Greece	4	4	5	2		
Ireland	48.5	15.6	25.8	30.5		5.3
Italy	92	75.9	48.7	11		
Netherlands	106	83	37	191		
Portugal	15	14	5	1.4		
Spain	79	210	220	356		
Austria	5.9	6.6	5.3	0.8	2.4	
Finland	1	1				
Hungary	27		23	17	7	
Norway		3		21	3	7
Poland			13			
Romania	15	312	216	152	106	106
Sweden	14	9	56	5		
Switzerland	15.7	12.9	7.4	11.9	8.3	19.8
Turkey	22	5	5	3.6	22	
Morocco	9.2	10.2	8			
South Africa	119	97		37.4	53.3	63.5
Tunisia	6.3	1.1	1			
Canada	53.8	12	16.8	8.7	5.6	6.1
Mexico	0.75	45	84.8	97	37	
USA	14.9	55.4	91.7	39.9	129	377
Argentina	58	123	37			
Brazil	239.5	148.8	181	158		
Colombia	44.7	76.0	39	12		
Peru	11.7	20.6		28		
Uruguay	7	0.3	0.4		3.5	
Venezuela	15.3	48.8	3.9	20.8		
China			555.6	344.1	809.1	
Hong Kong	128.7	115.5	651	472.2	1385.1	1976.5
India	426.5	482.9	338.9	305	292.2	
Indonesia	41.5	86.2	192.9	218.6		
Israel	1	6	2	1		
Japan	33.8	44.8	25.7	12.1	8.2	
North Korea	3	3		2		
South Korea	27.1	30.2	18	33.4	34.3	
Malaysia		5.1	11			
Myanmar	16.2	10.1				
Pakistan	61	75.1	112.1	36.4	34.2	
Philippines	92.7	120.8	95.4	67.6	157.3	
Saudi Arabia	139.6					
Singapore	18.7	85.5	23.9	49.7	101.5	45.4
Sri Lanka	1.3	0.8	2.3	174.2	5	
Taiwan	10.8	13.5	18.9	3.7	15.6	8
Thailand	10	10.6	11.4	87.4	62.5	
Australia	73.5	73.5	80.7	59.1		
Others	17.7	23	14	17	2	
Total	2580.7	3019.9	3782	3437	3448.6	2751.9

۴-۳- حمل و نقل جیوه :

فلز جیوه در دنیا معمولاً "تصورت جیوه طبیعی (عنصری)" خرید و فروش میشود و بر روی ترکیبات آن معاملات چندانی صورت نمیگیرد. جیوه طبیعی با خلوص ۹۹/۹ درصد را در ظروف چدنی و فولادی حمل و نقل میکنند. ظرفهای حمل و نقل جیوه در اندازه های مختلف از فلاسکهای فولادی ۷۶ پوندی و یا تانکرهای چند تنی هستند. جیوه با خلوص بیشتر (۹۹/۹۹٪) را معمولاً در ظرفهای کوچکتر شیشه ای یا پلاستیکی بسته بندی کرده و به بازار عرضه میکنند.

۴-۴- روش های کاهه آرائی واستعمال جیوه :

۴-۱- روش های کاهه آرائی جیوه :

از آنجاییکه سنگ معدن جیوه در دمای نسبتاً پائین تجهیزه میشود (عنصر جیوه در ۳۵۷ درجه سانتیگراد تبخیر میشود) از قبل از دوران دوم باستان روش تهییه آن عبارت از حرارت دادن سنگ معدن و بعد تراکم و میعان بهخار جیوه بوده است.

در روشهای جدید هنگامیکه سنگ معدن دارای عیار پائین بوده و هزینه حرارت دادن بالا باشد جهت صرفه اقتصادی ابتدا سنگ معدن را باید بروشهای مختلف تخلیق نمود و سپس

اقدام به استحصال جیوه از کنسانتره نمود.

عيار قابل قبول سنگ معدن جیوه در مناطق مختلف تفاوت های قابل ملاحظه ای دارد. معمولاً "جيوه از کانسارهای دارای عيار ۱۰٪ تا بيش از ۲٪ بازيابي ميشود. اما اغلب کانسارهای اقتصادی بيش از ۲٪ جيوه دارند. در معدن المعدن اسپانيا در برخی مناطق عيار جيوه تا ۱۰٪ نيز ميرسد بجز امريكا در کشورهای ديگر هنگاميكه عيار جيوه سنگ معدن ۱ تا ۲٪ (۲۰ تا ۴۰ پوند در هر تن) باشد مرغوب محسوب ميگردد. ولی در امريكا اين نسبت بين ۰/۵ تا ۰/۷۵٪ (۱۰ تا ۱۵ پوند در هر تن) بعنوان عيار مرغوب شناخته شده وعيارهای پائين ۵٪ تا ۱۵٪ درصد ميبايسنی تغليظ شوند. مهمترین کانی جيوه سينابير يا سولفید جيوه (Hgs) ميباشد وحدود ۰/۹٪ محصول جيوه جهان از اين کانی استخراج ميگردد. از سایر کانيهای جيوه از قبيل متاسيناير جيوه ، ليوينگستونيت واژ جيوه خالص نيز جيوه استحصال ميگردد ، علاوه بر استخراج جيوه از معادن ، مقدار کمی نيز بصورت همراه با کانسنگ های روی و مس بعنوان محصول جانبی قابل بازيابي است . توليد جيوه بعنوان محصول جانبی در جهت ممانعت از آلودگی بعلت وضع قوانيس و استانداردهای زیست محيطی افزایش يافته است .

روش های متداول کانه آرائی کانه های جيوه عبارتند از سنگ جوري ، خرد کردن ، جدا کردن ثقلی (روش های جيگ و ميز) و روش های فلوتاسيون ميباشد .

۱-۱-۵-۲- روش ثقلی :

با توجه به اینکه وزن مخصوص کانه سیناپر نسبتاً زیاد است ($8/10$ گرم بر سانتیمتر مکعب) بنابراین روش پر عیار سازی با استفاده از میز وجیگ که بر اساس جداسازی ثقلی است میتواند بسیار مناسب باشد ولی این روش بدلیل تولید نرمه زیاد، شناور شدن ذرات کانه در آب باعث کم شدن درصد بازیابی است. در یک نمونه میز طراحی شده برای حداقل 10^0 تن در روز در امریکا بعد از مرحله سنگ شکنی، سرنده کردن و آرایش با میز، نتیجه 85% بازیابی بدست آمده است. در این عملیات کانه اولیه با عیار حدود 454 گرم در تن (1 پوند در هر تن) بوسیله میز پر عیار شده و در سرنده کردن دوباره، عیار جیوه 8 تا 10 درصد افزایش یافته و در نهایت محصول با 65% جیوه بدست آمده است. این روش توسط شرکت معادنی Oat Hill Middle Calif طراحی و مورد استفاده قرار گرفته است.

استفاده از میز وجیگ جهت پر عیار سازی جیوه در فیلیپین نیز متداول است. در این کشور جیگ، میز و فلوتاسیون جهت پر عیار سازی بکار گرفته میشود. خوراک ورودی باطله حاصل از استریینگ است. بنابراین هزینه معدنکاری پائین است با وجود این تقریباً 75% از هزینه ها صرف خردایش سنگ معدن به ابعاد $1/2$ اینچ میشود.

۲-۱-۵-۲ روش فلوتاسیون :

بنظر میرسد که روش فلوتاسیون مناسب ترین روش کانه آرائی سیناپر باشد ، این روش نیز دارای مشکلاتی میباشد که توجه به آنها ضروری است این مشکلات شامل موارد زیر است :

- ۱- ایجاد نرمه ضمن خرد کردن کانه .
- ۲- وجود کانه های رسی نظیر مونت موریاونیت وغیره همراه کانه .
- ۳- آزاد شدن کانه در اندازه های متعارف ۶۰ الی ۱۰۰ مش بدلیل وجود ذرات بسیار ریز اوپال همراه کانه .

واقعی که سیناپر بصورت کانه نسبتاً ریز بلور است و به راحتی بدون آسیا کردن زیاد آزاد میشود و سنگ معدن دارای رس اضافی نمیباشد به روش فلوتاسیون ، کنسانتره مرغوب با درصد بازیابی بالا بدست می آید .

از شرکتهایمعدنی که بروش فلوتاسیون مبادرت به تخلیط جیوه مینمایند میتوان بموارد زیر اشاره نمود :

- شرکت کومینکو در منطقه Pinche lake کانادا .
- شرکت معدنی نیپون در جزیره Hokaido ژاپن .
- معدن سروتوپیانو در ایتالیا .

جزئیات وفلوشیت عملیات در دسترس نمیباشد . در یک مسورد از شرکت معدنی نیپون

در ژاپن گزارش شده است که ۷۰٪ از جیوه بصورت جیوه خالص میباشد و در معدن سروتوپیانو در ایتالیا نیز مقدار زیادی کانه نرمه ضمین خرد کردن از دست میرود.

شرکت معدنی جکسون مائونیتن در ایالات متحده امریکا در معدنی بنام Glass Bulles واقع در ۵۲ مایلی غرب کانسار Burns، بسا استفاده از روش فلوتاسیون در سال ۱۹۶۶ بمدت دو سال با ظرفیت ۱۵۰ تن در روز، کانسنگ محتوی ۱ پوند در هر تن جیوه را با راندمان ۸۷٪ تغییظ نموده است.

نتایج بدست آمده از فلوتاسیون یک نمونه کانه سینابر از معدن گلاس بوش امریکا بعد از خردایش حدود ۹۰٪ تا ۶۵٪ مش و راندمان حدود ۹۰ تا ۹۴٪ در عیارهای ۶۸۰ گرم تا ۹۰۰ گرم بر تن در جدول شماره ۵-۲ و کاتالیزورهای فلوتاسیون در جدول شماره ۶-۲ نشان داده شده است.

جدول شماره ۵-۲: نتایج بدست آمده از فلوتاسیون یک نمونه کانه سیناپر

درصد بازیابی	عيار بدست آمده		عيار اولیه	اندازه کانه ها
	درصد	وزنی		
۹۰	% ۱۷/۵	۱۶۰ کیلوگرم برتن (۳۵۰ پوند برتن)	۶۸۰ گرم	% ۹۰ دانه ها زیر ۶۵ مش
۹۴	% ۲۲/۵	۲۰۰ کیلوگرم برتن (۴۵۰ پوند برتن)	۹۰۰ گرم	% ۹۰ دانه ها زیر ۶۵ مش

جدول شماره ۶-۲ : مواد شیمیائی مورد استفاده در فلوتاسیون کانه سیناپر در محشی گلاس -
بوش

ماده مصرف شده	مورد مصرف	مقدار ماده مصرف شده
آئروگزنتات ۳۰۱ یا DOWZ-12	کلکتور	۱۳۵ گرم (۰/۳ پوند) برتن
آئروفلوت ۳۱ (Aerofloat)	کلکتور	۳۰ گرم (۰/۰۷ پوند) برتن
سولفات مس	فعال کننده	۱۲۰ تا ۱۸۵ گرم (۰/۲۷ تا ۰/۴۱ پوند) برتن
فروتر - آئوفروت ۶۵ (Aerofroth-Frother)	کفساز	۸۰ گرم (۰/۱۷ پوند) برتن

تحقیقات جدیدی بر روی فلوتاسیون سنگهای معدنی سولفیدی جیوه انجام نشده زیرا در گذشته بخوبی بر روی آن کار شده است و آزمایش های فلوتاسیون بر روی نمونه های بسیار گوناگون در اداره معدن "نوادا" انجام شده است. عامل مهم در فلوتاسیون موفق کانه سولفید جیوه، بازیابی فرمه ها با توجه به حضور رس های همراه کانه میباشد. نتایج بدست آمده نشان میدهد که استفاده از ترکیبات سدیم، بجای آهک برای کنترل PH مناسب، کارساز بوده است. وجود یون سدیم مانع تورم رس ها میشوند. نتایج آزمایشگاهی فلوتاسیون بر روی دامنه وسیعی از عیار سنگهای معدن پیشواز زیر بدست آمده است:

ماده مصرف شده	مورد مصرف شده	مقدار مصرف شده
کربنات سدیم	جهت کنترل PH	ایجاد PH ۷/۲ الی ۷/۸
سیلیکات سدیم	کلکتور	بیش از ۱/۸۰ کیلوگرم (۴ پوند) بر تن
سولفات مس	فعال کننده	۱۸۰ گرم (۰/۴ پوند) بر تن
کاتالیزور سیانامید	بازدارنده	۱۸۰ گرم (۰/۴ پوند) بر تن
روغن کاج	کفساز	۳ تا ۰/۰ ۰/۱۵ گرم بر تن

۲-۵-۲- فرآوری واستحصال فاز جیوه از کانسنگهای تغییض شده:

کانی های سولفیدی جیوه در درجه حرارت های ۳۷۵ تا ۵۰۰ درجه سانتیگراد بشکل بخار در می آیند و از همین خاصیت برای استحصال جیوه پس از خردایش کمتر از ۲ تا ۱/۲ اینچ استفاده می شود. سنگ معدن را مستقیماً یا بعد از تغییض و تولید کنسانتره در کوره های مخصوص گرم می کنند تا بصورت بخار آزاد شود. سپس این بخار را بوسیله سیستم های مخصوص سرد می کنند تا فلز جیوه بدست آید. در صورتیکه فلز با درجه خلوص زیاد لازم باشد محلول سرد شده را دو یا سه بار تقطیر کرده ویا از پالایش الکتریکی استفاده مینمایند.

در کارخانه های با مقیاس کوچک، عملیات تولید جیوه بطور ناپیوسته انجام میگیرد و از وسائل ساده گرم کننده، متراکم کننده و تصفیه کننده استفاده می شود، ولی برای تولید جیوه در مقیاس بزرگ، معمولاً "عملیات، پیوسته بوده و از کوره های دوار (افقی) ویا قائم استفاده می شود. تغذیه و تخلیه نیز بصورت مکانیکی انجام میگیرد. در کارخانه هایی که خوب طراحی شده باشند، میتوان تا بیش از ۹۵٪ جیوه موجود در کانه را با عیار تجارتی ۹۹٪ بازیابی نمود.

روش فرآوری شیمیائی، یکی از روش های استحصال جیوه از کانسنگ یا کنسانتره جیوه میباشد که با وجود تنوع روش ها از لحاظ اقتصادی مقرر نبوده و نمیباشد. قدیمی ترین این روش عبارت از حل کردن سولفید جیوه در یک محلول سولفید قلیاً نیست.

(سولفید سدیم یا هیدرو اکسید سدیم) است . سپس فلز جیوه با اضافه کردن آلومینیوم و یا بروش الکترولیز استحصال میگردد .

روش دیگر فرآوری شیمیائی که در مقیاس آزمایشگاهی و نیمه صنعتی توسط اداره معادن امریکا تجربه شده است شامل اکسید اسیون سولفید جیوه بهمراه الکترولیز اسلامی سنگ معدن در محلول آب نمک (NaCl) است که بنام الکترو اکسید اسیون سینابر معروف میباشد .

در این روش یون جیوه در محلول نمک یک ترکیب با ثبات تراکلرور تشکیل میدهد و سپس بر روی فلز روی ته نشین شده ورسوبی را تشکیل میدهد که استحصال میگردد . روش دیگر که در اصل در سال ۱۹۲۷ توسط گلایزر ابداع شده و در سال ۱۹۶۹ تکمیل گردیده اتحال سولفید جیوه در محلول هیپوکلریت کلرین میباشد . گاز کلرین در آب حل شده واسید هیپوکلرور یا یون هیپوکلریت و یون کلریت تشکیل میدهد . جیوه فلزی ، سینابر و سایر ترکیبات جیوه در چنین محلولی بسرعت حل میشود . روش های مختلف برای ترکیب جیوه از محلول بکار گرفته میشود که میتواند بصورت ترشیست جیوه فلزی ، سولفید و غیره باشد و یا میتواند از طریق تبادلی یونی یا جذب سطحی کربن ، جیوه استحصال گردد . تحقیقات در زمینه ابداع روشهای جدید تر استحصال جیوه ادامه دارد .

تجربیات نشان داده است که سنگ معدن با حداقل عیار ۰/۲۵ % Hg بعد از مرحله خردایش با دانه بندی کوچکتر از ۱/۲ تا ۲ اینچ میتواند بطور مستقیم در کوره دوار تشویه شده و تبدیل به بخار جیوه گردد . این امر نسبت به تشویه کنسانتره از نظر اقتصادی مقررون به صرفه نیز میباشد . این امر بدلیل بالا بودن درجه آزادی کانه سینا بر است که بعد از

جداسازی و ایجاد نرمه بیشتر برای کنسانتره روش نقلی مناسب نیست خصوصاً اینکه کنسانتره بروش فلوتاسیون عالیرغم سهولت بدليل ایجاد گرد و غبار در کوره خالی از اشکال نمیباشد.

گزارش از دانه بندی عیارهای مختلف در تست کلسینه بشرح زیر میباشد:

$1/2 \text{ تا } 1/2 \text{ درصد} = 0.00 \text{ Hg}$

$1/4 \text{ تا } 1/4 \text{ درصد} = 0.10 \text{ Hg}$

$1/4 \text{ درصد} = 0.05 \text{ میکرون} 8 \text{ تا } 1/4 \text{ Hg}$

$1/4 \text{ درصد} = 0.06 \text{ میکرون} 8 \text{ Hg}$

و در واحد فرآوری سولفوریانک (کالیفرنیا، ایالات متحده) حداقل عیار بهره برداری از معادن بشرح زیر نشان داده شده است:

جیوه با عیار $1/75$ پوند برتن (0.075 درصد) با دانه بندی بزرگتر از 2 اینچ

جیوه با عیار $2/20$ پوند برتن (0.10 درصد) با دانه بندی $3/4 \text{ تا } 2 \text{ اینچ}$

جیوه با عیار $4/20$ پوند برتن (0.19 درصد) با دانه بندی $1/4 \text{ تا } 3/4 \text{ اینچ}$

جیوه با عیار $11/5$ پوند برتن (0.52 درصد) با دانه بندی کوچکتر از $1/4 \text{ اینچ}$

کانه های دارای عیار بیش از 0.25 درصد از طریق سرنده نمودن و برگشتن دانه های بزرگتر باطله توسط سنگبجوری دستی تغییظ میگردد. در بیشتر واحدهای پسالایش واحد برگشته دانه های درشت تر از طریقه دانه بندی همراه و یا بسدون سرنده نمودن دانه های درشت موجود است. دانه بندی ثانویه از $1/2$ الی 2 اینچ ، شستشوی دانه های بزرگتر جهت جدا کردن نرمه با تأکید بر رنگ و سپس دانه بندی و بعد خردایش دانه های درشت تر و گرم نمودن مواد خرد شده در کوره، مجموعه عملیاتی است که انجام میگیرد. در این

طریق در اثر دانه بندی نمودن ، حدود ۰.۵٪ یا بیشتر وزن محصول بعد از گرم نمودن کاهش می یابد .

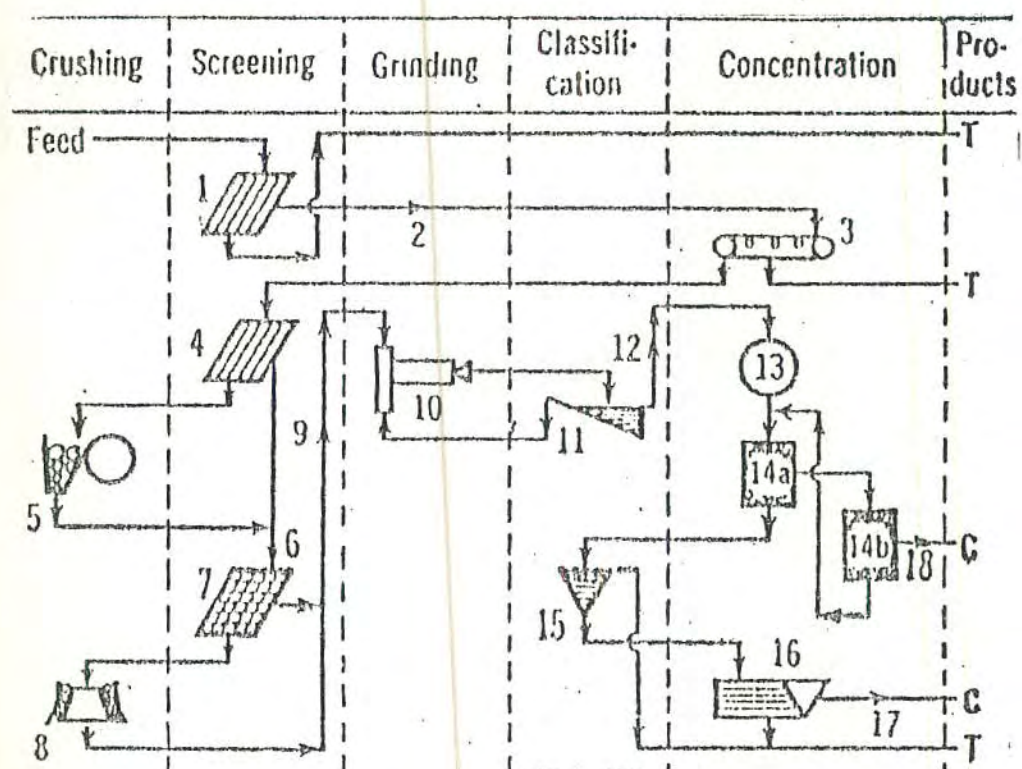
کانه سیناپر بدلیل وزن مخصوص بیشتر بسرعت فلوته میگردد . "ممولا" کانسنگ با عیار پائین با توجه به وضعیت انتشار دانه ها بخوبی از طریق سنجگجوری دستی جدا شده و کنسانتره میگردند ولی کنسانتره تولید شده از این روش میباشد توسط یک روش گرانقیمت ترا از متد عبور از کوره گرم شوند . در واحد سولفوربانک حتی با خردایش تا حد اکثر یک اینچ باقیمانده گرد و غبار منتقل شده از کوره بقدرتی زیاد است که باید قبل از تراکم ذرات ، غبار گیری مجدد انجام گیرد و غبار بقدرتی در محتوی جیوه شرکت مینماید که میباشد مجدداً فلوته شوند .

در زیر به چند نمونه از کارخانجات فرآوری جیوه اشاره میگردد :

۱-۲-۵-۱- واحد فرآوری جیوه در ایالت گویرور (مکزیک) :

فلوشیت واحد فرآوری جیوه در ایالت گویرور ، مکزیک در شکل شماره ۱-۲ نشان داده شده است . مشخصات این واحد بشرح زیر است :

کانسنگ : لیوینگستونیت (سولفات آنتیموناید جیوه) و سیناپر با استیبیت ، گوگرد طبیعی و پیریت در گچ ، دولومیت و کالسدونی ظرفیت : ۱۶ تن در روز



شکل ۲-۱- فلوشیت واحد فرآوری جیوه در ایالت گویردو، مکزیک

عيارها : خوراک ورودی ۰/۲۴٪ جیوه و ۰/۹۶٪ آنتيموان

كنسانتره : ۷-۱۱ درصد جيوه و ۲۵-۵۰ درصد آنتيموان

در صد بازيابي : ٪ ۹۰ جيوه

نسبت تغليظ : حدود ۴۰ به يك

ارقام ارائه شده در شكل شماره ۱-۲ بيانگر موارد زير است :

۱- گريزلى مسطح ۱۰ اينچ (مواد کانه دار عبور كرده و باقيمانده به بخش باطله انتقال می یابد)

۲- مخزن با ظرفيت ۴۰ تن

۳- نوار نقاله به عرض ۳۰ اينچ

۴- گريزلى ۳ اينچ

۵- سنگ شکن فکی با دهانه اي به ابعاد ۱۰×۲۰ اينچ

۶- نوار نقاله

۷- سرند سيمونز ۶×۳ فوت با چشميه ۳/۸ اينچ

۸- سنگ شکن ژيراتوري از نوع Taylor ۲۰ اينچ

۹- نوار نقاله بعرض ۱۸ اينچ با شيب ۱۷ درجه ، نمونه گير ، مخزن ۳۰۰ تن ، فيدلر نواری ۱۸ اينچ

۱۰- آسياي گلوله اي تيلور ۶×۵ فوت

۱۱- كلاسيفایر ۴×۲۰ فوت

۱۲- پمپ

۱۳- آماده ساز به ابعاد 8×6 فوت

۱۴- یک دستگاه فلوتاسیون b-A Denversu ۶ سلوالی

$a =$ سلولهای ۳ تا ۶

$b =$ سلولهای ۱۲ و ۱۴

مواد شیمیائی شامل گزنتات، روغن کاج، کربنات سدیم برای تنظیم $\text{pH} = 8$ و سولفات مس

۱۵- مخروط نرمه گیر ۵ فوت

۱۶- میز شماره ۶ Wifley (ویفلی)

۱۷- بازگشت به آسیا

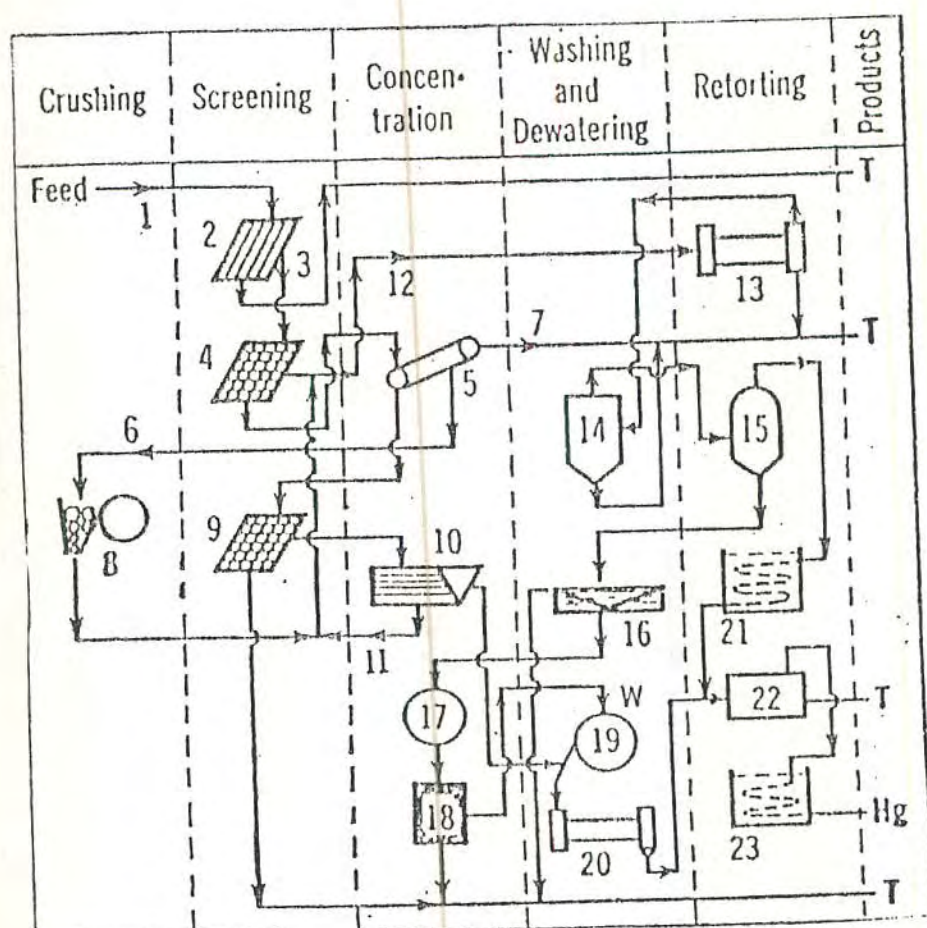
۱۸- تیکنر 4×16 ، یک فیلتر استوانه ای 3×4 فوت، خشک کن

این واحد شامل یک مرحله سنگ شکنی، سرنده، آسیا، کلاسیفایر، میز نرمه و فلوتاسیون است.

۲-۴-۵-۳- واحد فرآوری جیوه سولفور بافک:

فلوشیت این واحد در شکل شماره ۲-۲ نشان داده شده است و مشخصات آن بشرح زیر میباشد:

کانسنگ: سینایر دانه ریز پراکنده در بازالت هوازده با عیار متوسط ۲٪ گوگرد



شکل ۲-۲- فلوشیت واحد فرآوری جیوه سولفوربانک

ظرفیت : ۳۰۰ تن در روز

عيار : خوراک ورودی ۴/۵ پوند بر تن (۰/۲۰٪) جیوه و ضایعات برگشتی
نگjourی دستی ۱/۵ پوند بر تن
بازیابی جیوه : ۸۵ درصد

برق مصرفی : ۳/۳ کیلووات بره رتن

نیروی کار : ۳/۴ تن بره نفر در هر شیفت کار

خلاصه فرآیند : بازیابی ضایعات اولیه در اندازه های بیش از ۹ اینچ در گر
ثانویه بوسیله سنگ جوری دستی با دانه بندی ۱-۹ اینچ و سپس شستشو بر ایز
ارقام ارائه شده در شکل شماره ۲-۲ بیانگر موارد زیر است :

(۱) خوراک ورودی بوسیله دودستگاه بیل مکانیکی یک یارد مکعبی به
کامیون های ۸ یارد مکعبی به محل کار حمل میشود .

(۲) گریزلی شبی دار ساخته شده از ریلهای ۷۰ پوندی بفاصله ۱۹ اینچ

(۳) مخزن اسکیپهای ۲ تنی بر روی ریل شبیدار ، مخزن ۴۰ تنی فیدر آسیا

(۴) سرند استوانه ای به عرض ۴۲ اینچ و طول ۸ فوت با چشممه های دایره

(۵) نوار نقاله شبیدار به عرض ۳۶ اینچ و به طول ۴۰ فوت که بر روی آن آب نصب
شده است .

(۶) مخزن به ظرفیت ۲۵ تن

(۷) نوار نقاله ای که به دپوی باطله منتهی میشود .

(۸) سنگ شکن فکی ۱۰×۲۰ اینچ ، با دهانه خروجی ۲ اینچ ، این سنگ شکن هنگامی که

مخزن ۶ پر است بطور منقطع کار میکند.

۹) سرند لرزان با چشمeh ۱/۴ اینچ برای جدایش چیپس ها

۱۰) میز که عیار کنسانتره آن حدود ۱۰۰ پوند بر تن و عیار باطله حدود ۶ پوند بر تن جیوه

۱۱) استخراهای ذخیره برای آبگیری، خشک کردن با آفتاب، بار کردن کامیونها با بیل دستی
بسمت دپو

۱۲) نوار نقاله به عرض ۱۸ اینچ و به طول ۴۳۰ فوت، نوار نقاله به عرض ۱۸ اینچ و به طول ۳۸ فوت، دپوی ۵۰۰۰ تنی، یک دستگاه دراگ لاین (drag line)، نوار نقاله به عرض ۱۸ اینچ و به طول ۴۸ فوت، بالابر سطحی، مخزن ۵۰ تن، فیدر ۳۰ اینچ، نوار نقاله به عرض ۱۸ اینچ و به طول ۶۰ فوت.

۱۳) کوره دور بطول ۴۶ اینچ با شیب ۱/۲ اینچ بر فوت، مقدار خوراک ۱/۸ تن (خشک) در هر ساعت. مشعل در طرف خوراک دهی نصب شده و درجه حرارت گاز خروجی ۶۲۵ درجه سانتیگراد است. مقدار اکسیژن ورودی طوری تنظیم میشود که گوگرد سوخته نشده ای در گاز خروجی نباشد زیرا در قسمت کندانسه کردن تمايل به واکنش با جیوه دارد.

۱۴) سیستم غبارگیر

۱۵) مخزن ته نشینی

۱۶) دومخزن ته نشینی بصورت سری

۱۷) یک مخزن Devereaux ۱۰×۱۰ فوت با سرعت ۲۵ دور در دقیقه

۱۸) یک دستگاه فلوتاسیون ۲ سلوالی

۱۹) فیلتر خلاء از نوع Batch

۲۰) دیسک های خشک کن برقی از نوع Batch

۲۱) سیستم سری کندانسور.

۲۲) کندانسور لوله ای

۲-۸-۳-۲- واحد فرآوری جیوه شرکت کالوردیل (Colverdale)

فلوشیت واحد فرآوری جیوه کالوردیل در شکل شماره ۲-۳ ارائه شده است و مشخصات این واحد بشرح زیر است :

محل : کالوردیل کالیفرنیا

کانسنگ : سیناپر بصورت رگه ولايه های نازک در درز و شکافهای سنگ چرت با ساختمان شدیداً تکتونیزه

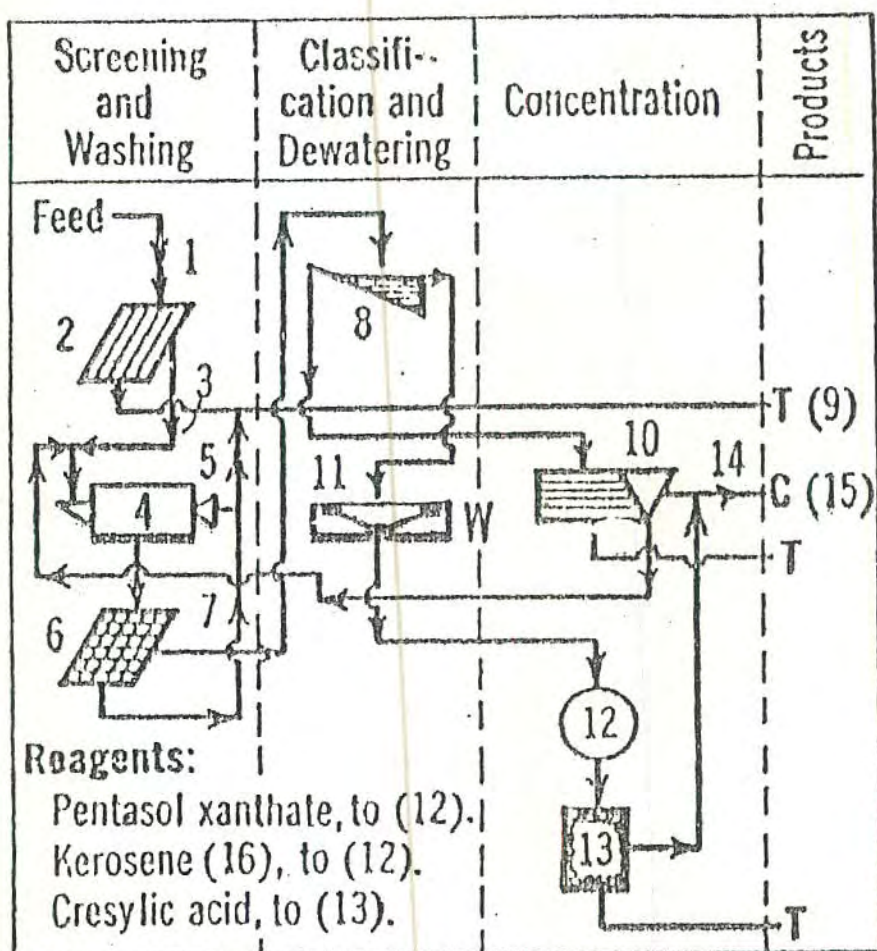
ظرفیت : ۴۲۰ تن در روز

عيار : خوراک ورودی ۱ پوند بر تن جیوه و کنسانتره ۰.۵٪ جیوه

بازیابی : ۰.۵٪ در آسیای قدیمی (IC 6966)

فرآیند : شامل سرند، کلاسیفایر و تولید کنسانتره با استفاده از میز و سلولهای فلوتاسیون است.

ارقام ارائه شده در شکل شماره ۳-۲ بیانگر موارد زیر است :



شكل ۳-۲ - فلوشیت واحد فرآوری جیوه Colverdale

- ۱) بار ورودی بوسیله کامیونهای ۳ تنی از معدن رو باز به کارخانه حمل میشود.
- ۲) گریزلی با چشمde ۶ اینچ
- ۳) مخزن ۵۰۰ تنی مجهز به فیدر نواری
- ۴) آسیای گلوله ای
- ۵) نوار نقاله ۲۴ اینچ
- ۶) سرند لرزان Symons با چشمde ۱۰ میکرون
- ۷) نوار نقاله
- ۸) کلاسیفایر که برای سرریز بالای ۱۰ میکرون کار میکند. عبار خوراک ورودی ۴ تا ۵ پوند بر تن جیوه
- ۹) نوار نقاله بسمت دپوی باطله
- ۱۰) میز ارتعاشی
- ۱۱) تیکنر، پمپ دیافراگمی
- ۱۲) همزون
- ۱۳) سلولهای فلوتاسیون Kraut
- ۱۴) آب گیری و مرحله خشک کردن
- ۱۵) کنسانتره

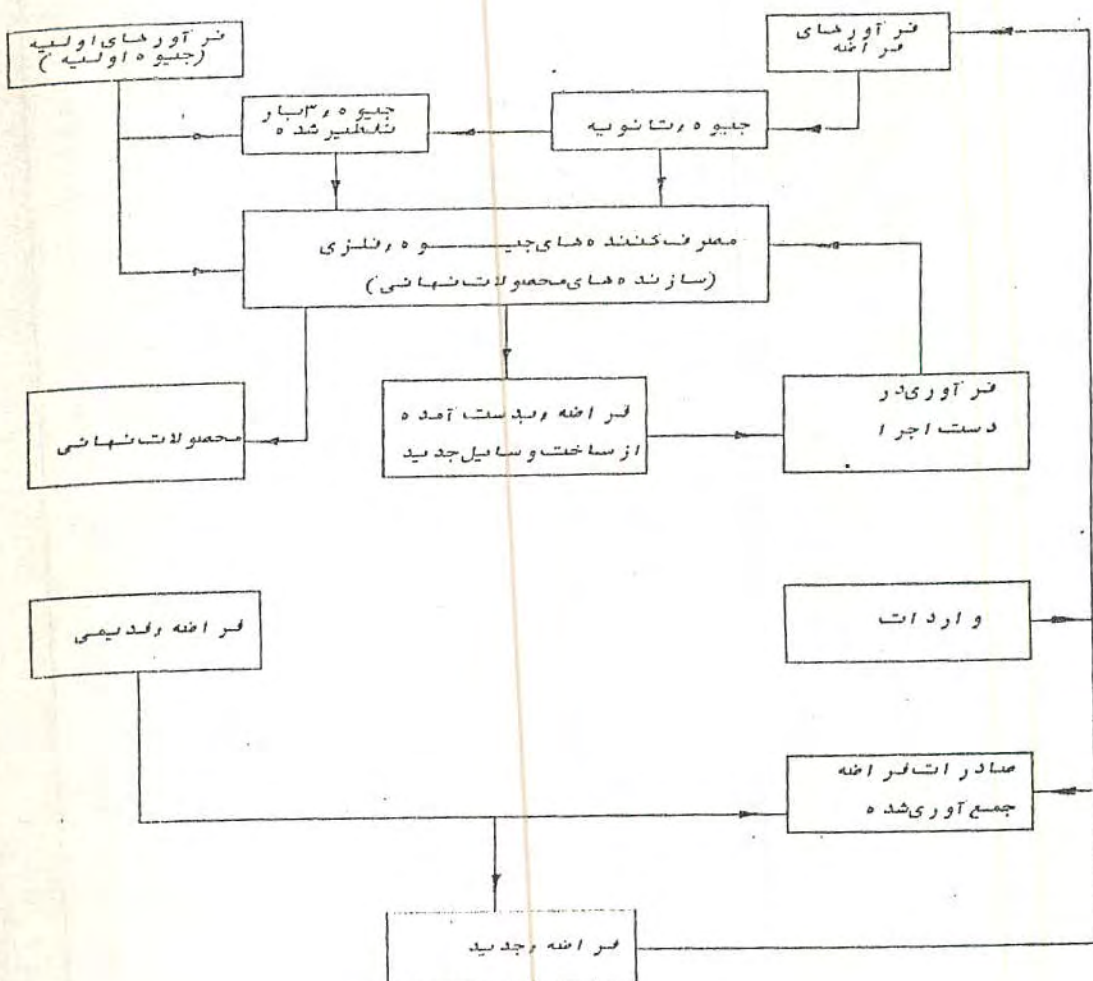
۲-۵-۳- تولید جیوه بعنوان محصول فرعی :

یکی از روش‌های تولید جیوه، بازیابی جیوه موجود در دستگاه‌های الکتریکی و کارخانجات تولید کلر قلیا می‌باشد. پس از اتمام عمر مفید این دستگاه‌ها و کارخانه‌ها و قراضه شدن آنها جیوه بازیابی می‌گردد. در شکل شماره ۲-۴ فرآیند مصرف مجدد قراضه‌ها نمایش داده شده است.

جیوه را بعنوان محصول فرعی از کانه‌های قلع - تنگستان، طلا و فلزات پایه نیز استخراج می‌کنند. قبلًا در ایالات نوادای امریکا ضمن استخراج طلا و یا در اسپانیا و فنلاند ضمن فرآوری متالورژیکی روی، جیوه هم بعنوان محصول فرعی استخراج می‌شد.

۲-۶- قیمت جیوه و روند تغییرات آن در سالهای اخیر :

قیمت‌های بازار آزاد جیوه در نشریه متال بولتن منتشر می‌شود. بر اساس گزارش این نشریه قیمت جیوه طی ۵ سال گذشته بدلیل تقاضای نامنظم و تولید متغیر، نوسان زیادی داشته، قیمت هر فلاسک جیوه در سال ۱۹۹۳ بین ۱۱۰-۱۱۵ دلار بوده در حالیکه در سال ۱۹۹۴ شروع به افزایش نموده و به ۱۲۰-۱۲۵ دلار در هر فلاسک رسیده است. روند افزایش قیمت در سال ۱۹۹۵ نیز ادامه داشته و هر فلاسک در اکتبر سال ۱۹۹۵ بین ۱۵۰-۱۷۰ دلار



شکل ۴-۲- جریان قراضه جیوه در یک کشور صنعتی (۳ و ۴)

مبادله شده است . افزایش قیمت در سال ۱۹۹۶ تقریباً به حد اکثر مبلغ طی ۵ سال گذشته رسیده و هر فلاسک ۱۸۰ دلار خرید و فروش شده است . از نیمه دوم سال ۱۹۹۶ قیمت جیوه روبه کاهش بوده و زوئیه همان سال به ۱۷۲-۱۶۲ دلار رسیده است . در اوایل سال ۱۹۹۷ قیمت هر فلاسک جیوه معادل قیمت اواسط سال ۱۹۹۶ بوده ولی در اواسط سال ۱۹۹۷ قیمت شروع به کاهش نمود و در ماههای سپتامبر و اکتبر و نوامبر به ۱۵۵-۱۴۵ دلار در هر فلاسک در بازار آزاد مبادله شده است .

جدول شماره ۲-۷ قیمت جیوه را با عیار ۹۹/۹٪ طی سالهای ۱۹۹۳ تا ۱۹۹۷ نشان میدهد (۸).

قوانين و مقررات محدود کننده زیست محیطی و جایگزینی مواد دیگر از عوامل مهم تاثیرگذار بر قیمت جهانی جیوه است . مصرف جیوه در مواردی نظیر صنعت کاغذ ، ملقطه کردن طلا ، کشاورزی ، داروسازی ورنگ در سالهای اخیر کاهش یافته است . عوامل محدود کننده منجر به کاهش تقاضا و افزایش هزینه های تولید شده و بر روی قیمت جهانی جیوه تاثیر میگذارد . در سالهای اخیر بهبود نسبی در میزان تولید و تقاضای جهانی جیوه بعلت رشد مصرف باتری های جیوه ای روی داده است که بی تاثیر بر روی قیمت جهانی جیوه نمیباشد . بعنوان مثال مصرف جیوه در وسائل الکتریکی و باتریها در کشور امریکا ۰/۵۰٪ افزایش داشته است .

از عوامل دیگری که بر قیمت جهانی جیوه تاثیر گذاشته ، عرضه جیوه ثانویه از دو دهه گذشته تاکنون میباشد بطوریکه چندین معدن تولید اولیه جیوه طی این سالها بدلیل عرضه بیش از حد جیوه ثانویه تعطیل شدند و این موضوع بر قیمت جیوه در جهان تاثیر گذاشته

جدول ۷-۲- قیمت جیوه با عیار حداقل ۹۹/۹ درصد در بازار آزاد وطی ماههای مختلف سالهای ۱۳۹۶-۱۳۹۷ (۸)

Price (\$/Flask)		Year	Month	Day
From	To			
100	115	1993	Jan	30
110	130	1994	Sep	9
130	150	1995	Feb	8
138	150	1995	April	5
138	155	1995	April	21
150	170	1995	Oct	25
170	180	1996	March	15
162	172	1996	July	5
161	171	1997	Jan-Feb-March	
158	168	1997	April-May-June	
150	168	1997	July-August	
145	155	1997	Sep-Oct-Nov	

است. یکی از منابع مهم تغذیه کننده جیوه ثانویه جهان در دوده گذشته، جیوه مورد مصرف در کارخانه های تولید کلر - قلیا بوده است. در حالیکه تا دهه ۱۹۷۰ بیشترین مصرف جیوه در تولید کلر - قلیا بوده واز این تاریخ به بعد بدلیل وضع قوانین محدود کننده زیست محیطی مصرف جیوه در این مورد کمتر شده و کارخانه های تولید کلر - قلیا به مرور زمان تعطیل شدند و جیوه آنها بازیابی و برای مصارف دیگر فروخته شد. مثلا طی سالهای ۱۹۸۶ تا ۱۹۸۷ از بسته شدن کارخانه های کلر - قلیا ی ژاپن حداقل ۱۰۲۰ تن جیوه بازیابی و به بازار عرضه شده است. در کشورهای دیگر نیز حذف این نوع کارخانه ها با سرعت بیشتری ادامه دارد. ظرفیت بازیابی جیوه از کارخانه های کلر - قلیا در کشورهای غربی حدود ۳۳٪ تولید جیوه اولیه است (معادل ۱۰۲۰ تن که تقریباً بیش از تولید دو سال جیوه اولیه جهان است).

بازیابی جیوه از باتریهای مصرف شده از دیگر منابع تولید جیوه ثانویه است و در برخی از کشورها جمع آوری باتریهای مصرف شده جیوه ای بمنظور جلوگیری از آلودگی محیط زیست رو به افزایش بوده و مورد تشویق قرار گرفته است.

معدن المعدن اسپانیا بعنوان بزرگترین ذخیره جیوه نقش مهمی را در بازار جهانی جیوه دارد. امتیازاتی که این معدن در بازار جهانی دارد ناشی از بالا بودن عیار کانه و میزان ذخیره قابل استحصال و تغییرات در روش استخراج و کاهش هزینه های تولید است (۸).

بطور کلی عواملی که بر بازار جهانی جیوه تاثیر دارند عبارتند از:

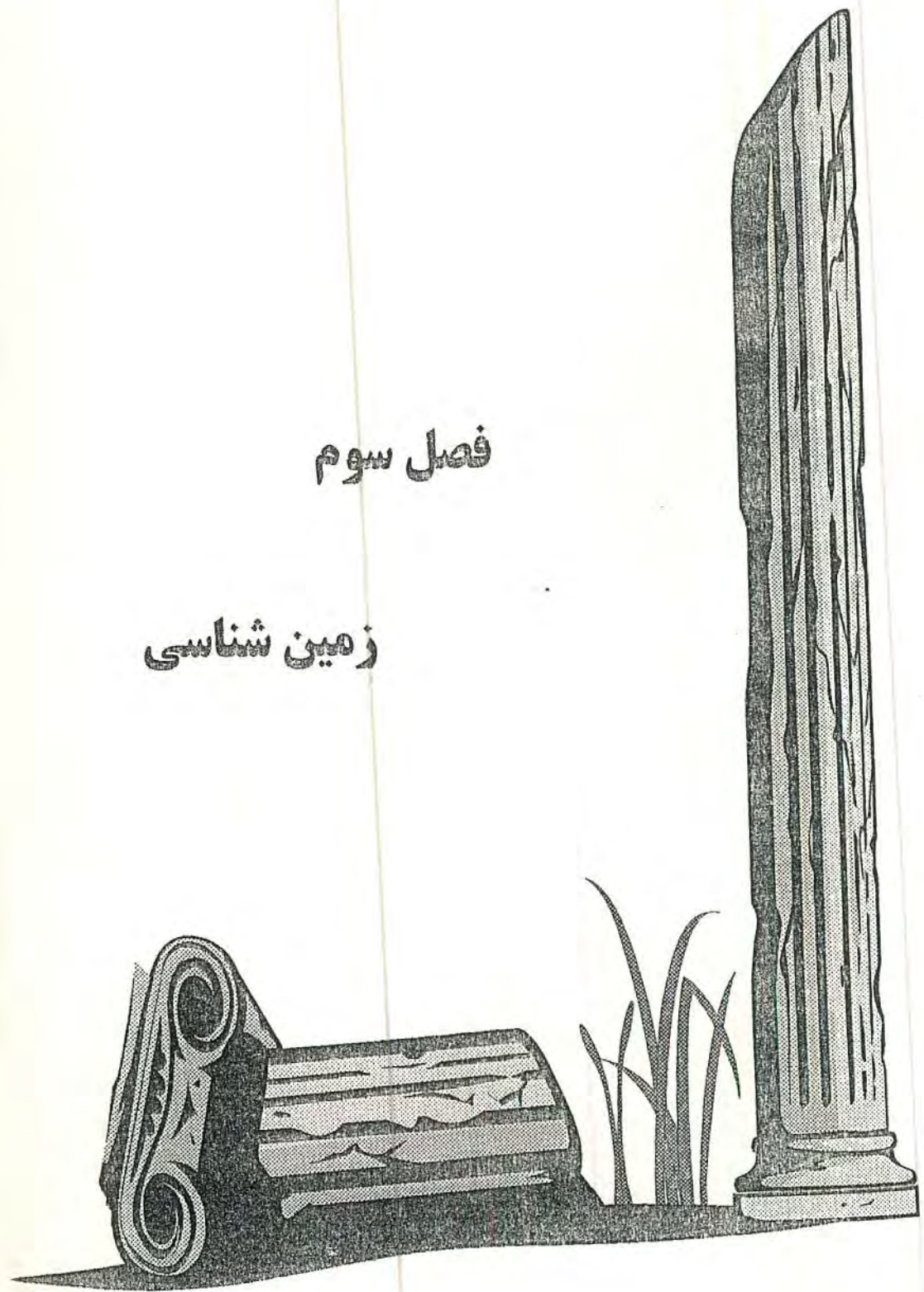
- قوانین محدود کننده زیست محیطی

- استفاده از مواد بجایگزین بجای جیوه

- رشد مصرف باتریهای جیوه ای
- عرضه جیوه ثانویه ، بویژه جیوه بدست آمده از کارخانجات کلر - قلیا
- حاکمیت معدن جیوه المعدن اسپانیا پعنوان بزرگترین تولید کننده جیوه بر بازار جهانی و تعیین استراتژی تولید توسط این معدن
- فروش جیوه بلوک شرق به کشورهای غربی

فصل سوم

زمین شناسی



۳- زمین شناسی :

۱-۳- زمین شناسی و متالوژنی ناحیه‌ای :

ناحیه مورد بررسی از نظر جغرافیائی در شمال‌غرب کشور و در استان آذربایجان غربی قرار گرفته است. این منطقه در قالب زمین ساخت جهانی در بخش مرکزی کمربند کوه‌زائی آلپ-هیمالیا واقع شده و بر اساس تقسیمات زمین شناسی ایران (افتخار نژاد، ۱۳۵۹) در زون افیولیتی شمال‌غرب کشور موسوم به افیولیتهای خوی - ماکو فرارداد. کمربند افیولیتی یاد شده بقایای پوسته اقیانوسی نوتیس میباشد که در امتداد رانگی زاگرس از سیستان و بلوچستان آغاز و تا شمال‌غرب کشور در ناحیه خوی - ماکو ادامه داشته و به فلات آناتولی و به کوه‌های تاروس واقع در خاک ترکیه ختم میشود. افیولیتهای یاد شده که به افیولیتهای محوری (در تقسیم‌بندی اشتولکلین، ۱۹۷۱) نیز موسوم هستند از جنوب‌شرقی کشور در ناحیه سیستان و بلوچستان بسمت شرق ادامه پیدا کرده و رخمنهائی از آن در شرق گسل چمن پاکستان مشاهده میشود. نظریات بسیاری در مورد پیدایش و تکوین این کمربند ارائه گردیده است. براساس نظریات اشتولکلین در مورد وضعیت ساختاری شرق چین خودگی آلپ هیمالیا و جنوب آسیای مرکزی، این مناطق به چهار بخش (دومن) شمالی، جنوبی، رشته کوه‌های افیولیتی محوری و بخش مرکزی تقسیم میگردد. همانگونه

که ذکر گردید ، منطقه مورد مطالعه در بخش رشته کوههای افیولیتی قرار میگیرد. شواهد زمین شناسی نشانگر آن است که این بخش از نظر تکتونیکی بسیار فعال بوده و در محل مجموعه مذکور اقیانوس عمیق وباریکی وجود داشته که کف آن در حال گسترش ، باز شدن و تشکیل پوسته اقیانوسی بوده است . این اقیانوس قبل از تکامل ، تحت تاثیر فشارهای جانبی بسته شده است . شدت فشارهای جانبی چنان گسترش بوده که موجب مخلوط شدن این مجموعه و حرکت آن بر روی زمین های مجاور و تشکیل افیولیت ملانژهای ایران گردیده است . شدت پدیده فوق در طول این کمربند یکسان نبوده لذا این زون در ایران به دو بخش کاملاً متمایز بیرونی (Outer sub belt) و درونی (Inner sub belt) تقسیم میگردد (۲) .

بخش بیرونی، افیولیتهای باختران و نیریز را شامل میشود که در جنوب روراندگی زاگرس گسترش داشته و احتمالاً با افیولیتهای عمان در ارتباط میباشد . در این بخش سنگهای افیولیتی بصورت توده های بزرگ بر روی رسوبات ، رانده شده و توسط رسوبات مائس تریشتین (تشكیلات تاربور) پوشانده میشوند . سن جایگزینی سنگهای افیولیتی در این زون به زمانی قبل از مائس تریشتین نسبت داده شده است . از ویژگیهای این زون میتوان بوجود توده های بزرگ از آهکهای متبلور به سن پرمین و ترباس بصورت اجزاء بیگانه (Exotic) اشاره نمود .

بخش درونی شامل افیولیتهای نوار مرزی ایران و ترکیه میباشد که ناحیه مورد بررسی را نیز در بر میگیرد . گسترش این بخش در قسمت آناتولی مرکزی ترکیه ، بسیار وسیع بوده و در امتداد خط راندگی زاگرس ادامه دارد و حلقه آمیزه رنگین ایران مرکزی نیز که

بلوک لوت را احاطه کرده جزئی از آن محسوب میگردد. توده های بزرگ پریدوتیسی بخش بیرونی در بخش درونی بندرت دیده میشود. رسوبات ائوسن بطور دگر شیب این مجموعه را پوشانده است. بنابراین جایگزینی و تشکیل ملانژ افیولیتی را به قبل از ائوسن میانی نسبت میدهند. نحوه تشکیل مجموعه های افیولیتی به این ترتیب است که در گوشه فوکانی بعلت از دیاد دما، ذوب بخشی صورت میگیرد. مواد حاصل از ذوب که ترکیب بازالتی دارند با توجه به چگالی کمتر نسبت به محیط اطراف، بسطح زمین کشیده شده و به بیرون راه پیدا میکنند. در ضمن مهاجرت ویس از آن بخشی از این مواد متبلور میگردد. پس از استقرار این مایع، بلورهای مزبور به کف مایع سقوط کرده و ته نشین میشوند (کومولیت). اجتماع این بلورها که اکثراً از نوع الیوین و پیروکسن است، بخشی از سنگهای اولتراپاکیک تحتانی را بوجود می آورد و بخش دیگر اولتراپاکیکهای مجموعه افیولیتی، ممکن است باقی مانده ذوب شده گوشه فوکانی باشند. وقتی گدازه مزبور به کف دریا رسید وبا دریا تماس حاصل نمود بخش فوکانی آن بسرعت سرد شده و پیلاولاوا از آن بوجود می آید و به این طریق، سقفی عایق تشکیل میشود که مانع در پناه آن به آرامی سرد میشود. نتیجه این سرد شدن تدریجی و آرام، پیدایش گابرو و دایکهای دلریتی است.

بنابراین وضعیت لایه ای در مجموعه های اولتراپاکیک و گابرو را میتوان به تزریقات مکرر مواد مذاب و ورود آن به محیط تبلور مربوط دانست. دایکهای دلریتی را نیز میتوان مسیر و معبیر تزریقات مکرر به بخشهاي سطحی و رسیدن مواد مذاب به سطح فوکانی در نظر گرفت. چنانچه مجموعه مزبور در مرحله جامد و تحت تاثیر حرکات

تکتونیکی ، حالت لایه ای خود را از دست بدهد و بصورت مجموعه خرد شده وبهم ریخته ای ظاهر گردد ، در این صورت آنرا آمیزه رنگین (Coloured melonge) می نامند .

بطور کلی واحدهای تشکیل دهنده مجموعه افیولیتی ایران ، مشابه واحدهای سازنده افیولیتهای دنیا بوده و عمدتاً شامل مجموعه ای از سنگهای اولترابازیک ، گابر و دیاباز و سنگهای حاصل از تفرقی گابرها وبالآخره گدازه های بالشی زیر دریائی میباشند که با توف ها و سنگهای آذر آواری رسوبات آهکی و رادیولاریتی در هم آمیخته است . با توجه به قرارگرفتن منطقه مورد بررسی در بخش درونی ، در ادامه گزارش ویژگهای این زون مورد بررسی قرار میگیرد :

۱) در این زون سنگهای افیولیتی در قطعات کوچک بی ریشه ، بصورت یک مجموعه با سنگهای رسوبی بهم آمیخته و مخلوط درهمی را ایجاد نموده اند . سنگهای افیولیتی در این بخش عمدتاً از دیاباز ، گدازه های بالشی ، دایکهای ورقه ای ، اسپلیت های بازالتی - آندزیتی ، گابر و توف های بازیک تشکیل شده اند که مقدار آن پر خلاف کمربند بیرونی ، نسبت به سنگهای فوق بازیک افزونتر است .

۲) قسمت رسوبی کمربند درونی ، شامل رسوبات آواری ریز فیلیش ، بهمراه سنگهای ولکانیکی و توف ، رادیولاریت ، آهکهای سیلیسی و پلاژیک قرمز و خاکستری ونگ بوده و مجموعاً " مخلوط درهمی را ایجاد نموده اند ولی ارتباط چینه ای آنها کاملاً " مشهود است .

۳) سن آهکهای پلاژیک با توجه به وفور میکروفسیل در آنها از کونیاسین تا مائس تریشتین مشخص گردیده است . در بخشی از نوار مرزی ایران و ترکیه سن آنها به

پالثوسن و حتی به ائوسن میرسد. بنابراین بخش رسوبی افیولیتهای درونی از زون بسیرونی جوانتر است.

(۴) با وجود اینکه کلیه اجزاء تشکیل دهنده ملانژ افیولیتی، ظاهراً Exotic ولی جملگی متعلق به یک تراف رسوبی واحد میباشد که بعداً بطور کامل در هم آمیخته و یک مخلوط نابرجا تشکیل داده اند که اجزاء قدیمی در آنها بندرت دیده میشوند.

(۵) بخشی از کمربند فرعی درونی، شدیداً متأثر از یک دگرگونی فشار بالا بوده و سبب ایجاد رخساره‌های شیست سبز و گلوکوفان شیست گردیده است.

در باره سن افیولیتها دو موضوع باید از هم تفکیک شود: اول سن تشکیل دهنده‌های اصلی افیولیتها و سپس سن اختلاط. بدیهی است که سن اختلاط کمتر، از سن تک تک واحدهای تشکیل دهنده ملانژ است. در مورد اول نیاز به داده‌های رادیومتری است که تاکنون جواب قانع کننده‌ای در کل نداده است ولی سن مخلوط شدن را بطور نسبی میتوان تعیین نمود.

در این ناحیه، کهترین سنگها دارای رخنمون مربوط به کرتاسه (بالائی) بوده و قدیمتر از کرتاسه دیده نشده است. تصور میرود که در زمان کرتاسه پائین، این ناحیه بخشی از حوضه نوتیس (ویا گودالهای تراف مانند) را تشکیل میداده است که خاستگاه اولیه مجموعه افیولیتی در محیط کافت اولیه بوده است. در ناحیه خانگلی، نهشته‌های آپسین رخنمون ندارد ولی نهشته‌های کرتاسه فوقانی که شامل سنگهای افیولیتی، رادیولاریت و آهک پلاژیک است در بخش بزرگی از این گستره بچشم میخورد. این مجموعه بدلیل حرکات تکتونیکی شدید، دستخوش جابجایی‌ها و گسلهای شدید گردیده است بطوریکه

ارتباط لیتوژئوگری آن بهم خورده است. نهشته های ترسیر شامل رسوباتی از تیپ فیلیش است که بطور دگرشیب (با قاعده کنگلومرائی) بر روی مجموعه افیولیتی قرار گرفته اند. نهشته های کواترنر را گدازه های آتشفسانی با ترکیب بازالت، رسوبات تراورتن و طبقات تخریبی پای دامنه کوه و مسیل آبراهه تشکیل میدهند. سنگهای ولکانیکی کواترنر با سنگهای آتشفسانی شمالغرب ایران در ارتباط بوده و محصول فعالیتهای آتشفسانی کوههای آرارات و تندرک هستند (این دو آتشفسان در خاک ترکیه قرار گرفته و گدازه های بازالتی آنها پهنه وسیعی را در اطراف این دو آتشفسان پوشانده اند). در همین منطقه و دقیقاً در مرز ایران و ترکیه دهانه آتشفسان کوچکی دیده میشود که سنگهای خروجی آن بیشتر بشکل گدازه واندکی بصورت بمب ولاپیلی است.

صرفنظر از فعالیت آتشفسانی از نوع بازیک (به سن کواترنر) که "فوقاً" ذکر آن رفت، فعالیت آتشفسانی اسیدی نیز در این ناحیه در زمان الیگوسن - میوسن بوقوع پیوسته است. گسترش این سنگها در ۸ کیلومتری جنوبشرقی منطقه مورد مطالعه قابل مشاهده است. لیکن گسترش اصلی این سنگها بطرف غرب و داخل کشور ترکیه میباشد. این ولکانیکها فورانهای آتشفسانی اسیدی با ترکیب ریولیتی - داسیتی (ریوداسیتی) هستند. نظر به اینکه این ولکانیسم سبب بالا رفتن درجه زمین گرمائی و تشکیل چرخه های آب گرم و سیستمهای گرمابی شده است نقش مهمی در کانی سازی دارد (۳).

سنگهای یاد شده بطور دگر شیب بر روی گدازه های بازالتی (که خود بخشی از مجموعه افیولیتی هستند) و رسوبات شیلی اثوسن قرار میگیرند. این سنگهای ولکانیکی، بدون لایه بنده تا ضخیم لایه بوده و عمدها از قطعات خاکستر آتشفسانی و پومیس در یک

زمینه شیشه ای ریز دانه تشکیل شده اند. بهمین جهت نام توف های برشی پومیس دار را میتوان به آنها اطلاق نمود. در نزدیکی آبادی سعدل در داخل این توف برشها، یک توده کوچک گدازه تماماً شیشه ای پرلیتی بچشم میخورد که نشان دهنده فوران بخشی از آنها در محیط زیر آبی (دریاچه ای) است. بغير از سنگهای آتشفشاری و آذر آواری که ذکر آن رفت، در این ناحیه یک سری توده های نیمه عمیق از جنس کوارتز دیوریت - مونزونیت با بافت میکروگرانولار پورفیری گسترش دارند که واحدهای مختلف مجموعه افیولیتی از قبیل گدازه های بالشی، رسوبات فیلیشی ایوسن و توف برشهای پومیس دار و گدازه های داسیتی - آندزیتی یاد شده را قطع نموده و باعث دگرسانی شدید آنها گردیده اند. این توده های نفوذی غیر عمیق را با توجه به قطع نمودن گدازه ها و توف های الیگوسن - میوسن، میتوان به زمان بعد از میوسن (پلیوسن؟) نسبت داد. در شرق کشور ترکیه و در شمال دریاچه وان نیز سنگهای آتشفشاری از نوع اسید تا متوسط به سن ترسیر، گستره وسیعی را میپوشانند که در یک زون شرقی - غربی رخنمون دارند. در این گستره کانی سازی از نوع درجه حرارت پائین و مرتبط با ساختارهای آتشفشاری شناخته شده است. اعتقاد بر این است که سنگهای بازالتی شمالغرب ایران از مagmaهای غنی از آلومین و سیلیس نتیجه شده اند (۳ و ۴). همچنین ولکانیکهای سعدل بلحاظ ترکیب شیمیائی در قلمرو کالکو آلکالن واقع شده و از نوع داسیتی - ریولیتی هستند (۳).

۳-۲- زمین شناسی محدوده اکتشافی :

همانگونه که قبلاً ذکر گردید محدوده اکتشافی در زون افیولیتی خوی - ماکو قرار گرفته است.

واحدهای تشکیل دهنده مجموعه افیولیتی در این محدوده تحت تاثیر شدید پدیده آلتراسیون و تکتونیک قرار گرفته اند بطوریکه بعضاً "سنگ مادر این واحدها قابل تشخیص نمیباشد. ذیلاً" به بررسی واحدهای لیتولوژیکی موجود در این محدوده میپردازیم:

۳-۱- سنگهای اولترابازیک (St) :

این واحد از قسمت های اصلی تشکیل دهنده لیتولوژی مجموعه افیولیتی بشمار می آید و در محدوده اکتشافی "عمدنا" به سرپانتینیت تبدیل شده است. سنگهای اولترابازیک کماپیش در بخشهای مختلف محدوده گسترش داشته و عموماً "با کنتاکت گسله در مجاورت واحدهای دیگر قرار میگیرند. این واحد تحت تاثیر عوامل تکتونیکی بشدت خرد وبرشی شده و متعاقب آن به یک واحد سنگی سخت تبدیل شده است. سرپانتینیت های برشی بعلت عملکرد آنها بعنوان سنگ میزبان کانی سازی از اهمیت بسزائی برخوردارند. روند گسترش واحد یادشده شمالغرب - جنوبشرقی است و آلتراسیون شدید هیدروترمال سبب ایجاد

رگه و رگچه های فراوان سیلیسی و اکسیدهای آهن در امتداد شکستگیهای این سنگها گردیده است.

نمونه های شماره K.P.14 و K.P.01 این واحد لیتوژئیکی اخذ و مورد مطالعه قرار گرفته است. ذیلاً "به بررسی سنگ شناسی این واحد پرداخته میشود:

"سنگ عمدتاً" از سرپانتین تشکیل شده است و وجود ساخت غربالی نشانه آن است که کانی عمدۀ الیوین بوده که تماماً به سرپانتین تبدیل شده است. سنگ یاد شده بشدت خرد و برخی وآلتره بوده و وجود ساخت کاتاکلاستیک در بلورهای سرپانتین نشانه تاثیر شدید فشارهای تکتونیکی است. رگه هائی از تالک، دولومیت، کلسیت و منیزیت؟ شکستگیها را پر کرده و تبدیل سرپانتین به تالک بندرت دیده میشود. اکسیدهای آهن، ایلمنیت و کرومیت، کانیهای فرعی بوده که بطور پراکنده در متن سنگ دیده میشوند.

نام سنگ سرپانتینیت برخی است.

۳-۳-۲- گنگلومرای ولکانیکی آندزیتی (KVC) :

این واحد در بخشهای کوچکی از محدوده گسترش دارد. دارای ساخت کنگلومرائی بوده لیکن بلاحظ سنگ شناسی منشاء ولکانیکی با ترکیب آندزیتی دارد. اجزاء تشکیل دهنده این سنگ ترکیب آندزیتی داشته و بدین وسیله با واحد کنگلومرائی پالتوسن تمایز میگردد (در واحد کنگلومرائی پالتوسن قطعات سنگی دیگر را نیز میتوان مشاهده نمود).

نمونه های K.P.02 و K.P.04 از این واحد سنگی اخذ و مورد مطالعه قرار گرفته است . مشخصات پتروگرافی این واحد ذیلاً ارائه میگردد :

این سنگ دارای بافت میکرولیتیک شیشه ای پورفیری و ساخت حفره ای میباشد . بلورهای نیمه شکل دار پلاژیوکلاز (آندزین) و کانیهای فرومیزین کلریتی شده (آمفیبول) عمدتاً بصورت فنوکریست در یک متن میکرولیتی شامل تیفه های نازک پلاژیوکلاز و شیشه قهوه ای قرار گرفته اند . کانیهای فرعی شامل اکسیدهای آهن و کانیهای ثانویه کلریت میباشد .

نام این سنگ آندزیت میباشد .

۳-۲-۳- شیلهای رادیولاریتی (Kr) :

این واحد بصورت شیلهای ارغوانی و قرمز رنگ در بین تراشه های T2، T3، رخنمون داشته و قطعاتی از چرتها رادیولاریتی در داخل آن دیده میشود .

نمونه KH.F.03 جهت مطالعه فسیل شناسی از این واحد اخذ شده است . بر این اساس سن آن به کرتاسه فوقانی (سانتومین - کامپانین) نسبت داده میشود .

۳-۲-۳- کنگلومرای پالئوسن (PEC)

در قاعده رسوبات فلیش مانند سازندهای ترشیر رسوبات کنگلومرائی با تغییرات جانبی شدید مشاهده میشود. وجود این تغییرات جانبی نشانگر وجود حوضه های رسویی کم عمق غیر مرتبط با یکدیگر و نهشت این رسوبات بطور دگرشیب بر روی مجموعه افیولیتی است. اجزاء اصلی سازنده قطعات این کنگلومرا عمدتاً شامل قطعات ولکانیکی، بازالتی - آندزیتی و دیوریت بوده لیکن قطعات اولترابازیک و چرتها رادیولاریتی نیز در آن دیده میشود. اندازه قطعات این کنگلومرا متغیر بوده وحداکثر به ۲۵ میلیمتر می رسد. این واحد کنگلومرائی نیز مانند سایر واحدهای سنگی تشکیل دهنده لیتولوژیکی محدوده تحت تاثیر فرآیند آلتراسیون قرار گرفته است.

۳-۲-۴- شیل، مارن و ماسه سنگ (PEsh)

واحد شیلی، مارنی، ماسه سنگی برنگ خاکستری، سبز تا زرد رنگ با تغییرات رخساره ای شدید در بیشتر نقاط محدوده، باکتیاکت گسله با سایر واحدهای تشکیل دهنده محدوده گسترش دارد. رخمنون سطحی این واحد بدلیل خصوصیت فرسایش پذیری آن در بیشتر نقاط محدوده، توسط پوشش گیاهی پوشانده میشود.

نمونه KH.F.01 از این واحد سنگی جهت مطالعات فسیل شناسی برداشت شده است. بر اساس این مطالعات، سن این رسوبات Late Paleocene تعیین شده است.

۳-۲-۶- رگه های سیلیسی و پوشاهای هیدروترمالی (Si) :

مهمترین آلتراسیون همراه با کانی سازی آلتراسیون سیلیسی است که بصورت رگه ورگچه های سیلیسی شامل کانیهای اوپال، کلسدونی، کریستوبالیت و کوارتز عمدتاً بهمراه اکسیدهای آهن در سنگ میزان کانی سازی دیده میشوند. بافت سیلیس تشکیل دهنده این واحد، جریانی، گل کلمی، کلوئیدی و پرشی بوده و بسیار متخلخل است. با توجه به موارد ذکر شده این آلتراسیون سیلیسی از نوع ژاسپر وئید است. و بافت پرشی ذکر شده ناشی از انفجارات هیدروترمالی است. بنابراین نام برش هیدروترمالی واژه مناسبی برای این واحد سنگی است.

نمونه K.P.09 جهت مطالعات پتروگرافی از این واحد برداشت شده است. مشخصات این نمونه ذیلاً ارائه شده است:

بافت این سنگ ویتروکلاستیک بوده عمدتاً از اجزاء نیمه گرد تا نیمه زاویه دار شیشه ای جریانی و حفره دار تشکیل شده است. متن این سنگ بصورت شیشه ای ریز دانه است. سنگ بشدت خرد شده و شکستگیهای آن توسط بلورهای کوارتز و فلدسپات پرشده است.

خرد شدگی مزبور میتواند در اثر تزریق محلولهای هیدروترمال تحت فشار انجام گرفته باشد.

سنگ شیشه خردشده حفره دار و برشی با ترکیب ریوداسیتی است.

۷-۲-۳- سنگهای آلترا (AZ) :

این واحد بشدت تحت تاثیر آلتراسیون هیدروترمالی قرار گرفته است و با وجود تهیه مقاطع پتروگرافی، تشخیص قطعی سنگ مادر آن امکان پذیر نیست. لیکن با توجه به شواهد زمین شناسی احتمال آن میرود که سنگ منشاء آن از ولکانیکهای بازیک باشد. واحد با رنگ قهوه ای روشن و ترکیب اکسیدهای آهن، کانیهای رسی (عمدتاً کائولسن) و رگچه های سیلیسی از واحدهای لیتولوژیکی دیگر کاملاً متمایز بوده و در بخش شرقی محدوده (بین ترانشه های T4، T3) رخنمون دارد.

۸-۲-۳- ملانژ افیولیتی (واحد Me) :

مانلنز افیولیتی عمدتاً شامل قطعات سرپانتینیت های برشی، سنگهای ولکانیکی و شیل های رادیولاریتی بوده که در شمالشرق و جنوبغرب محدوده اکتشافی (بطور محدود) گسترش دارند. پدیده های تکتونیکی واحد فوق را بشدت تحت تاثیر قرار داده است بطوریکه

رخنمون سنگهای یاد شده بصورت مخلوط در هم وغیر قابل تفکیک مخصوص در میان سیستمهای گسلی مشاهده میشود.

۳-۲-۹-رسوبات عهد حاضر (Qt) :

رسوبات کواترنر عمدتاً شامل رسوبات جوان پای کوهی، واریزه و آبرفت‌های مسیل آبراهه‌ای میباشد که در بیشتر نقاط محلوده گسترش دارد.

۳-۳-تکتونیک وزهین شناسی ساخته‌مانی:

همانگونه که در بخش ۱-۳ اشاره گردید، محدوده تحت مطالعه در زون افیولیتی خوی - ماکو واقع شده است.

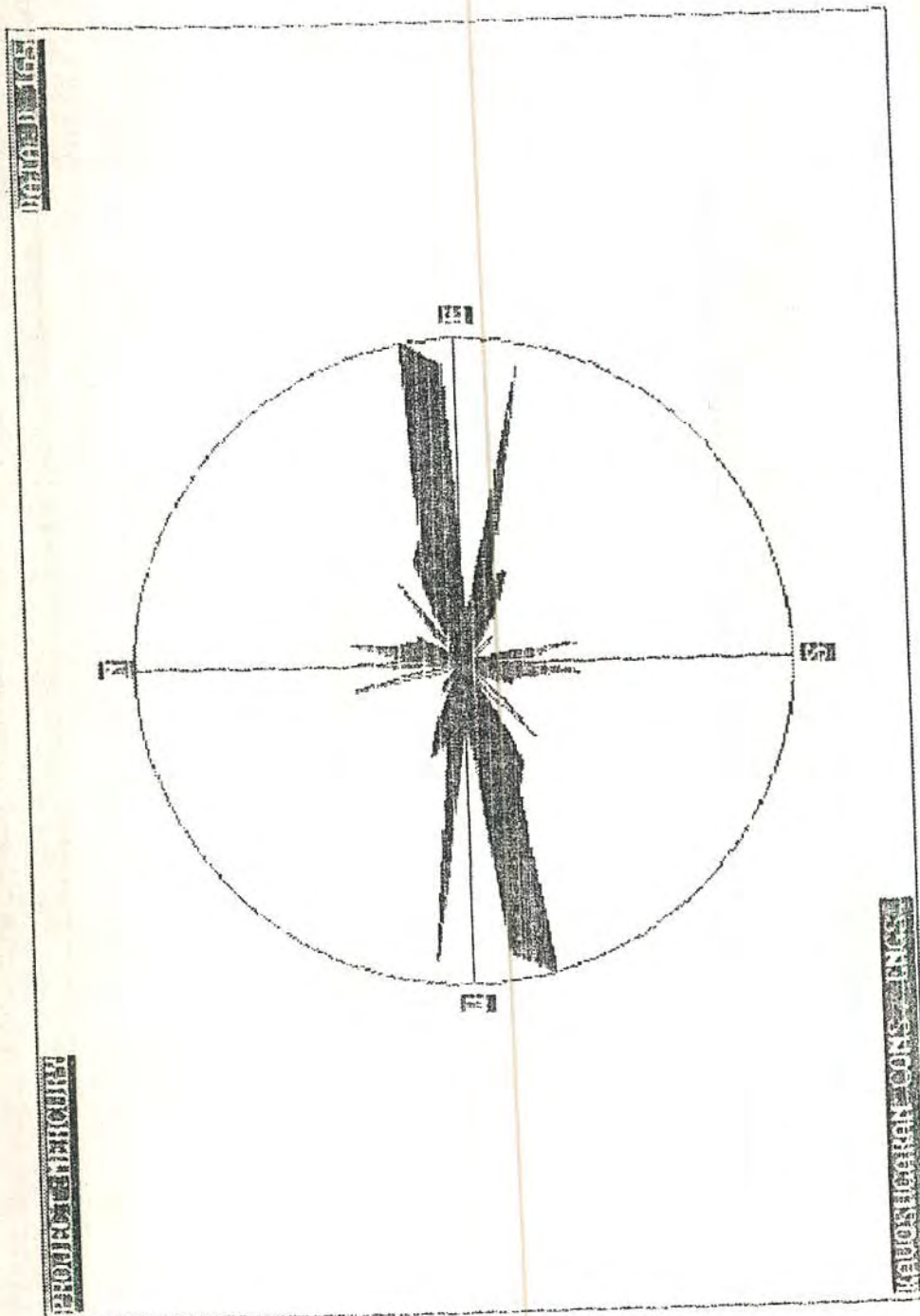
واحدهای تشکیل دهنده لیتوژئی این ناحیه عمدتاً شامل مجموعه‌ای از سنگهای اولترابازیک، گدازه‌های بازالتی - آندزیتی، آهکهای پلازیک، شیلهای رادیولاریتی، گابریو، دایکهای دلریتی و رسوبات وواحدهای جوانتر از مجموعه افیولیتی هستند. تنوع واحدهای سنگی و به تبع آن، اختلاف در اختصاصات فیزیکی، منجر به رفتار متفاوت این سنگها در پاسخ به تأثیر فرآیندهای تکتونیکی شده است.

عملکرد شدید پدیده آلتراسیون و عوامل تکتونیکی بنحوی است که در بعضی موارد تشخیص سنگ مادر واحد های لیتولوژی در محدوده اکتشافی، امکان پذیر نبوده و یا بسیار دشوار است.

پس از برداشت مشخصات تکتونیکی شکستگیهای محدوده اکتشافی، دیاگرام گل سرخی آنها توسط نرم افزار Rose ترسیم گردید و نحوه ارتباط این عوارض با کانی زائی و تکتونیک ناحیه ای مورد بررسی و تجزیه و تحلیل قرار گرفت. در خلال این مطالعات که بیشتر در دیواره ترانشه های عمیق احداث شده توسط بولدوزر و بر روی زونهای میزالیزه و نقاط مجاور انجام پذیرفت، حدالامکان سعی گردید که ارتباط منطقی بین معابر و شکستگیهای کنترل و هدایت کننده کانی سازی و ساختار تکتونیکی منطقه بدست آید.

دیاگرام گل سرخی درزه ها و شکستگیهای محدوده اکتشافی بر مبنای جهت شبیب در شکل ۱-۳ ارائه شده است.

بر اساس این دیاگرام که بر مبنای جهت شبیب تهیه شده، سه سیستم اصلی و چند سیستم فرعی شکستگی در محدوده اکتشافی وجود دارد. روند غالب دارای امتداد شمال‌غربی - جنوب‌شرقی N160-175E (جهت شبیب N70-85E) است مقایسه این سیستم با روند گسترش زونهای میزالیزه در نقشه زمین شناسی و مقطع ترانشه های عمیق نشان میدهد که کانی سازی باروند یاد شده در ارتباط میباشد. سیستمهای شکستگی دیگر با امتداد N15-25E و N100-110E بترتیب در درجه بعدی اهمیت قرار دارند. در این میان روند شمال‌غربی - جنوب‌شرقی که بیشترین حجم شکستگیها را به خود اختصاص داده است، قدیمترین سیستم بوده و شکستگیهای با امتداد N15-25E جوانترین روند حاکم هستند.



شکل ۳-۱- زدیگرام شکستگیها در محدوده اکشافی

که سیستم های گسله و شکستگیهای قبلی را قطع مینماید. علاوه بر سه سیستم اصلی فوق روندهای فرعی دیگری نیز وجود دارند که به حاظ تکتونیکی اهمیت زیادی ندارند.

بررسی مقاطع زمین شناسی ترسیم شده برای توانشنهای اکتشافی نشان میدهد که گسله های سیستم اغلب شمالگری - جنوبشرقی واحدهای لیتوژوژنیکی مختلف را در مقابل هم واکثراً با وضعیت رانده قرار داده اند. از طرف دیگر گسله ها و شکستگیهای فرعی با زاویه حاده نسبت به سیستم اصلی یاد شده قرار می گیرند. گسلهای اصلی موجود در محدوده اکتشافی، نقش مهمی را در کانی زائی سینابر ایفا نموده اند، بطوریکه تمام زونهای آلترا و مینرالیزه توسط این گسلها محدود میشوند. بعارت دیگر گسله ها با عنوان معابری جهت صعود سیالات کانه زا عمل کرده اند. این مورد در مدل کانی زائی ارائه شده بطور مفصل مورد بحث قرار خواهد گرفت. در برخی از نقاط، تغییر روندهای در خط گسله های اصلی (Fault line) مشاهده میشود که این تغییر روندها عمدتاً بدلیل تاثیر توپوگرافی بر اثر سطحی گسله های مزبور میباشد. در بعضی موارد نیز، قطع شدگی گسله ها با سیستم های گسله دیگر دلیل این تغییر جهت ها میباشد.

مشخصات تکتونیکی مهمترین گسله هایی که زونهای آلترا و رگه های مینرالیزه را کنترل میکنند به ترتیب زیر میباشد:

160/33 SW

175/45 NW

175/52 NW

120/41 SW

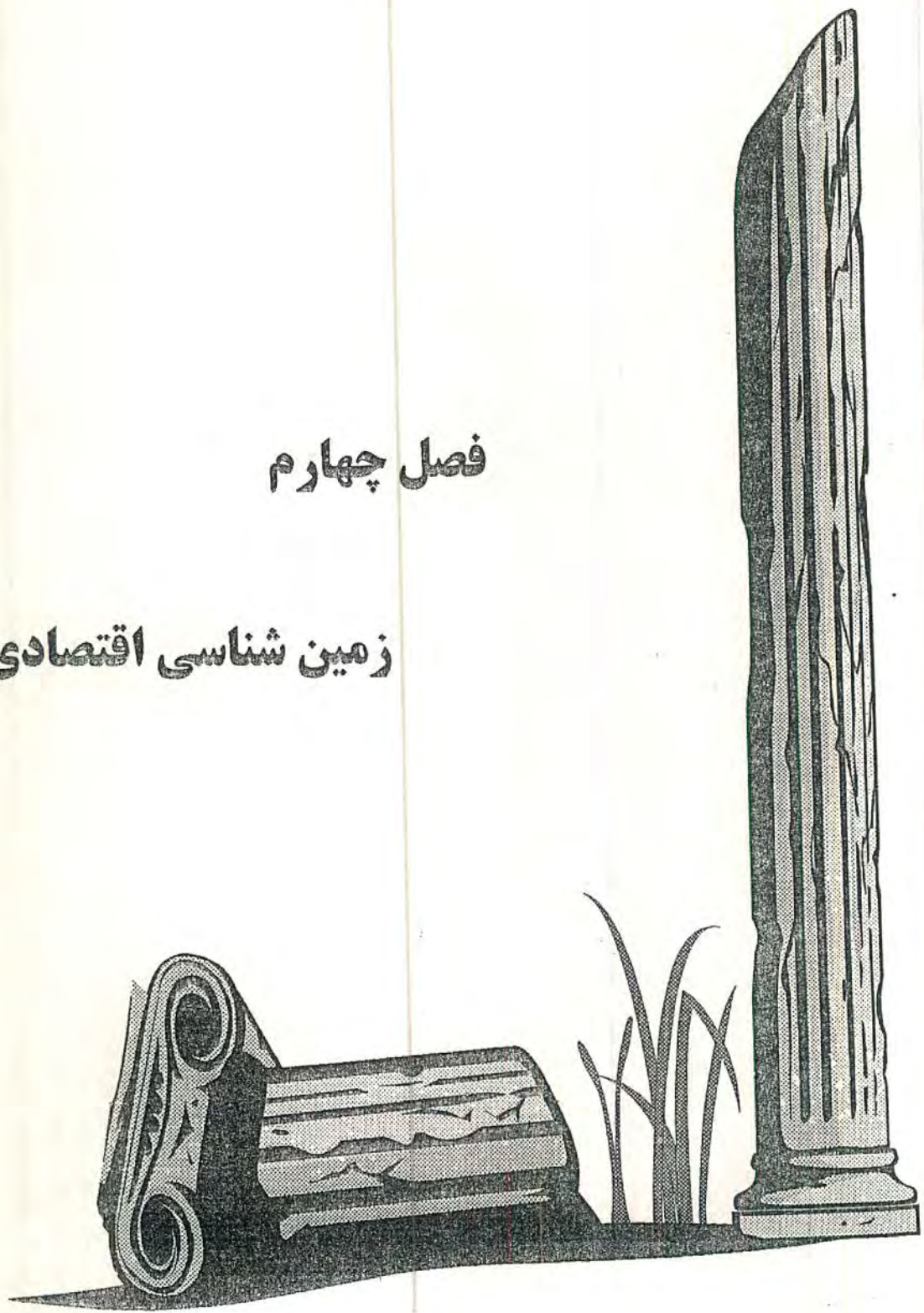
170/80 SW

145/60 NE

لذا میتوان گفت که گسلهایی با امتداد NW، کنترل کننده اصلی کانی زائی در محدوده اکتشافی میباشد. در این میان سه رگه پرعيار شناخته شده گسله هایی جای دارند که شب آن به سمت SW میباشد بنابراین در مراحل آتی مطالعات، بررسی گسلهای با روند شمال غربی - جنوب شرقی که دارای شبیه به سمت SW هستند حائز اهمیت خواهد بود.

فصل چهارم

زمین شناسی اقتصادی



فصل ۴: زمین شناسی اقتصادی

۱-۴-۵ مقدمه

همانطوریکه در بخش ۱-۱ ذکر گردید ، علی رغم محدودیت های موجود در زمینه انجام عملیات اکتشافی در محدوده مورد بررسی ، مجموعه بررسی های اکتشافی مشتمل بر تهیه نقشه توپوگرافی وزمین شناسی - معدنی به مقیاس $1/500$ ، حفر ترانشه های عمیق وروبرداری در امتداد های مشخص (بر روی زونهای آلتره و مینرالیزه) ، نمونه برداری ، حفر چاهکهای اکتشافی ، برداشت تکتونیکی ، برداشت و ترسیم مقاطع زمین شناسی ترانشه های اکتشافی در مقیاس $1/200$ صورت پذیرفت که در نتیجه این بررسی ها محدوده گسترش زونهای مینرالیزه ، ساختمان زمین شناسی وارتباط آن با کانی زائی بخوبی مشخص گردید . متأسفانه بنا به دلایلی که قبلاً ذکر گردید ، امکان حفاری گمانه های اکتشافی بر روی زونهای مینرالیزه میسر نگردید و بنابراین در باره گسترش عمقی و تغییرات عیار و وضعیت کانی زائی در عمق نمیتوان اظهار نظر قطعی نمود ، اگرچه با استفاده از مقاطع زمین شناسی ترانشه های اکتشافی گسترش عمقی زونهای معدنی را میتوان استنباط نمود و این تنها در مورد زونهایی که دارای رخنمون سطحی بوده ویا در ترانشه ها در معرض دید قرار گرفته اند ، صادق است . در حالیکه وضعیت کانی زائی بگونه ای است که احتمال

وجود زونهای آلتره ای که فاقد رخنمون در ترازهای بالا (سطح زمین) هستند ، وجود دارد .

در این بخش کلیه اطلاعات زمین شناسی حاصل از مطالعات انجام گرفته ارائه میگردد .

۲-۴-بررسی دقیق و خطای آزمایشگاهی :

با توجه به اهمیت زیاد نتایج آزمایشها در تجزیه و تحلیل و تحصیل نتیجهنهایی ، تعداد ۶ نمونه کنترلی نیز به همراه نمونه های اصلی جهت تعیین دقیق ، به آزمایشگاه مربوطه (دانشگاه ووهان کشور چین) ارسال گردید و خطای آزمایش (برای کمتر از ۵۰ جفت نمونه) بروش هوارت و تامپسون مورد محاسبه قرار گرفت .

در تعیین مقادیر عناصر از روشهای آزمایشگاهی AAS، ES و ESD برای Au و Ag و ICP برای As و AFS برای Cu و AAS برای عنصر Hg استفاده شده است . مقایسه عناصر فوق در نمونه های کنترلی و اصلی در جدول ۱-۴ ارائه شده است .

بر همین اساس نتایج حاصل از محاسبات خطای نسبی تصادفی در جدول ۲-۴ درج شده است .

با توجه به موارد فوق چنین استنباط می گردد که خطای نسبی تصادفی برای تمام عناصر مورد آزمایش در حد مطلوب و متعارف و کمتر از حد مجاز میباشد .

جدول ۱-۴-۱ - مقایسه مقدار عناصر در نمونه های اصلی و کترنی.

Sample No.	Au(PPb)	Ag(PPm)	As(PPm)	Hg(PPm)	Cu(PPm)
MP-CN-01	4.5	0.063	2	43000	12.2
MP-LG-08	4.3	0.047	1.7	42000	12.5
MP-CN-02	1.4	0.034	0.9	280	50.3
MP-LG-06	1.4	0.068	0.2	290	48.3
MP-CN-03	2.6	0.052	1.9	30.5	52.1
MP-LG-01	3.3	0.066	2.6	28.5	49.4
MP-CN-04	3.8	0.1	9.5	1.2	80.5
MP-LG-07	4	0.045	10	2.3	78.1
MP-CN-05	0.9	0.077	0.7	48.6	5.5
MP-LG-13	1.2	0.04	0.15	55.3	11.9
MP-CN-06	2.2	0.121	1.4	36.3	30.9
MP-LG-04	2.4	0.161	2.6	32	31.1

جدول ۴-۲- محاسبه خطای نسبی تصادفی در آنالیز نمونه های سنگی.

<i>Element</i>	<i>n</i>	<i>principal Sample</i>	<i>Check Sample</i>	<i>Total absolute Error</i>	<i>Mean Content in principal Sample</i>	<i>Mean Content in Check Sample</i>	<i>Mean Relative Random Error</i>
Au(PPb)	6	16.6	15.4	1.2	2.766	2.566	7.22
Ag(PPm)	6	0.427	0.447	0.02	0.071	0.0745	4.68
As(PPm)	6	17.25	16.4	0.85	2.875	2.733	4.92
Hg(PPm)	6	42408.1	43397	988.5	7068.016	7232.766	2.33
Cu(PPm)	6	231.3	231.5	0.2	38.55	38.583	0.086

در مورد آنالیز نمونه ها برای سنجش میزان عنصر جیوه میتوان چنین عنوان نمود که با توجه به ویژگیهای شیمیائی و فیزیکی و ماهیت فرار این عنصر، آنالیز آن بروش جذب اتمی مجهز به سیستم بخار محصور، مناسب ترین روش ممکن میباشد. ضمن اینکه دقیقت زیادی نیز برای آماده سازی نمونه ها باید معمول گردد. لیکن متاسفانه بدلیل عدم تجهیز و دسترسی آزمایشگاههای کشور به این سیستم، آنالیز نمونه های حاوی عنصر جیوه با مشکلات زیادی مواجه گردیده است. بطوریکه تعدادی از آزمایشگاههای معتبر داخل کشور از پذیرش آنالیز جیوه سرباز زده اند. علاوه بر مشکلات موجود در زمینه دقیقت آنالیز (تکرار آزمایش با نتیجه مشابه)، رسیدن به صحیح آنالیز (مقدار واقعی جیوه موجود در نمونه) نیز همواره مورد تردید است. و این در حالی است که محاسبات خطای نسبی تصادفی، دقیقت آزمایشگاه را در حد متعارف و معمول نشان میدهد. برای مثال عیار جیوه در نمونه های Mp-LG-01 ، Mp-LG-02 ، Mp-LG-03 ، Mp-LG-04 که از زون مینرالیزه واقع در شمال محدوده اکتشافی برداشت شده اند به ترتیب ۲۸/۵ ، ۳۷۴ ، ۱۳۰۰ و ۳۲ گرم در تن گزارش شده است. این در حالی است که کانه های سیناپر در تمام نمونه های فوق الذکر بخوبی قابل مشاهده است به ویژه در نمونه شماره Mp-LG-02 که از یک رگه نسبتاً پرعیار برداشت شده است. بنابراین در مقایسه با نمونه های دیگر بنظر میرسد که عیار جیوه در این نمونه بیش از ۲۰۰۰ ppm باشد در حالیکه ۳۷۴ گرم در تن گزارش شده است. با مقایسه عیار گزارش شده برای نمونه شماره Mp-LG-08 (۴۲۰۰ ppm) با مقدار گزارش شده برای نمونه کنترلی آن (۴۳۰۰ ppm)، این ادعا بسیار قریب به یقین است.

عملت این امر را میتوان در متغیر بودن حساسیت دستگاههای مختلف برای سنجش و ثبت مقادیر ماکزیمم و می نیم جستجو نمود . بعنوان مثال در صورت پائین بودن حساسیت دستگاه برای ثبت مقادیر بیش از ۵ تا ۶ درصد جیوه ، عیار نمونه ای که بیش از ۱۰ تا ۱۵ درصد جیوه داشته باشد در محدوده ۴ تا ۵ درصد قرار خواهد گرفت .

با توجه به موارد یاد شده میتوان گفت که یکی از مشکلات اساسی در پروژه اکتشافی ، آنالیز نمونه های ژئوشیمیائی ورسیدن به عیارهای واقعی میباشد .

۳-۲- آلتراسیون و کانی شناسی ذخیره :

آلتراسیون وسیع سنگهای میزبان کانی زائی از مشخصات بارز واحدهای سنگی موجود در محدوده اکتشافی میباشد . آلتراسیون سنگها در مجاورت گسله های بزرگ بسیار شدید است ، بطوريکه امکان تشخیص سنگ اولیه بدون در نظر گرفتن روابط ساختمانی و زمین شناسی زونهای مزبور با واحدهای مجاور ودقت در زونهای تدریجی تبدیل سنگ اولیه به سنگهای آلتره به دشواری صورت میگیرد . تشخیص نوع سنگ اولیه بخشی از زونهای آلتره نیز امکان پذیر نمیباشد که این زون تحت عنوان کلی AZ (زون آلتره) در نقشه زمین شناسی ۱/۵۰۰ تفکیک شده است . آلتراسیون غالب سنگها که با کانی زائی نیز در ارتباط مستقیم میباشند ، آلتراسیون سیلیسی است . علاوه بر آن رگه ها و جانشینی های وسیع اکسیدهای آهن و کانیهای رسی همراه با سیلیس در زونهای آلتره به چشم میخورد .

بطور کلی مجتمعه کانیهای کوارتز ، کریستوبالیت ، فازهای آمورف سیلیس ، اکسیدهای آهن (عمدتاً) گوتیت ، لیمونیت ، و به ندرت هماتیت) ، کانیهای رسی (مونت موریلونیت و کائولن) ، کلریت ، هورنبلند و تالک در زونهای آلترا یافت میشود . در یک نگاه کلی آلتراسیون روی داده در سنگهای منطقه را بدروحت میتوان توصیف نمود :

در حالت اول ، سیالات گرمابی سبب تغییر شدید در ماهیت لیتولوژیکی ، بافت و ساخت سنگها شده و چهره سنگهای موجود را بکلی تغییر داده است . بنظر میرسد که در این آلتراسیون فرآیندهای جانشینی کانیهای جدید و نیز پر کردگی فضاهای خالی توامان دخالت داشته اند . در این حالت ، کانیهای محصول آلتراسیون شامل دو تیپ کانی میشود :

۱. کانیهایی که در نتیجه تغییر ترکیب کانی شناسی کانیهای اولیه بوجود آمده اند ، نظیر سرپانتین ، کلریت ، هورنبلند ، تالک و کانیهای رسی .
۲. کانیهایی که مستقیماً از محلولهای گرمابی ته نشست حاصل کرده اند ، نظیر کوارتز ، اکسیدهای آهن و فازهای آمورف سیلیس و کریستوبالیت .

تمام واحدهایی که تحت عنوانین Si (زونهای با جانشینی های وسیع سیلیس) و A₂Z (زونهای با جانشینی های کانیهای رسی ، اکسیدهای آهن و سیلیس) در نقشه زمین شناسی ۱/۵۰۰ تفکیک شده اند ، به این گروه تعلق دارند (تصویر ۱-۴) .

حالت دوم آلتراسیون ، شامل تشکیل رگه و رکچه های نازک سیلیسی همراه با اکسیدهای آهن در شکستگی ها و فضاهای خالی سنگها (از جمله سرپانتینیت ها) میباشد که تغییر چندانی در ترکیب کانی شناسی اولیه ایجاد ننموده و صرفاً سبب ته نشست سیلیس و در موادی اکسیدهای آهن بطريقه پر کردگی فضاهای خالی و شکافها شده است . رگه و رکچه های

نازک سیلیسی قطع کننده را کم و بیش در تمام واحدهای لیتولوژیکی میتوان مشاهده نمود . در این خصوص سرپاتینیت های برشی بلحاظ دارا بودن تعدادا بسیار زیادی از این رگه ورگچه ها متمایز هستند (تصویر ۴-۲) .

بررسی زونهای آلترا نشان میدهد که زوناسیون خاصی را برای انواع آلتراسیون های موجود نمیتوان قائل شد و همانطوریکه قبل " ذکر گردید ، آلتراسیون سیلیسی حالت عام و فراگیر در سنگهای منطقه وبخصوص زونهای مینرالیزه دارد ، بطوریکه کانه های سینابر در یک ارتباط تنگاتنگ با آن تشکیل شده اند . در زونهای مینرالیزه این ناحیه ، آلتراسیون سیلیسی بصورت بافت جریانی ، برشی ، جانشینی و کلوئیدی بوده و کانیهای تشکیل دهنده آن شامل کوارتز (با بلورهای ریز و گاهی درشت که در داخل شکافها و درزه ها توسعه پیدا کرده اند) ، کالسدونی و اوپال میشود . کوارتز معمولاً " برنگ سفید بوده ولی فازهای کریپتوکریستالین و آمورف این کانی برنگهای سبز ، خاکستری و تیره مشاهده میشوند . مطالعه کانی شناسی انجام گرفته بروش XRD (بعنوان مثال نمونه های T4F-XR-14 ، T3E-XR-12 در مرحله نیمه تفصیلی) ، فازهای آمورف کریستوبالیت و کوارتز را در آنها نشان داده است . بلحاظ حجمی ، درصد زیادی از سیلیس موجود در زونهای مینرالیزه بصورت آمورف و کریپتوکریستالین هستند . تشکیل کانیهای کریستوبالیت در زون مینرالیزه و همراه با سینابر بسیار جالب توجه است . کریستوبالیت یک کانی درجه حرارت بالای سیلیس است و تشکیل آن در دماهای پائین تنها در شرایط خاص اتفاق می افتد . بررسی هائی که در این مورد توسط محققین صورت گرفته ، نشان میدهد که تشکیل کریستوبالیت در دماهای پائین بخصوص هنگامیکه تبلور بسرعت رخ میدهد در حضور



تصویر ۴-۱- فازهای آمورف سیلیس و کریستالیت (برش های هیدروترمالی) به همراه رگه های اکسید آهن .



تصویر ۴-۲- رگه و رگه های نازک سیلیسی در فضاهای خالی و شکستگی های سریانه ایتها .

است (تشکیل زونهای آلتره Si). در مرحله بعدی مجموعه این محصولات برشی شده و توسط سیلیس مرحله جدید بصورت جانشینی، رگه - رگچه ای و جریانی متأثر گشته است. بطوریکه کانیهای سیلیسی این مرحله، برشهای سیلیسی مرحله قبلی را قطع نموده اند. با توجه به اینکه تشکیل ذخیره بفرم رگه، رگچه و پراکنده و یا بافت پرکننده فضاهای خالی و شکافها در داخل و مجاورت رگه - رگچه های سیلیسی مرحله نهائی صورت گرفته، لذا بنظر میرسد که کانی زائی سینابر پس از تشکیل زونهای آلتره Si و تشکیل رگه های سیلیسی مراحل نهائی روی داده است.

کانی زائی و تمرکز سینابر در محدوده اکتشافی به دو صورت زیر روی داده است:

۱- بصورت پراکنده در متن رگه های سیلیسی وبرشهای هیدروترمالی (واحد Si) که در این حالت کانه های سینابر با وجود اینکه بطور ماکروسکوپی وبا چشم غیر مسلح بخوبی قابل مشاهده اند، لیکن تمرکز کمی را دارا هستند و تنها در رگه های نازک سیلیسی گاما" تمرکزات قابل ملاحظه ای را میتوان مشاهده نمود. این فرم کانی زائی را کانی زائی عیار پائین جیوه میتوان نام نهاد.

۲- بصورت توده ای و پرکننده حفرات و فضاهای خالی سنگ میزبان در امتداد گسله ها، یکی از مظاهر این فرم کانی زائی، رگه موجود در دیواره ترانشه T6 (محل برداشت نمونه شماره MP-LG-08) میباشد که ضخامت میانگین رگه توده ای سینابر به ۵ cm می رسد. مظاهر شناخته شده هر دو فرم کانی زائی اعم از فرم پراکنده و توده ای - پرکننده فضاهای خالی در نقشه زمین شناسی - معدنی محدوده اکتشافی نشان داده شده است.

در خاتمه مذکور میشود که اکسیدهای آهن و کانی های رسی (کائولن و مونت موریلوفیت) در اکثر موارد فازهای مختلف سیلیس را همراهی میکنند ، اگرچه در مورد سنگهای ولکانیکی ، کنگلومرا و رسوبات شیلی - مارنی آلتراسیون آرژیلیک غالب میباشد .

بهاظ کانی شناسی ذخیره با بهره گیری از نتایج مطالعه مقاطع صیقلی نمونه های برداشت شده در مراحل اکتشاف مقدماتی ، نیمه تفصیلی و تفصیلی میتوان گفت که کانه های تشکیل دهنده ذخیره شامل سینابر ، پیریت و مارکازیت و بمقدار جزئی استیبنیت ، اولیزیست و اکسیدهای آهن میباشد . بطوریکه در توالی پاراژنزی ، تشکیل پیریت ، استیبنیت و اولیزیست مقدم بر تشکیل کانه های مارکازیت و سینابر میباشد ، گذشته از آن کانه های کرومیت و روتیل نیز که متعلق به سنگ میزبان (ونه کانی زائی هیدروترمالی) است ، در مقاطع صیقلی مشاهده شده اند . لازم بذکر است که مقاطع صیقلی مطالعه شده تماماً " به کانسنگهای نسبتاً " پر عیار متعلق بوده و بدلیل عدم امکان تهییه مقطع صیقلی از کانسنگ پراکنده (زونهای آلتره و مینرالیزه Si) ، مطالعه مربوطه در این مورد صورت نگرفته است ، لیکن مشاهدات صحرائی انجام گرفته در دیواره ترانشه ها حاکی از آن است که کانه ها عمدها " سینابر " هستند که بصورت پراکنده و کاملاً منفرد در متن سنگهای متخلخل و نرم سیلیسی جای گرفته اند .

" ذیلاً " نتایج مطالعات مقاطع صیقلی نمونه های برداشت شده از رگه های معدنی (حاوی سینابر در مراحل نیمه تفصیلی و تفصیلی) توضیح داده میشود .

شرح مقطع صیقلی نمونه شماره Mp-OM-01

این نمونه از داخل چاه دستی اکتشافی BH10 واز رگه نازک ولی پر عیار سیناپر برداشت شده است. کانیهای کدر شامل سیناپر، کرومیت، مارکازیت و استیبنیت بوده لذا هیچ ارتباطی بین کرومیت و سه مورد مشروطه دیگر مشاهده نمی شود. بلکه کرومیت بشکل قطعات خرد شده و پراکنده بصورت مستقل در زمینه سرپانتین وجود دارد ولی مارکازیت و استیبنیت "عمدتاً" ادخالهایی را در سیناپر ایجاد نموده اند. سیناپر نیز دارای بافت دیسمنیت با اشکال نامنظم و در قطعات مختلف از نظر اندازه میباشد. ضمناً "مواردی از پیریت یا مارکازیت بشکل ادخالهای بسیار کوچک بهالت مجزا از سیناپر در زمینه کانیهای گانگ وجود دارد.

سیلیس در مقطع به دو شکل وجود دارد. قطعات مدور و پرس شدگی در فضاهای میکرو فراکچر، مورد اول در ارتباط با رادیو لاریتها و مورد دوم احتمالاً در ارتباط با سیلیسیفیکاسیون سنگ میزبان سیناپر است.

شرح مقطع صیقلی نمونه شماره T3-OM-02

محل برداشت این نمونه منطبق بر محل برداشت نمونه T2A-LG-02 (رخنمون اصلی کانی سازی سیناپر) میباشد. در نمونه دستی و در محل رخنمون، کانی سازی شدید

سینابر مشاهده میشود . در مقطع میکروسکوپی کانیهای فلزی تشکیل دهنده این نمونه بشرح زیر گزارش شده است :

۱- سینابر : اجتماع بلورهای این کانی ، لکه های بشکل گزnomorf در ابعادی بین ۵۰ تا ۸۰۰ میکرون را تشکیل داده اند . برخی از این بلورها حاوی انکلوژیونهای اولیژیست میباشند که نشان دهنده این است که بلورهای سینابر در فاز بعد از اولیژیست و در حرارت پائین تشکیل یافته است . سینابر حدود ۵ درصد نمونه را اشغال کرده است .

۲- کرومیت : این کانی بشکل لکه های نیمه اتمورف در ابعاد ۱۰ تا ۱۰۰ میکرون بندرت در نمونه تشکیل یافته اند و حداکثر ۱ درصد نمونه را اشغال میکنند .

۳- اولیژیست : کریستالهای این کانی کاملاً اتمورف و کشیده بوده و بین ۲ تا ۲۰ میکرون اندازه دارند . اغلب بشکل چند کریستال مجتمع دیده میشوند . اما بصورت منفرد نیز پراکندگی داشته و همراه با بلورهای پیریت دیده میشوند . برخی از بلورهای اولیژیست تحت تاثیر آلتراسیون قرار گرفته و به اکسیدهای آهن تبدیل شده اند . بلورهای اولیژیست در کانی سینابر بصورت انکلوژیون قرار دارند . تشکیل اولیژیست در این نمونه کم بوده و قابل توجه نیست .

۴- پیریت : بلورهای پیریت بشکل کاملاً اتمورف حداکثر به اندازه ۵۰ میکرون در نمونه پراکنده است . این بلورها اغلب در بخشهای تیره سنگ میزبان ، کانی سازی کرده اند و درصد مهمنی را تشکیل نمی دهند .

۵- اکسیدهای ثانویه آهن : اغلب در لکه هایی به ابعاد ۲ تا ۵۰ میکرون در فضاهای مناسب سنگ میزبان کانی سازی کرده اند .

۶- روتیل : کانی روتیل نیز حداکثر در اندازه $10\text{ }\mu\text{m}$ قابل روئیت است و حداکثر میزان آن به ۱ درصد میرسد . بطور کلی از مطالعه این نمونه چنین بنظر میرسد که کانیهای فلزی در درجه حرارت پائین تشکیل یافته اند و در مجموع حداکثر ۸ تا $10\text{ }\mu\text{m}$ درصد نمونه را به خود اختصاص داده اند . بافت کانی سازی نمونه Open space میباشد .

شرح مقطع صیقلی نمونه شماره T2A-OM-03 :

این نمونه نیز از محل رختمون اصلی کنانی سازی (T2A-LG-03) از رگه های اوپالی موجود برداشت شده است . همچنانکه قبل " به تفصیل ذکر شده است ، ذخیره سینابر را رگه های اوپالی که محصول آلتراسیون شدید سیلیسی است همراهی میکند . کانی سازی فلزی در این نمونه بشرح زیر است :

۱- کرومیت : این کانی بشکل لکه های درشت غیر هندسی و متمایل به ایدیومورف با ابعاد مختلف بین $200\text{ }\mu\text{m}$ تا $650\text{ }\mu\text{m}$ در سنگ میزبان پراکندگی دارد . ساخت کریستالهای کرومیت کاتاکلاستیک است و بافت کانی سازی افسان میباشد .

۲- اولیژیست : کریستالهای این کانی ریز و کشیده ، اتومورف و حد اکثر ابعاد $50\text{ }\mu\text{m}$ میکرون است . اغلب بشکل چند کریستال مجتمع مشاهده میشود ، اما بصورت منفرد نبوده و در مقطع مطالعه شده در قسمتی از نمونه همراه با پیریت است که منشاء اولیه دارد که در فاز



هیدروترمال بوجود آمده است ولیکن در این نمونه از اکسیدهای ثانویه آهن با منشاء ثانویه نیز موجود است.

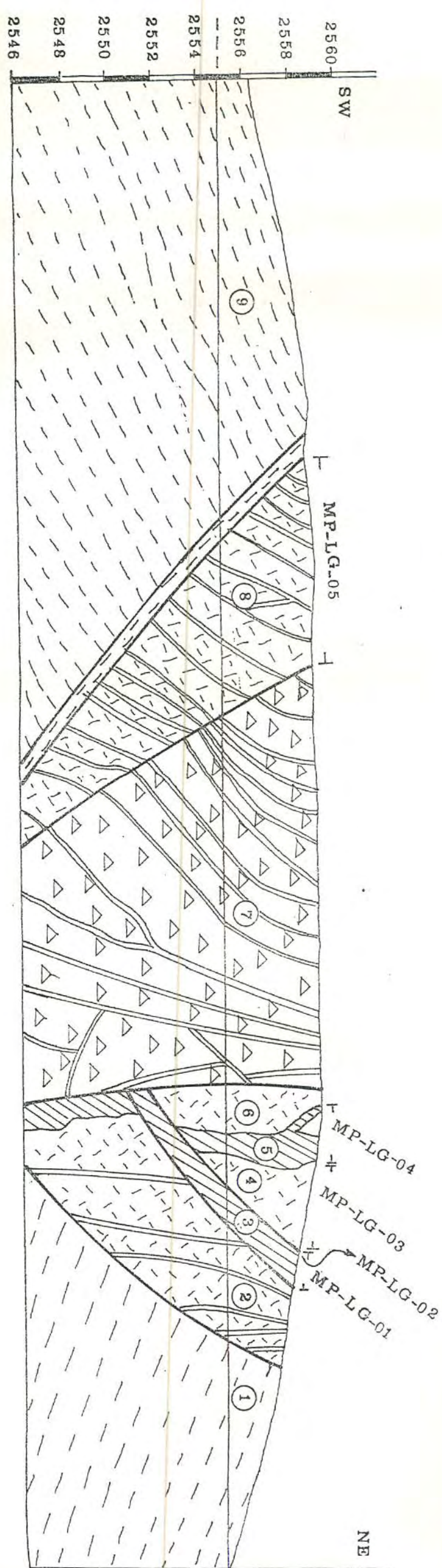
۳- مارکازیت: کریستالهای این کانی دیز دانه، اتومورف و کشیده بوده و ابعاد آن بین ۱۰-۵۰ میکرون میباشد. بافت کانی سازی افسان است و نشانگر اولیه بودن منشاء آن است. با توجه به ترکیب کانی شناسی زونهای مینرالیزه (اعم از کانیهای حاصل از آلتراسیون و کانه های معدنی) میتوان گفت که سیالات گرمابی از نظر عناصر H_2O , S, Hg, Si, Fe بسیار غنی بوده اند.

۴- شرح مقاطع زمین شناسی قراشه های اکتشافی

پس از احداث ترانشه های اکتشافی عمیق با استفاده از یک دستگاه بولدوزر که در شرایط بسیار نامناسب جوی وامنیتی صورت پذیرفت، اقدام به برداشت مقاطع زمین شناسی آنها در مقیاس ۱/۲۰۰ گردید. مقاطع مذبور در اشکال ۱-۴ الی ۷-۴ ارائه شده است. در این مبحث به شرح مقاطع زمین شناسی ترانشه ها میپردازیم. ذکر چند نکته در مورد این اشکال ضروری است:

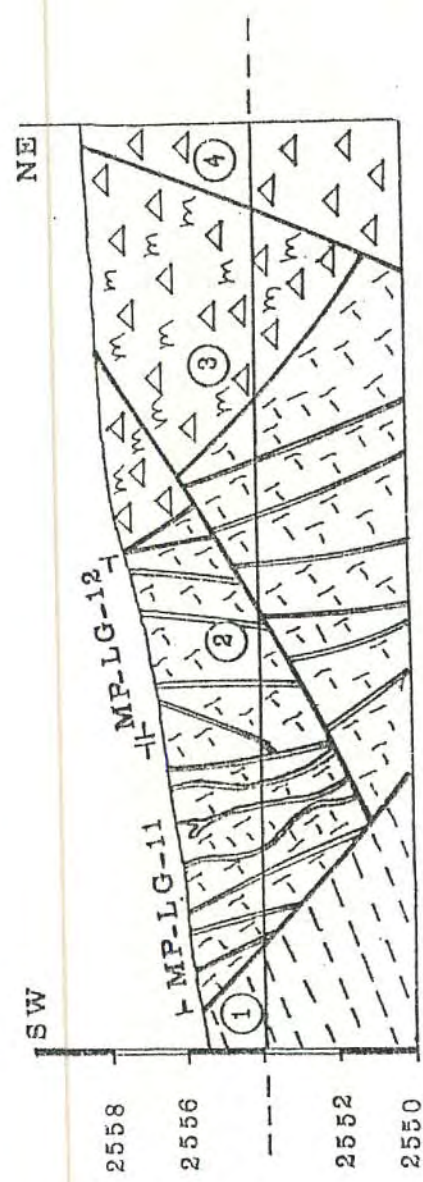
الف - در مقاطع ترسیم شده هر واحد با علائم سنگ شناسی و نیز شماره منصوص بخود مشخص شده است.

GEOLOGICAL CROSS SECTION OF T1



شکل ۱-۴-۱- مقطع زمین شناسی تراشه T1

GEOLOGICAL CROSS SECTION OF T2

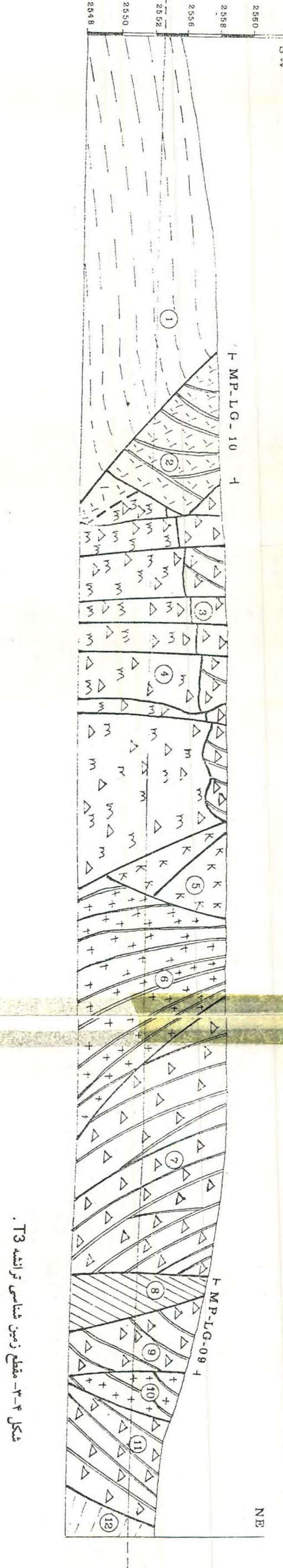


شکل ۴-۲- مقاطع زمین شناسی توانشده . T2

GEOLOGICAL CROSS SECTION OF T3

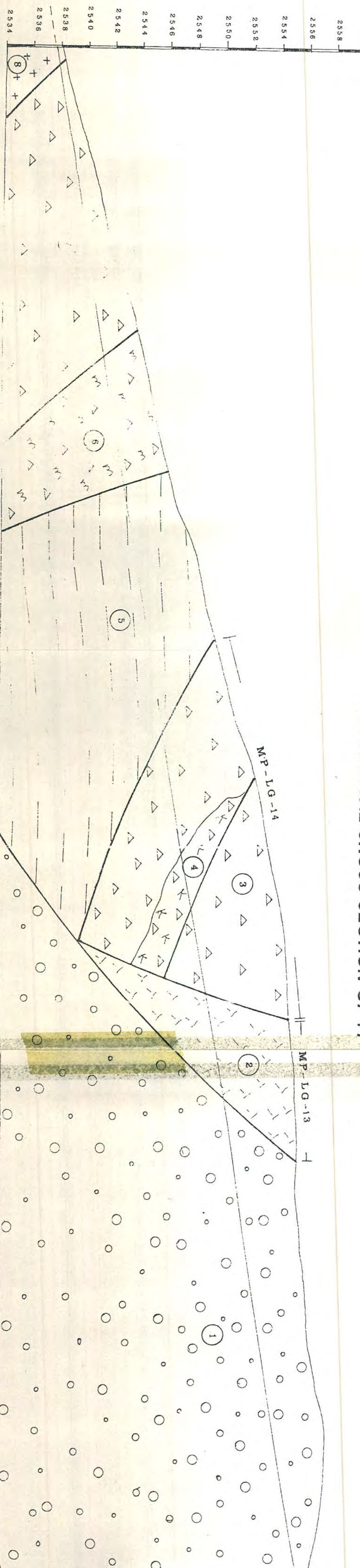
— ۱۱—۴۵۲

کاوشگران



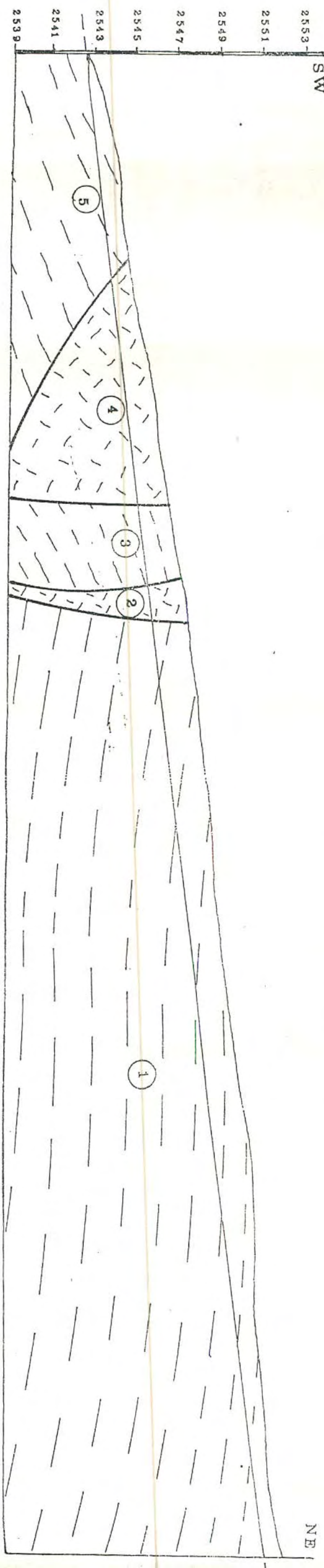
شکل ۴-۳- مقطع زمین شناسی تراشه T3

GEOLOGICAL CROSS SECTION OF T7



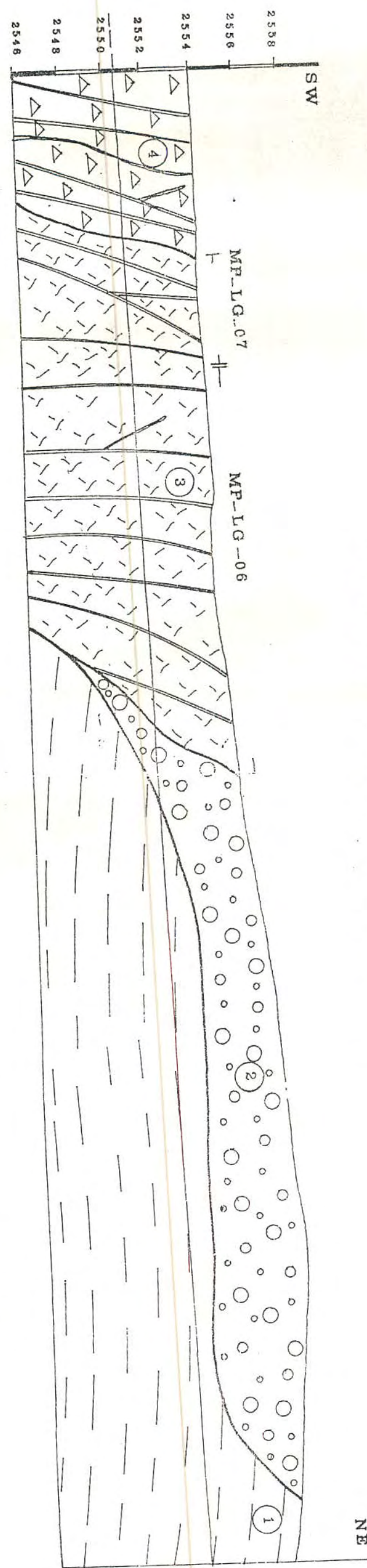
شکل ۴-۷- مقطع زمین شناسی تراشه T7

GEOLOGICAL CROSS SECTION OF T4



شکل ۴-۴: مقطع زمین شناسی تراشه T4

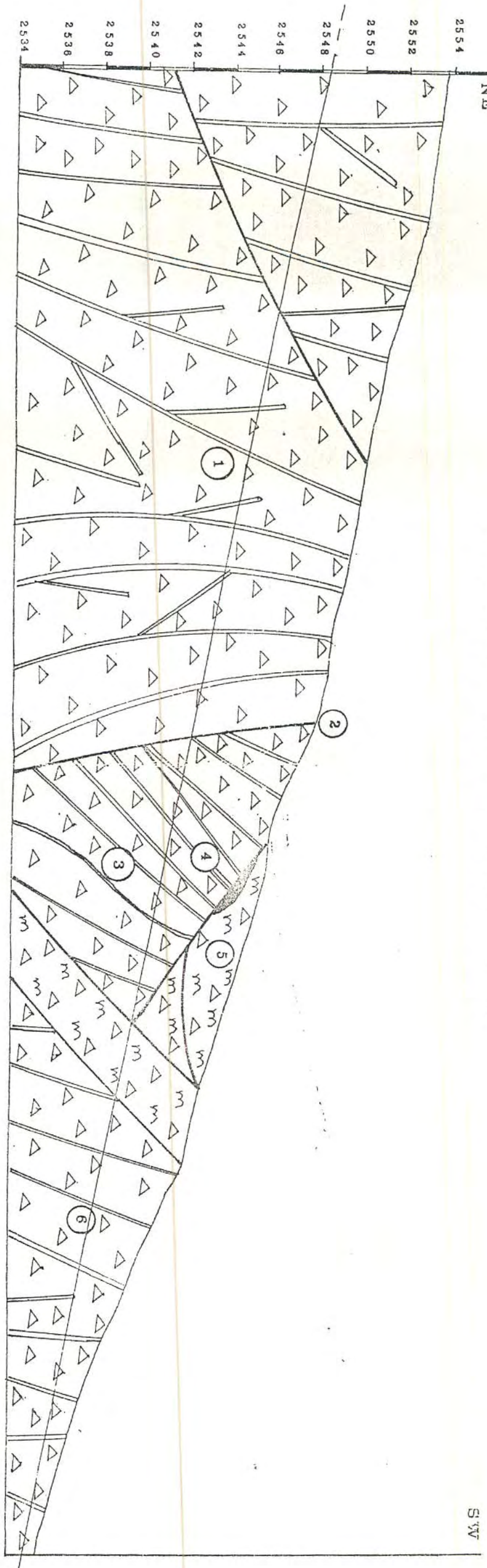
GEOLOGICAL CROSS SECTION OF T5



شکل ۴-۰- مقطع زمین شناسی تراشه ۵.

کاوشگران — ۱۱۴ آزمایش

GEOLOGICAL CROSS SECTION OF T6



. T6
شکل ۴-۹ - مقطع زمین شناسی تراشه

ب - آن قسمت از واحدهای لیتوژیکی که در دیواره ترانشه ها در معرض دید قرار گرفته اند، توسط یک خط افقی و یا شیب دار (بسته به توپوگرافی کف ترانشه ها)، مشخص شده است.

۱-۴-۴- قراشہ T1 :

۱. شیل، مارن و ماسه سنگ برنگهای سبز، خاکستری و زرد با لایه بندی نازک.
۲. سنگهای سرپانیتی شدیداً آلتره وبرشی که بصورت رگه سیلیسی متخلخل و نرم نمایان شده است. رگه های نازکی از سیلیس برنگ سفید زون آلتره را قطع نموده است، کانی زائی سینابر مشاهده نمیشود.
۳. سرپانیتیت پرشی و شدیداً آلتره که توسط اکسیدهای آهن و سیلیس جانشین شده است، این رگه بارنگ بسیار مشخص قهوه ای روشن قابل مشاهده است. رگه مزبور مینرالیزه بوده و در آن کانه های سینابر بخصوص در ۲۰ سانتی متری فوقانی آن تشکیل شده است. بافت کانه ها بصورت پرکردگی حفرات و فضاهای خالی و رگچه ای میباشد. کنتاکت رگه با واحدهای پائینی وبالائی آن از نوع گسله است. از این رگه دو نمونه Mp-LG-01 (بخش پائینی) و Mp-LG-02 (از ۲۰ سانتیمتری بخش بالائی) جهت آنالیز شیمیائی برداشت گردید. عیار جیوه در نمونه های یاد شده به ترتیب ۲۸/۵ و ۳۷۴ گرم در تن گزارش

از واحدهای شماره ۵ و ۶ مجموعاً یک نمونه (Mp-LG-04) برداشت گردید. که غلظت جیوه آن ۳۲ ppm بdst آمد.

۷. سرپانتینیت های برشی که توسط رگه های نازک سیلیسی و در مواردی اکسیدهای آهن قطع شده است، بنظر میرسد که رگه های مزبور در مراحل نهائی فعالیت هیدروترمالی جایگزین شده باشند، چرا که تمام شکستگی ها و درزه های موجود در توده سنگ برشی را پر نموده اند. شب این رگه ها عموماً به سمت SW بوده و بنابراین در نهایت به گسل اصلی که واحد مزبور را بر روی سنگهای شیلی و مارنی رانده است، ارتباط پیدا میکند. کانی زائی سینابر در این واحد مشاهده نمیشود. (تصویر شماره ۲-۴)

۸. سنگهای شدیداً آلتره ویرشی شده برنگ سفید (نظیر واحدهای ۴ و ۶). این واحد در نتیجه فعالیت هیدروترمالی و جانشینی وسیع سیلیس در سرپانتینیت های برشی تشکیل شده وبصورت یک واحد سنگی نرم و متخلخل و بسیار سبک در آمده است، رگه های نازک سیلیسی توده مزبور را قطع مینماید. کانی زائی پراکنده و عیار پسائین سینابر در آن مشاهده میشود. کنتاکت آن با واحدهای کمر بالا و پائین خود از نوع گسله بوده و در حقیقت در یک زون گسله که در نتیجه آن سرپانتینیت ها بر روی سنگهای شیلی و مارنی رانده شده اند، بوجود آمده است. نمونه Mp-LG-05 از این واحد برداشت گردید. عیار جیوه در نمونه مذکور ۱۷۷ ppm میباشد.

۹. شیلهای رسی و مارن برنگهای خاکستری ولايه بندي نازک، لايه ها دارای شبیه ملایمی به سمت SW میباشند. این رسوبات با کنتاکت گسله در مقابل سرپانتینیت های

برشی و آلتله قرار گرفته اند. پخشی از این رسوبات به ضخامت ۱۲۰ سانتی متر در زون گسله شکسته شده و با شبیه مخالف در برابر لایه های شیلی و مارنی واقع شده اند.

تصویر ۴-۴ نمائی از تراشه T1 را نمایش میدهد.

۴-۴-۳ : تراشه T2

۱. شیل و مارن برنگهای خاکستری، سبز وزرد که در همجاورت گسل، تحت تاثیر سیالات گرمابی آلتراسیون کمی را متحمل شده اند.
۲. سنگهای شدیداً آلتله، برشی و نرم برنگ سفید که رگه و رگچه های فراوانی از سیلیس سنگهای مزبور را قطع نموده اند. امتداد عمومی رگه های اخیر N170 S میباشد. اکسیدهای آهن و کانیهای رسی (کائولن) نیز کم و بیش مشاهده میشوند. واحد سنگی مزبور از سنگهای کمر بالا و پائین خودش توسط گسلها جدامیشود و در حقیقت ادامه واحد شماره ۸ از تراشه T1 میباشد. کانی زائی سینابر بصورت پراکنده و عیار پائین صورت گرفته است. دو نمونه به شماره های Mp-LG-11, Mp-LG-12 از این واحد برداشت گردید. عیار جیوه در این نمونه ها به ترتیب 359 ppm و $12/3 \text{ ppm}$ گزارش شده است.
۳. مجموعه درهمی از سنگهای سرپانتینیتی، ولکانیکی و مارنی شدیداً آلتله (سیلیسی - کائولینی) که بصورت ملانژ افیولیتی در آمده اند. رگه ها و جانشینی های از اکسیدهای آهن



تصویر ۴-۳- نمایی از واحدهای شماره ۳ و ۴ در ترانشه T1.



تصویر ۴-۴- نمایی از ترانشه T1.

نیز بچشم میخورد . واحد مزبور توسط گسلها کنترل میشود . کانی زائی سیناپر در آن مشاهده نمیشود .

۴ . سرپانتینیت های برشی که توسط رگه های نازک سیلیسی قطع شده است .

۳-۲-۶-۳ : قرافشه T3

۱. رسوبات شیلی ، مارنی و ماسه سنگی عموماً خاکستری رنگ .

۲ . سنگهای برشی ، نرم و شدیداً آلترا (سیلیسی شده) برنگ سفید . رگه های نازک ورگجه های فراوانی از سیلیس مراحل تاخیری واحد سنگی فوق الذکر را قطع نموده است . مجموعه ای از کانیهای کوارتز و سیلیس آمورف (کریستوبالیت ، اوپال ، سرپانتین ، کانیهای رسی وتالک در آن وجود دارد . کانی زائی عیار پائین و پراکنده سیناپر در این سنگها مشاهده میشود . نمونه Mp-LG-10 از این زون برداشت گردید . عیار جیوه در این نمونه ۲۲۶ ppm میباشد .

۳ . سرپانتینیت های برشی که با وضعیت رورانده (Over trusted) بر روی ملاتز افیولیتی واقع شده اند . رگه های نازکی از سیلیس سرپانتینیت ها را قطع نموده اند . گسله رورانده خود توسط گسله های موازی و پرشیب قطع شده و جابجائی قائمی در حدود ۱۰-۵۰ سانتیمتر در آن ایجاد شده است . تبدیل سرپانتینیت های برشی به سنگهای آلترا سیلیسی (نرم) بوضوح در این سرپانتینیت ها قابل مشاهده است . همانطوریکه ملاحظه میشود واحد

شماره ۲ بخشی از این سرپا تینیتیهاست که تحت تاثیر فعالیت سیالات گرمابی و در مسیر گسل اصلی آلتره شده است.

۴. ملاتر افیولیتی که اجزای آن را شیل رادیولاریتی برنگ قرمز، مادستون، سارن و سرپا تینیت (بطور جریب) تشکیل میدهد. کانی زائی سیناپر در آن به چشم نمیخورد.

۵. سنگهای شدیداً آلتره که در آنها جانشینی های وسیع کانولین واکسیدهای آهن در امتداد یک زون گسلی روی داده است. تشخیص سنگ اولیه امکان پذیر نیست. کانی زائی سیناپر وجود ندارد.

۶. ولکانیکهای نازک آلتره، رگه های نازک و فراوان سیلیس واکسیدهای آهن آن را قطع نموده است. اکثر این رگه ها موازی بوده و دارای شبیه تندری و بسمت شرق - جنوبشرق میباشند. کانی زائی سیناپر در این واحد مشاهده نمیگردد.

۷. سرپا تینیت های برشی قطع شده توسط رگه های نازک سیلیس واکسیدهای آهن که بر روی ولکانیکهای بازیک (واحد شماره ۶) رانده شده است. در پاره ای از رگه های سیلیسی یاد شده، کانه های سیناپر بمقدار بسیار کم قابل مشاهده است.

۸. زون گسله که توسط اکسیدهای آهن، کانیهای رسی و سیلیسی (بمقدار فرعی) پرشده است. شبیه خامت رگه در سطح زمین ۱/۶۰ متر بوده و بسمت پائین افزایش پیدا میکند، بطوریکه در کف ترانشه به ۳ متر میرسد. شبیه رگه های سیلیسی در واحد های شماره ۷ و ۹ بسمت این رگه میباشد و به نظر میرسد که سیالات نهشت کننده این رگه ها از طریق زون گسلی مزبور بالا آمده اند.

۹. سرپانتینیت های برشی که توسط رگه های نازک و فراوان سیلیسی بزنگ سفید قطع شده است. این رگه ها موازی هم بوده و بسمت SW (زون گسله شماره ۸) شیب دارند. ذر تعدادی از رگه های سیلیسی مزبور کانه های سینبر بصورت پراکنده و منفرد یافت میشود. نمونه Mp-LG-09 از واحد های شماره ۸ و ۹ بطور مشترک برداشت شده است. عیار جیوه در نمونه مذکور ۱۶۲ ppm بحسب آمده است.

۱۰. ولکانیک های بازیک آلتره که با ضیغامت کم و کنتاکت گسله در بین سرپانتینیت های برشی قرار گرفته است.

۱۱. سرپانتینیتهاي برشی که توسط رگه های نازک سیلیسی قطع شده است.

۱۲. رسوبات شیلی ، مارنی و ماسه سنگی که در مجاورت زون گسله اصلی تا حدودی آلتره (سیلیسی و کائولینیتی) شده اند . تصویر ۴-۵ نمایی از ترانشه های T2 ، T3 را نشان میدهد .

۴-۴-۴-۴- قرافشه T4 :

۱. شیل ، مارن و ماسه سنگ بزنگهای خاکستری ، سبز زرد
۲. سنگهای شدیداً آلتره و نرم بزنگ سفید متشكل از سرپانتن ، سیلیس (کوارتز و فازهای آمورف) تالک و کانیهای رسی
۳. نظیر واحد شماره یک

۴. نظیر واحد شماره دو
۵. نظیر واحد شماره یک

لازم بذکر است سنگ اولیه واحدهای آلترا ۲ و ۴ بصورت یک بلوك اگزوتیک بزرگ در داخل رسوبات شیلی، مارنی و ماسه سنگی بصورت تکتونیکی جای گرفته و در مراحل بعدی در نتیجه عملکرد سیالات گرمابی آلترا شده است.

از سنگهای شدیداً آلترا این واحدها یک نمونه جهت مطالعه کانی شناسی بروش XRD برداشت گردید. کانی اصلی نمونه مذبور هورنبلند (منیزیوم دار) بوده و کانیهای فرعی آن کلریت و مونت موریلوئیت میباشد.

۴-۴-۵- قرافشه T5 :

۱ و ۲. شیل و مارن نازک لایه برنگهای خاکستری، سبز روشن و نخودی، بر روی این واحد رسوبات کنگلومرائی (واحد شماره ۲) با اجزاء افیولیتی رانده شده است (روراندگی). اجزاء این کنگلومرا را قطعات سرپانتینیتی، ولکانیکی، وشیل رادیولاریتی تشکیل میدهد.

۳. سنگهای شدیداً آلترا وبرشی با بافت متخلخل و نرم برنگ سفید، متتشکل از کانیهای سرپانتین، سیلیس (فازهای مختلف)، کانیهای رسی، اکسیدهای آهن و بمقدار جزئی تالک. کانی زائی سینابر با بافت پراکنده و عیار پائین در این زون روی داده است.

نمونه های Mp-LG-06, Mp-LG-07 از این واحد برداشت گردید. پراکندگی سینابر در محل برداشت نمونه Mp-LG-07 بیشتر از محل برداشت نمونه Mp-LG-06 میباشد. آنالیز شیمیائی نمونه عیار پائین تری را نشان داده اند (به ترتیب ۲۰ و ۴۶/۵ گرم در تن) .

۴. سرپانتینیت برشی که توسط رگه های نازک سیلیسی و اکسیدهای آهن قطع شده است . کانی زائی سینابر مشاهده نمیشود .

۴-۳-۶- قرافشه T6 :

۱. سرپانتینیت برشی ، توسط تعداد زیادی رگه نازک سیلیسی قطع میشود .

۲. یکی از گسله های اصلی کنترل کننده کانی زائی بفاصله ۵ متری شرق این ترانشه در امتداد این گسله ، کانی زائی پر عیار سینابر روی داده است . کانی زائی بفرم پر کننده حفرات و فضاهای خالی بوده و در سرپانتینیت برشی که شدیداً سیلیسی شده ، جایگزین شده است البته در دیواره ترانشه در داخل این گسل کانی زائی مشاهده نمیشود . آنالیز نمونه اخذ شده از این رگه پر عیار در مرحله نیمه تفصیلی عیار جیوه را ۶/۴۲ درصد تعیین نموده است .

۳. سرپانتینیت برشی ، توسط رگه های نازک سیلیسی قطع میشود . بر روی این واحد مجموعه درهم افیولیتی (ملانژ) با وضعيت رانده قرار میگیرد . در این گسل رانده ، کانی زائی عیار بالا (توده ای) سینابر وجود دارد . شب رگه های نازک سیلیسی (عموماً

۳۶/۹۵) نشان میدهد که جهت حرکت و صعود سیالات گرمابی از گسل (۲) بطرف محل کانی زائی فوق الذکر بوده است.

۴. توده معدنی سیناپر، بصورت رگه ای به ضخامت متوسط ۵ سانتیمتر که در داخل گسله ای با مشخصات ۲۵۰/۳۳ تشکیل شده است. امتداد رگه بطرف پائین قطع میشود. نمونه شماره Mp-LG-08 از این رگه برداشت شده که عیار جیوه آن را ۴/۲ درصد نشان میدهد (تصویر ۶-۴).

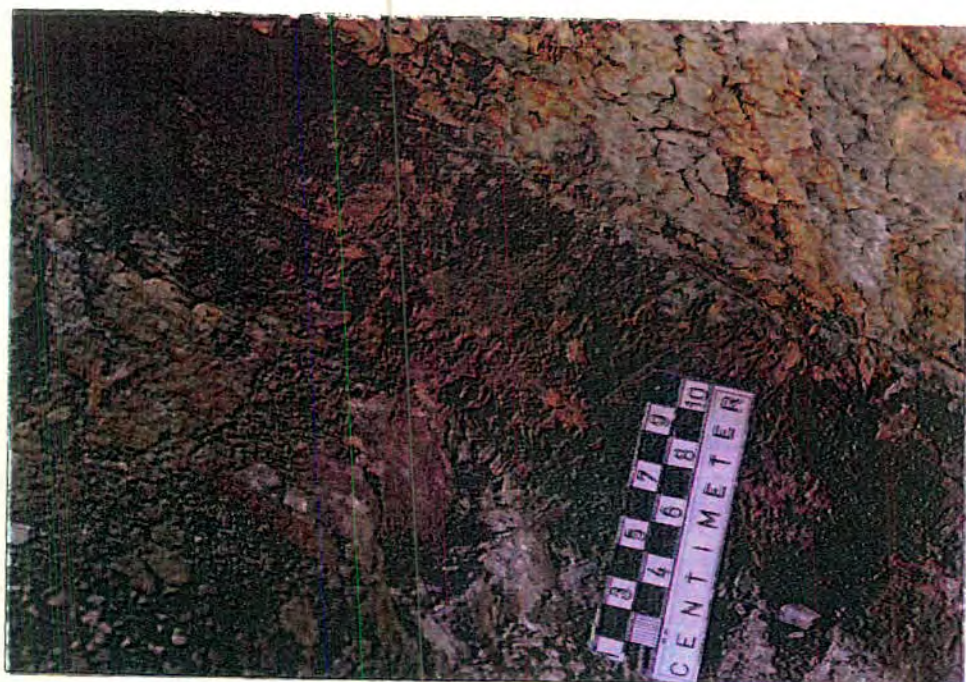
بفاصله حدود ۷ متری شمال شرق این رگه، رگه مینرالیزه پر عیار دیگری وجود دارد که در داخل همین گسل جای گرفته است. نمونه شماره T2A-LG-03 در مرحله اکتشاف نیمه تفصیلی از این رگه برداشت گردید که. عیار جیوه در نمونه مذبور ۶/۴۲ درصد می باشد.

چاه دستی اکتشافی BH10 جهت ردیابی امتداد رگه مذبور در کف ترانشه T6 حفر گردید. امتداد رگه مذبور بصورت کانی زائی پر عیار جیوه (سیناپر) در دیواره چاه مذبور شناسائی گردید. نمونه های Mp-OM-01، Mp-XR-02، Mp-Pt-01 به BH10-LG-01، ترتیب جهت انجام مطالعات مقاطع صیقلی، پتروگرافی، کانی شناسی بروش XRD و آنالیز شیمیائی از رگه یادشده اخذ گردید. نتیجه مطالعه مقاطع صیقلی مربوطه در بخش ۳-۴ ذکر گردید. مطالعه نمونه بروش XRD، کانیهای سیناپر و کریستوبالیت را در آن تأیید کرده است آنالیز شیمیائی نمونه مذبور نیز عیار جیوه را ۵/۶۲ درصد گزارش کرده است

توصیف پتروگرافی نمونه مورد مطالعه به شرح زیر میباشد:



تصویر ۴-۵- نمایی از تراشه های T2 ، T3



تصویر ۴-۶- رگه مینرالیزه سیناپر واقع در دیواره تراشه T6

شرح مقطع فاز گ فونفه شماره : Mp-Pt-01

بافت شبی برشی کانه به حالت پراکنده مشاهده میشود و تشکیل آن به فضاهای شکستگیها ارتباطی ندارد . زمینه متشكل از کانیهای شفاف میکرو تا کریپتو کریستالین بوده و فقط قطعات با ابعاد بزرگتر که بشکل برشی وجود دارد ، قابل شناسائی است . این قطعات از کانیهای سرپانتین عمدتاً " آنتی گوریت و احتمالاً " باسیت تشکیل شده اند .

علاوه بر این در فضاهای مدور و شکستگیها اسفلوفلیتها سیلیسی بمقدار کمتر از ۵ درصد دیده میشود که احتمالاً " مربوط به رسوبات رادیولاریتی میباشد و احتمالاً " این بخش از محل کانی سازی فاصله دارد . زمینه ریز بلور بوده شامل فیلوسیلیکاتها و احتمالاً " کانیهای گروه زئولیت به شکل توجیه شده است . هیچ آثاری از کانیهای اولیه در متن سنگ وجود ندارد و تنها بر اساس کانیهای سرپانتین که تشکیل میلونیت را داده میتوان به اولترا مافیک بودن سنگ اولیه مطمئن بود . علاوه بر سینابر قطعاتی با انعکاس داخلی نارنجی مشابه گوتیت نیز بحال پراکنده دیده میشود .

۵. ملانژ افیولیتی ، متشكل از قطعات بزرگ سرپانتینیتی ، شیل قرمز و قطعات ولکانیکی شدیداً آلتره .

۶. سرپانتینیت برشی قطع شده توسط رگه های سیلیسی نازک

۷-۶-۴-۳ : قواشیه T7

۱. کنگلومرا با اجزاء افیولیتی متشكل از قطعات سرپانتینیت، شیل رادیولاریتی و ولکانیکی.
۲. سنگهای شدیداً آلتہ و نرم برنگ سفید متشكل از سرپانتین، فازهای مختلف سیلیس، کانیهای رسی و بمقدار جزئی تالک. کانه های سینابر بمقدار کم و بصورت پراکنده یافت میشود. نمونه شماره Mp-LG-13 از این واحد برداشت گردید.
۳. سرپانتینیت برشی، توسط رگه های فراوان و نازک سیلیسی قطع شده است.
۴. سنگهای شدیداً کائولیتی شده در طول یک گسل با مشخصات ۶۰/۲۳، ضخامت زون کائولینی بطرف عمق افزایش میابد. نمونه Mp-LG-14 از رگه های سیلیسی قطع کننده سرپانتینیت برداشت گردید.
۵. شیل، مارن و بمقدار کم ماسه سنگ
۶. مجموعه درهم از سنگهای مختلف افیولیتی (ملانژ) متشكل از سرپانتینیت، شیل وولکانیک
۷. سرپانتینیت برشی نظیر واحد شماره ۱۳.
۸. سنگهای ولکانیکی بازالتی تا آندزیتی - بازالتی

۴-۵- تغییرات عیار و ذخیره :

همانطوریکه قبل "توضیح داده شد ، در این مرحله از مطالعات ، با توجه به نتایج بررسیهای لیتوژئو شیمیائی در مرحله اکتشاف نیمه تفصیلی و همچنین وضعیت رخنمون زونهای میترالیزه ، جهت بررسی ساختمان زمین شناسی و انجام نمونه گیری اقدام به روبرداری و حفر ترانشه های عمیق در جهت عمود بر راستای گسترش زونهای مزبور گردید . پس از حفر ترانشه های مزبور اقدام به برداشت زمین شناسی مقاطع ترانشه ها و نمونه گیری از زونهای میترالیزه گردید که شرح مفصل آن در بخش ۴-۴ ارائه شده است . علاوه بر ترانشه های اکتشافی ، جهت شناسائی وضعیت زونهای معدنی (در بخش کم عیار) که در واحد برشهای هیدروترمالی و سیلیسی (واحد Si) قرار دارند ، اقدام به حفر تعدادی چاهک اکتشافی عمق ۱۵-۵ متری گردید (بخش ۴-۷-۱) .

جهت تعیین عیار عناصر Cu , As, Ag , Au , Hg تعداد ۱۸ نمونه از رخنمون زونهای میترالیزه در دیواره ترانشه های اکتشافی (اعم از بخش های کم عیار و پر عیار) تعداد ۳۴ نمونه از تعداد ۳ چاهک اکتشافی برداشت گردید . با احتساب تعداد ۶ نمونه کترلی که به آزمایشگاه ارسال گردید ، تعداد نمونه های آنالیز شده برای عناصر یاد شده ۵۹ عدد میباشد . در زونهای میترالیزه موجود (اعم از کانسنگ کم عیار یا کانی زائی پراکنده و کانسنگ رگه ای پر عیار) ، بیشترین عیار ثبت جیوه متعلق به نمونه T2A-LG-03 (آنسالیز شده در مرحله نیمه تفصیلی) با میزان ۶/۴۲ درصد میباشد . مطالعه کانی شناسی بروش XRD این

نمونه مجموعه کانیهای سینابر، کریستوپالیت، کوارتز، منیزیت و مونت موریلونیت را در آن نشان داده است. این نمونه از رگه ای واقع در ۵ متری شرق ترانشه T6 بصورت Chipp sampling برداشت شده است. بنابراین حدود ۲ متری رگه مزبور، رگه دیگری وجود دارد که احتمالاً در ارتباط با هم تشکیل شده اند و عیار جیوه در نمونه برداشت شده از آن $\frac{3}{87}$ درصد گزارش شده است. علاوه بر رگه های مزبور دو رگه پر عیار دیگر در محدوده اکتشافی شناسائی گردید که یکی در دیواره ترانشه T6 (محل برداشت نمونه های Mp-LG-08 ، BH10-LG-01) و دیگری در دیواره ترانشه T1 (محل برداشت نمونه 02 Mp-LG-02) قرار دارد. عیار جیوه در سه نمونه مزبور به ترتیب $\frac{4}{2}$ درصد ، $\frac{5}{62}$ درصد و 374 ppm گزارش شده است. با توجه به اینکه نمونه از امتداد رگه نخست در داخل چاهک اکتشافی برداشت شده، لذا میانگین جیوه در این رگه $\frac{4}{6}$ درصد بدست می آید. در رابطه با زونه Mp-LG-02 باید گفت که این نمونه از یک رگه نسبتاً پر عیار با کانه های فراوان سینابر و به ضخامت 20 cm اخذ شده است و لذا بنظر میرسد که مقدار گزارش شده توسط آزمایشگاه، مقدار واقعی جیوه موجود در نمونه مزبور نباشد (تصور بر آن است که عیار جیوه در این نمونه بیشتر از 2000 ppm باشد) از نظر عیار جیوه، نمونه شماره BH1 که از عمق یک متر اول چاهک اکتشافی شماره یک اخذ شده، با مقدار 3500 ppm جیوه و نمونه شماره Mp-LG-03 با مقدار 1300 ppm در درجه بعدی اهمیت قرار دارند. تغییرات عیار عناصر Cu، Hg، As، Ag، Au در چاهکهای اکتشافی BH3، BH1 که در زون مینرالیزه واقع در شمال محدوده اکتشافی حضر

شده اند در جدول ۴-۳ ارائه شده است . لازم به ذکر است که نمونه گیری از چاهکهای اکتشافی بروش شیاری - پیپری واژ هر یک متر یک نمونه صورت پذیرفته است . در رابطه با سایر عناصر باید گفت که تمرکز خاصی ملاحظه نمیگردد .

مشخصات آماری نمونه های برداشت شده از دو زون مینرالیزه واقع در شمال محدوده اکتشافی در جدول ۴-۴ ارائه شده است . همچنانکه از این جدول بر می آید، میانگین عنصر جیوه براساس تعداد ۱۵ نمونه لیتوژئوشیمیائی که از دیواره تراشه ها و چاهکهای اکتشافی (BH3 , BH1) برداشت شده اند ، $403/5$ گرم در تن ($40/0$ درصد) بدست آمده است .

در رابطه با میانگین مذبور ذکر یک مطلب ضروری است و آن اینکه میانگین یاد شده مربوط به نمونه های اخذ شده از تراشه ها بوده و هنوز از ترازهای پائین تر اطلاعاتی در این زمینه وجود ندارد ، در حالیکه بر اساس مقاطع و پروفیل های زمین شناسی رسم شده کانی زائی بفرم پراکنده تا اعمق 30 متری ادامه داشته و پائین تر از عمق مذبور نیز بفرم رگه ای - رگچه ای با عیارهای بالاتر متحمل است . لذا در حال حاضر میانگین فوق الذکر را نمیتوان برای محاسبه ذخیره ماده معدنی بکار برد .

با توجه به نتایج حاصله از مطالعات آزمایشگاهی و پیمایش زمین شناسی رخنه ون رگه های پرعیار سینابر ، عیار متوسط این بخش از کانسار حدود 5 درصد برآورد میشود . با دسترسی به اطلاعات فوق و با علم به این مطلب که با توجه به شکل پیچیده و تکتونیک شدید منطقه مناسبترین شیوه ادامه مطالعات اکتشافی، اکتشاف در حین استخراج خواهد بود . میتوان ذخیره افقهای مختلف استخراجی را با توجه به طرح بهره برداری کانسار از روی عیارهای متوسط ارائه شده تعیین نمود و پس از استخراج هر افق ، با استفاده از شواهد زمین-

جدول ۳-۴- تغییرات عیار عناصر در چاهکهای اکتشافی BH3، BH1

Sample No.	Au(PPb)	Ag(PPm)	As(PPm)	Hg(PPm)	Cu(PPm)
BH3-LG-01	2.2	0.046	0.2	32.5	21.2
BH3-LG-02	2.8	0.05	1	155	18.6
BH3-LG-03	13.8	0.049	0.9	18.7	80.7
BH3-LG-04	2.2	0.053	5.6	44.3	61.7
BH3-LG-05	2	0.055	1.2	639	52.6
BH3-LG-06	1.4	0.068	0.2	290	48.3
BH3-LG-07	2.2	0.055	0.15	51.7	46.6
BH3-LG-08	1.5	0.074	2.7	92.8	220
BH1-LG-01	2.6	0.067	0.3	3500	10.1
BH1-LG-02	1.6	0.036	0.15	280	14.6
BH1-LG-03	4.6	0.054	0.15	42.4	12
BH1-LG-04	3.1	0.048	0.3	45.5	16.2
BH1-LG-05	1.4	0.055	0.5	701	16.1
BH1-LG-06	1.5	0.045	0.9	138	19.1
BH1-LG-07	2.3	0.035	11	22.2	63.9
X	3.013333	0.052667	1.683333	403.54	46.78
S	2.993296	0.010486	2.849366	853.6837	51.24406
V	8.959822	0.00011	8.118889	728775.8	2625.954
N used	15	15	15	15	15

جدول ۴-۴- مشخصات آماری نمونه های برداشت شده از دو زون مینرالیزه در شمال محدوده

Sample No.	Au(PPb)	Ag(PPm)	As(PPm)	Hg(PPm)	Cu(PPm)
MP-LG-01	3.3	0.066	2.6	28.5	49.4
MP-LG-02	1.5	0.043	0.5	374	13.9
MP-LG-03	3.2	0.075	0.5	1300	11.5
MP-LG-04	2.4	0.161	2.6	32	31.1
MP-LG-05	2	0.076	0.3	177	55.4
MP-LG-10	2.8	0.048	1.4	236	81.6
MP-LG-11	1.6	0.044	0.5	359	15
MP-LG-12	1.9	0.061	3.9	12.3	109
BH3-LG-01	2.2	0.046	0.2	32.5	21.2
BH3-LG-02	2.8	0.05	1	155	18.6
BH3-LG-03	13.8	0.049	0.9	18.7	80.7
BH3-LG-04	2.2	0.053	5.6	44.3	61.7
BH3-LG-05	2	0.055	1.2	639	52.6
BH3-LG-06	1.4	0.068	0.2	290	48.3
BH3-LG-07	2.2	0.055	0.15	51.7	46.6
BH3-LG-08	1.5	0.074	2.7	92.8	220
BH1-LG-01	2.6	0.067	0.3	3500	10.1
BH1-LG-02	1.6	0.036	0.15	280	14.6
BH1-LG-03	4.6	0.054	0.15	42.4	12
BH1-LG-04	3.1	0.048	0.3	45.5	16.2
BH1-LG-05	1.4	0.055	0.5	701	16.1
BH1-LG-06	1.5	0.045	0.9	138	19.1
BH1-LG-07	2.3	0.035	11	22.2	63.9
X	2.778261	0.059304	1.632609	372.6913	46.46087
S	2.469106	0.024542	2.418345	729.127	45.7467
V	6.096484	0.000602	5.848393	531626.2	2092.761
N used	23	23	23	23	23

شناسی موجود و نیز حفر چاهک در سطح فوقانی ترازهای بعدی، ذخیره افتهای بعدی استخراجی را تعیین و در صورت داشتن توجیه کافی فنی اقتصادی استخراج را ادامه داد.

۶- ژنز و مدل کانی زائی:

در رابطه با ژنز و مدل کانی زائی در ناحیه خانگلی چالدران قبله "بررسی های چندی صورت گرفته و یک مدل هیدرولترمالی (اپی ترمال یا درجه حرارت پائین) در بستره ای از سنگهای افیولیتی برای آن ارائه شده است (۱۰۳). در این مدل، کانی زائی مورد بحث از نوع ذخایر جیوه "تیپ سرپانتینیت" معروف شده که در نتیجه باز کنش (Reactivation) کمپلکس افیولیتی توسط سیستم گرمابی حاصل از فعالیت ماگمایی اسید - حد واسط نوژن در ناحیه سیه چشم، بوقوع پیوسته است (۳).

شایان ذکر است که از دیدگاه متالوژنی، جالبترین ذخایر معدنی با خاستگاه ملانژ های افیولیتی، در نتیجه واکنش چشممه های داغ، با ملانژ های در سطح فوقانی پوسته زمین تشکیل شده اند. در حدود ۲۵ درصد ذخایر جیوه جهان دارای خاستگاه اولترامافیک های افیولیتی هستند. برای مثال دهها مورد از رخدادهای جوان سینابر (پلیوسن تا کوارترنری) از کمپلکس افیولیتی فرانسیسکن امریکا گزارش شده است. قسمت عمده ذخایر جیوه کالیفرنیا در سنگ میزبان سرپانتینیتی و یا در هجاورت سرپانتینیتها با ماسه سنگ و گل سنگهای فیلیشی گسلیده و خرد شده واقع شده اند (۱۹۰-۱۹۳).

هندرسون (۱۹۶۹) در مورد ذخایر جیوه "تیپ سرپانتینی" و آلتراسیون همراه آن تجدید نظر بعمل آورده است. مقطع نمونه این تیپ از ذخایر جیوه، معدن جکسون (کالیفرنیا) میباشد. بزرگترین تولیدکننده جیوه کالیفرنیا، منطقه المعدن جدید (با ذخیره ۸۰۸۰ تن با عیار میانگین ۲/۲۱ درصد جیوه) است. ذخایر جدید سینابر با خاستگاه ملاتزهای افیولیتی غنی از سرپانتینیت در مکانهای مختلف جهان از جمله پیچی لیک (کانادا)، میاکامز (امریکا)، آوالجا (یوگسلاوی) و کالاشیک (ترکیه) شناخته شده است (جدول ۴-۸).

در نتیجه مطالعات اکتشافی انجام گرفته، وضعیت ساختمانی زونهای آلتره و مینرالیزه وارتباط آنها با گسلهای منطقه بخوبی شناخته شده ولذا با توجه به پاراژنز مجموعه کانیهای حاصل از آلتراسیون و کانهای فلزی میتوان مدل کانی زائی ارائه شده در گزارش مرحله نیمه تفصیلی را تکمیل نمود.

محدود بودن رگه‌های مینرالیزه و زونهای آلتره همراه آن به گسلهای و شکستگیهای موجود در محدوده اکتشافی، نقش مهم گسلهای را با کانی زائی به اثبات میرساند. با توجه به نقشه زمین شناسی (در مقیاس ۱/۵۰۰) و مقاطع زمین شناسی تراشه‌های اکتشافی (اشکال ۴-۷-۱) بوضوح نشان میدهد که زونهای آلتره با کانی زائی‌های پراکنده و رگچه‌ای همراه آن در شمال، جنوبغرب و شرق محدوده اکتشافی تماماً "توسط گسل‌ها کتربل شده‌اند، بطوريکه کتربل پائین و بالای زونهای مذبور را عمدتاً" گسلهای از نوع رانده تشکیل میدهند. سنگ میزبان کانی زائی از نوع سرپانتینیت‌های برشی بوده که با وضعیت تکتونیکی در همراهی رسوبات شیلی، مارنی، ماسه سنگی و کنگلومراتی قرار گرفته است. عملکرد سیالات گرمابی بصورت آلتراسیون سیلیسی و ته نشت اکسیدهای آهن (شامل فازهای

جدول ۵-۴- ذخایر جدید سیناپسی خاستگاه ملائزهای افیولیتی غنی از سربانیت در نقاط مختلف جهان.

مکان	سنگمیزبان	کانی‌سازی	آلتراسیون	مراجع
سیلیکاتیک کانادا	افیولیت ملائزهای در موادی سنگهای دکرکوئی	سیناپسی، پیرکنند فضاهای خالی نشوون ۷۵٪ هزار هزار	سیلیسی- کربناته	پترسون (۱۹۷۷) آرمستر انک (۱۹۶۹)
المعدن جديد آمریکا	ملائز فرانتیکن: سرپاپتینیت، کریو اک، شیل	سیناپسی، بجه و پیرکنند فرجه ای و پیرکنند شکستگی‌های سرپاپتینیت‌ها	سیلیسی- کربناته	بایلی و اورهارت (۱۹۶۴)
میاکامز آمریکا	ایضاً "مثل قلبی"	سیناپسی، بجه و پیرکنند فرجه ای و طول کسل ۳۰۰-۳۰۰ آتن جیوه	سیلیسی و کربناته	دیکسون و توتل (۱۹۶۸)
ویسپرینک آمریکا	مثل قلبی، "سرپاپتینیت‌های خرده" (ملائزهای پلی‌شیاستو سن ۷۰٪ آتن جیوه)	سیناپسی، بشکل جانشیتی و پیرکنند پیرکنند و شکستگی‌ها پلی‌شیاستو سن ۷۰٪ آتن جیوه	سیلیسی- کربناته	موسیچو (۱۹۶۸)
آوالجا، بلکروزد بیوکسلاوی	سرپاپتینیت‌های اتکتو نیزه، افیولیت	سیناپسی، بجه و پیرکنند پیرکنند و استروک- ورک مشیوسن؟ ۲۹٪ آتن جیوه، ۱۰٪ هزار	سیلیسی- کربناته	پانکو ویچ (۱۹۸۲)
ایدرویا آمریکا	شیل در کنتاکت باسرپاپتینیت	سیناپسی، دز و نهای شکستگی و پیرشی	سیلیسی- کربناته	لین (۱۹۶۸)
کالشیک ترکیه	ملائز افیولیتی، ولکانیکهای نشوون	سیناپسی، پیرکنند بصورت آنتشاوی	سیلیسی	سوزوون (۱۹۷۷)
خانگلی- ماکو ایران	افیولیت ملائزهای (سرپاپتینیت‌های برشی و خردشده)	سیناپسی، پیرکنند شکستگی‌ها و فضاهای خالی پلیوسن پلی‌شیاستو سن	سیلیسی و آرژیلیک	خانگرد سامانه‌ی اما معلق بیور (۱۹۹۵)

آمورف) در کتتاکت سنگ میزبان کانی زائی با واحدهای لیتوژیکسی یاد شده، سبب آتراسیون شدید سرپاتینیت ها شده است. نفوذ پذیری بسیار پائین نهشته های شیلی و مارنی، مانع از نفوذ سیالات گرمابی بداخل سنگهای مزبور شده، لیکن محلولها در حجم وسیعی از طریق سرپاتینیتها برخی و خرد شده (تکتونیک ها) بسمت بالا جریان پیدا کرده اند. وجود سیستمهای متراکم، درزه و شکستگی و نیز ماهیت برخی سرپاتینیتها باعث شده که سیالات گرمابی به آرامی در کانالهای یادشده جابجا میشوند، لیکن هر از چند گاهی احتمالاً بدلیل تغییر در سیستم هیدرولیکی منطقه، انفجار هیدروترمالی نیز در شرایط سطحی رخ میداده و سبب تشکیل برشهای هیدروترمالی می شده است. مجموعه فرآیندهای مزبور سبب آتراسیون شدید سرپاتینیتها شده و آنها را به سنگهای مشکل از سرپاتین، سیلیس، کانیهای رسی، کلسیت، تالک واکسیدهای آهن تبدیل نموده است. این سنگها که به رنگهای سفید و خاکستری روشن و بسیار نرم در دیواره ترانشه ها رخنمون یافته اند، تحت عنوان واحد Si در نقشه زمین شناسی - معدنی تفکیک شده اند. در بخش ۲-۴ خاطر نشان شدیم که آتراسیون سنگ میزبان کانی زائی طی دو مرحله صورت گرفته است و به این نتیجه رسیدیم که کانی زائی سینابر با مراحل نهائی آتراسیون که همانا تشکیل رگه و رگچه های نازک سیلیسی در سنگ میزبان و همچنین محصولات آتراسیونی مراحل قبلی، در ارتباط نزدیک میباشد. لذا آتراسیون مرحله پیشین که منجر به تشکیل زونهای آتره سفید رنگ (واحد Si) در سرپاتینیتها برخی گردید، در واقع زمینه مناسبی را برای ته نشست کانه های معدنی فراهم نموده است. با توجه به کانی شناسی ذخیره (سینابر، پیریت، مارکازیت و استینیت)

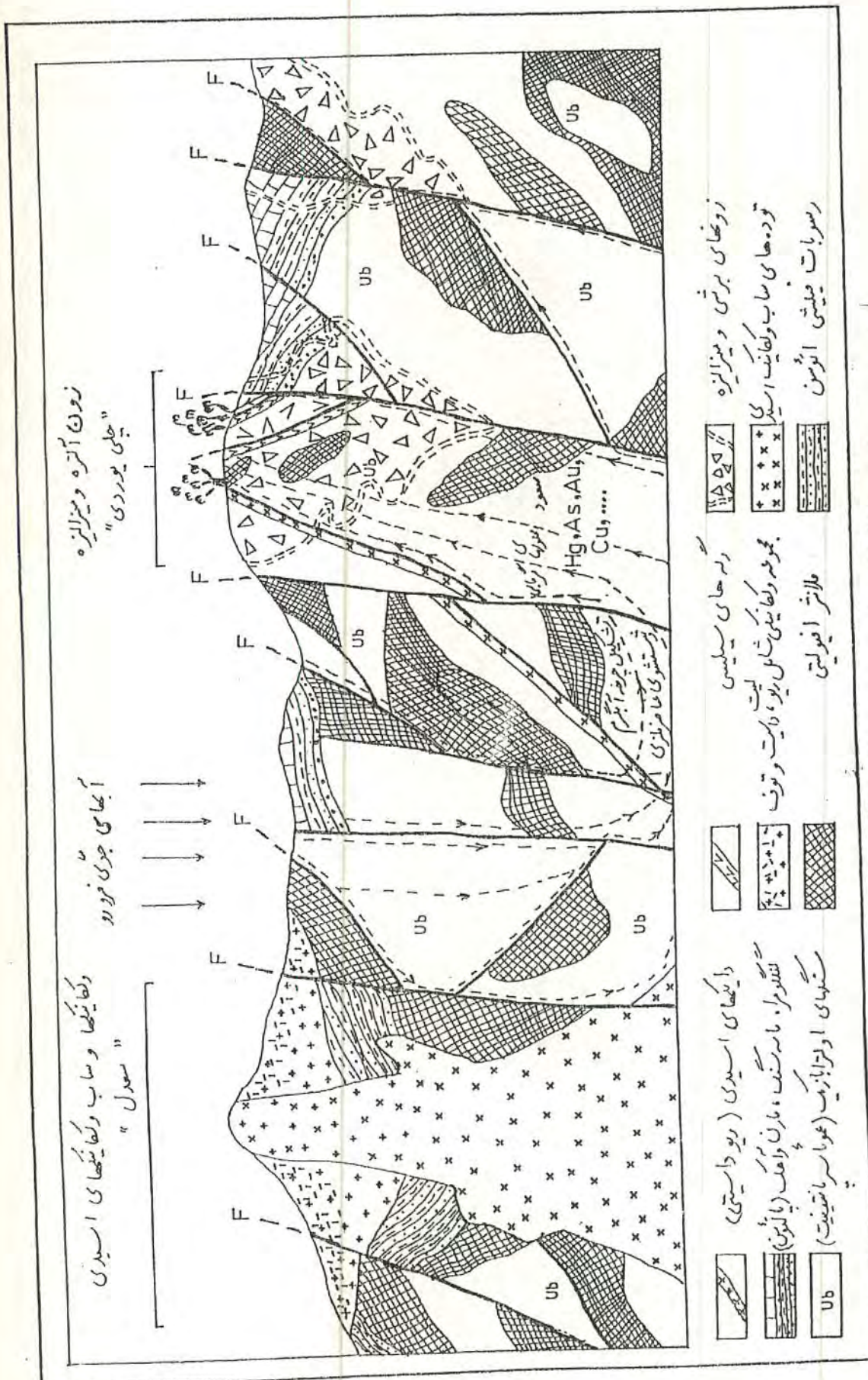
میتوان گفت که کانی زائی در یک سیستم هیدروترمالی درجه حرارت پائین (۱۵۰ تا حداقل ۲۰۰ درجه سانتیگراد) صورت گرفته است .

مدل کانی زائی جیوه در منطقه خانگلی بطور شماتیک در شکل ۴-۱ نشان داده شده است . پارامترهای راکه در این مدل نقش اساسی داشته اند ، بشرح ذیل میتوان خلاصه نمود :

۱- وجود کمپلکس افیولیتی در ناحیه ، سنگهای افیولیتی و بخصوص سرپاتینیتهای آن از دو جهت حائز اهمیت میباشد . یکی اینکه بعنوان سنگ منشاء جیوه عمل نموده موضوعی برای شستشوی جیوه و سایر عناصر توسط سیستم گرمابی بوده است و دیگر آنکه بعنوان سنگ میزبان مناسبی جهت ته نشست کانه ها عمل نموده است . بررسیهای ژئوشیمیائی (در مرحله نیمه تفصیلی) نشان داده است که مقدار عنصر جیوه در سرپاتینیت های (غیر مینرالیزه) منطقه حدود ۶ ppm می باشد این مقدار برای عنصر جیوه زمینه بالائی را برای آن نشان میدهد . این امر سنگهای سرپاتینیتی موجود در ملانژ افیولیتی منطقه را بعنوان منشاء فلز جیوه بطور جدی مطرح مینماید (۳) .

۲- رخداد ولکانیسم اسیدی تا حد واسط طی الیگومیوسن تا نشوون که باعده حدود ۸ کیلومتری جنوبشرق خانگلی قابل مشاهده است . این رخداد سبب بالا رفتن درجه زمین گرمایی و در نتیجه ایجاد سیستم های هیدروترمالی در ناحیه شده است .

۳- وجود زونهای برشی وسیع در مسیر گسله ها (سنگ میزبان کانی زائی خود سرپاتینیت برشی میباشد) .



در ناحیه خانگلی ماکو نهشته های تخریبی پالوسن شامل کنگلومرا ، ماسه سنگ ، مارن و آهک بصورت دگرشیب بر روی سنگهای افیولیتی قرار گرفته اند . سکانس رسوبی فوق الذکر تا ائوسن میانی در این ناحیه ادامه داشته است . در زمان الیگومیوسن فعالیت شدید ماگمائی بصورت فورانهای آتشفسانی بوقوع پیوسته و سنگهای افیولیتی ناحیه را قطع نموده است . این ولکانیسم طبیعت اسیدی تاحد واسط داشته و سنگهای تشکیل شده حاصل از آن از نوع ریولیتی - داسیتی تا آندزیتی میباشد . بخشهایی از این ماگما از توده اصلی جدا شده و در امتداد گسله ها و شکستگیهای بزرگ بداخل سنگهای افیولیتی تا مساحتها دور تزریق شده است . در مرحله نهائی ، فعالیت ماگمائی یاد شده بصورت نفوذی بوده و نتیجه آن تشکیل توده های ساب ولکانیک اسیدی تا حد واسط است . این توده های نیمه عمیق ولکانیکی مرحله قبلی راقطع نموده اند ، با توجه به این امر سن آخرین فعالیت ماگمائی را میتوان با احتمال به پالوسن نسبت داد (۳) . در نتیجه فعالیتهای ماگمائی فوق الذکر ، درجه زمین گرمائی منطقه بالا رفته و این توده ها خود بعنوان یک منبع حرارتی برای گرم شدن آبهای فرورو و تشکیل آبهای هیدروترمال عمل کرده اند . به این ترتیب آبهای سطحی از شکستگیهای فراوان موجود در ناحیه بطرف پائین حرکت کرده و تحت تاثیر حرارت آزاد شده از این منبع حرارتی گرم شده و در نتیجه اختلاف فشار حاصل شده مجدداً بطرف بالا صعود کرده و چرخه آب گرم را تشکیل داده اند . این آبهای گرم وفعال در مسیر گذر خود از میان سنگهای سرپانتینیتی (وساير سنگهای ملانژ افیولیتی) گذشته و در نتیجه واکنش با اين سنگها سبب شستشوی عناصر فلزی نظير Hg , Cu , As و از اين سنگها شده اند . محلولهای گرمابی از لحاظ Si , Fe , H₂S , CO₂ غنی بوده و در مسیر خود سبب دگرسانی

سنگهای محل گذر خود نیز شده اند. محلولهای یاد شده در مسیر گسله ها، شکستگیها وزونهای برشی به حرکت خود بسمت بالا ادامه داده و بصورت چشمeh های جوشان بسطح زمین رسیده اند. در ناحیه خان گلی، گسترش سطحی منطقه ای که تحت تاثیر فعالیت گرمابی فوق الذکر قرار گرفته است، به ۳۰ هکتار میرسد.

با توجه به اینکه کانی زائی متعاقب فعالیت ماقمایی الیگومیوسن تا پلیوسن و در نتیجه کنش وری (Raectvation) کمپلکس افیولیتی ناحیه توسط فرآیندهای حاصل از این فعالیت ماقمایی صورت گرفته است، لذا سن این کانی زائی را میتوان به اوآخر پلیوسن و یا پلئیستوسن (?) نسبت داد (۳).

۵- شناسائی سنگ معدنی

۴۰۵-۱

مهمترين مينرال جيوه سيناپر (Hgs) بوده که ۹۰٪ توليد جهانی جيوه در حال حاضر از آن بدست می آيد.

در گذشته رومی ها به منظور استخراج جيوه با علم به نقطه تبخير پائين جيوه (357 C) از ميعان بخار جيوه حاصل از حرارت دادن سنگ معدن آن استفاده ميکردند. اما امروزه در صورتیکه عيار سنگ معدن کم باشد هزینه ساخت کوره اقتصادي نبوده ولذا بايستی عملیات فرآوري بر روی سنگ معدن جيوه انجام گيرد.

به همين منظور با توجه به اينکه کاني سيناپر دارای وزن مخصوص نسبتاً زيادی (۸/۱) است، روش خردايش ثقلی (جيگ يا ميز) يکی از روش های منطقی برای آرایيش آن بنظر ميرسد.

در ایالات متحده امریکا کمپانی Cat mining CO برای فرآوري سيناپر از سنگ معدن از ميز نرمه استفاده کرده است.

مراحل کار شامل سنگ شکنی، سرنده کردن و در نهایت استفاده از ميز نرمه بوده که حدакثر تا ۱۰۰ تن در روز با ۸۵٪ بازيافت جيوه انجام گرفته است.

با توجه به سهولت فلوته شدن سینابر بنظر میرسد روش دیگری که برای فرآوری جیوه مورد نظر قرار گیرد فلوتاسیون باشد . ولی بنظر میرسد مشکلات زیر می باشد در حین عملیات فلوتاسیون مورد توجه قرار گیرد :

- بعلت تمایل سینابر به ریز دانه شدن در حین عملیات خردایش ، در زمان نرمه گیری ممکن است مقادیر زیادی از ذرات سینابر وارد باطله گردد .

- در حین خردایش با توجه به اینکه سینابر به دانه های ریز تبدیل میشود ممکن است ایجاد لجن کند .

- غالباً سینابر با مینرالهای رسی (مونت موریلونیت وغیره ...) موجود در گانگ مخلوط میشود .

- غالباً سینابر بفرم ذخیره های اوپال تشکیل شده و مینرالهای آن با دانه بندی ۶۵ تا ۱۰۰ مش آزاد نمیگردد .

یک مورد عمل فلوتاسیون موفق در سال ۱۹۶۶ در ایالات متحده امریکا توسط Jackson Mountain Mining Co . glass butt زیر در معن کارش شده است .

کلکتور	Aero Xanthale 301 or Dow Z-12	0.30 lb/ton
	Aero Flot 3 /	0.07 lb/ton
فعال کننده	سولفات مس	0.27 -0.41 lb/ton
کف ساز	Aero Froth 15 or Dou Foth 250	0.71 lb/ton

سنگ معدن فوق دارای عیار ۱ پوند جیوه در تن بوده و کل بازیافتی بطور متوسط ۸۵٪ میباشد.

در مدار فلوتاسیون از دانه بندی ۶۵٪ زیر ۹٪ مش استفاده شده و عیار کنسانتره در نهایت به ۳۵٪ تا ۴۰٪ پوند در تن رسیده است.

مرحله نهائی تهیه فلز جیوه خواه مستقیماً "سنگ معدن جیوه به کوره انتقال یابد یا فرآوری گردد میعان بخار جیوه میباشد. در صورتیکه به خلوص خیلی بالا نیاز باشد دو تا سه مرتبه تقطیر کردن تکرار میگردد.

در سالهای اخیر روش لیچینگ مورد توجه قرار گرفته اما این روش در مقیاس صنعتی تا به حال گزارش نشده است. از ۲۵۰ سال پیش این مسئله که محلول سولفورهای قلیائی قادر خواهند بود سینابر را در خود حل کنند شناخته شده بود. به منظور فرآوری سولفور جیوه را در یک محالول سولفور قلیائی (اکثراً سولفور سدیم) حل نموده و در نهایت با اضافه کردن آلومینیوم به محلول فوق فلز جیوه رسوب میکند.

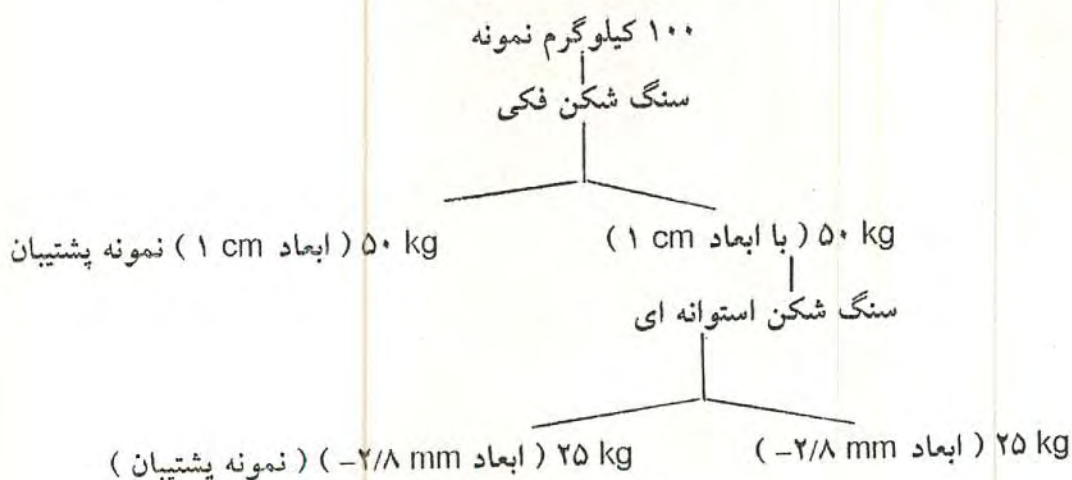
۲-آماده سازی نمونه و تهیه نمونه معرف

جهت آماده سازی نمونه واخذ نمونه معرف برای مطالعات میکروسکوپی و آزمایشها شیمیائی و تعیین درجه آزادی در سرپاپتینیت و پرش های هیدروترمالی کانسار جیوه ماسکو اقدامات ذیل صورت پذیرفته است:

- تهیه حدود ۱۰۰ کیلوگرم نمونه از هر یک از واحدهای سرپاپتینیت و برشهای هیدروترمالی مینرالیزه.

- خردایش نمونه های گرفته شده تا ابعاد حدود ۳ تا ۴ سانتیمتر توسط سنگ شکن فکی، بدیهی است نمونه تهیه شده از برش های هیدروترمالی، احتیاج به چنین پروسه ای ندارد.

- خردایش نمونه های ۱۰۰ کیلوگرمی مطابق نمودار زیر:



- تقسیم نمونه ۲۵ کیلوگرمی به ۲۵ نمونه یک کیلوگرمی.

- خرد کردن نمونه یک کیلوگرمی توسط آسیای مبله ای.

- تجزیه سرندي نمونه خرد شده توسط سرندهای ۱۲، ۲۰، ۳۰، ۶۰، ۱۰۰، ۲۰۰، ۲۷۰، ۳۲۵، بروش تر و سپس خشک کردن و توزین هر یک از آنها وارسال برای تهیه مقاطع نازک و صیقلی، بمنظور دستیابی به نوع کانه ها و نحوه درگیری آنها در نهایت تعیین درجه آزادی.

نتایج حاصل از تجزیه سرنادی نمونه های معرف در جداول شماره ۱-۵ و ۲-۵ ارائه شده است.

جدول ۱-۱- نتایج بدست آمده از تجزیه سرنادی نمونه برش هیدروترمالی :

ملاحظات	وزن بقیه		وزن		شماره نمونه	دهانه سرناد	شماره سرناد
	عبور کرده	باقیمانده	درصد	گرم			
	۸۹/۴۰	۸۷/۱	۸/۷۱	۶۳	B+۱۲	۱۷۰۰	۱۲
	۸۰/۷۴	۲۹/۴۵	۲۰/۷۴	۱۰۰	B+۲۰	۸۵۰	۲۰
۶۰	۳۹/۹۶	۱۰/۰۱	۷۶		B+۳۰	۶۰۰	۳۰
۳۳/۷۳	۶۶/۲۲	۲۶/۲۷	۱۹۰		B+۶۰	۲۵۰	۶۰
۲۴/۱۹	۷۵/۷۷	۹/۰۴	۶۹		B+۱۰۰	۱۰۰	۱۰۰
۱۲/۰۴	۸۶/۴۲	۱۰/۶۰	۷۷		B+۲۰۰	۷۰	۲۰۰
۱۰/۲۳	۸۹/۷۲	۳/۳۱	۲۴		B+۲۷۱	۵۳	۲۷۰
۸/۰۲	۹۱/۹۴	۲/۲۱	۱۶		B+۳۲۵	۴۰	۳۲۰
.	۱۰۰	۸/۰۲	۰۸		B-۳۲۵	-۴۰	-۳۲۰

جدول ۲-۵ - نتایج بدست آمده از تجزیه سرندی نمونه سرپا تینیت مینرالیزه

ملاحظات	وزن تجمعی		وزن		شماره نمونه	دهانه سرند (m)	شماره سرند
	عبور کرده	باقیمانده	(٪)	(گرم)			
	۸۷/۷۴	۱۲/۲۶	۱۲/۲۶	۹۴	A+۸	۲۳۶۰	۸
	۶۲/۹۷	۳۷/۰۳	۲۴/۷۷	۱۹۰	A+۱۲	۱۷۰۰	۱۲
	۳۲/۹۹	۶۷/۰۱	۲۹/۹۹	۲۳۰	A+۲۰	۸۰۰	۲۰
	۲۷/۱۲	۷۲/۸۸	۵/۸۷	۴۰	A+۳۰	۶۰۰	۳۰
	۱۴/۸۶	۸۰/۱۴	۱۲/۲۶	۹۴	A+۸۰	۲۰۰	۹۰
	۱۰/۸۱	۸۹/۱۹	۴/۰۴	۳۱	A+۱۰۰	۱۰۰	۱۰۰
	۶/۳۸	۹۳/۶۲	۴/۴۳	۳۴	A+۲۰۰	۷۰	۲۰۰
	۰/۰۸	۹۴/۹۲	۱/۳۰	۱۰	A+۲۷۰	۰۳	۲۷۰
	۴/۱۷	۹۰/۸۱	۰/۹۱	۷	A+۳۲۰	۴۰	۳۲۰
	۰/۰۰	۱۰۰/۰۰	۴/۱۷	۳۲	A+۳۲۰	-۴۰	-۳۲۰
			۱۰۰	VFW	جمع		

۵-۳-۱- مطالعات میکروسکوپی

مطالعات میکروسکوپی بر روی کانسنگ معدنی در دو مرحله انجام شده است. در مرحله نخست قبل از خردایش و تجزیه سرندي نمونه ها، ۷ نمونه مقاطع صیقلی و ۲ نمونه مقاطع نازک از کانسنگ معدنی تهیه و مورد مطالعه قرار گرفت. در مرحله دوم نیز نمونه های اخذ شده از کانسار پس از تقسیم و خردایش توسط آسیای میله ای پسودر شد و محصلول فرآیند در سری سرند های آزمایشگاهی دانه بندی شده واژ هر دانه بندی، نمونه هائی برای مطالعه مقاطع صیقلی و مقاطع نازک تهیه و با میکروسکوپ مورد مطالعه قرار گرفت.

۵-۳-۱-۱- مطالعه مقاطع صیقلی و نازک کانسنگ اولیه معدنی (سرپاکتینیت های مینروالیزه)

نموفه G1 مقاطع صیقلی:

تشکیل دهنده ها: سینابر، کرومیت، اکسید و ظیدر و کسیدهای آهن، پیریت - مارکاسیت، کانیهای شفاف

فراوانترین کانی کدر سینابر است که بصورت قطعات بسی شکل پراکنده، توزیع نامتجانس مشاهده میشود. مقدار کانی در قسمتهای با بافت خرد شده افزونتر شده است و در

مناطق برشی عیار بالاتر است. اندازه قطعات سیناپر حداکثر 400 میکرون و اندازه قطعات فراوان 200 میکرون است. قطعات با ابعاد کمتر از 50 میکرون، خاص مناطق خرد شده میباشد. در قطعات سیناپر انکلوزیونهای ریزی از پیریت - مارکاسیت دیده میشود. اندازه این ادخالها عموماً از 50 میکرون کمتر بوده و عموماً بین 10 تا 30 میکرون تغییر میکند. مقدار پیریت - مارکاسیت در حد دهم درصد است.

سولفورهای آهن علاوه بر ادخالهای داخل سیناپر با ابعاد کوچک و مشابهی در زمینه برخی کانیهای شفاف نیز مشاهده میشود. قطعات سولفوری بعضاً دگرسان گردیده و اکسید وئیدروکسیدهای آهن ایجاد شده است. مقدار این کانی در مقطع از 1% تجاوز نمیکند.

کرومیت بشکل قطعات نیم شکل دار تا بی شکل با بافت کاتاکلاستیک، قطعات پراکنده و مستقل از سیناپر ایجاد نموده است. اندازه قطعات کرومیت حدود 100 میکرون و مقدار آن حداکثر 0.5% است (تصاویر ۱-۵ و ۲-۵) .

نمونه G2 مقطع صیقلی :

تشکیل دهنده ها : سیناپر، کرومیت، پیریت، مارکاسیت، کانیهای شفاف سیناپر قطعات بی شکل پراکنده ای را با اندازه حداکثر 800 میکرون و ابعاد متوسط فراوان حدود 600 میکرون ایجاد نموده است. در این نمونه بافت میلیونیتی وجود نداشته و قطعات ریز سیناپر نیز مشاهده نمیشود. در قطعات بزرگ کانی مذکور ادخالهای کانیهای گانگ و بلورهای

منشوری مارکاسیت اغلب وجود دارد که مقدار آن ناچیز و در حد دهم درصد است. اندازه ادخالهای مذکور عموماً از ۵۰ میکرون کوچکتر است.

مارکاسیت بعلاوه به شکل بلورهای بسیار کوچک با ابعاد میکرونی در برخی قسمتهای گانگ وجود دارد. از کانیهای دیگر، قطعات خرد شده کرومیت قابل ذکر است. این کانی با سینابر هیچگونه درگیری وارتباطی نشان نمیدهد. اندازه قطعات کرومیت بطور متوسط ۳۰۰ میکرون و مقدار آن ۲-۳٪ است (تصاویر ۳-۵ و ۴-۵).

نموفه G3 مقطع صیقلی :

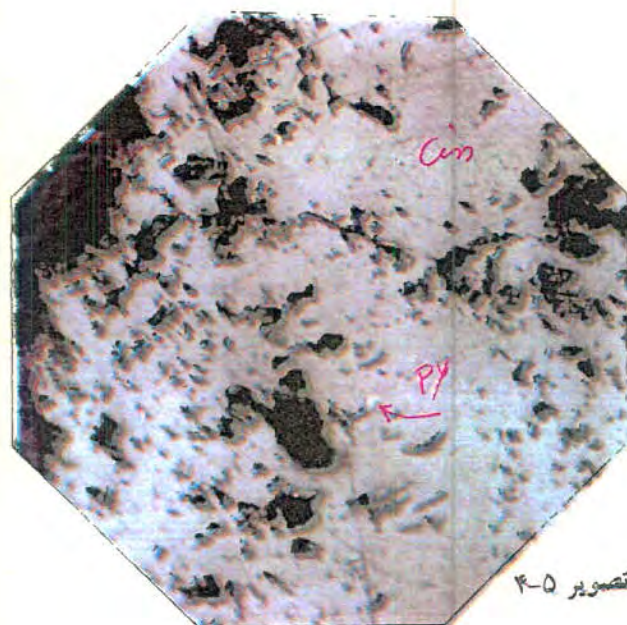
تشکیل دهنده ها : سینابر ، کرومیت ، پیریت ، مارکاسیت ، کانیهای شفاف سینابر که فراوانترین کانی کدر است به مقدار حداقل ۵٪ وجود داشته و به صورت پراکنده و عمدها "بی شکل هم اندازه دیده میشود. اندازه قطعات فراوان این کانی حدود ۲۰۰ تا ۳۰۰ میکرون است. کرومیت به مقدار یک تا دو درصد دارای توزیع نسبتاً یکسان بوده و بلورهای شکل دار پراکنده ایجاد کرده است. حداکثر اندازه قطعات کرومیت ۲۰۰ میکرون و حداقل آن در قطعات خرد شده (کاتاکلاستیک) ۲۰ تا ۳۰ میکرون است. سینابر و کرومیت هیچگونه ارتباطی نشان نمیدهند. کرومیت فاقد ادخال است ولی سینابر ادخالهای متعددی از کانیهای شفاف و مارکاسیت دارا میباشد. اندازه ادخالهای مارکاسیت که بصورت مقاطع شکل و بعضًا مربعی میباشد حدود چند میکرون است. مقدار



تصویر ۲-۵



تصویر ۱-۵



تصویر ۴-۵



تصویر ۳-۵

تصویر ۱-۵ - اکسید و نیدر و کسیدهای آهن با اشکال پسودومورف FeO در زمینه کانیهای شفاف T.M. سینابیر
و فضاهای خالی V0 Cin

تصویر ۲-۵ - سینابیر Cin، کانیهای شفاف (گانگ) Gn ($\times 100$)

تصویر ۳-۵ - سینابیر حاوی ادخالهای ریز مارکاسیت Ma در مجاورت کانیهای شفاف (گانگ) T.M.

تصویر ۴-۵ - ادخالهای پیریت - مارکاسیت Py در زمینه سینابیر Cin ($\times 200$)

مارکاسیت در حد دهم درصد میباشد. مارکاسیت با اشکال مشروح فسق در زمینه برخی کانیهای شفاف نیز دیده میشود. کانیهای گانگ دو نوع است (تصویر ۵-۵) .

نمونه G4 مقطع صیقلی :

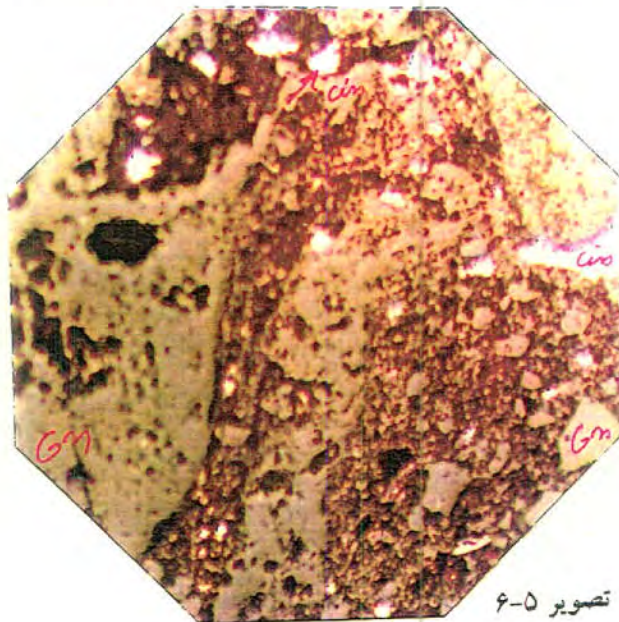
تشکیل دهنده ها : سینابر ، کرومیت ، پیریت ، مارکاسیت ، کانیهای شفاف عمدۀ ترین کانی کدر سینابر میباشد که بصورت قطعات پراکنده با توزیع نامتجانس و بدون شکل حداقل حدود ۱۰٪ نمونه را تشکیل داده است. حداقل اندازه قطعات فراوان این کانی حدود ۵۰ میکرون است. در سینابر "ممومولا" ادخالهای گانگ و کمتر ادخالهای مارکاسیت وجود دارد. مارکاسیت بصورت باورهای سوزنی - منشوری است و اندازه قطعات آن "عموماً" ۱۰ تا ۲۰ میکرون میباشد. مارکاسیت بعلاوه در زمینه کانیهای گانگ نیز مشاهده میشود ولی توزیع آن محدود به بخش های خاص بوده و در این حالت ادخالها دارای ابعاد میکرونی میباشند. مقدار مارکاسیت از یک درصد کمتر است. کرومیت کانی کدر دیگر است که با توزیع "تفویپا" متتجانس بصورت قطعات نیم شکل دار پراکنده و بدون ارتباط سایر کانیهای کدر دیده میشود. اندازه قطعات متوسط کرومیت حدود ۲۰۰ میکرون و مقدار آن کمتر از ۰.۵٪ است. آثار سیلیسی شدن بسیار جزئی است (تصاویر ۶-۵ و ۷-۵) .

نمونه G5 مقاطع صیقلی:

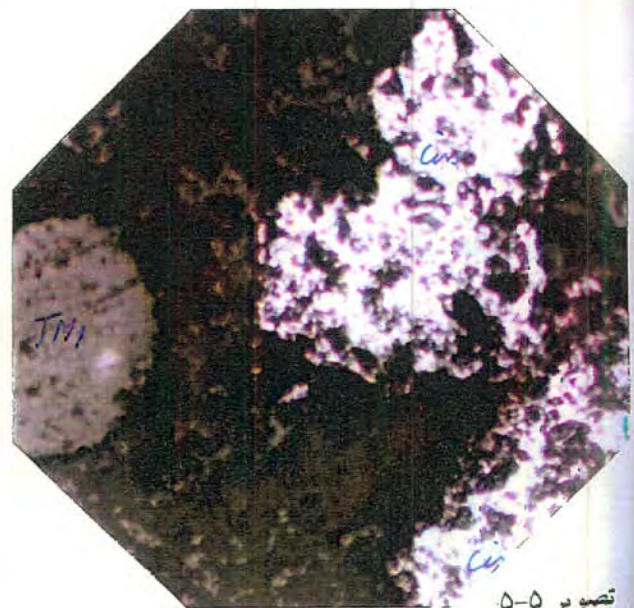
تشکیل دهنده ها: سینابر، کرومیت، پیریت، مارکاسیت، تیدروکسیدهای آهن، کانیهای شفاف.

سینابر فراوانترین کانی کدر بوده و قطعات پراکنده بی شکل را ایجاد نموده است که به لحاظ توزیع، وضعیت نامتجانسی دارد. اندازه قطعات آن حداکثر $50\text{ }\mu\text{m}$ میکرون و حداقل فراوان آن $5\text{ }\mu\text{m}$ میکرون و قطعات متوسط فراوان آن 200 تا 250 میکرون است. در زمینه این کانی ادخالهایی از کانیهای گانگ و مارکاسیت دیده میشود. اندازه قطعات مارکاسیت که عموماً "ایدیومورف" است از 20 میکرون تجاوز ننموده و مقدار آن جزئی میباشد. مقاطع ریز و مربعی این کانی بعلاوه در برخی قسمتها در زمینه کانیهای شفاف نیز دیده میشود که در این حالت اندازه آنها از چند میکرون تجاوز نمیکند.

کرومیت کانی کدر دیگر بصورت قطعات پراکنده ولی با توزیع متتجانس مشاهده شده و اندازه قطعات آن حداکثر 200 میکرون و حداقل 30 میکرون بوده و بافت مشخصه آن قطعات نیمه شکل دار و بعضی "کاتاکلاستیک" است. مقدار این کانی حدود $2-3\%$ است. هیچ ارتباطی بین قطعات کرومیت و سینابر مشاهده نمیشود. علاوه بر کانیهای مذکور مقادیر کمی ترکیبات اکسید آهن با اشکال پسودو مورف پیریت - مارکاسیت دیده میشود (تصاویر ۸-۹ و ۹-۱۰).



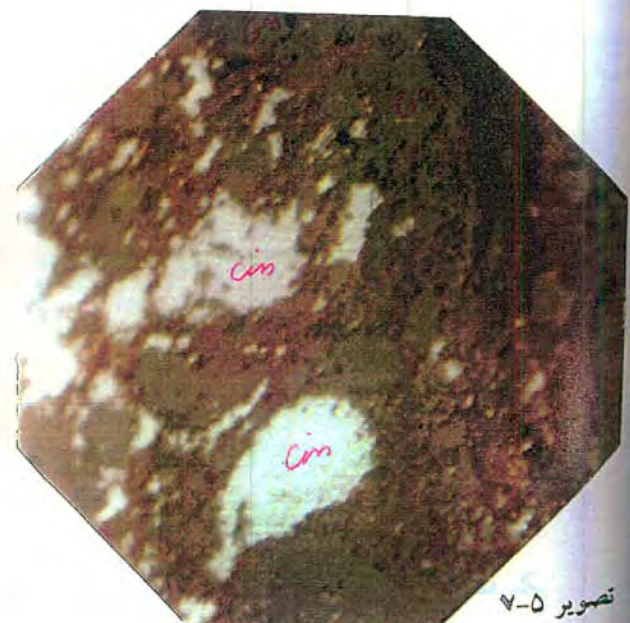
تصویر ۶-۵



تصویر ۵-۵



تصویر ۸-۵



تصویر ۷-۵

تصویر ۵-۵-قطعات سینابر Cin ، کانیهای شفاف T.M ، قطعات مدور رادیولاریت

تصویر ۶-۵-سینابر Cin بصورت قطعات ریز پراکنده در زمینه کانیهای شفاف (گانگ) Gn مربوط به بخش‌های میلونیتی شده ($\times 100$)

تصویر ۷-۵-قطعات پراکنده و هم اندازه سینابر Cin در زمینه کانیهای شفاف Gn ($\times 200$)

تصویر ۸-۵-سینابر Cin مستقل از کرومیت Ch در زمینه گانگ T.M

نمونه G6 مقطع صیقلی :

تشکیل دهنده ها : سینابر ، کرومیت ، نیتروکسیدهای آهن ، پیریت ، مارکاسیت ، کانیهای شفاف .

در بین کانیهای کدر سینابر فراوانترین بوده و بصورت قطعات پراکنده و بسی شکل از ابعاد چند میکرون تا حداقل حدود چند میلیمتر دیده میشود . قطعات ریز این کانی مربوط به مناطق میلیونی شده است . در این قسمتها همراه با آن ، کانیهای شفاف غیر سرپانه این دیده میشود .

در زمینه سینابر و هم در زمینه قطعات کانیهای شفاف ، ادخالهای شکل دار مارکاسیت با مقاطع منشوری وجود دارد . اندازه این ادخالها چند میکرون تا حداقل ۵۰ میکرون و مقدار آن در حد دهم درصد است . مقدار سینابر در نمونه حدود ۱۵٪ میباشد . کرومیت بصورت قطعات نیم شکل دار تا شکل دار و در برخی قسمتها با بافت خرد شده و کاتاکلاستیک به مقدار ۲-۳٪ وجود دارد .

اندازه قطعات کرومیت حداقل ۵۰ میکرون است . علاوه بر کانیهای مذکور نیتروکسیدهای آهن با اشکال پسودومورف مربوط به پیریت - مارکاسیت بعضاً به حالت مجموعه ای ، تمرکز های کوچکی را ایجاد نموده است . مقدار این کانیها نیز در حد یک درصد است . یک قطعه کوچک زرد رنگ مشابه کالکوپیریت یا طلا ؟ در نمونه مشاهده میشود . بافت خرد شده و میلیونی بعضاً دیده میشود (تصاویر ۱۰-۵ و ۱۱) .

نمونه G7 مقطع صیقلی:

تشکیل دهنده ها: سینابر، کرومیت، پیریت، پیریت - مارکاسیت، استینینیت؟،
ئیدروکسیدهای آهن، کانیهای شفاف.

سینابر فراوانترین کانی کدر بوده و مقدار آن حدود ۱۰ درصد است. بافت سینابر بصورت قطعات بی شکل پراکنده و اندازه قطعات فراوان آن حدود ۴۰۰ میکرون است. قطعات سینابر بعضاً با چشم غیر مسلح قابل رویت است. حداقل اندازه قطعات فراوان سینابر حدود ۵۰ میکرون میباشد. در زمینه سینابر، ادخالهای متعددی از کانیهای گانگ و به مقدار جزئی مارکاسیت وجود دارد. اندازه ادخالهای گانگ حدود ۴۰-۵۰ میکرون و ادخالهای مارکاسیت در مقاطع عرضی ۲-۳ میکرون و در مقاطع طولی تا حدود ۳۰ میکرون است. مارکاسیت بعلاوه با ابعاد مشابه در کانیهای گانگ نیز دیده میشود.

کرومیت بصورت قطعات شکل دار به مقدار ۲-۳ درصد مستقل از سینابر دیده شده و اندازه قطعات آن ۱۰۰ تا ۲۰۰ میکرون میباشد. قطعات مشکوک به استینینیت با اندازه ۱۰۰ میکرون مجزا از سایر کانیهای کدر دیده میشود (تصویر ۱۲-۵).

تیغه فازگ شماره ۱۵:

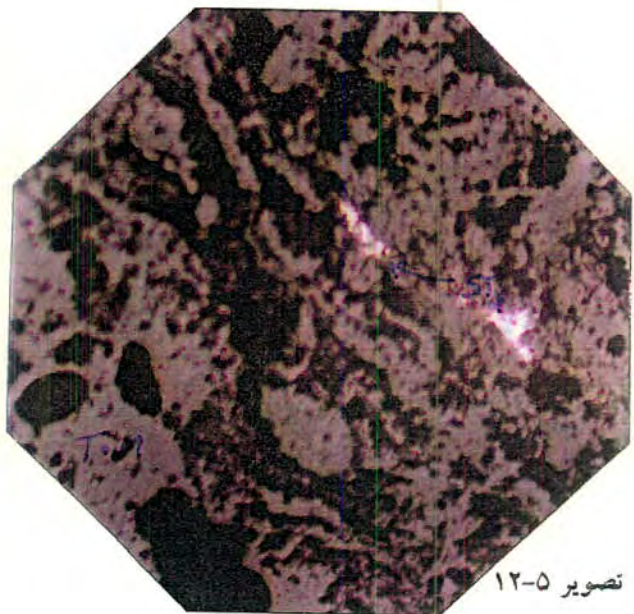
بافت برشی میلونایت تا ملاتنی



تصویر ۱۰-۵



تصویر ۹-۵



تصویر ۱۲-۵



تصویر ۱۱-۵

تصویر ۹-۵ - کرومیت Ch ، سینابر Cin بحال مستقل از یکدیگر در زمینه کانیهای شفاف ($\times 100$)

تصویر ۱۰-۵ - کرومیت با بافت کاتاکلاستیک در مجاورت سینابر Cin و مستقل از آن در زمینه کانیهای

شفاف T.M

تصویر ۱۱-۵ - کرومیت Ch ، سینابر Cin و کانی شفاف Gn ($\times 100$)

تصویر ۱۲-۵ - قطعات مشکوک به استینبیت St در زمینه گانگ M.T

تشکیل دهنده ها : کانیهای شفاف شامل کانیهای گروه سرپانتین ، کانیهای گروه سیلیس ، کانیهای نیمه شفاف شامل انواع با انعکاسات داخلی قرمز و انعکاسات داخلی قهوه ای ، کانیهای کدر .

- زمینه عمدتاً" متشکل از کانیهای سرپانتین بوده که از نظر نوع ، کریپتوکریستالین و میکروکریستالین است . بخشی از این مواد احتمالاً" تبدیل یافته و به رسهای مونت موریلوئیتی تغییر شکل داده است . مواد مذکور مخفی بلور بوده و به ترکیبات خاکی آهن آغشتنگی دارد .

بخش ریز بلور شامل انواع الیافی و صفحه ای سرپانتین و به مقدار کمتر قطعات درشت بلور . که از نوع باستیت بوده و پسندومورف کانیهای پیروکسن است ، میباشد .
کانیهای سیلیس بدو صورت در مقطع مشاهده میشوند :

۱- قطعات مدور اسفلولیتی که مربوط به رادیولرها بوده و همراه با سنگهای سرپانتینیتی دیده میشود .

۲- سیلیس از نوع میکروکریستالین که مربوط به کانی سازی هیدروترمال در مرحله ابی ترمال است .

مقدار سیلیس از ۱۰ درصد تجاوز نمیکند .

- کانیهای کدر بصورت قطعات شکلدار پراکنده با ابعاد کوچک مشاهده شده و مقدار آن کمتر از ۵ درصد بوده و مربوط به کانیهای اکسیدی سنگهای اولتراماسافیک ، شامل کرومیت میگردد . بعضی از این قطعات اشکال کامل" مدور نشان میدهند .

بین کانیهای کدر و نیمه شفاف درگیری وجود ندارد و این دو با یکدیگر مرتبط نیستند .

کانیهای نیمه شفاف از دو نوع در مقطع مشاهده میگردد یک مورد مقاطع نیمه شفاف قرمز رنگ مرتبط به سیناپر که حداقل اندازه قطعات سیناپر فراوان ۵۰ میکرون و حداقل اندازه قطعات حدود یک میلیمتر است.

اندازه قطعات کدر حدود حداقل ۱۰۰ میکرون میباشد (کرومیت) مقدار سیناپر در نمونه حداقل ۵ درصد است.

مورد دیگر کانی نیمه شفاف وقهه ای رنگ میباشد که شناسائی نشد . برای مشخص شدن این کانی نیمه شفاف نیاز است با XRD مطالعه شود (تصویر ۱۳-۵).

قیقه نازک شماره ۲

بافت برشی زمینه دارای فولیاسیون تشکیل دهنده ها : کانی های سرپانتین ، کانیهای سیلیس ، کانیهای کدر ، کانیهای نیمه شفاف حداقل دو نوع .

بخش اعظم نمونه متشکل از کانیهای شفاف بوده که دارای بافت های کربپتو کریستالین و میکرو کریستالین و بعضیا " کاتاکلاستیک هستند .

در بخش ریز بلور کانیهای سرپانتین به حالت توجیه شده و موجی مشاهده میشوند . قطعات بزرگتر باستیت بوده که در این قطعات آثار تغییر شکل مشهود است .

کانیهای کدر بشکل قطعات شکلدار و نیمه شکلدار و به حالت مستقل از کانیهای نیمه شفاف وجود داشته و ذاتی سنگ اولیه میباشد . اندازه قطعات فراوان این کانیها ۱۰۰ میکرون است .

کانیهای سیلیس عمدتاً با اشکال مدور و بافت اسفلولیتی مشاهده شده مربوط به بتایسی رادیولرها هستند که مقدار سیلیس از ۵ درصد کمتر است. کانیهای نیمه شفاف از دو نوع در نمونه مشاهده میشوند: بخش قطعات قرمز رنگ که قادر شکل بوده و اندازه آنها بطور متوسط ۱۰۰ میکرون میباشد سینابر است و مقدار آن از ۵ درصد تجاوز نمیکند. بخشی از کانیهای نیمه شفاف نیز با رنگهای نارنجی و زرد (مانند نمونه قبل) مشاهده میشوند که شناسائی نشده اند. نام سنگ سرپانتینیت است (تصاویر ۱۴-۵ و ۱۵-۵).

۵-۳-۲- مطالعه مقاطع صیقلی و نازک نمونه های حاصل از قجزیه سرفی

۵-۳-۲-۱- ویژگیهای عمومی مقاطع مطالعه شده:

تشکیل دهنده ها و بافت آنها :

نمونه های گرفته شده، شامل کانیهای شفاف، نیمه شفاف و کدر بوده که کانیهای شفاف تشکیل دهنده به ترتیب فراوانی عبارتند از: کانیهای سرپانتین شامل باستیت، آنتیگوریت، کریزوتیل (با اشکال الیافی و صفحه ای) به همراه مجموعه کانیهای رسی و بخش کمی نیز از کانیهای سیلیسی تشکیل شده است. لازم به ذکر است که کانیهای سیلیسی به دو صورت زیر در مقاطع مشاهده گردیده است:

- ۱- قطعات مدور اسفلولیتی که مربوط به رادیولرها بوده و همراه با سنگهای سرپا نیتیتی دیده میشود .
- ۲- سیلیس های میکرو کریستالین که مربوط به کانی سازی هیدرو ترمال در مرحله اپی ترمال میباشد .
- کانیهای نیمه شفاف و کدر بترتیب فراوانی عبارتند از سینابر ، کرومیت ، پیریت ، مارکاسیت ، اکسید و هیدروکسیدهای آهن (گوتیت ، لپیدوکروسیت) و در نهایت استیبنیت به مقدار بسیار جزئی (در حد ۱/۰ درصد) که از این میزان فراوانترین کانی کدر سینابر بوده که بصورت قطعات بی شکل و با توزیع نامتجانس و پراکنده در سنگ دیده میشود . شایان ذکر است که تعداد سینابر در قسمتهای با بافت خرد شده سرپا نیتیتی های میزآلیزه افزون بر مناطق دیگر بوده اما میزان متوسط آن در نمونه های سنگی بین ۲ تا ۴ درصد و اندازه قطعات فراوان آن ۴۰ تا ۲۰۰ میکرون است . اما میزان سینابر در نمونه گرفته شده از برشهای هیدرو ترمالی بسیار کم (در حد دهم درصد) است . کرومیت دیگر کانی کدر موجود در سنگ بشکل قطعات نیم شکل دار تا بی شکل با بافت کاتا کلاستیک می باشد . قطعات کرومیت بصورت پراکنده و مستقل از سینابر بوده وحداکثر میزان کانی فوق در سرپا نیتیتی ها از ۲٪ تجاوز نمیکند ولی در نمونه برشهای هیدرو ترمالی حداقل به ۰.۵٪ میرسد . پیریت به همراه بلورهای منشوری مارکاسیت در ابعاد میکرونی در برخی قسمتهای گانگ و همچنین در ادخالهای سینابر دیده میشوند . میزان کانیهای فوق در مجموع در حد دهم درصد میباشد . اکسید و هیدروکسیدهای آهن نیز از دهم درصد تجاوز نکرده و بعضًا بصورت پراکنده دیده میشوند .

لذا با توجه به موارد ذکر شده و ذکر این نکته که بخش اعظم سنگ مشکل از کانیهای شفاف (سرپانتین) با بافت کریپتوکریستالین تا میکروکریستالین و بعضًا "کاتاکلاستیک است. نام سنگ سرپانتینیت تعیین میگردد.

در نهایت میبایست نکته زیر مورد توجه قرار گیرد که بافت برشی زمینه سنگ فوق دارای فولیاسیون بوده بعبارت دیگر در بخش ریز بلور کانیهای سرپانتین به حالت توجیه شده و موجی مشاهده میشوند.

۵-۳-۲-۲- مطالعه مقاطع تیغه نازک اخذ شده از برشهای هیدرولیکالی

نمونه B+12 :

تشکیل دهنده ها: کانیهای سرپانتین، کانیهای سیلیسی و کانیهای کادر، اکسید وئیدروکسیدهای آهن، کانیهای نیمه شفاف، کانیهای کادر بخش اعظم قطعات سرپانتین بوده و بخش کمتر آن (حدوده درصد) کانیهای سیلیسی از نوع کالسدونی و کوارتز میکروکریستالین است. چند نمونه قطعات کلسیت نیز در نمونه وجود دارد.

کانیهای کادر هم به صورت درگیر با کانیهای سرپانتین وهم جدا از آن مشاهده میشوند. دو مورد نیز کانی نیمه شفاف مشاهده میشود که یک مورد آن مشخصاً سینابر است. اندازه

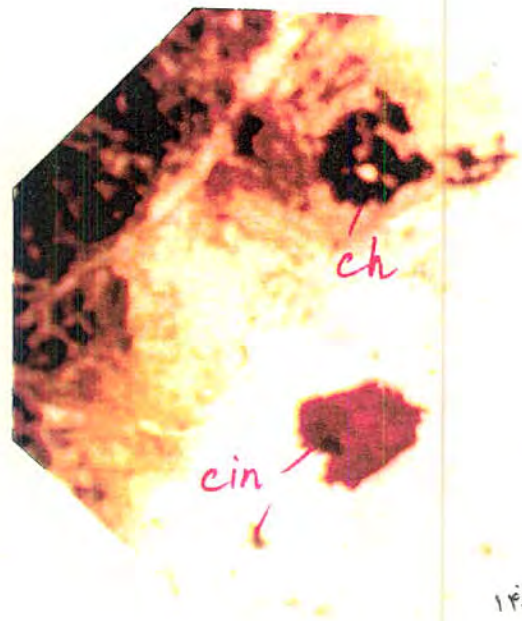
این قطعه حدود ۶۰ میکرون است . نمونه دیگر دارای ساخت ناحیه ای بسوデ که احتمالاً سیدریت یا انکریت است . مقدار سیناپر بسیار جزئی است (تصویر ۱۶-۵) .

نموفه : B+30

تشکیل دهنده ها : کانیهای سرپانتین ، کانیهای سیلیس ، کانیهای کدر ، کربناتها .
کانیهای سرپانتین تشکیل دهنده غالب بوده و کانیهای سیلیس اقلیت را تشکیل داده اند . در این نمونه کانیهای نیمه شفاف بالاخص سیناپر مشاهده نشده و در صورت وجود مقدار آن بسیار جزئی است ولی تعدادی قطعات هم بعد مشکوک به کرومیت دیده میشود که هم بصورت آزاد وهم درگیر با کانیهای سرپانتین مشاهده میشود (تصویر ۱۷-۵) .

نموفه : B+60

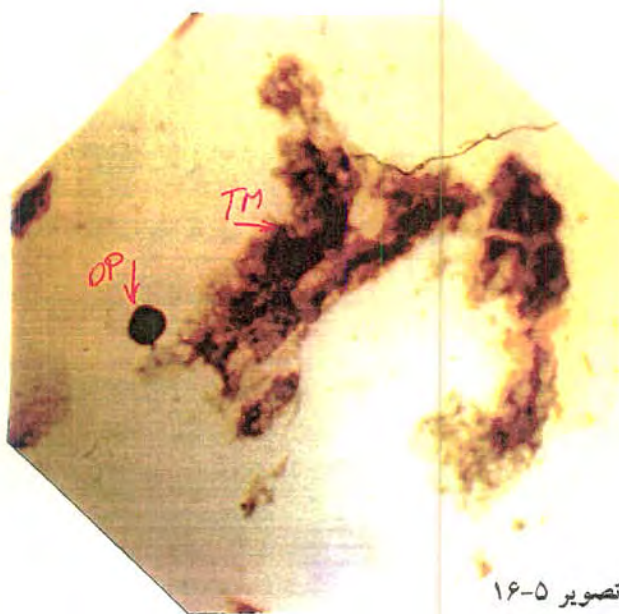
تشکیل دهنده ها : کانیهای شفاف ، کانیهای نیمه شفاف و کانیهای کدر .
بخش اعظم قطعات تشکیل دهنده از کانیهای شفاف بوده عمدتاً شامل کانیهای سرپانتین و کمتر شامل کانیهای سیلیسی است . سرپانتین با اشکال صفحه ای والیافی دیده شده و حداقل متشكل از دو کانی است . کانیهای سیلیسی از نوع کوارتز میکروکریستالین بوده و قطعات با ساخت مرکب ایجاد نموده است .



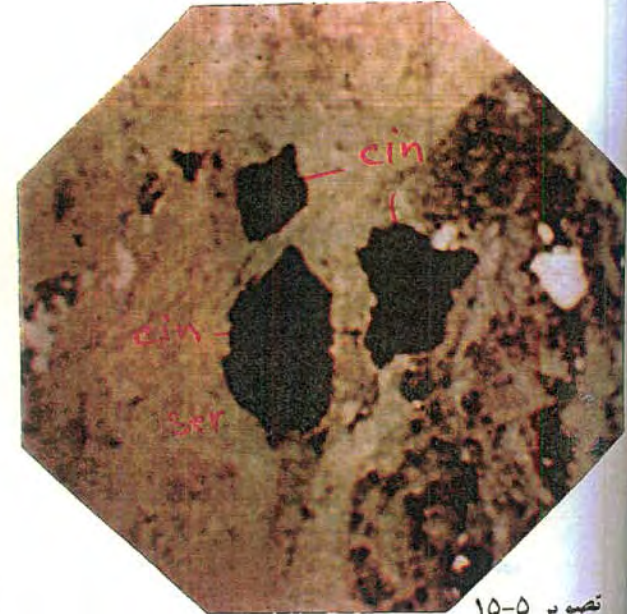
تصویر ۱۴-۵



تصویر ۱۳-۵



تصویر ۱۶-۵



تصویر ۱۵-۵

تصویر ۱۳-۵ - سینابر در فضاهای خالی (قطعات کدر) ($\times 33$)

تصویر ۱۴-۵ - کرومیت (کدر)، سینابر (نیمه شفاف قرمز) در زمینه کانیهای سربانین ($\times 33$)

تصویر ۱۵-۵ - قطعات سینابر (کدر) در مجاورت نواحی برشی شده ($\times 33$)

تصویر ۱۶-۵ - قطعات کانه Op، کانیهای شفاف TM ($\times 33$)

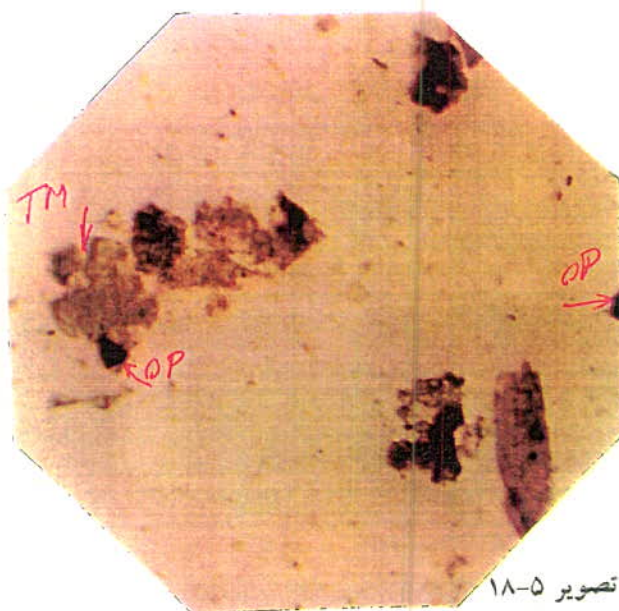
چند مورد قطعات کربناتی از نوع کلسیت نیز وجود دارد . قطعات سینابر (بصورت نیمه شفاف) هم بصورت مستقل وهم بصورت درگیر با کانیهای سرپانتین مشاهده میشود ، بطريقی که قطعات قرمز رنگ محصور در این کانیها متمایز است . کانیهای کدر که احتمالاً کرومیت است هم بصورت آزاد وهم بصورت درگیر مشاهده شده و کانیهای درگیر با آن از نوع سرپانتین میباشد (تصویر ۱۸-۵).

نمونه B+100

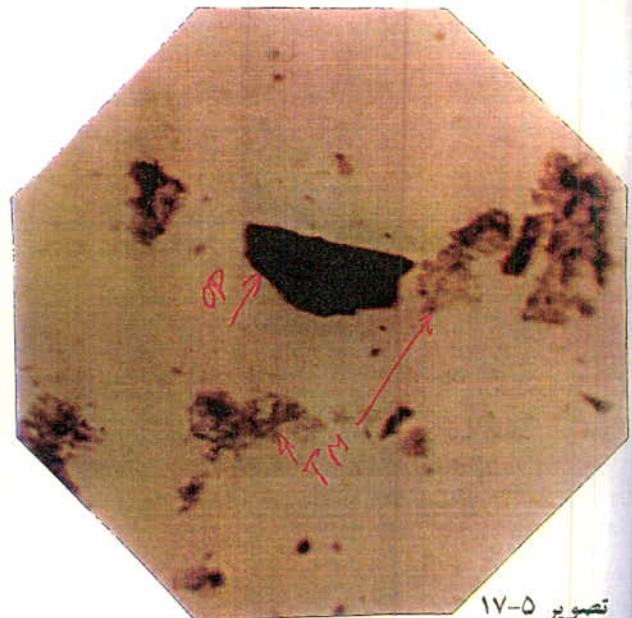
تشکیل دهنده ها : کانیهای سرپانتین ، کوارتز ، کربناتها ، کانیهای کدر ، کانیهای نیمه شفاف .

کانیهای سرپانتین شامل انواع الیافی و صفحه ای بوده که در ارتباط نزدیک با یکدیگر بخش اعظم قطعات موجود را تشکیل داده است . کوارتز و کالسدونی نیز قطعات مستقلی را ایجاد نموده است و با کانیهای سرپانتین درگیری ندارد . کربناتهای کمترین مقدار را در بین کانیهای شفاف دارا بوده و مقدار کانیهای سیلیس نیز از ۵٪ تجاوز نمیکند .

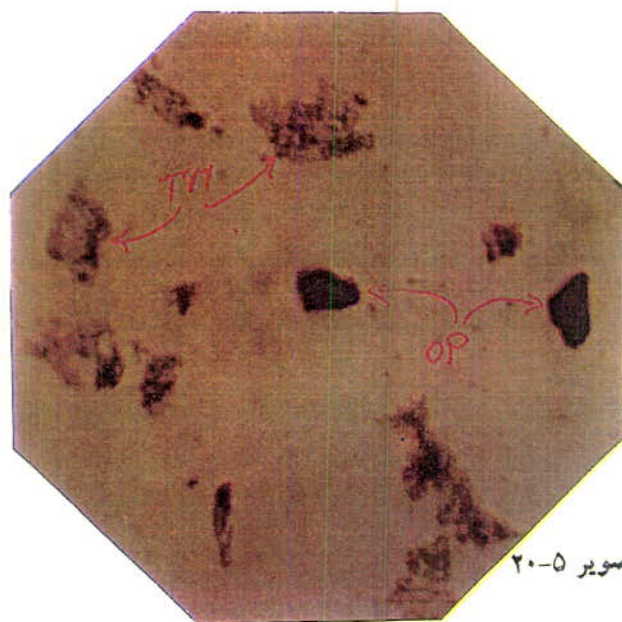
از دیگر کانیهای موجود انواع نیمه شفاف و کدر است . قطعات مذکور نیز هم به حالت آزاد وهم بصورت درگیر مشاهده میشوند و کانیهای درگیر با آنها کانیهای سرپانتین میباشد . مقدار کانیهای نیمه شفاف که سینابر را شامل میشود در حد بسیار جزئی است (تصاویر ۱۹-۵ و ۲۰-۵) .



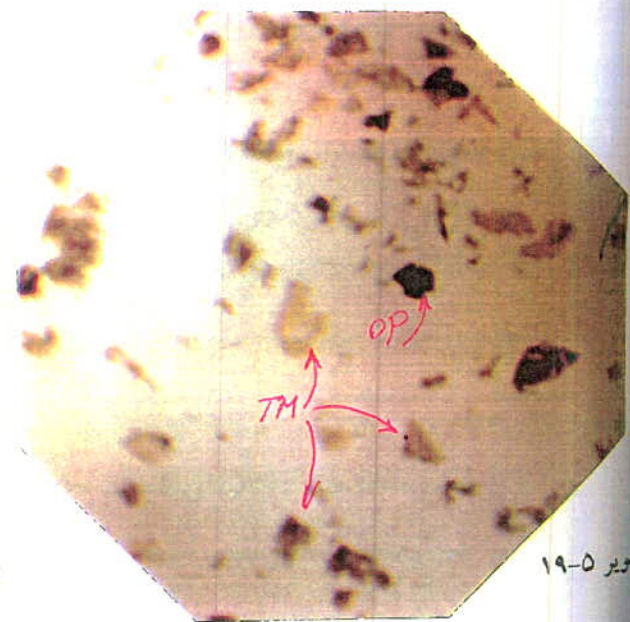
تصویر ۱۸-۰



تصویر ۱۷-۵



تصویر ۲۰-۰



تصویر ۱۹-۰

تصویر ۱۷-۵ - قطعات کانه Op ، کانیهای شفاف $(\times 85)$ T.M

تصویر ۱۸-۰ - قطعات کانیهای کدر هم بصورت آزاد وهم بحالت درگیر با کانیهای شفاف $(\times 85)$ T.M

تصویر ۱۹-۰ - قطعات کانیهای شفاف شامل سرپانتین T.M و قطعات کدر شامل کرومیت Op $(\times 85)$

تصویر ۲۰-۰ - قطعات کانه Op ، کانیهای شفاف $(\times 85)$ T.M

نمونه B+200

تشکیل دهنده ها : کانیهای سرپانتین ، کانیهای سیلیس ، میکاها ، کانیهای کدر و کانیهای نیمه شفاف .

بعض اعظم کانیهای شفاف مربوط به کانیهای سرپانتین بوده اند و باستیت ، آنتیگوریت و کریزوتیل دیده میشود . قطعات سیلیسی از نوع کوارتز با ساخت مرکب وندرتا" الیافی به مقدار حدود ۰.۵٪ وجود دارد . کربناتهای از نوع کلسیت نیز حضور داشته و مقدار آن در حد یک درصد است . ندرتا" نیز قطعات پراکنده مشکوک به میکا (فلوگوییت ؟) و آمفیولهای دیده میشود . مقدار سینابر (از کانیهای نیمه شفاف) نسبت به مورد قبل افزونتر بوده و قطعات آن عمدتاً" متشکل از کانیهای شفاف میباشد . تعدادی نیز قطعات کدر به حالت مستقل و آزاد وجود دارد که نسبت به سینابر افروتنر است (تصویر ۲۱-۵) .

نمونه B+275

تشکیل دهنده ها : کانیهای شفاف ، کانیهای نیمه شفاف ، کانیهای کدر در این دانه بندی تقریباً" تمامی قطعات کانه شامل کدر ، نیمه شفاف بصورت آزاد مشاهده شده و با کانیهای شفاف هیچگونه درگیری ندارد . کانیهای نیمه شفاف با انعکاسات "قرمز رنگ مشخصاً" سینابر بوده و مورد دیگر با انعکاسات داخلی زرد و نارنجی احتمالاً

گوتیت؟ است. بعضی قطعات نیز کاملاً "کدر بوده و مشکوک به کرومیت میباشند. مقدار کانیهای شفاف زرد در این نمونه افزایش نشان میدهد.

کانیهای شفاف که قطعات مجزائی ایجاد کرده، شامل انواع کانیهای سرپانتین و کمتر کانیهای سیلیس و کلسیت میباشد غیر از همراهی کانیهای سرپانتین هیچگونه درگیری بین کانیهای شفاف مشهود نیست (تصویر ۲۲-۵).

نامه : B+325

تشکیل دهنده ها : کانیهای شفاف (کانیهای سرپانتین ، کانیهای سیلیس ، کربناتها ، کانیهای مافیک) ، کانیهای نیمه شفاف (سیناپر ، گوتیت ، ترکیبات خاکی آهن) ، کانیهای کدر (کرومیت ، ...) .

در این دانه بندی اندازه قطعات تا حدودی نسبت به یکدیگر متفاوت بوده و با اشکال طویل و ترانشه مانند زیاد دیده میشود. در بین کانیهای شفاف حداقل ۹۰٪ آنها مربوط به کانیهای سرپانتین است. کانیهای سیلیس به مقدار حدود ۵٪ و کربناتها به مقدار کمتر دیده میشوند. کانیهای کدر و نیمه شفاف بصورت جدا از کانیهای مذکور دیده شده و هیچگونه درگیری وجود ندارد. موارد درگیری خاص اکسیدهای خاکی آهن به کانیهای سرپانتین است که در آنها آغشتگی ایجاد نموده است.

نمونه : B-325

تشکیل دهنده ها : کانیهای سرپانتین، کانیهای سیلیس، کربناتها، کانیهای نیمه شفاف، کانیهای کدلر.

در این دانه بندی عمدۀ کانیهای شفاف بشکل قطعات بسیار ریز (فرمۀ) مشاهده شده و ندرتاً قطعات سرپانتین از نوع باستیت و تعداد کمی قطعات سیلیسی از نوع کوارتز با اندازه های بزرگتر و حالت متمایز مشاهده میشوند.

کانیهای کدلر و نیمه شفاف در مقایسه با کانیهای موجود دارای ابعاد بزرگتری میباشند و قطعات سینابر در مقایسه با قطعات کدلر (کرومیت) دارای ابعاد کوچکتری میباشند و هیچگونه درگیری مشاهده نمیشود (تصویر ۵-۲۳).

۵-۲-۳-۴- مطالعه مقاطع صیقلی نمونه اخذ شده از برش های هیدروترمالی

نمونه شماره : B+12

بخش اعظم کانیهای کدلر موجود کرومیت بوده و مقدار آن حدود ۷٪ تعیین شده است. سینابر بصورت قطعات با ابعاد کوچک تنها دو مورد دیده میشود و مقدار آن جزئی است.

اندازه قطعات کرومیت که زیاد دیده میشود حدود ۷۰ میکرون و اندازه قطعات سیناپر در حد ۴۰ میکرون میباشد.

علاوه بر کانیهای فوق مواردی از قطعات بسیار ریز پیریت، مارکاسیت قابل ذکر است که بصورت ادخالهای کوچک زرد رنگ، شکل دار، با مقاطع منشوری و اندازه کمتر از ۳۰ میکرون در بعضی قطعات گانگ وجود دارد که مقدار آن در حد دهم درصد است. لازم به تذکر است که یک مورد قطعه زرد درخشان با مشخصات کالکوپیریت یا طلا نیز وجود دارد.

نمونه شماره B+20

زوج های دیگر شامل کرومیت بعلاوه گانگ، پیریت، مارکاسیت بعلاوه گانگ، استیبنیت بعلاوه گانگ میباشد. سیناپر مشاهده نشده و در صورت وجود مقدار آن جزئی میباشد. اندازه کانیهای کدر فراوان (کرومیت) حدود ۵۰ میکرون و در مورد قطعات پیریت - مارکاسیت از این کوچکتر است. مقدار کانیهای کدر حدود ۷-۸ درصد است که بخش اعظم آنرا کرومیت تشکیل داده است (تصاویر ۲۴-۵ و ۲۵-۵).

نحوه : B+30

تشکیل دهنده ها : کرومیت ، سیناپر ، استیبنیت ، پیریت ، مارکاسیت ، کانیهای شفاف (گانگ) .

زوجهای درگیر شامل : کرومیت بعلاوه گانگ ، پیریت ، مارکاسیت بعلاوه گانگ .
کرومیت فراوانترین کانی کدر بوده مقدار آن حدود پنج درصد و اندازه قطعات فراوان آن ۵۰ تا ۱۰۰ میکرون میباشد . در این دانه بندی بخش اعظم قطعات محصور در کانیهای گانگ است واز حدود ۱۳۰ مورد قطعه شمارش شده ۱۲۵ مسورد گانگ و ۵ مسورد کرومیت درگیر با گانگ میباشد .

قطعات سولفوری آهن (پیریت - مارکاسیت) ادخالهای ریزی را در زمینه کانیهای گانگ تشکیل داده که اندازه این قطعات عموماً از ۲۰ میکرون کوچکتر بوده و در شمارش این قطعات در نظر گرفته نشده است .

لازم بذکر است که قطعه سیناپر و استیبنیت نیز یک قطعه به حالت آزاد مشاهده گردید که اندازه قطعات مذکور در حدود ۲۰ میکرون تعیین شده است . علاوه بر این یک قطعه سیناپر و همچنین یک قطعه استیبنیت آزاد مشاهده گردیده که اندازه قطعات مذکور در حدود ۲۰ میکرون تعیین شده است (تصاویر ۲۶-۵ و ۲۷-۵) .

نموفه : B+60

تشکیل دهنده ها : کرومیت ، سینابر ، استیبنیت ، پیریت ، مارکاسیت ، کانیهای شفاف (گانگ) .

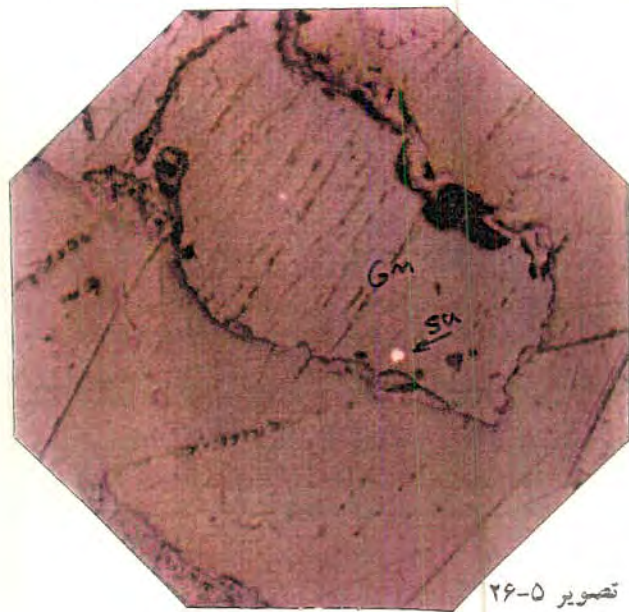
روجهای درگیر شامل : کرومیت بعلاوه گانگ ، پیریت - مارکاسیت بعلاوه گانگ می باشد .

اندازه قطعات کرومیت حدود ۱۵۰ میکرون بوده و حدود ۲۰٪ قطعات آن آزاد می باشد .
اندازه قطعات سولفوری آهن کمتر از ۲۰ میکرون و مقدار آن کمتر از یک درصد است .
علاوه بر موارد فوق یک قطعه سینابر با ابعاد کوچکتر حدود ۵۰ میکرون و یک قطعه استیبنیت آزاد نیز در مجموعه رویت گردیده و بر این اساس مقدار این کانیها در حد دهم درصد است (تصویر ۲۸-۵) .

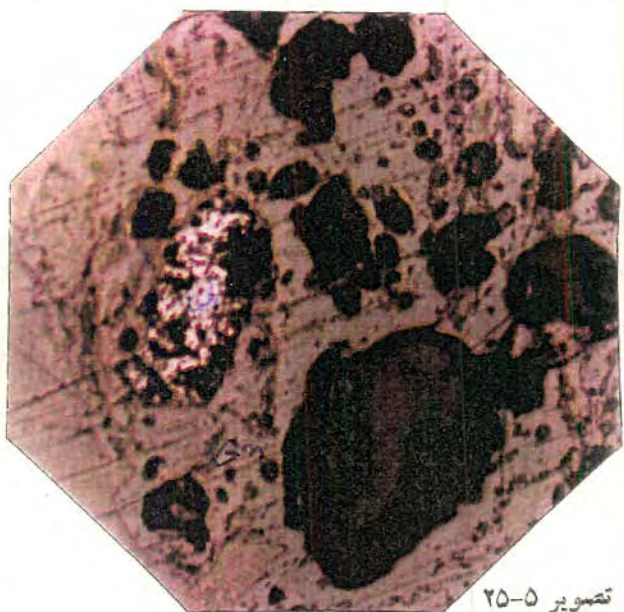
نموفه : B+100

تشکیل دهنده ها : کرومیت ، سینابر ، پیریت - مارکاسیت ، گوتیت ، کانیهای شفاف (گانگ) .

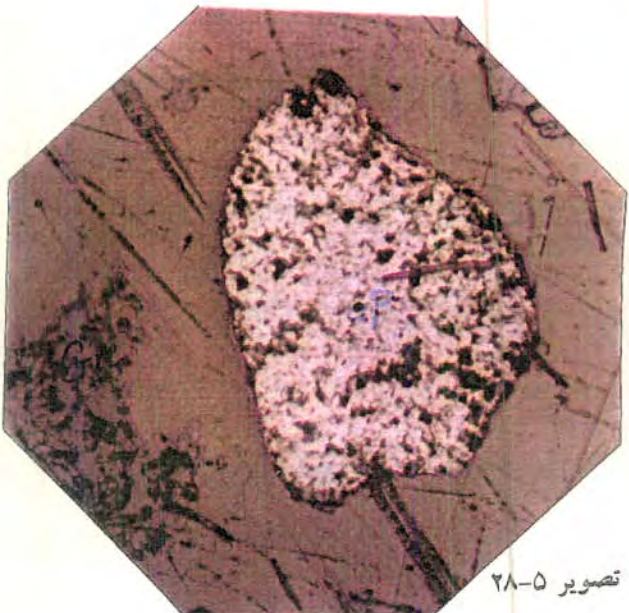
کرومیت فراوانترین کانی کدر بوده بمقدار کمتر از ۰.۵٪ مشاهده میشود که بخش کمی از آن هنوز بحالت درگیر با کانیهای گانگ مشاهده میشود . اندازه قطعات این کانی ۱۵۰ تا ۲۰۰



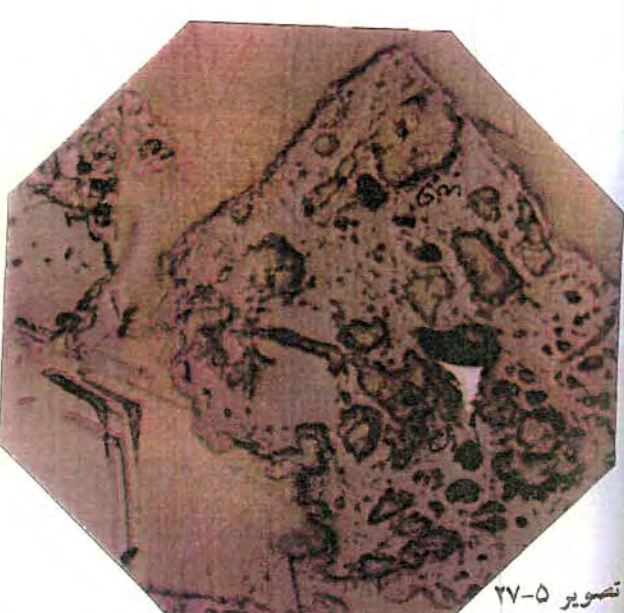
تصویر ۲۶-۵



تصویر ۲۵-۵



تصویر ۲۸-۵



تصویر ۲۷-۵

تصویر ۲۵-۵ - کرومیت Ch در گیر با گانگ ($\times 100$)

تصویر ۲۶-۵ - کانی سولفوری SU در گیر با گانگ Gn ($\times 100$)

تصویر ۲۷-۵ - کرومیت Ch در گیر با گانگ Gn ($\times 100$)

تصویر ۲۸-۵ - کانیهای کدر Op بصورت آزاد در زمینه گانگ Gn ($\times 100$)

میکرون است. در شمارش ۷۰۰ قطعه یک، مورد سیناپر مشاهده میشود و بر این اساس مقدار سیناپر در نمونه در حد دهم تا صدم درصد میباشد.

اندازه قطعات سیناپر نیز ۲۰۰ میکرون است. کانیهای سولفوری آهن به مقدار جزئی با ابعاد چند میکرونی در بخشی از قطعات گانگ مشاهده میشود که بعضاً در اثر دگرسانی به گوتیت تبدیل شده است. یک قطعه سفید رنگ با اندازه ۲۰ میکرون مشکوک به استینبیت نیز وجود دارد (تصاویر ۲۹-۵ و ۳۰-۵).

نمونه B+200

تشکیل دهنده ها : کرومیت ، سیناپر ، گوتیت ، لپیدوکروسیت ، پیریت ، مارکاسیت ، استینبیت ، کانیهای گانگ کرومیت فراوانترین کانی کدر بوده و مقدار آن حدود ۷٪ تعیین شده است. بخشی از قطعات کرومیت هنوز با گانگ درگیر بوده و مقدار درگیر آن کمتر از ۳٪ می باشد. در برخی قطعات کرومیت هم رشدی از اکسیدهای آهن مشاهده میشود.

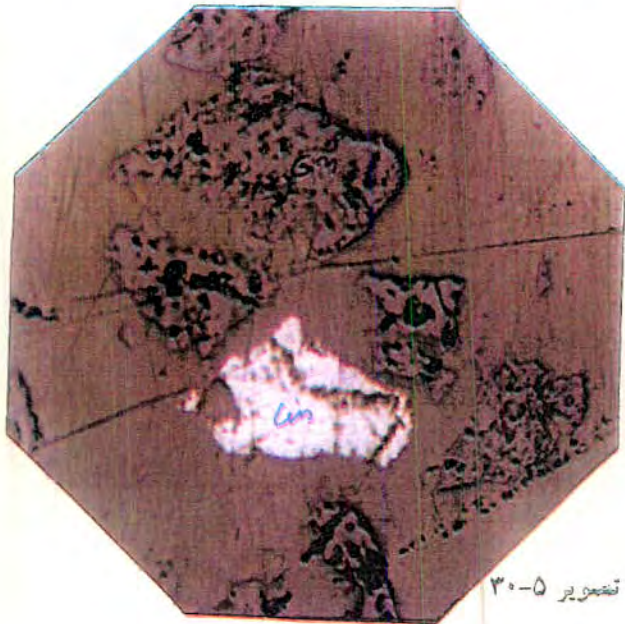
سيناپر بصورت قطعات با ابعاد ۴۰ تا ۲۰۰ میکرون مشاهده شده و اندازه قطعات متوسط آن حدود ۱۰۰ میکرون است. مقدار سیناپر در حد ۳٪ تعیین گردید. استینبیت قطعات کوچکتری را تشکیل داده و اندازه قطعات آن حدود ۳۰ میکرون و مقدار این کانی نیز در حد ۰٪ درصد تخمین زده میشود. پیریت از دو نسل در نمونه وجود دارد نسل دانه درشت که بعضاً هاله های گوتیت ناشی از دگرسانی آنرا احاطه کرده است و نسل دانه ریز

(مارکاسیت) بصورت ادخالهای ریز که در کانیهای گانگ وجود دارد . مقدار سولفورهای آهن نیز در حد دهم درصد است . لپیدوکروسیت یک مورد مشاهده میشود (تصویر ۳۱-۵) .

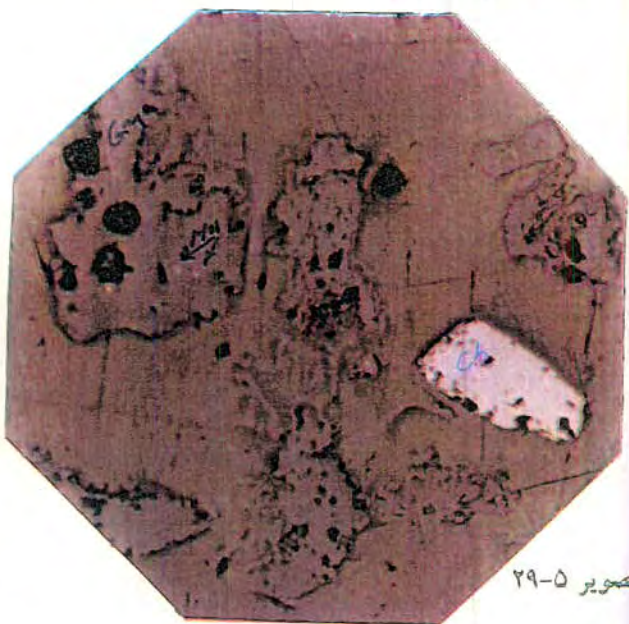
فهرست : B+275

تشکیل دهنده ها : کرومیت ، استیبنیت ، سینابر ، اکسید و ئیدروکسیدهای آهن (گوتیت ، لپیدوکروسیت) پیریت ، مارکاسیت ، کانیهای گانگ .

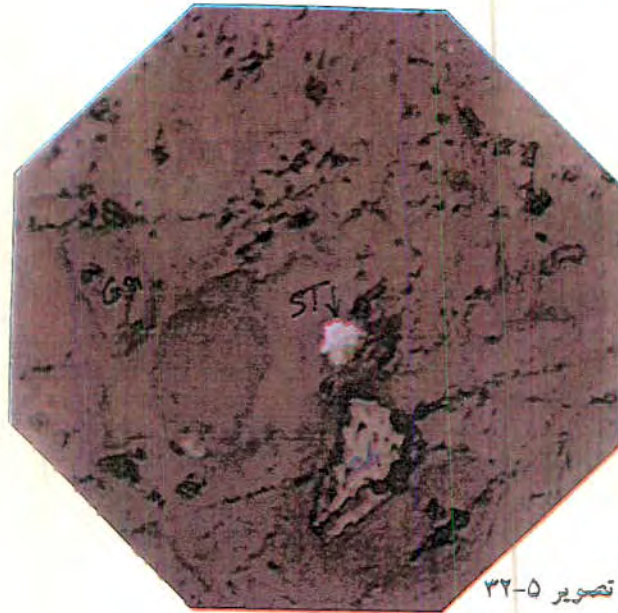
کرومیت فراوانترین کانی کدر بوده و مقدار آن حدود ٪ ۰.۵ است . اندازه قطعات کرومیت در حد ۱۰۰ میکرون میباشد . بخشی از قطعات کرومیت در کانیهای گانگ محصور میباشد . پیریت از دو نسل در نمونه وجود دارد . نسل دانه درشت با ابعاد حدود ۸۰ میکرون و نسل دانه ریز (بیشتر از نوع مارکاسیت) با ابعاد کمتر از ۲۰ میکرون که مورد اخیر بحالت درگیر مشاهده میشود . پیریت دانه درشت بعضاً دگرسان و به ئیدروکسیدهای آهن عمدتاً " گوتیت تبدیل شده است . مقدار این کانیها از یک درصد کمتر است . سینابر (کانه اصلی) با ابعاد حدود ۸۰-۱۰۰ میکرون مشاهده شده و مقدار آن در حد دهم درصد میباشد . استیبنیت با ابعاد کوچکتر در حد ۱۰ تا ۲۰ میکرون بوده و نیمی از قطعات آن هنوز با گانگ درگیر است . مقدار استیبنیت حداقل در حد سینابر میباشد (تصویر ۳۲-۵ تا ۳۳-۵) .



تصویر ۲۹-۵



تصویر ۳۰-۵



تصویر ۳۱-۵



تصویر ۳۲-۵

تصویر ۲۹-۵ - کرومیت Ch ، گانگ Gn بهالت آزاد ، مارکاسیت Ma در زمینه گانگ ($\times 100$)

تصویر ۳۰-۵ - سیناپر Cin ، گانگ Gn بهالت آزاد ($\times 100$)

تصویر ۳۱-۵ - سیناپر Cin ، کرومیت Ch ، گانگ Gn ($\times 200$)

تصویر ۳۲-۵ - استینینیت St ، کرومیت Ch ، گانگ Gn ($\times 200$)

نحوه : B+325

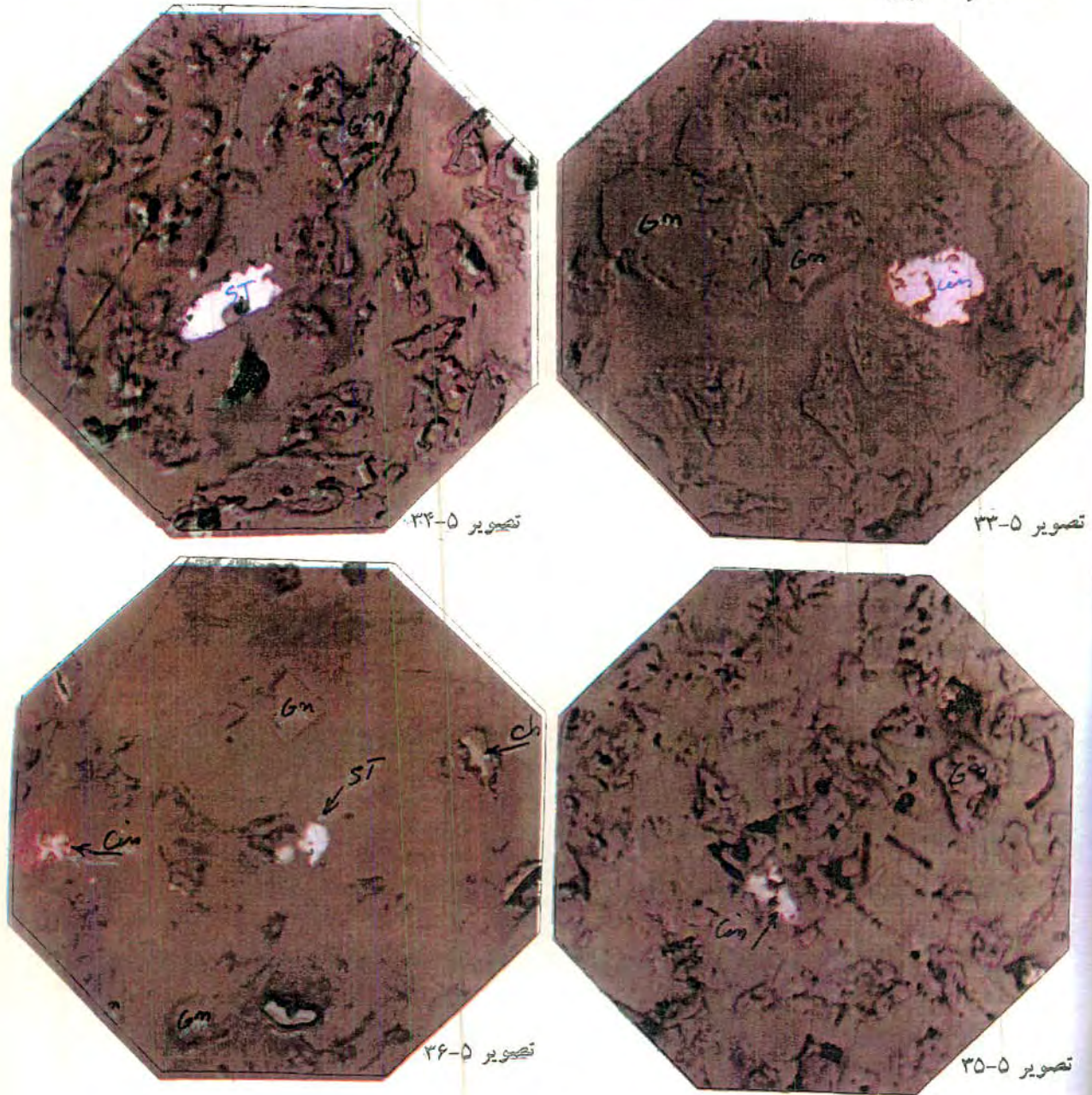
تشکیل دهنده ها : کرومیت، سیناپر، استیبنیت، گوتیت، پیریت، کانیهای گانگ.

در این دانه بندی تمامی قطعات کرومیت، سیناپر، استیبنیت، گوتیت، و نسل دانه درشت پیریت به حالت آزاد و مستقل از کانیهای گانگ مشاهده میشود. تنها مورد درگیر مشهود ادخالهای ریز مارکاسیت با ابعاد چند میکرون در برخی قطعات گانگ میباشد. مقدار کرومیت در حد ٪.۵، مقدار سولفورهای آهن در حد کمتر از درصد مقدار سیناپر در حد دهم درصد و مقدار استیبنیت در حد دهم تا صدم درصد است (تصاویر ۳۴-۵ تا ۳۵-۵).

نحوه : B-325

تشکیل دهنده ها : کرومیت، سیناپر، استیبنیت، پیریت، مارکاسیت، اکسید وئیدروکسیدهای آهن، کالکوپیریت، کانیهای گانگ، قطعات زرد رنگ؟.

در این دانه بندی تمامی کانیهای تشکیل دهنده به حالت مستقل از یکدیگر مشاهده شده واستثناء ادخالهای میکرونی مارکاسیت در زمینه کانیهای گانگ میباشد. اشکال ترانشه مانند زیاد مشاهده شده و اندازه قطعات تا حدودی نامتجانس است. تفاوت مشهود تغییر مقدار استیبنیت در این دانه بندی میباشد. بدین ترتیب که قطعات آن فراوانتر است (تصویر ۳۶-۵).



تصویر ۳۳-۵- قطعات سینابر Cin ، گانگ Gn به حالت آزاد ($\times 200$)

تصویر ۳۴-۵- قطعات استینبیت St ، کرومیت Ch ، گانگ Gn به حالت آزاد ($\times 200$)

تصویر ۳۵-۵- قطعات سینابر Cin ، کرومیت Ch ، گانگ Gn بصورت آزاد ($\times 100$)

تصویر ۳۶-۵- قطعات سینابر Cin ، استینبیت St ، گانگ Gn به حالت آزاد ($\times 400$)

۵-۴-۳-۲-۱- مطالعه مقاطع قیقه نازک نموفه اخذ شده از سرپانتینیتهاي
مینرالیزه

نموفه A+12 :

تشکیل دهنده ها : کانیهای شفاف ، کانیهای نیمه شفاف ، کانیهای کدر
در بین کانیهای شفاف بخشی از قطعات میکرو تا کریپتوکریستالین بوده و دارای بافت برشی
است که مربوط به نواحی دارای تنفس میباشد . کانیهای مذکور از نوع کانیهای رسی بوده
و در همراهی با این قطعات کانیهای سرپانتین با اشکال الیافی و صفحه ای دیده میشود .
کانیهای سرپانتین بعلاوه بصورت قطعات معجزا نیز وجود داشته و مقدار آن نسبت به بقیه
قطعات افروزنتر است . بخش کمی از قطعات نیز کوارتزی از نوع میکروکریستالین با
اشکال مجموعه ای و بعضی " الیافی از نوع کالسدونی است . در این قطعات آغشتگی به
کانیهای نیمه شفاف از نوع گوتیت مشاهده میشود . دیگر کانی نیمه شفاف یعنی سینابر
و قطعات کدر (کرومیت) به حالت درگیر مشاهده میشوند (تصویر ۵-۳۷) .

نمونه A+20

تشکیل دهنده ها : کانیهای شفاف (سرباتین ، کوارتز) ، کانیهای نیمه شفاف (شامل گوتیت و سینابر) ، کانیهای کدر .

بخشی از قطعات کانیهای شفاف بصورت مجموعه های ریز بلور و میکروکریستالین بوده در این قطعات میکروفراکچر های متعدد که توسط کانیهای سرباتین پوشیده اند مشاهده شده و این کانیها احتمالاً رسهای منیزیم دار میباشد . بخش دیگر از کانیهای شفاف شامل کانیهای سرباتین (باستیت و انواع دیگر) میباشد . ندرتاً نیز قطعات کوارتزی بصورت مستقل از کانیهای سرباتین وجود دارد . کانیهای نیمه شفاف شامل اکسید ، ثیدروکسیدهای آهن و سینابر میباشد . سینابر مشخصاً با کانیهای سرباتین ارتباط نزدیک داشته و در زمینه کانیهای مذکور محصور است وبصورت آزاد از این کانی دیده نمیشود . ترکیبات اکسید آهن نیز در قطعات شفاف آغشتگی ایجاد نموده و بخشی از آن گوتیت میباشد . هیچ موردی از کانیهای نیمه شفاف (شامل سینابر) و کدر بهالت آزاد مشاهده نمیشود (تصویر ۵-۳۸).

نمونه A+30

تشکیل دهنده ها : کانیهای سرباتین ، قطعات مجموعه ای میکروکریستالین ، کانیهای سیلیس ، سینابر ، کانی زرد رنگ ؟ ، اکسید و ثیدروکسیدهای آهن ، کانیهای کدر

قطعات سرپانتینیتی بخش اعظم کانیها را تشکیل داده وحداقل مشکل از دو کانی میباشد. در برخی قطعات، باستیت بوضوح قابل تشخیص است. دیگر کانیهای سرپانتین شامل نوع صفحه‌ای است در قطعات میکروکریستالین بافت برشی مشاهده شده و قطعات مخفی بلور توسط کانیهای سرپانتین پیوند شده است. کانیهای سیلیس بهالت مجزا به تعداد کم مشاهده میشوند که معمولاً در قطعات آن ساخت مرکب دیده میشود. کانیهای نیمه شفاف حداقل شامل سیناپر و کانیهای زرد رنگ؟ میگردد. بخشی از قطعات نیمه شفاف آزاد و بخشی نیز به حالت درگیر وجود دارد. درگیری قطعات زرد رنگ بیشتر بوده و کسانی همراه آن سرپانتین است (تصویر ۳۹-۵).

نموفه : A+60

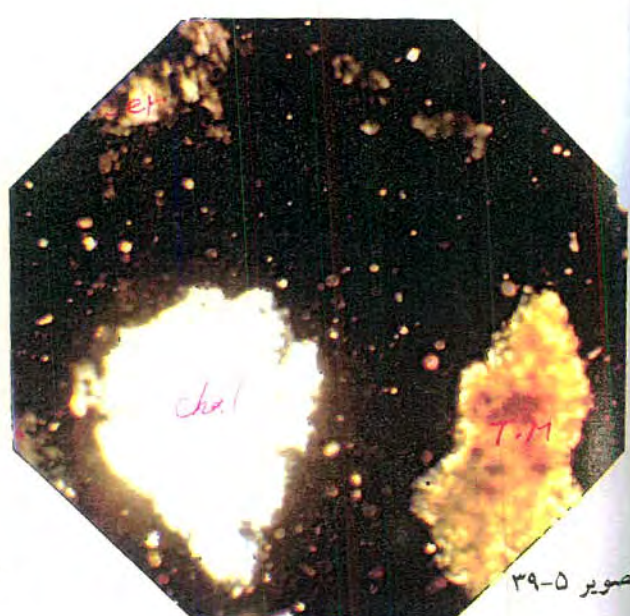
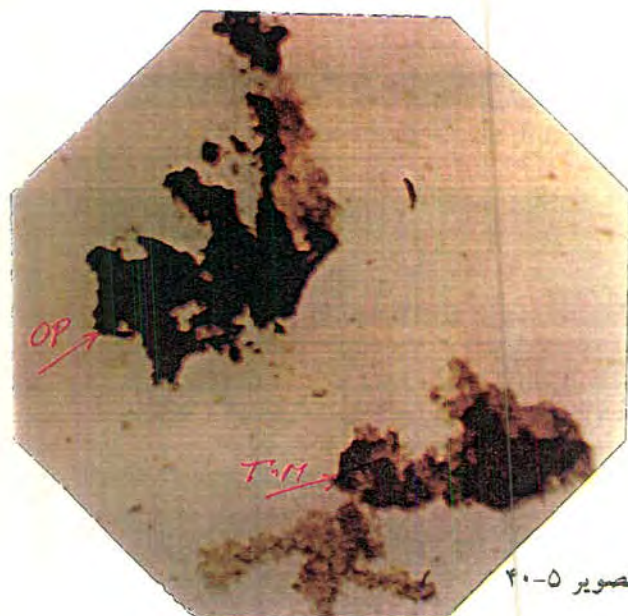
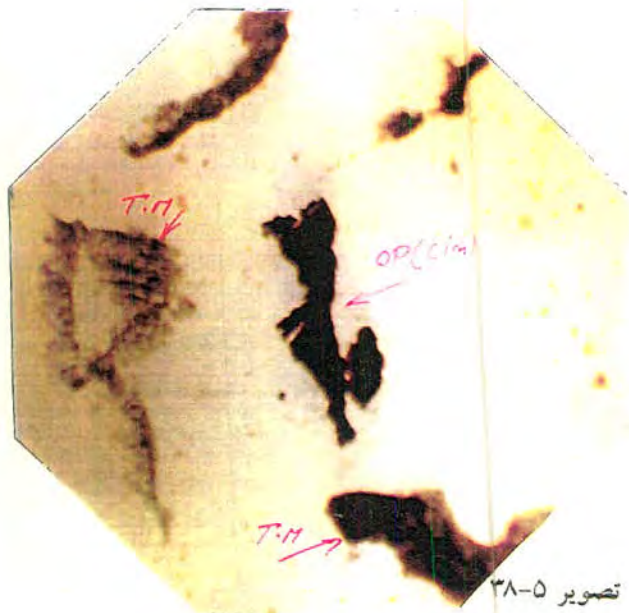
تشکیل دهنده‌ها: کانیهای سرپانتین، قطعات میکروکریستالین ("احتمالاً" رسهای Mg دار؟) کانیهای سیلیس (شامل کوارتز، میکروکریستالین و کالسدونی)، کانیهای نیمه شفاف (شامل سیناپر، کانی زرد رنگ؟، ترکیبات خاکی آهن)، کانیهای کدر. از کانیهای مشروح فوق تنها کانیهای سرپانتین و کانیهای مشکوک به رسهای Mg دار با یکدیگر درگیر بوده و قطعات مذکور از کانیهای سیلیسی مجزا و مستقل میباشند. قطعات سیلیسی مشکل از مجموعه‌های ریز بلور دانه‌ای (کوارتز میکروکریستالین) و نوع الیافی (کالسدونی) میباشند. این قطعات با کانیهای کدر و نیمه شفاف نیز رابطه‌ای ندارند. کانیهای نیمه شفاف "عمدتاً" سیناپر بصورت آزاد و جدا از کانیهای شفاف مشاهده شده و

ضموناً هیچگونه درگیری با کانیهای کدر (کرومیت؟) نشان نمیدهد. از دیگر کانیهای نیمه شفاف قطعات زرد و نارنجی رنگ است که شناسائی نشد (تصویر ۴۰-۵).

نموفه A+100 :

تشکیل دهنده‌ها: کانیهای سرپانتین، قطعات شفاف میکروکریستالین، کانیهای سیلیس، کانیهای نیمه شفاف (از سه نوع)، کانیهای کدر.

بخش اعظم قطعات متتشکل از کانیهای سرپانتین و قطعات مجموعه‌ای مخفی بلور بوده که با یکدیگر در ارتباط بوده و در برخی قطعات، مجموعه آنها متتشکل از سه فاز بلورین و مواد میکروکریستالین (آمورف؟) میباشد. از دیگر کانیهای شفاف قطعات سیلیسی متتشکل از کوارتز ریز بلور است که مستقل از کانیهای شفاف دیگر هستند. کانیهای نیمه شفاف از انواع قرمز رنگ، نارنجی وزرد و همچنین انواع خاکی میباشد که نوع قرمز مشخصاً سیناپر بوده و بخش اعظم قطعات آن جدا از کانیهای شفاف (گانگ) و به حالت آزاد مشاهده میشوند. در موارد دیگر سیناپر با کانیهای سرپانتین همراه است. کانیهای نیمه شفاف دیگر نیز با کانیهای سرپانتین مخفی بلور درگیر بوده و سبب آغشتنگی قطعات مذکور شده‌اند (تصویر ۴۱-۵).



تصویر ۳۷-۵- قطعات سیلیس از نوع کالسدونی Cha ، قطعات سرپانتین Ser بصورت آزاد و مستقل از یکدیگر ($\times 100$)

تصویر ۳۸-۵- کانیهای شفاف T.M بصورت مخفی بلور و کریستالین ، سیناپر بهالت درگیر Cin ($\times 33$)

تصویر ۳۹-۵- قطعات کانیهای شفاف T.M ، کالسدونی Chal ، سرپانتین Ser ($\times 85$)

تصویر ۴۰-۵- قطعات کانه Op درگیر با کانیهای شفاف T.M ($\times 85$)

فهنه A+200 :

تشکیل دهنده ها : کانیهای سرپانتین ، مجموعه های میکرو کریستالین مشکوک به کانیهای رسی ، کانیهای سیلیس (کوارتز کالسدونی) ، کانیهای نیمه شفاف .

در بین کانیهای شفاف نوع سرپانتینی و رسی فراوانترین و کانیهای سیلیسی در اقلیت میباشند . قطعات مذکور هیچگونه در گیری با یکدیگر نشان نمیدهند . در بین کانیهای نیمه شفاف سینابر نسبت به بقیه افزونتر بوده و کمتر از سی درصد آن به حالت درگیر با کانیهای سرپانتین مشاهده شده و بقیه قطعات به حالت آزاد دیده میشوند . در مورد کانیهای کادر نیز بخش اعظم قطعات آن بصورت مستقل مشاهده میشوند (تصویر ۴۲-۵) .

فهنه A+275 :

تشکیل دهنده ها : کانیهای سرپانتین ، کانیهای رسی ، کانیهای سیلیس ، کربناتها ، میکاهما ، کانیهای نیمه شفاف و کدر .

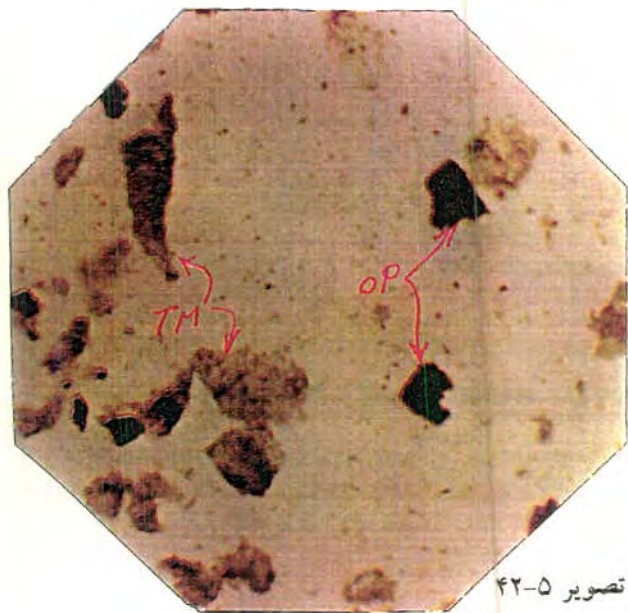
کانیهای سرپانتین و رسی فراوانترین کانیهای تشکیل دهنده بوده و به مقدار کمتر از آن قطعات کوارتزی و کربناتی دیده میشود . کانیهای سرپانتین متنوع بوده و "بعضیا" با قطعات رسی همراهی دارند . ولی قطعات کوارتز وضعیت مستقلی نشان نمیدهند . در بین کانیهای نیمه شفاف سینابر فراوانترین بوده و به مقدار کمتر قطعات زرد رنگ ؟ و ترکیبات خاکی آهن

وجود دارد، کمتر از بیست درصد سیناپر به حالت درگیر با کانیهای سرپانتین رویت شده و بقیه قطعات آن آزاد است. بخش اعظم کانیهای کدر نیز آزاد بوده و در مورد قطعات زرد رنگ نیز وضعیت مشابهی وجود دارد (تصویر ۴۳-۵).

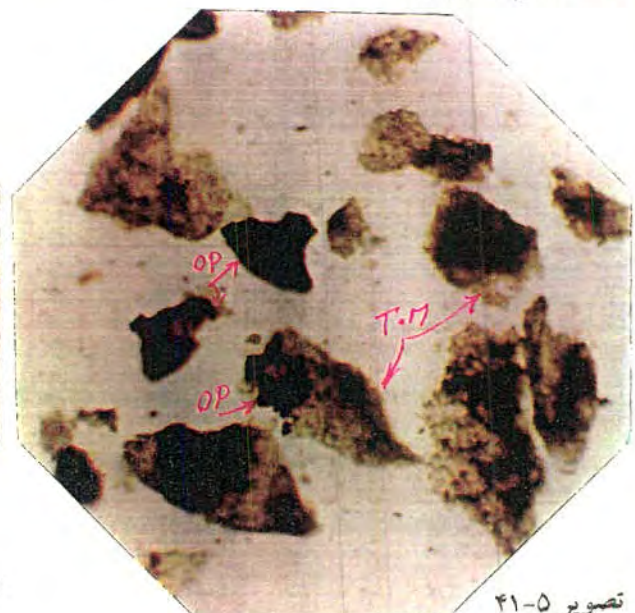
نحوه A+325

تشکیل دهنده ها : کانیهای سرپانتین ، کانیهای رسی ، کانیهای سیلیس ، کربناتها ، کانیهای نیمه شفاف ، کانیهای کدر

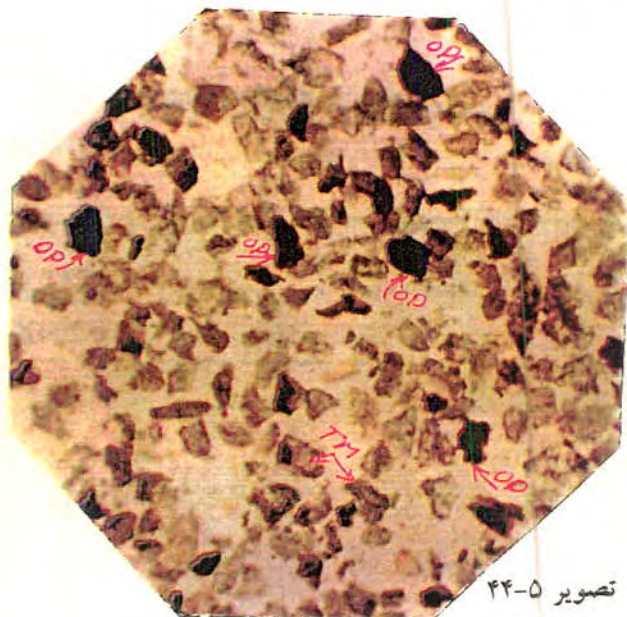
در این دانه بندی بخش اعظم قطعات متشکل از سرپانتین و کانیهای رسی بوده و کمتر قطعات کوارتز و کربناتها وجود دارد. قطعات مذکور جدا از یکدیگر و به حالت آزاد مشاهده میشود . "خصوصاً" در مورد کانیهای سرپانتین قطعات مجزای باستیت دیده میشود . در مورد سیناپر، بخش اعظم قطعات آن آزاد بوده و موارد درگیر کمتر از ده درصد میباشد . درگیری ، با کانیهای سرپانتین و رسهای ناشی از آن میباشد . مورد دیگر درگیری ، با کانیهای زرد و ترکیبات خاکی آهن با کانیهای سرپانتین و آغشته نمودن قطعات آن میباشد (تصویر ۴۴-۵) .



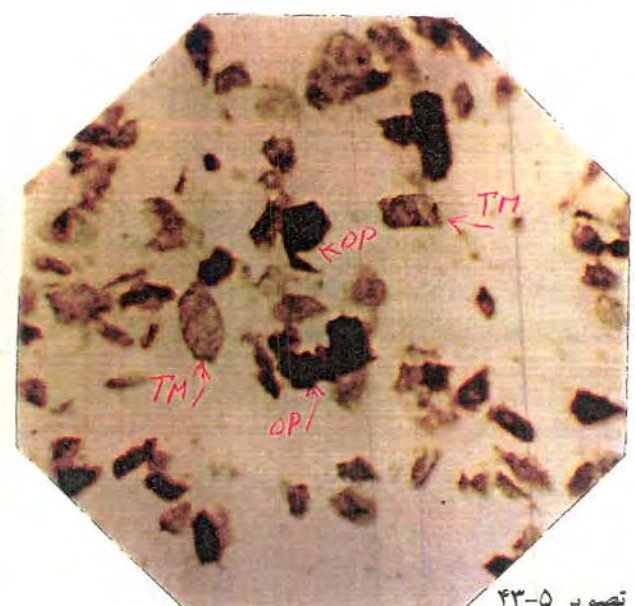
تصویر ۴۲-۵



تصویر ۴۱-۵



تصویر ۴۴-۵



تصویر ۴۳-۵

تصویر ۴۱-۵ - قطعات کانه Op بحالت کدر و نیم شفاف، قطعات کدر درگیر بوده و قطعات نیمه شفاف آزاد هستند (کرومیت درگیر، سینابر آزاد) ($\times 85$)

تصویر ۴۲-۵ - قطعات کانه Op، کانیهای شفاف T.M، قطعات کانه عمدتاً بصورت آزاد مشاهده میشوند.

تصویر ۴۳-۵ - قطعات کانه Op، قطعات گانگ (شفاف) T.M بحالت آزاد

تصویر ۴۴-۵ - تقریباً تمامی قطعات کانه Op بحالت آزاد مشاهده شده و هیچگونه درگیری با کانیهای شفاف

وجود ندارد ($\times 85$)

نمونه A-325 :

تشکیل دهنده ها : باستیت ، سرپانتین ، کانیهای رسی ، کانیهای سیلیس ، کربناتها ، کانیهای نیمه شفاف ، کانیهای کدر .

دانه ها مختلف الا ندازه بوده و نرمه زیادی ایجاد شده است . کانیهای سرپانتین و رسی تشکیل دهنده غالب هستند . قطعات سیناپر بوضوح از بقیه تشکیل دهنده ها متمایز و مستقل میباشند .

علاوه بر این قطعات کدر و قطعات کانی زرد و همچنین قطعات کوارتزی بصورت آزاد مشاهده میشوند . کانیهای سرپانتین جز موارد محدود که بصورت قطعات باستیت است بقیه موارد به قطعات ترانشه ای ، الیافی و خاکی تبدیل شده است (تصویر ۴۵-۵) .

۵-۳-۲-۱- مطالعه مقاطع صیقلی نمونه اخذ شده از سرپانتینهای هینرالیزه

نمونه A+12 :

تشکیل دهنده ها : سیناپر ، کرومیت ، مارکاسیت ، کانیهای شفاف (گانگ)

کانیهای درگیر شامل: سیناپر درگیر با مارکاسیت، سیناپر درگیر با گانگ، مارکاسیت درگیر با گانگ، کرومیت درگیر با گانگ.

اندازه ها: اندازه قطعات سیناپر حداقل $1/8$ میلیمتر، در مورد مارکاسیت اندازه قطعات عموماً کوچکتر از 100 میکرون و در مورد کرومیت اندازه قطعات عموماً "کوچکتر از 250 میکرون.

نتایج شمارش: قطعات آزاد کانه مشاهده نشده و 5 مورد درگیر و 63 مورد فقط قطعه گانگ شمارش شده است (تصویر ۴۶-۵).

نمونه A+20

تشکیل دهنده ها: سیناپر، کرومیت، مارکاسیت، ئیدروکسیدهای آهن، کانیهای شفاف (گانگ).

کانیهای درگیر شامل: سیناپر بعلاوه مارکاسیت، سیناپر بعلاوه گانگ، مارکاسیت بعلاوه گانگ، کرومیت بعلاوه گانگ، ئیدروکسیدهای آهن بعلاوه گانگ.

اندازه ها: اندازه قطعات کرومیت از 200 میکرون کوچکتر است. در مورد مارکاسیت و ترکیبات اکسید آهن ناشی از دگرسانی مارکاسیت، اندازه قطعات از 100 میکرون تا حدود چند میکرون میباشد.

نتایج شمارش: دو مورد از قطعات کانه آزاد، 18 مورد درگیر با گانگ و تعداد قطعات گانگ 70 مورد است (تصویر ۴۷-۵).

نحوه A+30

تشکیل دهنده ها : سیناپر ، کرومیت ، پیریت ، مارکاسیت ، اکسید و ثیدروکسیدهای آهن ، کانیهای شفاف (گانگ) .

کانیهای درگیر شامل : (سیناپر + مارکاسیت) ، (سیناپر + گانگ) ، (کرومیت + گانگ) ، (مارکاسیت + گانگ) ، (ثیدروکسیدهای آهن + گانگ) .

نتایج شمارش : در شمارش انجام شده تعداد قطعات فقط گانگ ۱۶۵ مورد ، قطعات آزاد کانه ۱۰ مورد و قطعات کانه درگیر با گانگ ۳۳ مورد است (تصویر ۴۸-۵) .

نحوه A+60

تشکیل دهنده ها : سیناپر ، کرومیت ، پیریت - مارکاسیت ، ثیدروکسیدهای آهن ، کانیهای شفاف (گانگ) .

کانیهای درگیر شامل : (سیناپر + گانگ) ، (مارکاسیت + گانگ) ، (اکسیدهای آهن + گانگ) ، (سیناپر + مارکاسیت) .

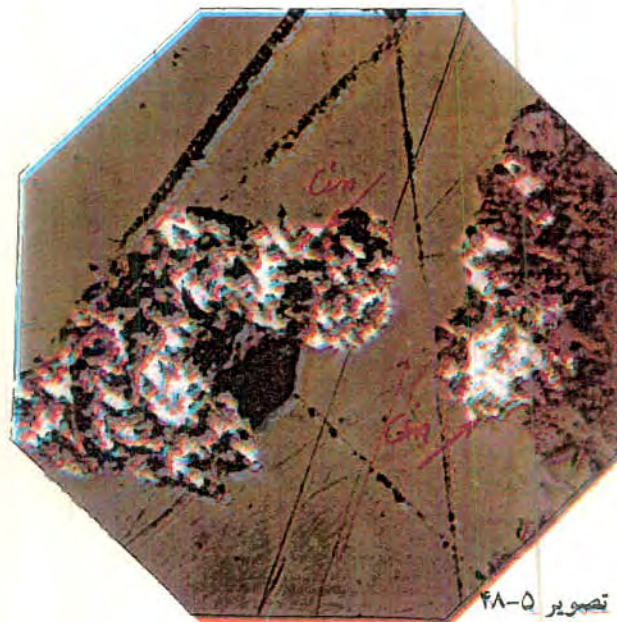
اندازه ها : اندازه قطعات مارکاسیت مشهود از ۲۰۰ میکرون کوچکتر بوده و بخش اعظم قطعات آن ابعادی تا حدود ۱۰ میکرون دارند . اندازه قطعات کرومیت و سیناپر درگیر حدود ۱۰۰ میکرون است .



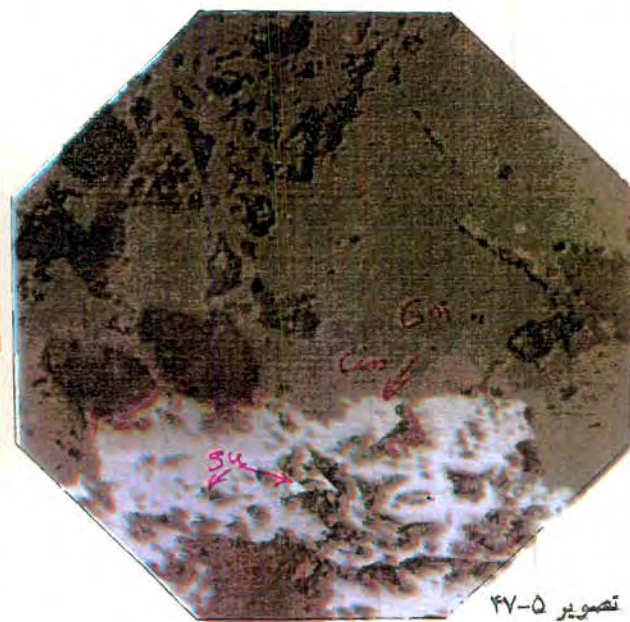
تصویر ۴۶-۵



تصویر ۴۰-۵



تصویر ۴۸-۵



تصویر ۴۷-۵

تصویر ۴۵-۵-قطعات کانه Op (سیناپر رنگ قرمز در مرکز تصویر ، اندازه قطعات متفاوت و نرمه زیادی ایجاد شده است .) ($\times 200$)

تصویر ۴۶-۵-قطعات شامل سیناپر درگیر با گانگ Gn بعلاوه Cin ($\times 100$)

تصویر ۴۷-۵-ادخالهای پیریت - مارکاسیت Py (در زمینه سیناپر Cin درگیر با گانگ Gn) ($\times 200$)

تصویر ۴۸-۵-درگیر سیناپر با گانگ (کانه گانگ دو نوع است) ($\times 100$)

نتایج شمارش : در شمارش انجام شده ۲۹۲ مورد فقط قطعات گانگ ، ۲۸ مورد قطعات درگیر کانه و گانگ و ۱۹ مورد قطعات آزاد کانه میباشد (تصویر ۴۹-۵) .
 قطعات آزاد شمارش شده بعضاً حاوی ادخالهای مارکاسیت میباشند .
 قطعات درگیر شمارش شده حاوی قطعات کرومیت نیز میباشند .
 درگیری سینابر و گانگ عموماً بصورت پوششی (Coating) است .

: فونف A+100

تشکیل دهنده ها : سینابر ، کرومیت ، استیبنیت ، پیریت - مارکاسیت ، اکسید و ئیدروکسیدهای آهن ، کانیهای شفاف .
 کانیهای درگیر شامل : (سینابر + گانگ) ، (کرومیت + گانگ) ، (پیریت - مارکاسیت + گانگ) ، (اکسید و ئیدروکسیدهای آهن + گانگ) .
 اندازه ها : اندازه قطعات درگیر فراوان سینابر حدود ۱۰۰ میکرون ، اندازه قطعات کرومیت درگیر حدود ۵۰ میکرون و اندازه قطعات مارکاسیت درگیر کمتر از ۵۰ میکرون است .
 نتایج شمارش : در شمارش انجام شده ۳۲۷ مورد قطعات گانگ ، ۱۱ مورد قطعات درگیر کانه با گانگ و ۲۲ مورد قطعات آزاد کانیهای کدر مشاهده میشود که یک مورد آن کرومیت و یک مورد آن نیز استیبنیت است (تصاویر ۵۰-۵ و ۵۱-۵) .

فهوفه A+200

تشکیل دهنده ها : سیناپر ، کرومیت ، استیبنیت ، پیریت - مارکاسیت ، ترکیبات آهن (شامل گوتیت) گانگ .

قطعات درگیر : (سیناپر + گانگ) ، (سیناپر + مارکاسیت) ، (مارکاسیت + گوتیت) ، (مارکاسیت + گانگ) .

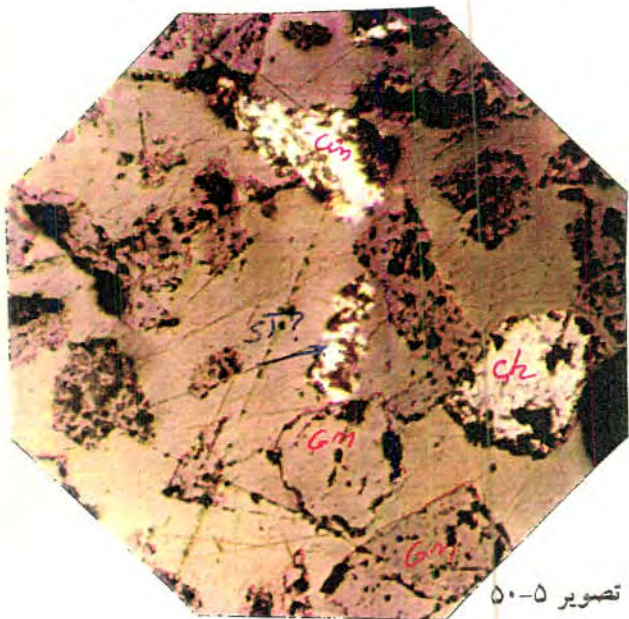
اندازه ها : اندازه قطعات درگیر کانیهای کدر عمدتاً شامل سیناپر حدود ۴۰ میکرون است .

نتایج شمارش : در شمارش انجام شنده ۳۵۳ مورد قطعات گانگ ، ۶ مورد قطعات درگیر با گانگ که یک مورد آن مربوط به پیریت درگیر با گانگ است و ۳۸ مورد قطعات آزاد از کانیهای کدر که ۳۳ مورد آن سیناپر ، ۲ مورد آن پیریت و ۳ مورد آن استیبنیت است .

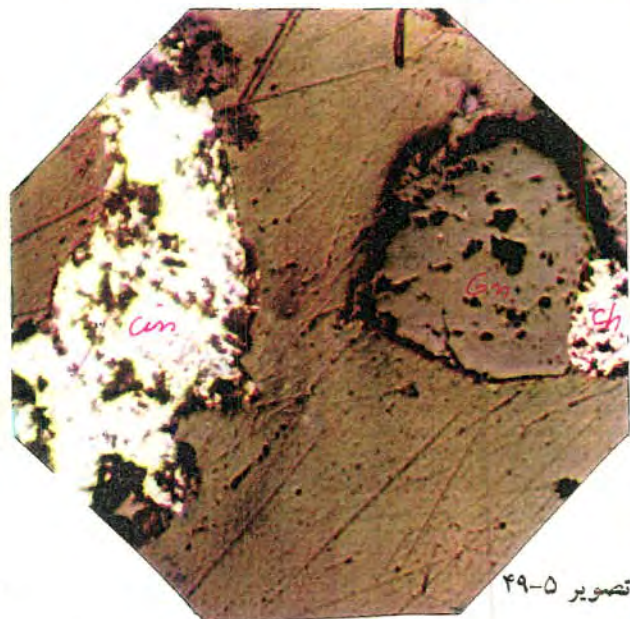
استیبنیت درگیر مشاهده نمیشود .

سیناپر حاوی ادخالهای ریز مارکاسیت است .

کرومیت در این دانه بندی تماماً آزاد بوده و قطعات آن شمارش نشده است (تصویر ۵۲-۵) .



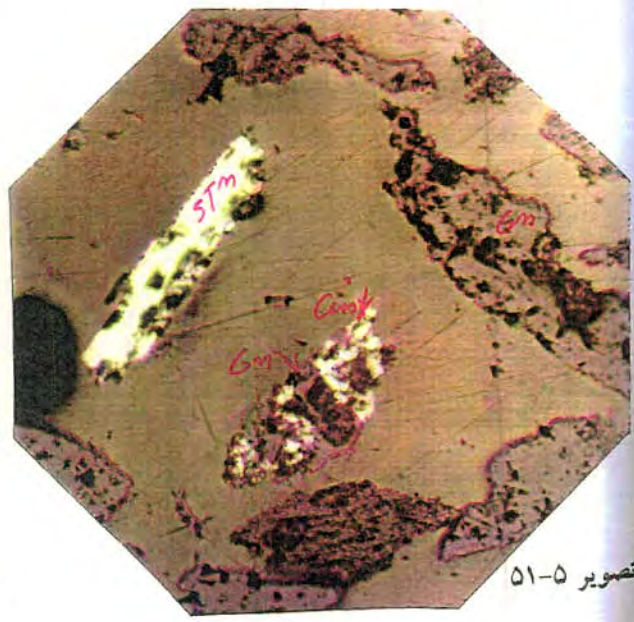
تصویر ۵۰-۵



تصویر ۴۹-۵



تصویر ۵۲-۵



تصویر ۵۱-۵

تصویر ۴۹-۵- سیناپر آزاد ، کرومیت Ch درگیر با گانگ Gn ($\times 100$)

تصویر ۵۰-۵- گرومیت Ch ، سیناپر Cin ، استینیت St ؟ بحال آزاد و مستقل از گانگ Gn ($\times 100$)

تصویر ۵۱-۵- استینیت بحال آزاد Stn ، سیناپر درگیر با گانگ Gn+Cin ($\times 100$)

تصویر ۵۲-۵- سیناپر Cin ، استینیت Stn و کرومیت Ch بحال آزاد و مستقل از گانگ Gn ($\times 100$)

فهنه A+275

تشکیل دهنده ها : سینابر ، کرومیت ، استیبنیت ، پیریت - مارکاسیت ، کانیهای شفاف (گانگ) .

کانیهای درگیر شامل : (سینابر + مارکاسیت) ، (سینابر + گانگ) .

اندازه ها : اندازه قطعات درگیر عمدتاً سینابر حدود ۳۰-۴۰ میکرون است .

نتایج شمارش : ۳۱۳ مورد گانگ ، ۳ مورد درگیر (یک مورد آن مارکاسیت است) ، ۱۹ مورد قطعات کدر آزاد (۱۵ مورد سینابر ، ۳ مورد استیبنیت ، ۱ مورد کرومیت) (تصویر ۰۵۳-۵) .

فهنه A+325

تشکیل دهنده ها : سینابر ، استیبنیت ، کرومیت ، پیریت - مارکاسیت ، کانیهای شفاف (گانگ) .

کانیهای درگیر شامل : (سینابر + مارکاسیت)

نتایج شمارش : ۳۲۴ مورد گانگ ، ۹ مورد سینابر آزاد ، ۷ مورد استیبنیت آزاد پیریت و کرومیت شمارش نشدند .

اندازه قطعات متفاوت است .

مقدار استیبنیت افزایش نشان میدهد .

تمامی قطعات سیناپر واستیبنیت آزاد میباشند (تصویر ۵۴-۵) .

نمونه : A-325

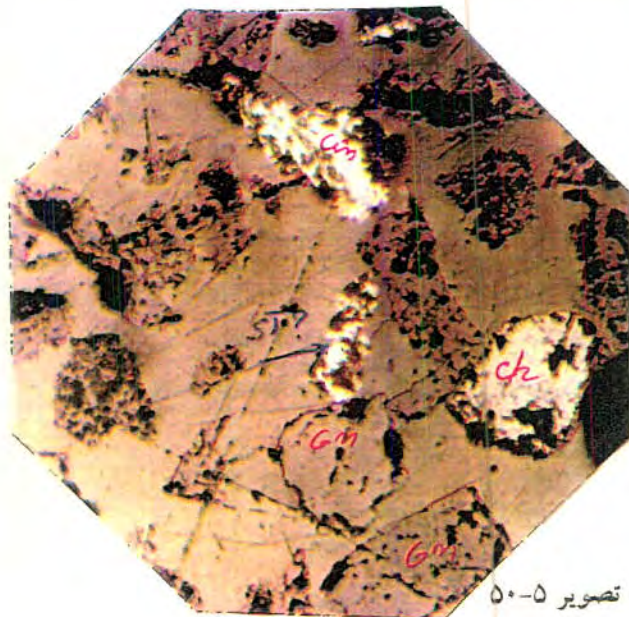
تشکیل دهنده ها : سیناپر ، استیبنیت ، کرومیت ، پیریت - مارکاسیت ، کانیهای شفاف (گانگ) .

قطعات دارای ابعاد نسبتاً " متفاوتی بوده و نرمه زیادی تشکیل شده است . اشکال ترانشه مانند زیاد دیده میشود . در این نمونه استیبنیت بخوبی قابل تشخیص بوده و مستقل از قطعات سیناپر است . جز درگیری پیریت با کانیهای گانگ و احتمالاً پیریت - مارکاسیت با سیناپر مورد دیگری وجود ندارد (تصاویر ۵۵-۵ و ۵۶-۵) .

۴-۴- تعیین درجه آزادی سیناپر :

بمنظور تعیین درجه آزادی سیناپر همانطور که قبلًاً ذکر گردید ۱۸ مقطع صیقلی و ۱۸ مقطع نازک حاصل از تجزیه سرندي دانه بندی شده سرپانتینیتها و برش های هیدروترمالی آسیا شده توسط آسیای میله ای مورد مطالعه دقیق قرار گرفت که نتایج حاصل از مطالعات فوق بشرح زیر است :

- زونهای درگیر در مقاطع یاد شده شامل سیناپر با گانگ ، کرومیت با گانگ ، پیریت با مارکاسیت با گانگ ، استیبنیت با گانگ .



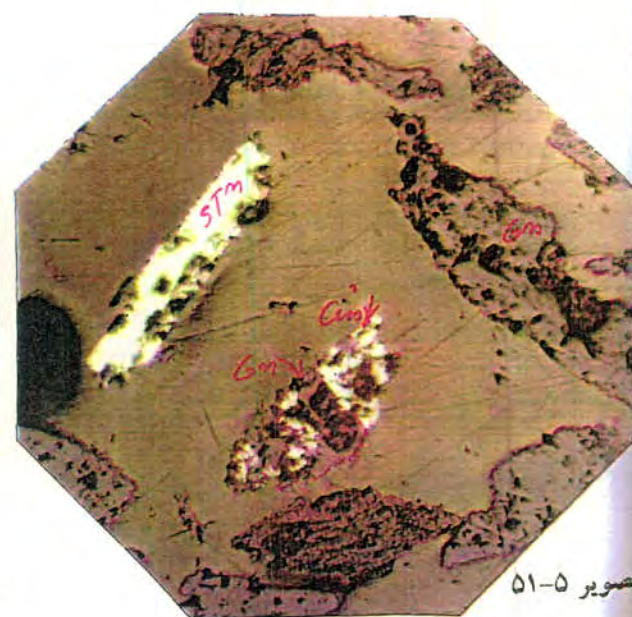
تصویر ۴۹-۵



تصویر ۵۰-۵



تصویر ۵۱-۵



تصویر ۵۲-۵

تصویر ۴۹-۵ - سیناپر آزاد ، کرومیت Ch در گیر با گانگ Gn ($\times 100$)

تصویر ۵۰-۵ - گرومیت Ch ، سیناپر Cin ، استیننیت St ؟ بحال آزاد و مستقل از گانگ Gn ($\times 100$)

تصویر ۵۱-۵ - استیننیت بحال آزاد Stn ، سیناپر در گیر با گانگ Gn+Cin ($\times 100$)

تصویر ۵۲-۵ - سیناپر Cin ، استیننیت Stn و کرومیت Ch بحال آزاد و مستقل از گانگ Gn ($\times 100$)

نحوه A+275

تشکیل دهنده ها : سیناپر ، کرومیت ، استیبنیت ، پیریت - مارکاسیت ، کانیهای شفاف (گانگ) .

کانیهای درگیر شامل : (سیناپر + مارکاسیت) ، (سیناپر + گانگ) .

اندازه ها : اندازه قطعات درگیر عمدتاً سیناپر حدود ۳۰-۴۰ میکرون است .

نتایج شمارش : ۳۱۳ مورد گانگ ، ۳ مورد درگیر (یک مورد آن مارکاسیت است) ، ۱۹ مورد قطعات کدر آزاد (۱۵ مورد سیناپر ، ۳ مورد استیبنیت ، ۱ مورد کرومیت) (تصویر ۵۲-۵) .

نحوه A+325

تشکیل دهنده ها : سیناپر ، استیبنیت ، کرومیت ، پیریت - مارکاسیت ، کانیهای شفاف (گانگ) .

کانیهای درگیر شامل : (سیناپر + مارکاسیت)

نتایج شمارش : ۳۲۴ مورد گانگ ، ۹ مورد سیناپر آزاد ، ۷ مورد استیبنیت آزاد پیریت و کرومیت شمارش نشدند .

اندازه قطعات متفاوت است .

مقدار استیبنیت افزایش نشان میدهد .

تمامی قطعات سینابر و استیبنیت آزاد میباشند (تصویر ۵۴-۵) .

نمونه : A-325

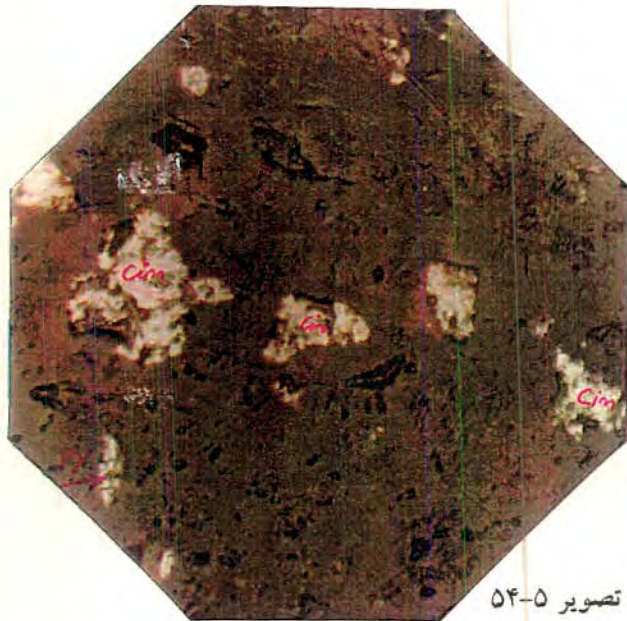
تشکیل دهنده ها : سینابر ، استیبنیت ، کرومیت ، پیریت - مارکاسیت ، کانیهای شفاف (گانگ) .

قطعات دارای ابعاد نسبتاً متفاوتی بوده و نرمه زیادی تشکیل شده است . اشکال ترانشه مانند زیاد دیده میشود . در این نمونه استیبنیت بخوبی قابل تشخیص بوده و مستقل از قطعات سینابر است . جز درگیری پیریت با کانیهای گانگ و احتمالاً پیریت - مارکاسیت با سینابر مورد دیگری وجود ندارد (تصاویر ۵۵-۵ و ۵۶-۵) .

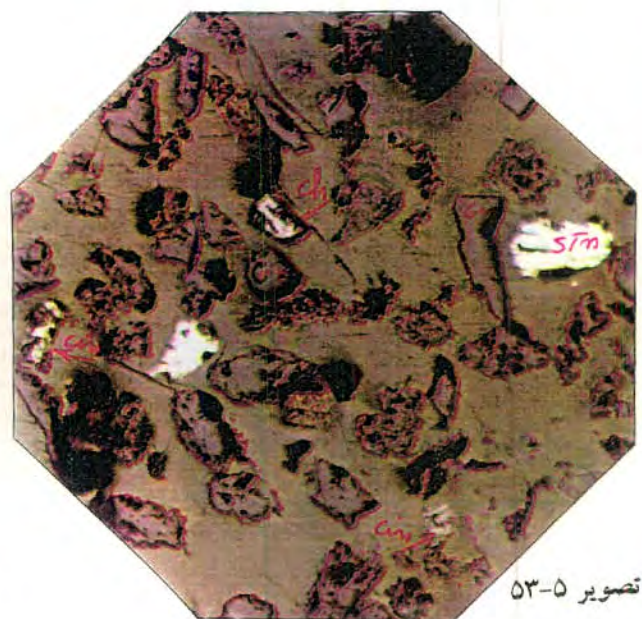
۴-۴- تعیین درجه آزادی سینابر :

بمنظور تعیین درجه آزادی سینابر همانطور که قبل " ذکر گردید ۱۸ مقطع صیقلی و ۱۸ مقطع نازک حاصل از تجزیه سرندی دانه بندی شده سربانیتیها و برش های هیدروترمالی آسیا شده توسط آسیای میله ای مورد مطالعه دقیقی قرار گرفت که نتایج حاصل از مطالعات فوق بشرح زیر است :

- زونهای درگیر در مقاطع یاد شده شامل سینابر با گانگ ، کرومیت با گانگ ، پیریت با مارکاسیت با گانگ ، استیبنیت با گانگ .



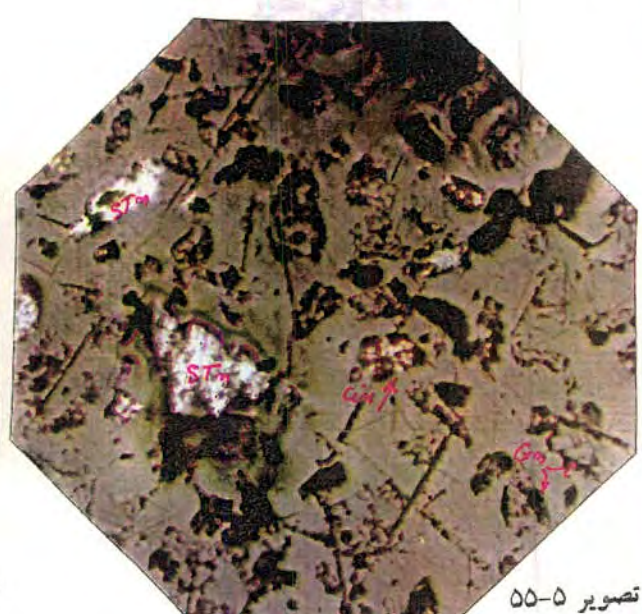
تصویر ۵۳-۵



تصویر ۵۴-۵



تصویر ۵۵-۵



تصویر ۵۶-۵

تصویر ۵۳-۵-قطعات کدر شامل سینابر Cin ، استینبیت Stn ، کرومیت Ch مستقل از گانگ Gn

($\times 100$)

تصویر ۵۴-۵-کانیهای کدر شامل سینابر و کمتر پیریت بهالت آزاد و مستقل از کانیهای گانگ ($\times 200$)

تصویر ۵۵-۵-قطعات سینابر Cin و استینبیت Stn بصورت مجزا و مستقل از کانیهای گانگ ($\times 200$)

تصویر ۵۶-۵-قطعات سینابر و استینبیت جدا و مستقل از کانیهای گانگ ($\times 100$)

- میزان درجه آزادی در نمونه های سرپا تینیت مینرالیزه در دانه بندی های مختلف پس از شمارش قطعات در گیر و آزاد مشخص گردیده که نتایج حاصل از مطالعات فوق در جدول شماره ۳-۵ و شکل ۱-۵ ارائه شده است. بر اساس این نتایج، به نظور دستیابی به درجه آزادی حدود ۱۰۰٪ برای سیناپر، خردایش نمونه سنگ معدنی میباشد تا حد ۱۵۰ میکرون (۲۰۰ مش) ادامه پیدا کند.

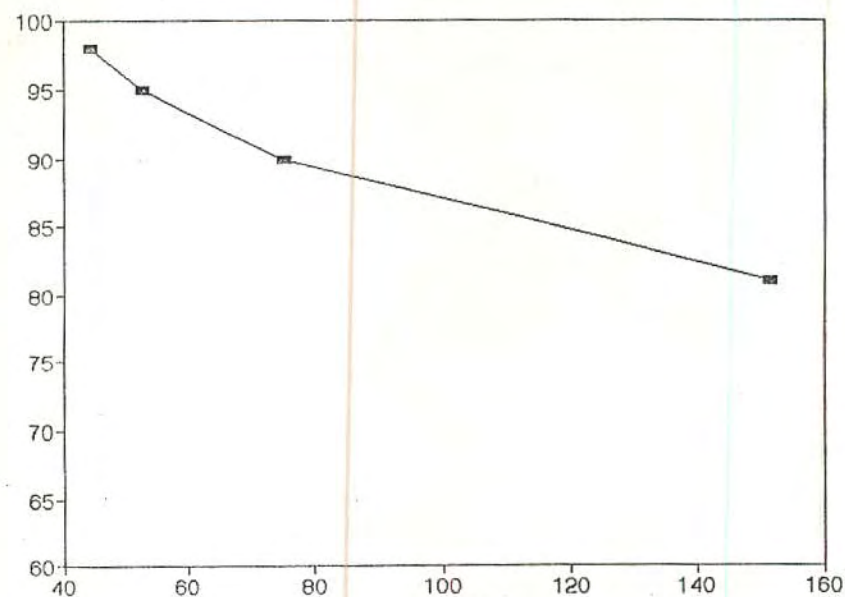
- میزان درجه آزادی در نمونه برش های هیدروترمالی به علت کمی عبار سیناپر چندان قابل استفاده نمیباشد ولی بطور کلی در ابعاد ۱۵۰ میکرون تمامی کانه های کدر بصورت آزاد بوده و هیچگونه درگیری خاص مشاهده نشده است.

جدول ۳-۵ - ارتباط درجه آزادی با دانه بندی های مختلف در سرپا تینیت مینرالیزه ۵۷-۵

درجه آزادی	اندازه به میکرون	اندازه به مش	شماره نمونه
۰	۱۶۸۰	۱۲	A-۱۲
۱۸	۸۴۰	۲۰	A-۲۰
۳۸	۶۰۰	۳۰	A-۳۰
۵۸	۲۵۰	۶۰	A-۶۰
۸۰	۱۵۰	۱۰۰	A-۱۰۰
۹۰	۷۵	۲۰۰	A-۲۰۰
۹۰	۵۳	۲۷۵	A-۲۷۵
۹۸	۴۴	۳۲۵	A-۳۲۵

نسبت درجه آزادی به اندازه قطعات

درجه آزادی به حسنه



اندازه قطعات به میکرون

شکل ۱-۵- ارتباط بین درجه آزادی و اندازه ذرات

۵-۵- آزمایش‌های انجام شده:

بر مبنای نتایج حاصل از مطالعات میکروسکوپی برای دستیابی به درجه آزادی مناسب لازم است سنگ معدنی تا ابعاد کوچکتر از ۱۵۰ میکرون خرد شود. لذا نمونه‌های متعددی در زمانهای مختلف توسط آسیای میله‌ای خرد شد و محصول خرد شده توسط سرند ۱۵۰ میکرون طبقه بندی شد. نتایج این آزمایشها در جدول ۴-۵ نشان داده شده است.

با توجه به نتایج حاصل از آزمایشها ملاحظه میشود حدود ۶۳٪ دانه‌های کانسنگ معدنی پس از ۱۰ دقیقه آسیا توسط آسیای میله‌ای از سرند ۱۵۰ میکرون عبور میکنند. افزایش زمان آسیا راندمان عملیات را بهبود میبخشد ولی مقدار نرمه تولید شده در خلال فرآیند را افزایش میدهد. بطوریکه ملاحظه میشود برای رساندن ابعاد کلیه دانه‌های کانسنگ معدنی به ۱۵۰ میکرون حدود ۲۱ دقیقه زمان لازم است ولی در این حالت مقدار نرمه تولید شده نیز بنحو چشمگیری افزایش می‌یابد. با توجه به نتایج حاصل از یافته‌های این مرحله از مطالعات ملاحظه میشود افزایش زمان آسیا در مراحل پایانی تاثیر چندانی بر راندمان عملیات نداشته بطوریکه افزایش زمان آسیا از ۱۸ دقیقه به ۲۱ دقیقه فقط حدود ۱٪ درصد حجم دانه‌های عبور کرده را افزایش داده است که این امر از نظر اقتصادی توصیه پذیر نیست.

زمان تهیه لازم برای خردایش کانسنگ معدنی زمانی است که حدود ۸۵ درصد دانه‌ها از سرند ۱۵۰ میکرون عبور کنند. این زمان با توجه به نتایج مطالعات اولیه بین ۱۰ تا ۱۵ دقیقه خواهد بود که در ادامه مطالعات طرح و در مراحل پیشرفتی تر مطالعات فرآوری تعیین خواهد شد.

جدول ۴-۵: ارتباط بین درجه آزادی و مدت زمان خردایش

عبور از سرند ۱۵۰ میکرون		باقیمانده روی سرند ۱۵۰ میکرون		زمان خردایش
(٪)	وزن (گرم)	(٪)	وزن (گرم)	(دقیقه)
۶۳/۲	۶۳۲	۳۶/۸	۳۶۸	۱۰
۹۹/۸	۹۸۰	۰/۲	۰	۱۸
۹۹/۹	۹۹۹	۰/۱	۰	۲۱

بمنظور بررسی قابلیت جدایش سینابر از گانگ همراه نمونه های عبور کرده از سرنند ۱۵۰ میکرون مجدداً توسط سری سرندهای آزمایشگاهی دانه بندی شد تا طیف دانه بندی نمونه عبور کرده از سرنند ۱۵۰ میکرون و درصد وزنی هر دانه بندی در نمونه مادر مشخص شود . در ادامه مطالعات هر یک از طبقات دانه بندی محدود تر تحت آرایش قرار گرفتند . با توجه به وزن مخصوص کانسنگ معدنی و باطله همراه آن نخستین شیوه برای آرایش کانسنگ معدنی استفاده از روشهای ثقلی انتخاب شد و با توجه به مایعات سنگین موجود در بازار و بررسی چندین نمونه از آنها نهایتاً مایع سنگین برموفرم با چگالی ۲/۸۹ جوست ادامه مطالعات انتخاب و طبقات مختلف دانه بندی شده کانسنگ با این مایع تحت آرایش قرار گرفت . بعلت وجود نرمه در بخشهای دانه ریز طبقات مختلف دانه بندی این بخش از کانسنگ معدنی توسط هیدروسیکلون نرمه گیری شد . حد جدایش دانه ها در این فرآیند ۱۵ میکرون بود . در بخش های مختلف تجزیه سرنادی نیز بخش عبور کرده از سرنند ۴۰۰ میکرون (۳۸ میکرون) با توجه به اینکه حاوی مقدار قابل توجهی نرمه بود از آزمایشهای مایع سنگین حذف شد . در این مرحله از مطالعات طبقات مختلف دانه بندی تحت آرایش قرار گرفت . جدول ۵-۵ نتایج حاصل از تجزیه سرنادی نمونه معرف وجد اول ۶-۵ الی ۹-۵ نتایج حاصل از مطالعات فرآوری را نشان میدهد . بطوريکه ملاحظه میشود عيار جيوه در خلال اين بخش از مطالعات از حدود ۳ درصد متجاوز از ۷۲ درصد افزایش یافته است که اين امر بيانگر كارآرائي بسيار مفيد و مؤثر روشهاي ثقلی برای فرآوری کانسنگ معدنی است . با توجه به جمع بندی نتایج حاصل از مطالعات فرآوری (جدول شماره ۱۰-۵) ملاحظه میشود با استفاده از روش واسطه سنگين ميتوان ۸۳ درصد جيوه محتوى کانسنگ معدنی

را با موفقیت و با صرف هزینه کم فرآوری نمود و عیار ماده معدنی از حدود ۳ درصد به ۶۴ درصد افزایش داد . واين در حالی است که عيار جيوه در بخش باطله فقط ۰/۵ درصد خواهد بود . با توجه به نتایج حاصل از مطالعات آزمایشگاهی بنظر ميرسد روش ثقلی بعنوان يك روش اقتصادي در فرآوری کانسنگ جيوه خانگلی ماکو مورد استفاده قرار گيرد .

جدول ۵-۵ : نتایج حاصل از تجزیه سرندي نمونه معرف

ردیف	ابعاد دانه ها	وزن (گرم)	درصد وزنی
۱	-۱۰۰+۱۰۰	۱۳۵/۱	۱۳/۰۱
۲	-۱۰۰+۷۵	۳۱۹/۷	۳۱/۹۷
۳	-۷۵+۴۵	۱۴۱/۱	۱۴/۱۱
۴	-۴۵+۳۸	۴۰۴/۱	۴۰/۴۱
جمع		۱۰۰۰	۱۰۰

جدول ۵-۶- نتایج حاصل از فرآوری دانه بندی ۱۰۰+۱۰۰-۱۵۰

میکرون سرپانتینیت مینرالیزه

ردیف	شرح	واحد	نمونه اولیه	محصول شناور شده	محصول غوطه ورشده
۱	وزن	گرم	۱۳۰/۱	۱۲۰/۶	۴/۰
۲	عيار جیوه	درصد	۱/۸۸	۰/۱۹	۰۰/۹۴
۳	توزیع جیوه	درصد	--	۰/۸۰	۷/۸۴

جدول ۵-۷- نتایج حاصل از فرآوری دانه بندی ۱۰۰+۷۵

میکرون سرپانتینیت مینرالیزه

ردیف	شرح	واحد	نمونه اولیه	محصول شناور شده	محصول غوطه ورشده
۱	وزن	گرم	۳۱۹/۷	۳۰۸/۵	۱۱/۲
۲	عيار جیوه	درصد	۲/۱۱	۰/۱۴	۰۶/۴۳
۳	توزیع جیوه	درصد	--	۱/۲۸	۲۱/۶۱

جدول شماره ۸-۸- نتایج حاصل از فرآوری دانه بندی $75+45$

میکرون سرپاپتینیت مینرالیزه

ردیف	شرح	واحد	نمونه اولیه	محصول شناور شده	محصول غوطه ور شده
۱	وزن	گرم	۱۴۱/۱	۱۳۰/۱	۶
۲	عيار جیوه	درصد	۳/۲۲	۰/۵۱	۶۴/۵۹
۳	توزيع جیوه	درصد	--	۲/۳۶	۱۳/۲۰

جدول ۹-۵- نتایج حاصل از فرآوری دانه بندی $45+38$

میکرون کانسنگ معدنی

ردیف	شرح	واحد	نمونه اولیه	محصول شناور شده	محصول غوطه ور شده
۱	وزن	گرم	۴۰۴/۱	۲۸۸	۱۶/۱
۲	عيار جیوه	درصد	۳/۸۱	۰/۹۲	۷۳/۳۹
۳	توزيع جیوه	درصد	--	۱۲/۲۱	۴۰/۴

جدول ۱۰-۵- جمع بندی نتایج حاصل از مطالعه فرآوری
بروش ثقلی

ردیف	شرح	واحد	نمونه اولیه	محصول شناور شده	محصول غوطه ورشده
۱	وزن	گرم	۱۰۰	۹۶۲/۲	۳۷۸
۲	عيار جیوه	درصد	۲/۹۲	۰/۰۱	۶۴/۳
۳	توزيع جیوه	درصد	--	۱۶/۹	۸۳/۱

با تعمیم نتایج حاصل از مطالعات فرآوری مایعات سنگین استفاده از سایر روش‌های ثقلی نظیر میز وجیگ نیز در فرآوری این کانسار میتواند مورد بررسی قرار گیرد. اساس همه این روشها بر مبنای اختلاف وزن مخصوص کانسنگ و باطله پسی ریزی شده است. عملیات فرآوری انجام شده برای نمونه اخذ شده از برش هیدروترمالی نیز با توجه به درجه آزادی آن که کاملاً مشابه نمونه اخذ شده از توده سنگی بود نتایج تقریباً مشابهی را حاصل نمود. با این تفاوت که چون عیار کانه در نمونه اولیه کم بود عیار محصول فرآوری شده نیز به همان نسبت کم میباشد. بدینهی است در ادامه مطالعات فرآوری در مقیاس Bench scale و Pilot scale با اخذ نمونه های حجمی تر و انجام مطالعات با کلیه

روشهای ثقلی و حتی روش فلوتاسیون باستی ارزیابی اقتصادی در بین روشهای مختلف بعمل آید و از میان آنها مناسبترین واقعیت اقتصادی ترین روش که با طبیعت کانسار در مقیاس صنعتی نسیز هم خوانی داشته باشد انتخاب شود.

۶-۵: نتایج حاصل از مطالعه فرآوری کانسار و پیشنهاد برای ادامه مطالعات

- حداقل درجه آزادی کانسنگ معدنی در دانه بندی $100\text{ }\mu\text{m}$ است در صورت ادامه خردایش کانسنگ معدنی به منظور افزایش درصد وزنی بخش عبور کرده از سرند $100\text{ }\mu\text{m}$ میکرون مقدار نرمه افزایش یافته و مشکلاتی را در خلال فرآیند ایجاد میکند.

- نتیجه حاصل از تعزیز سرندی نمونه های عبور کرده از سرند $100\text{ }\mu\text{m}$ میکرون نشان میدهد که قسمت اعظم دانه های عبور کرده از سرند $400\text{ }\mu\text{m}$ نرمه بسوده و بایستی از مقدار فرآوری خارج شوند.

- استفاده از هیدروسیکلون بمنظور نرمه گیری و افزایش راندمان عملیات بخصوص در دانه بندی های ریز تو صیه میشود:

- با استفاده از روشهای ثقلی به راندمان مطلوبی (83 درصد) برای جدایش کانه از باطله همراه آن میتوان دست یافت.

- با توجه به پیشرفت های موجود در زمینه فرآوری کانسار های جیوه استفاده از میز نرمه بمنظور افزایش درصد بازیابی ماده معدنی و افزایش راندمان میتوان امیدوار بود.

- در خلال مطالعات فرآوری انجام شده در مقیاس آزمایشگاهی عیار سنگ معدنی از حدود سه درصد به ۶۴ درصد افزایش یافت. انجام این فرآیند با استفاده از روش‌های ثقلی که هزینه کمی نیز دارند امکان پذیر است.

- مطالعات انجام شده نشان میدهد که فرآوری کانسار جیوه خانگی در مقیاس آزمایشگاهی با راندمان مطلوب امکان پذیر است ولی برای تضمین اقتصادی ترین شیوه آرایش سنگ معدنی بایستی در مطالعات مرحله bench و pilot موجود ارزیابی اقتصادی قرار گرفته و روش تهیه فرآوری از میان آنها انتخاب شود.

فصل ششم

نتیجه گیری و پیشنهادها



۶- نتایج و پیشنهادات

همچنانکه در فصل اول ذکر گردید تاکنون مجموعه مطالعات اکتشافی وزمین شناسی در مراحل پتانسیل یابی و آثار یابی مواد معدنی ، اکتشاف مقدماتی ، اکتشاف نیمه تفصیلی و اکتشاف تفصیلی در محدوده اکتشافی خان گلی ماکو انجام گرفته و اطلاعات کاملی در خصوص ساختار زمین شناسی ، رُنگ و نحوه تشکیل ذخیره جیوه ، ژئوشیمی و تغییرات عیار در رخنمون های سطحی (ترانشه های اکتشافی حفر شده در مراحل نیمه تفصیلی و تفصیلی) بدست آمده است ، لیکن کاستی های نیز از نظر اطلاعات عمقی نظیر گسترش عمقی ذخیره و شکل کاسیار در ترازهای پائین تر وجود دارد .

بطور کلی نتایج حاصل از مطالعات اکتشافی وزمین شناسی در مراحل نیمه تفصیلی و تفصیلی بشرح زیر میباشد :

۱- محدوده اکتشافی در زون افیولیتی خروی - ماکو واقع شده است . این افیولیتها در جایگاه تکتونیکی کمربند آلپ - هیمالیا قرار دارند . واحدهای لیتولوژیک موجود در این محدوده شامل سرپانتینیتهای برشی ، ولکانیک کنگلومرای آندزیتی ، شیلهای رادیولاریتی ، کنگلومرا ، شیل - مارن و ماسه سنگ میباشند که معمولاً تحت تاثیر تکتونیک شدید و محلولهای گرمابی آلتره شده اند . عملکرد سیالات گرمابی والتراسیون در روندهای گسله به اوج خود رسیده بطوریکه سنگهای دگرسانی با ماهیتی بسیار متفاوت از سنگ اولیه ایجاد کرده است . سه سیستم شکستگی به ترتیب با راستاهای شمالغربی - جنوبشرقی ، شمالی - جنوبی و شرقی - غربی شناخته شده که سیستم اصلی (با گسل های معکوس و

رانده خود) کانی زائی و آلتراسیون را کنترل میکند. در این میان گسلهایی که دارای شبب بسمت SW میباشند، حائز اهمیت زیادی هستند.

۲- کانی زائی مورد بحث در یک سیستم اپی ترمال (درجه حرارت پائین و فشار کم) صورت گرفته و به حافظ متالوژنی در گروه ذخایر جیوه "تیپ سریانتینی" قرار میگیرد. آلتراسیون شدید سیلیسی با اختصاصات ژاپنی این کانی زائی را همراهی میکند. بطصور کلی مجموعه کانیهای کوارتز، کریستوبالت، فازهای آمورف سیلیس، اکسیدهای آهن (عمدتاً گوتیت، لیمونیت و بندرت هماتیت) کانیهای رسی (مونت موریلونیت و کائولن)، کلریت، هورنبلند و تالک در زونهای آلترا یافت میشود که در حقیقت کانیهای کانگ ماده معدنی محسوب میشوند کانه های معدنی تشکیل دهنده ذخیره شامل سینابر، پیریت، مارکازیت و بمقدار بجزئی استیبنیت و اولیئیست میباشد. استیبنیت بصورت ادخالهای داخل سینابر جای دارد. علاوه بر کانه های یاد شده، کانه های کرومیت، روتنیل و اکسیدهای آهن نیز حضور دارند. کانه های کرومیت و روتنیل مربوط به لیتولوژی سنگ درونگیر ماده معدنی بوده و هیچ ارتباطی با کانی زائی ندارند.

۳- کانی زائی جیوه در ناحیه خان گلی ماکو متعاقب فعالیت ماقمایی الیکومیوسن تا پلیوسن و در نتیجه کنش وری (Reactivation) کمپلکس افیولیتی ناحیه توسط فرآیندهای حاصل از این فعالیت ماقمایی در روندهای گسله و شکستگیها روی داده است. لذا سن کانی زائی را میتوان به اوآخر پلیوسن و یا پلئیستوسن (?) نسبت داد.

۴- بر اساس اطلاعات بدست آمده از ترانشه های عمیق اکتشافی میتوان گفت که تمرکز و کانی زائی سینابر به دو فرم کلی در محدوده اکتشافی صورت گرفته است:

الف- بصورت پراکنده در متن رگه های نازک سیلیسی و برش های هیدروترمالی (واحد Si) ، این بخش از کانسنگ ، بخش عیار پائین کانسنگ را تشکیل میدهد .

ب- بصورت توده ای (Massive) و پرکننده فضاهای خالی در امتداد گسله های از نوع معکوس ورانده که از نوع کانسنگ پر عیار محسوب می شود . تعداد ۵ رگه از فرم اخیر کانی زائی شناخته شده است . از ۵ رگه مذبور ، ۴ رگه در ارتباط نزدیک با هم بوده و در جنوبغرب محدوده اکتشافی واقع هستند . این رگه ها در هم بری سرپا نتیجه برشی با شیل و مارن های پالوسن و واحد درهم افیولیتی (ملاتژ) تشکیل شده اند . رگه چهارم در شمال محدوده اکتشافی ودر هم بری گسل اصلی منطقه با زون برشی هیدروترمالی (واحد Si) قرار دارد .

۵- آنالیز شیمیائی جیوه یکی از مشکلات اساسی در پیروزه اکتشافی حاضر می باشد و این مسئله در مورد تمام پیروزه هایی که با سنجش و اندازه گیری جیوه سرپا کار دارند ، صادق است . اصولاً " جیوه عنصری است که به دلیل ماهیت شیمیائی و فیزیکی خاص بخود ، تعیین عیار و سنجش آن در نمونه ها با خطای بالائی همراه است . بخشی از این خطاهای مربوط به مرحله آماده سازی نمونه ، بخش دیگر مربوط به خطای آنالیز دستگاهی می باشد . با توجه به تجربه این مهندسین مشاور در زمینه ارسال نمونه به آزمایشگاه های مختلف ، علاوه بر مشکلات موجود در زمینه دقت آنالیز (تکرار آزمایش با نتایج مشابه) ، رسیدن به صحت آنالیز (مقدار واقعی جیوه موجود در نمونه) نیز همواره مسورد تردید است . این مسائل در هر سه مرحله اکتشاف مقدماتی ، نیمه تفصیلی و تفصیلی بنوعی یک عامل منفی در پیشبرد برنامه اکتشافی بوده است . بطور یکه تعدادی از آزمایشگاه های معتبر داخلی از

قبول آنالیز جیوه سرباز زدند و در بقیه موارد هم که نمونه ها مورد آنالیز قرار گرفتند، خطاهای بالائی (بنخصوص در مرحله اکتشاف مقدماتی و نیمه تفصیلی) بروز کرد. علاوه بر مشکلات یاد شده، عدم تجربه کافی آزمایشگاههای داخلی در زمینه آنالیز جیوه نیز مزید بر علت است.

۶- در رابطه با عیار کانسنگ ها باید گفت که در بخش کم عیار ذخیره (فرم پراکنده کانی زائی) متساقنه مقادیر گزارش شده با شواهد قابل مشاهده در ترانشه ها مطابقت نمیکند. برای مثال عیار جیوه در نمونه های Mp-LG-04 ، Mp-LG-03 ، Mp-LG-02 ، Mp-LG-01 که از زون مینرالیزه واقع در شمال محدوده اکتشافی (ترانشه T1) برداشت شده اند به ترتیب : ۲۸/۰ ، ۲۷۴ ، ۱۳۰ و ۳۲ گرم در تن گزارش شده است. در حالیکه کانه های سینابر در تمام نمونه های فوق الذکر بخوبی قابل مشاهده است، علی الخصوص در نمونه شماره Mp-LG-02 که از یک رگه نسبتاً پر عیار برداشت شده است. در رابطه با رگه های پر عیار، آنالیز چهار نمونه T2A-LG-03 ، Mp-LG-08 ، BH10-LG-01 و T2A-LG-02 به ترتیب عیارهای ۵/۶۲ درصد ، ۴/۲ درصد و ۶/۴۲ درصد و ۳/۸۷ درصد را بدست داده است که عیارهای قابل توجهی محسوب میشوند.

۷- مطالعات فرآوری سینابر در مقیاس آزمایشگاهی بر روی نمونه اخذ شده از رگه های پر عیار انجام گرفت که حاکی از بازیابی سینابر به میزان ۸۳٪ به روش ثقلی میباشد.

۸- علیرغم اطلاعات بدست آمده در زمینه زمین شناسی کانسار، شکل گسترش و پراکنده گی ماده معدنی، متساقنه در حال حاضر محاسبه ذخیره ماده معدنی بنا به دو دلیل عمده امکان پذیر نیست. دلیل اول ماهیت ماده معدنی از نظر شکل و گسترش آن میباشد.

همانطوریکه قبل از بطور مفصل بحث گردید کانی زائی بدو فرم پراکنده و کم عیار و رگه - رگه ای (پرعيار) تشکیل شده است . گسترش سطحی کانی زائی پراکنده بخوبی قابل مشاهده بوده و نقشه برداری شده است . با توجه به اینکه این زونها توسط گسله ها محدود شده و مشخصات تکتونیکی گسله های یاد شده نیز برداشت شده است ، لذا گسترش و شکل عمقی آن قابل محاسبه است ، چنانچه در پروفیل های ترانشه های اکتشافی نشان داده شده است ، لیکن بدليل اینکه حفاری گمانه های اکتشافی در این مرحله میسر نگردید ، لذا اطلاعاتی در زمینه تغییرات عیار در ترازهای پائین قریب ندارد . بخصوص اینکه بر طبق مدل کانی زائی ارائه شده وجود رگه - رگه های پرعيار در ترازهای پائین این زونها متحمل است . نکته قابل ذکر دیگر اینکه این زونها از برشهای هیدرولیکالی نرم و متخلخل تشکیل یافته است که مغزه گیری با ضریب بازیافت مناسب در آن بسیار امکان پذیر است . در مورد رگه های پرعيار نیز با توجه به ضخامت کم (عموماً ۵-۲۰ سانتیمتر) و کنترل آنها با گسلهایی که خود شدیداً تغییر جهت میدهند ، امکان ردیابی آنها در عمق با حفاری گمانه اکتشافی بسیار بعید بمنظور میرسد . علاوه بر آن وضعیت رگه ها بگونه ای است که در بعضی موارد قبل از رسیدن به سطح زمین بسته میشوند ، بنابراین تمام رگه ها در سطح زمین رخنمون نداشته و برای شناسائی آنها نیاز به ادامه عملیات روبرداری و احداث ترانشه در محلوده اکتشافی میباشد .

با توجه به نتایجی که تاکنون بدست آمده موارد زیر پیشنهاد میگردد :

- اجرای عملیات اکتشافی در گستره طرح همواره با مسائل و مشکلات امنیتی ، سیاسی و اجتماعی همراه بوده است . بدیهی است بدون رفع مشکلات مزبور امکان ادامه عملیات

اکتشافی فراهم نخواهد شد . بطوریکه در مقاطعی از اجرای طرح بعلت بروز مسائل امنیتی و اجتماعی عملیات متوقف وبا تاخیرهای زمانی طولانی مجدد آغاز شده است . لذا اتخاذ تدابیر لازم در مورد رفع مزاحمت های ایجادشده از سوی عشایر وهمچنین همراهی و همگامی ارگانهای انتظامی مستقر در منطقه با تیمهای اکتشافی از ضروریات ادامه مطالعات مهندسی طرح است .

۲- راه دسترسی به محدوده اکتشافی از ابتدای جاده خاکی خان گلی (از آبادی شاه بنده لو تا محدوده اکتشافی) نیاز اساسی به مرمت و در مواردی بازسازی دارد . در حال حاضر تردد در محور مزبور بخصوص در فصول بارندگی به سختی صورت میپذیرد .

۳- در بخش هایی از محدوده اکتشافی با توجه به نقشه زمین شناسی ۱/۵۰۰ وزیر نظر کارشناس اکتشاف عملیات ترانشه زنی و روبرداری جهت آشکار سازی رگه های احتمالی سینابر انجام پذیرد .

۴- در حال حاضر بنظر میرسد که مناسبترین وبهترین روش اکتشافی ، اکتشاف حین استخراج میباشد . به این ترتیب که استخراج سینابر از رگه های پرعیار با در نظر گرفتن دیدگاههای اکتشافی وزیر نظر مهندس اکتشاف صورت بگیرد . ماده معدنی استخراج شده میتواند در محل مناسبی دپو گردد واز پیشیفت حاصل از باطله برداری در امتداد رگه ها ، میتوان در مورد وضعیت امتداد ، تغییر ضخامت و تغییر عیار رگه ها اطلاعاتی را بدست آورد .

فهرست منابع

الف - منابع فارسی :

- ۱- اداره کل معدن و فلزات استان آذربایجان غربی ، ۱۳۷۱ : طرح پی جوئی مقدماتی مواد معدنی منطقه سیه چشمہ ماکو .
- ۲- افتخار نژاد ، جمشید ، ۱۳۵۹ : تفکیک بخش‌های مختلف ایران از نظر وضع ساختمانی در ارتباط با حوضه‌های رسویی ، نشریه انجمن نفت شماره ۸۲ .
- ۳- امامعلی پور ، علی ، ۱۳۷۳ : بررسی زمین شناسی ، ژئوشیمی و کانی سازی جیوه و عنصر وابسته در منطقه سیه چشمہ ماکو ، رساله کارشناسی ارشد ، دانشگاه شهید بهشتی ، دانشکده علوم زمین .
- ۴- پارسائی ، حیدر و همکاران ، ۱۳۶۸ : طرح اکتشاف جیوه صائم دز - تکاب ، گزارش نهائی مؤسسه تحقیقات و کاربرد مواد معدنی ایران .
- ۵- پدرامی ، منوچهر ، ۱۳۶۵ : نظری اجمالی بررسی بازالت‌های ماکو ، سازمان زمین شناسی کشور ، تهران ، گزارش داخلی .
- ۶- تدین اسلامی ، ابوالحسن ، ۱۳۵۸ : استفاده از روش‌ها و محاسبات آماری در ژئوشیمی کاربردی ، سازمان زمین شناسی کشور .
- ۷- حسنی پاک ، علی اصغر ، ۱۳۶۲ ، اصول اکتشافات ژئوشیمیائی ، مرکز نشر دانشگاهی .

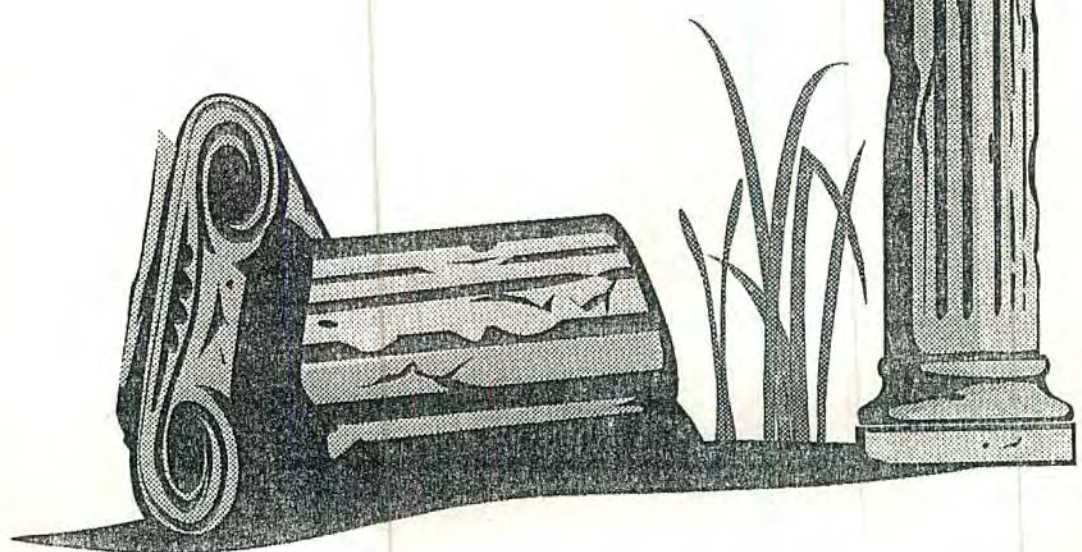
- ۸- دفتر مطالعات بازار شرکت مینرال اکسپورت ، نشریه بازار جهانی فلزات غیر آهنی (ترجمه مجله Metal Bulletin)
- ۹- سازمان برنامه و بودجه ، استان آذربایجان غربی ، ۱۳۷۴ ، آمارنامه استان آذربایجان غربی .
- ۱۰- کاوشنگران ، مهندسین مشاور ، ۱۳۶۸ : مطالعه پتانسیل یابی مواد معدنی در منطقه جنوبغربی ماکو .
- ۱۱- کاوشنگران ، مهندسین مشاور ، ۱۳۷۲ : گزارش طرح اکتشاف مقدماتی جیوه سیه چشممه ماکو .
- ۱۲- کاوشنگران ، مهندسین مشاور ، ۱۳۷۳ : گزارش اکتشاف نیمه تفصیلی جیوه و عناصر وابسته در منطقه خانگلی ماکو .
- ۱۳- کریم پور ، محمد حسن ، ۱۳۶۸ : زمین شناسی اقتصادی کاربردی ، انتشارات جاوید .
- ۱۴- مدنی ، حسن ، ۱۳۷۳ : مبانی زمین آمار ، مرکز نشر دانشگاه صنعتی امیر کبیر
- ۱۵- مر ، فرید و همکار (ترجمه از میسون) ، ۱۳۷۱ : اصول ژئوشیمی انتشارات دانشگاه شیراز

ب - منابع لاتین :

- 16) Barnes, H.L., 1979, Geochemistry of Hydrothermal ore deposits , Wiley Interscience , Newyork.
- 17) British Geological survey ,1996 , World Mineral Statistics ,1990 -1995 .
- 18) Linda , C. C., 1985, Mineral Facts and Problems , Bureau of Mines , Newyork .
- 19) Laznicka , P., 1985 , Empirical Metallogeny - Depositional Environments , Lithologic association and Metallic ores , vol . ,1, Elsevir pub .
- 20) Roskill Information servies ltd , 1990 , the economics of seventh Edition , London . Mercury
- 21) Smirnov , V.L., And others , 1983 , studies of Mineral deposits , Mir publisher , Moscow .

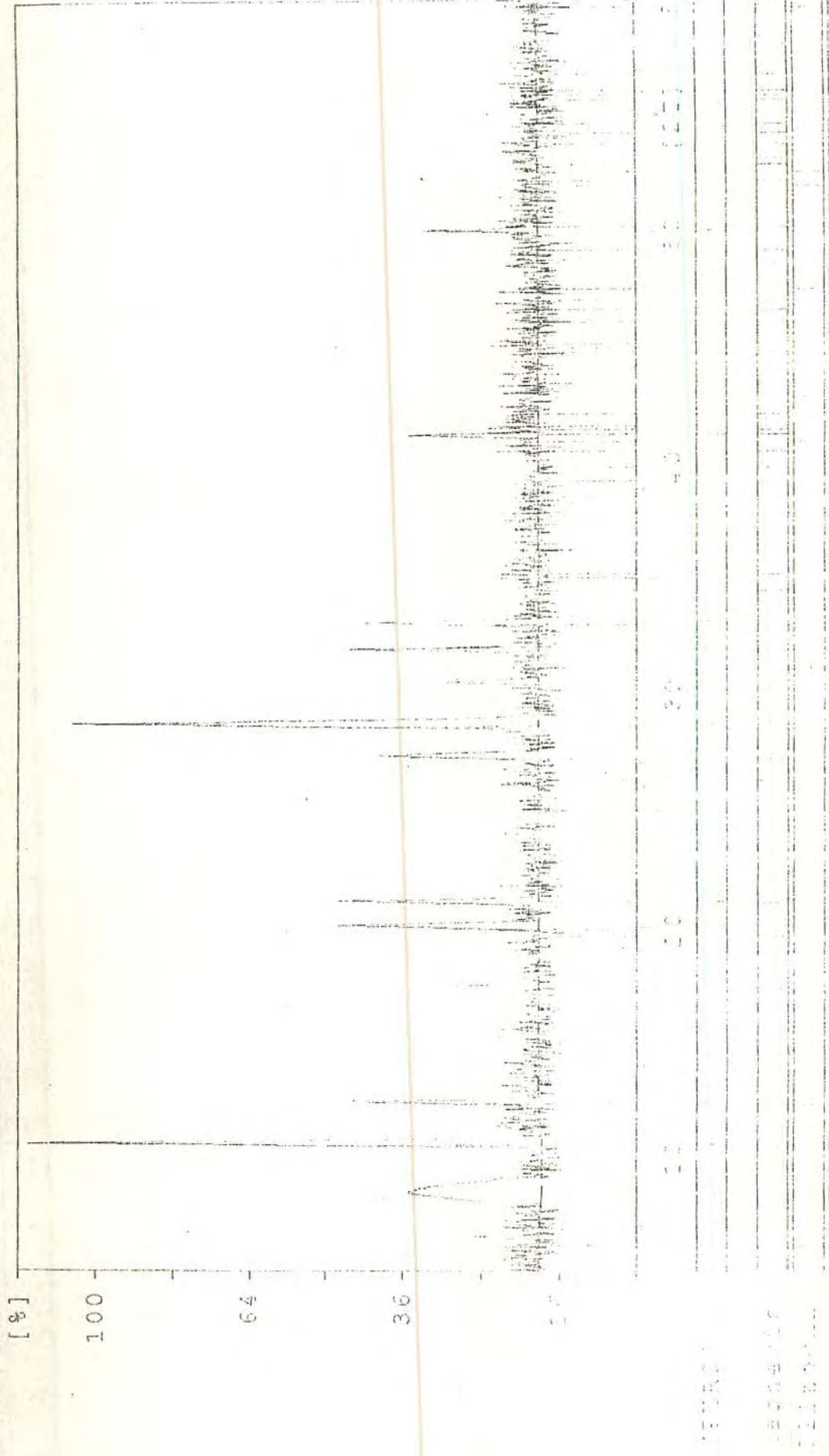
پیوست گزارش

نتایج مطالعات آزمایشگاهی



Sample ident.: MP-XR-C1

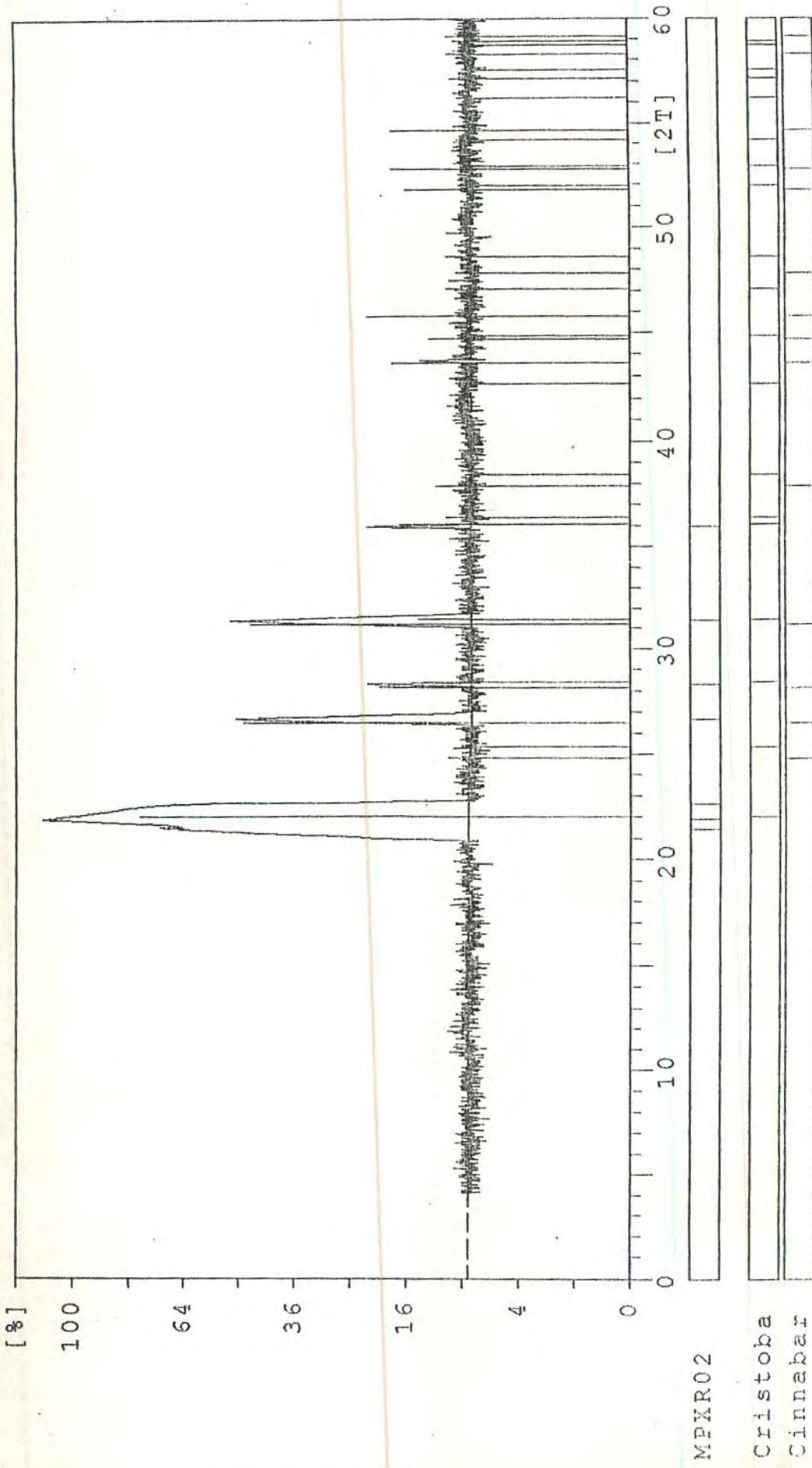
2-mar-1998 10:14



مذکور این این مذکوره میگویند که میگویند که MagnesioHmblend

Sample ident.: MP-XR-02

1-jun-1998 8:25



SAMPL E = BH10-LG-01

SiO ₂ %	Al ₂ O ₃ %	Fe ₂ O ₃ %	CaO %	K ₂ O %	MgO %	TiO ₂ %
90.95	0.99	0.7	0.19	0.03	0.23	0.001

Na ₂ O %	P ₂ O ₅ %	MnO %	Hg %	Zr PPm	Sr PPm	Rb PPm
0.106	0.018	0.006	5.62	7	20	44

Pb PPm	Zn PPm	Cu PPm	Ni PPm	Co PPm	W PPm	F PPm
9	36	12	423	46	nd	1206

V PPm	Cr PPm	S PPm	Hf PPm	Cl PPm
96	2997	8942	2	25

<i>Sample No.</i>	<i>Au(PPb)</i>	<i>Ag(PPm)</i>	<i>As(PPm)</i>	<i>Hg(PPm)</i>	<i>Cu(PPm)</i>
MP-LG-01	3.3	0.066	2.6	28.5	49.4
MP-LG-02	1.5	0.043	0.5	374	13.9
MP-LG-03	3.2	0.075	0.5	1300	11.5
MP-LG-04	2.4	0.161	2.6	32	31.1
MP-LG-05	2	0.076	0.3	177	55.4
MP-LG-06	1.5	0.046	0.2	35.7	20
MP-LG-07	2	0.056	0.15	40	46.5
MP-LG-08	4.3	0.047	1.7	42000	12.5
MP-LG-09	3.3	0.052	4.4	162	104
MP-LG-10	2.8	0.048	1.4	236	81.6
MP-LG-11	1.6	0.044	0.5	359	15
MP-LG-12	1.9	0.061	3.9	12.3	109
MP-LG-13	1.2	0.04	0.15	55.3	11.9
MP-LG-14	1	0.082	2.2	13.6	57.9
MP-LG-15	2.2	0.03	0.9	9.6	6
MP-LG-16	2.4	0.056	0.15	16.8	4.4
MP-LG-17	1.8	0.047	0.2	31.5	6
BH3-LG-01	2.2	0.046	0.2	32.5	21.2
BH3-LG-02	2.8	0.05	1	155	18.6
BH3-LG-03	13.8	0.049	0.9	18.7	80.7
BH3-LG-04	2.2	0.053	5.6	44.3	61.7
BH3-LG-05	2	0.055	1.2	639	52.6
BH3-LG-06	1.4	0.068	0.2	290	48.3
BH3-LG-07	2.2	0.055	0.15	51.7	46.6
BH3-LG-08	1.5	0.074	2.7	92.8	220
BH3-LG-09	2.2	0.038	3.9	31.4	584
BH3-LG-10	2.5	0.052	4.8	22.1	295
BH3-LG-11	3.3	0.043	7.5	7.9	53.4



Sample No.	Au(PPb)	Ag(PPm)	As(PPm)	Hg(PPm)	Cu(PPm)
BH3-LG-12	3.7	0.08	8.2	5.2	81
BH3-LG-13	3.9	0.07	6	3.5	75.8
BH1-LG-01	2.6	0.067	0.3	3500	10.1
BH1-LG-02	1.6	0.036	0.15	280	14.6
BH1-LG-03	4.6	0.054	0.15	42.4	12
BH1-LG-04	3.1	0.048	0.3	45.5	16.2
BH1-LG-05	1.4	0.055	0.5	701	16.1
BH1-LG-06	1.5	0.045	0.9	138	19.1
BH1-LG-07	2.3	0.035	11	22.2	63.9
BH1-LG-08	3.9	0.035	9.5	13.8	208
BH1-LG-09	2.6	0.065	12.1	19.2	232
MP-CN-01	4.5	0.063	2	43000	12.2
MP-CN-02	1.4	0.034	0.9	280	50.3
MP-CN-03	2.6	0.052	1.9	30.5	52.1
MP-CN-04	3.8	0.1	9.5	1.2	80.5
MP-CN-05	0.9	0.077	0.7	48.6	5.5
MP-CN-06	2.2	0.121	1.4	36.3	30.9
BH4-LG-01	3.1	0.079	9.2	18.7	471
BH4-LG-02	2.7	0.065	4.9	18.2	917
BH4-LG-03	6.5	0.066	15.3	3.7	342
BH4-LG-04	4	0.076	4.1	2.4	486
BH4-LG-05	3.1	0.099	4.3	2.4	78
BH4-LG-06	4.6	0.096	7.7	1.2	80
BH4-LG-07	4	0.045	10	2.3	78.1
BH4-LG-08	3.3	0.122	4.1	1.2	83.2
BH4-LG-09	4.4	0.072	2.9	0.4	87.8
BH4-LG-10	4.9	0.094	3.4	1.2	84.6
BH4-LG-11	3.5	0.058	1.5	0.5	86.4
BH4-LG-12	3.1	0.088	1.5	0.6	72.8